

ECOLE NATIONALE POLYTECHNIQUE

Département : GENIE CIVIL

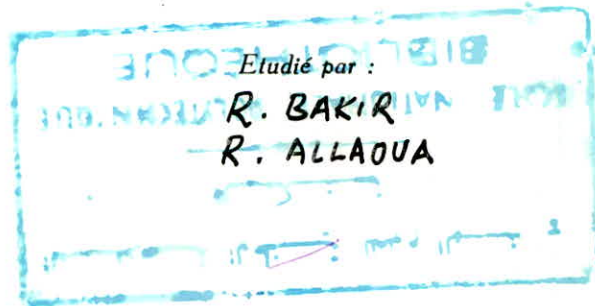
# PROJET DE FIN D'ETUDES

## SUJET

BATIMENT

ADMINISTRATIF (R+5) A OSSATURE  
METALLIQUE

Proposé par :  
E.N.C.C



Dirigé par :  
M-H CHENAF





## TABLE DES MATIERES

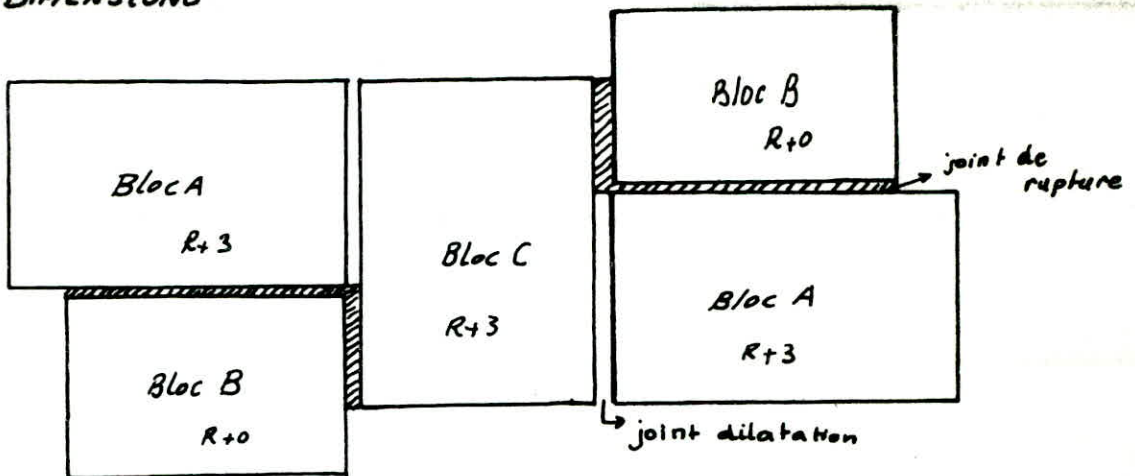
<u>chapitre</u>	<u>titre</u>	<u>Page</u>
1	Présentation de l'ouvrage	1
2	Caractéristiques des matériaux	2
3	Prédimensionnement des éléments	7
4	CALCUL poutre de dalle	17
5	Plancher collaborant	22
6	Calcul de l'acrotère	28
7	Calcul des escaliers	30
8	Etude au vent	45
9	Etude au séisme (méthode Muto)	50
10	Etude des portiques sous les charges verticales (Méthode de Cross)	94
11	Superposition de sollicitations	104
12	Vérification des éléments de portiques	119
13	Assemblages	130
14	Bases de poteaux	148
15	Fondations	158



## PRESENTATION DE L'OUVRAGE

L'objet de notre étude est le calcul des éléments résistants d'un bâtiment administratif (R+3) dont le rez de chaussée est aménagé en Laboratoires. Le maître de l'ouvrage est L'ENOPHARM (ex P.C.A d'ORAN). Ce bâtiment est constitué de 5 blocs (3R+3 et R Rdc-terrasse) liés par des joints de dilatation et de rupture (entre le Bloc Rdc et R+3). Ce bâtiment sera implanté à ES-SENIA (Zone Sismique II). Groupe d'usage 2

### DIMENSIONS



Cette construction est fondée sur un sol ferme dont le taux de travail est :

$$\bar{\sigma}_s = 2 \text{ daN/cm}^2 \text{ à } 1,5 \text{ m d'ancrage}$$

Ce bâtiment est muni de 2 cages d'escaliers.

- escaliers intérieurs en Béton Armé
- escaliers extérieurs métalliques

Les portiques de ce bâtiment sont autoportants (ils reprennent la totalité des efforts horizontaux).

Les poteaux sont encastrés à la base compte tenu de la nature du sol : (bonne portance).

Planchers :

ils sont constitués par une dalle pleine en B.A d'épaisseur 8cm reposant sur une tôle nervurée reposant elle-même sur des poutrelles métalliques.

Revêtements :

les murs des laboratoires de chimie sont revêtus de faïence sur toute la hauteur, le sol anti-acide faux plafond recouvert d'un coupe feu.

Pour la salle stocks de réactifs et solvants le sol est anti-acide, faux plafond recouvert d'un coupe feu + revêtement mural.

Murs extérieurs : Endouble cloisons, avec revêtement extérieur et intérieur.

CARACTERISTIQUES *des* MATÉRIAUX



## CARACTERISTIQUES DES MATERIAUX

Aciers profilés :

on utilise de l'acier de nuance E24, de limite d'élasticité inférieure  $\sigma_e = 2400 \text{ daN/cm}^2$

on utilisera pour les solives des IPE, pour les poutres des (IPE, HEA) et des HEA ou des HEB pour les poutres et des IAP pour les poutres d'escaliers.

Tôles fortes : pour les escaliers extérieurs, et pour les planchers (TN40), l'épaisseur de la tôle doit être supérieure à 5 mm on utilisera la tôle striée qui est disponible sur le marché en feuilles

Cornières : laminés à 2 branches  $\perp$ , on utilisera des cornières à ailes égales

### Assemblages

#### 1. Boulons ordinaires

#### Qualité des vis et des écrous

classe de qualité	4-6	4-8	5-6	5-8	6-6	6-8	6-9	8-8	10-9
$\sigma_e$	2400	3200	3000	4000	3500	4800	5400	6400	9000

### Principaux diamètres utilisés en charpente métallique

$\phi$ (Boulon) mm	8	10	12	14	16	18	20	22	24	27	30	40
A mm <sup>2</sup>	50,2	78,5	113	154	201	254	314	380	452	573	707	
A <sub>r</sub> mm <sup>2</sup>	36,6	58	84,3	115	157	192	245	303	353	459	561	

### Perçage des trous de boulons d<sub>tr</sub>

$$d_{tr} = \phi + 1 \text{ mm pour } d \leq 10 \text{ mm}$$

$$d_{tr} = \phi + 2 \text{ mm pour } 12 \leq d \leq 22 \text{ mm}$$

$$d_{tr} = \phi + 3 \text{ mm pour } d \geq 24 \text{ mm.}$$

Boulons à haute résistance : Effort précontraint  $0,8 \sigma_{eb} A_r$

$\phi$ boulon	8	10	12	14	16	18	20	22	24	30
HRB-8	1874	2970	4316	5888	8033	9830	11544	15114	18074	28723
HR10-9	2635	4176	6070	8280	11304	13824	17640	21816	25416	40392

2 - Béton

Le Béton utilisé est : - peu contrôlé

- dosé à 350 kg/m<sup>3</sup> de ciment CPA 325

Résistance nominale de compression à 28 jours  $\sigma'_{28} = 270 \text{ daN/cm}^2$   
 de Traction à 28j  $\sigma_{28} = 23,2 \text{ daN/cm}^2$

Contrainte admissible de compression  $\bar{\sigma}'_b$  (CCBA 68 - Art 9.4).

$$\bar{\sigma}'_b = \rho'_b \times \sigma'_{28} \quad \text{avec } \rho'_b = \alpha \beta \delta \gamma E$$

$\alpha$  : coef. de la classe de ciment . CPA 325  $\Rightarrow \alpha = 1$

$\beta$  : de la qualité du contrôle . contrôle atténué  $\Rightarrow \beta = \frac{5}{6}$

$\gamma$  : dépendant des épaisseurs relatives des granulats

granulats 5-15  $\Rightarrow h_m > 4c_g$  d'où  $\gamma = 1$

$\delta$  : dépend de la nature des sollicitation =  $\begin{cases} 0,3 \text{ en compression simple} \\ 0,6 \text{ en Flexion simple.} \end{cases}$

en Flexion composée

$\delta = 0,6$  si l'effort normal est une traction.

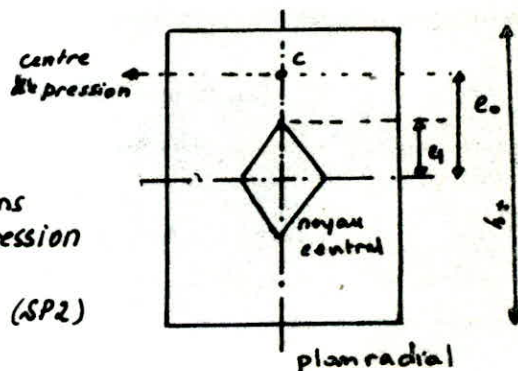
$$\delta = \min \left\{ 0,6 ; 0,3 \left( \frac{1+e_0}{3e_1} \right) \right\} \quad \text{si } N \text{ est une compression}$$

avec  $e_0$  :

Excentricité de la résultante des forces extérieures / au c.d.g du béton seul

$e_1$  : distance limite du noyau central au c.d.g de la section du béton seul dans le plan radial passant par le centre de pression

s'il s'agit d'une sollicitation du 2<sup>e</sup> genre (SP2)  $\delta$  est pondéré par 1.25 (RPA 81)



$\epsilon$  : dépend de la nature de sollicitation et la forme de la section :

$$\epsilon = \begin{cases} 1 & \text{compression simple} \\ 0,5 < \epsilon < 1 & \text{dans les autres cas avec } \sigma'_m = \frac{F'_b}{B'} \leq \bar{\sigma}'_{b_0} \times \epsilon \quad (i) \end{cases} \quad \forall \text{ la forme de la section}$$

$F'$  : Résultante des forces de compression

$B'$  : section du béton comprimé

$\epsilon$  : prendra la valeur max compatible avec (i).

Contrainte admissible de compression simple

$$\bar{\sigma}'_{b0} = \alpha \beta \gamma \delta \epsilon \cdot \sigma'_{28} = 1 * \frac{5}{6} * 1 * 0,3 * 1 * 270 = 67,5 \text{ dan/cm}^2 \text{ sous } SP_1$$

$$\bar{\sigma}'_{b0} = 1,5 * 67,5 = 101,3 \text{ dan/cm}^2 \text{ sous } SP_2$$

Contrainte admissible en Flexion simple

$$SP_1 \quad \bar{\sigma}'_b = 1 * \frac{5}{6} * 1 * 0,6 * 1 * 270 = 135 \text{ bars (dan/cm}^2)$$

$$SP_2 \quad \bar{\sigma}'_b = 1,5 * 135 = 202,5 \text{ dan/cm}^2$$

Contrainte de traction de référence (CCBA 68 Art 9.5).

cette contrainte est prise égale à une fraction de la résistance nominale de compression  $\sigma'_{28}$  du béton

$$\bar{\sigma}_b = \beta_b \sigma'_{28} \quad \beta_b = \alpha \beta \gamma \theta$$

$\alpha, \beta, \gamma$  sont définis précédemment.

$\theta$ : coef dépendant de la résistance nominale du béton

$$\theta = 0,018 + \frac{2,1}{\sigma'_{28}} \text{ avec } \sigma'_{28} = 270 \text{ dan/cm}^2.$$

a. sous  $SP_1$

$$\bar{\sigma}_b = 1 * \frac{5}{6} * 1 * (0,018 + \frac{2,1}{270}) * 270 = 5,9 \text{ dan/cm}^2.$$

b. sous  $SP_2$

$$\bar{\sigma}_b = 1,5 * 5,9 = 8,8 \text{ dan/cm}^2$$

Module de déformation du béton (CCBA 68 - Art 9-6).

module de déformation longitudinale

$$\text{A court terme} \quad E_i = 21000 \sqrt{\sigma'_j} \quad \text{durée d'application des charges} < 24h$$

$$\text{A long terme} \quad E_v = 7000 \sqrt{\sigma'_j}$$

$$\text{Pour les bétons à base de ciment CPA 325} \quad \sigma'_j = 1,2 \sigma'_{28}$$



### Aciers de ferrailage

i) Aciers ronds - lisses  $\sigma_{eu} = 2350$  bars nuance FeE24.

contraintes admissibles (en traction et en compression)

$$\bar{\sigma}_a = \bar{\sigma}'_a = \rho_a \sigma_{eu}$$

Pour les sollicitations du 1<sup>er</sup> genre  $\rho_a = 2/3$ .

$$\bar{\sigma}_a = \frac{2}{3} \times 2350 = 1567 \text{ dans/cm}^2 \text{ sous SP1}$$

$$\bar{\sigma}_a = \sigma_{eu} \text{ pour SP2.}$$

ii) Aciers à haute adhérence (HA) Nuance FeE40

$$\sigma_{eu} = 4120 \text{ bars} = 4200 \text{ kgf/cm}^2 \text{ pour } \phi \leq 20 \text{ mm.}$$

$$\sigma_{eu} = 3920 \text{ bars} = 4000 \text{ kgf/cm}^2 \text{ pour } \phi \geq 20 \text{ mm.}$$

Contrainte admissible de traction ou de compression.

$$\phi \leq 20 \begin{cases} \bar{\sigma}_a = \bar{\sigma}'_a = \frac{2}{3} \times \sigma_{eu} = 4200 \text{ dans/cm}^2 \text{ sous SP2} \\ \bar{\sigma}_a = \frac{2}{3} \sigma_{eu} = 2800 \text{ dans/cm}^2 \text{ sous SP1.} \end{cases}$$

TREILLIS soudés : (grillage de fils trefilés lisses).

$$\sigma_{eu} = 5300 \text{ dans/cm}^2 \text{ pour } \phi \leq 6 \text{ mm.}$$

$$\sigma_{eu} = 4500 \text{ dans/cm}^2 \text{ pour } \phi > 6 \text{ mm.}$$

Contraintes admissibles imposées par les conditions de fissuration (A5+4.9 CCBA 68)

$$\bar{\sigma}_a \leq \begin{cases} \frac{2}{3} \sigma_{eu} \\ \max(\sigma_1, \sigma_2) \end{cases} \text{ pour limiter la fissuration.}$$

$\sigma_1$ : contrainte de fissuration systématique.

$\sigma_2$ : - - - - - accidentelle  $\rightarrow$  dues aux effets de.

- i) variations de température
- ii) retrait.

K: Coef. de conséquence de fissuration sur le comportement de l'ouvrage

$$K = \begin{cases} 1,5 \times 10^6 & \text{fissur. peu nuisible} \\ 10^6 & \text{fiss. nuisible} \\ 0,5 \times 10^6 & \text{fiss. très nuisible} \end{cases}$$



$\eta$  : coef de fissuration.

$$\eta = 1 \quad \text{barres R.L}$$

$$\eta = 1,6 \quad \text{barres H.A}$$

$$\phi = \max \phi_i \quad \text{en mm}$$

$$\bar{\omega}_f = \frac{A}{B_f} = \frac{A}{2bd}$$

$\bar{\omega}_f$  Pourcentage de fissuration.

$B_f$  : section de béton fissuré

$A$  : Section totale des armatures tendues

$\bar{\sigma}_b$  : contrainte de traction de référence du béton.

$$\sigma_1 = \frac{k\eta}{\phi} * \frac{\bar{\omega}_f}{1 + 10\bar{\omega}_f}$$

$$\sigma_2 = 2,4 * \left[ \eta \frac{k\bar{\sigma}_b}{\phi} \right]^{1/2}$$

PREDIMENSIONNEMENT des ELEMENTS:  
poteaux - poutres - poutrelles.

PREDIMENSIONNEMENT DES ELEMENTS

Evaluation de charges : charges permanentes

Plancher terrasse

Protection gravillon (5cm)	$0,05 \times 1800 = 90$	dan/m <sup>2</sup>
Etanchéité multicouche		10
Forme de pente (1,5%)		110
film pare-vapeur		-
Liège (4cm)	$0,04 \times 400 = 16$	
Pare vapeur		5
Dalle en B.A	$0,08 \times 2500 = 200$	
TN40		35
faux Plafond en placo-platre (2cm)		28

$G = 504 \text{ dan/m}^2$

Plancher courant

Carrellage	$2000 \times 0,02 = 40$	
sable stabilisé	$1800 \times 0,03 = 54$	
Ecran pare-vapeur		-
Dalle en B. armé		200
TN40		35
cloisons		75
Mortier de pose		35
Faux - Plafond en placo-plâtre		28

$G = 477 \text{ dan/m}^2$

surcharges d'exploitation

Pl. Terrasse (inaccessible)	$P = 100$	dan/m <sup>2</sup>
Plancher courant	$P = 250$	
Escaliers (Bt à usage de Bureaux)	$P = 400$	

on a pas pris en compte la surcharge climatique de Neige  $N_s = 20$ , or on a supposé qu'elle n'agit pas en même temps que la surcharge d'exploitation  $P = 100 \text{ daN/m}^2$ .

Prédimensionnement des poutrelles (A et C.) <sup>Blocs</sup>

Les poutrelles sont supposées articulées aux poutres ce qui engendre une surestimation de dimensions de profilés

La poutrelle est soumise à une charge linéairement répartie  $q$

$q = (G + P)l'$  où  $l' =$  Entrées de 2 poutrelles successives = 1.5 m.

Plancher terrasse

$q = (504 + 100) * 1.5 = 906 \text{ daN/ml}$

Plancher Courant

$q = (477 + 250) * 1.5 = 1090.5 \text{ daN/ml}$

Le prédimensionnement est effectué se le critère de déformabilité :

Pour charge uniformément répartie  $q$

la flèche est donnée par :  $f = \frac{5}{384} * \frac{q l^4}{EI} \leq \frac{l}{300}$  (CM 66 Art 5.251)

$\Rightarrow I_x \geq \frac{5}{384} * \frac{q l^3}{\epsilon} * 300$

plancher terrasse

$l_1 = 4.80 \text{ m} \Rightarrow I_{x1} \geq 1864 \rightarrow \text{IPE 200 } (I_x = 1945)$   
 $l_{II} = 6.00 \text{ m} \Rightarrow I_{xII} \geq 3640 \rightarrow \text{IPE 240 } (I_x = 3892)$

Plancher courant

$l_1 = 4.80 \text{ m} \Rightarrow I_{x1} \geq 2243 \rightarrow \text{IPE 220 } (I_x = 2772)$   
 $l_0 = 6.00 \text{ m} \Rightarrow I_{x0} \geq 5898 \rightarrow \text{IPE 270 } (I_x = 5790)$   
4381 ~~5014~~

Récapitulation

IPE 240 pour le plancher terrasse } Pour  $l_1$  et  $l_{II}$   
IPE 270 - - - - - courant }

Calcul de poutrelles Bloc B

$G + P = 504 + 100 = 604 \text{ daN/m}^2$   $l' = 1 \text{ m}$   
 $\Rightarrow q = 604 * 1 = 604 \text{ daN/ml}$

$I_x \geq \frac{5 * q l^3 * 300}{384 E} = 404.5 \text{ cm}^4$  Soit des IPE 180



## - 2 - PREDIMENSIONNEMENT des POUTRES

Le prédimensionnement est basé sur le critère de déformabilité. La poutre est supposée simplement appuyée et soumise aux charges verticales (C.p. et S.E) en tenant du poids propre de la poutre elle-même et des solives reposant sur la poutre. Les charges ne sont pas pondérées.

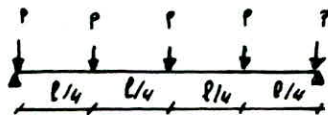
$$\text{charge uniformément répartie } f_1 = \frac{5}{384} \frac{q l^4}{EI} \leq \frac{l}{300}$$

$$\text{charge concentrée au milieu } f_2 = \frac{1}{48} \frac{Q l^3}{EI} \leq \frac{l}{300}$$

$$\text{Présence simultanée des 2 charges } f = (f_1 + f_2) \leq \frac{l}{300}$$

Remarque

Annexe 15.315



On peut considérer ici uniformément répartie les séries d'au moins 5 charges concentrées égales appliquées à la poutre à des intervalles réguliers selon le schéma ci-dessus.

POUTRES BLOC - B

$P'$  poids des solives /  $m^2$

Poutre	$G+P$ daN/m <sup>2</sup>	$P'$ daN/m <sup>2</sup>	$l'$ (m)	$(G+P+P')l'$ daN/ml	$I_x^{choisi}$ cm <sup>4</sup>	$I_x^{calcul}$ cm <sup>4</sup>	Profilé IPE
1	604	/	0.5	302	1317	1213.4	180
2	"	/	0.5	302	171	151.7	100
3	"	18,8	3	1868,4	1317	938	180
4	"	18,8	3	1868,4	8756	7506	300
4'	"	8,1	1,5	918,2	3292	3689	240
5	"	18,8	6	3736,8	16270	15812	360
5'	"	18,8; 8,1	3; 1,5	2786,5	11770	11136	330
6	"	18,8	6	3736,8	1943	1877	200
	"	18,8; 8,1	3; 1,5	3736,8	1943	1399,8	200

Résumé :

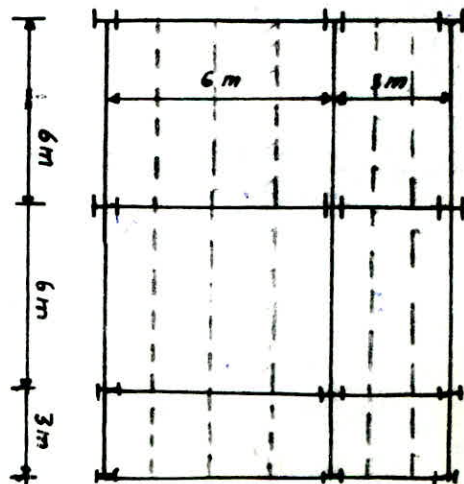
nous avons pris dans les sens transversal

IPE 300 pour  $l_1 = 3m$

IPE 360 pour  $l_2 = 6m$

sens longitudinal

IPE 220 pour  $l_1$  et  $l_2$ .



POUTRES BLOCS A, C : Prédimensionnées selon le critère de déformabilité qui est prépondérant.

Résumé

A  
Terrasse IPE 360 sens transversal  
IPE 360 sens longitudinal  
Courant : idem

C  
Terrasse sens longitudinal  
IPE 360  
IPE 360 sens transversal  
Courant  
sens transversal { IPE 360 l = 6m  
IPE 300 l = 3m  
sens longit { IPE 360

Prédimensionnement des poteaux Blocs A et C

on se limite au calcul du poteau le + chargé. Tous les autres poteaux seront poteaux identiques à ce dernier.

Le poteau sera dimensionné en flexion composée

$$K\sigma + K_d\sigma_{fx}k_{fx} \leq \sigma_e$$

où  $\sigma$  est la contrainte normale dues aux C.p et aux S.E

et  $\sigma_{fx}$  est la contrainte de flexion sous la surcharge climatique du vent extrême  $\perp$  à l'axe x-x si  $\sigma_{fx} > \sigma_{fy}$ .

on supposera que le poteau est prémuni contre le deversement  $\rightarrow k_d = 1$

Etude au vent préliminaire : bloc C

H : hauteur totale du bâtiment = 13.98 m.

b = 12.40 m

a = 17.89 m

$$q = q_0 k_s k_h \delta \cdot \beta \cdot C \quad [ \text{daN/m}^2 ]$$

$q_0 = 70 \text{ daN/m}^2$

$$k_h = 2.5 * \frac{H + 18}{H + 60} = 2.5 * \frac{13.98 + 18}{13.98 + 60} = 1.08$$

$k_s = 1$  (site normal)

$H \leq 20 \text{ m} \rightarrow \delta = 0.7$





interpolations intermédiaires

$$C_i = -0,3 - 0,20 * \frac{28,48 - 5}{30} (-0,3 + 0,5) = -0,46$$

$$C_i = +0,3 + (0,8 - 0,3) * \frac{35 - 28,4}{30} = +0,41$$

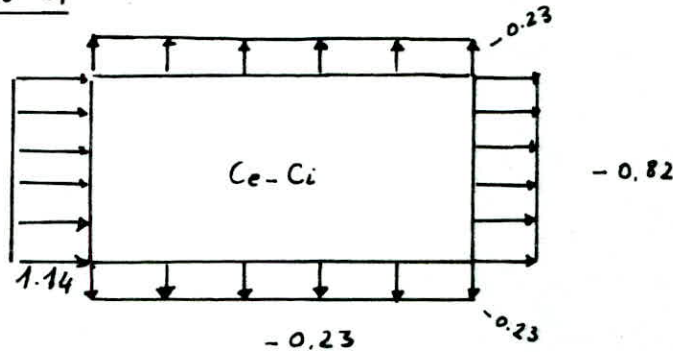
Interpolation finale

Paroi DC  $-0,3 - (0,46 - 0,3) * \frac{35 - 28,4}{30} = -0,34$

AB  $+0,3 + (0,41 - 0,3) * \frac{35 - 28,4}{30} = +0,32$

AD, BC  $-0,48 + (0,41 + 0,46) * \frac{35 - 28,4}{30} = -0,27$

Combinaisons C<sub>e</sub> - C<sub>i</sub>



RESUMÉ Pression : C = 1.14  
suction : C = -0.82

$$q = q_0 * K_s * K_h * \delta * C * \beta \quad [daN/m^2] \quad q_0 = 70 daN/m^2$$

on prend  $K_s = K_h = \delta = \beta = 1 \rightarrow$  engendre une surestimation des charges du vent

$$q = 70 * C = 70 * 1.14 = 79,8 daN/m^2$$

$$F_v = q * b = (79,8 * 12,40) = 989,52 daN/m \approx 990 daN/m$$

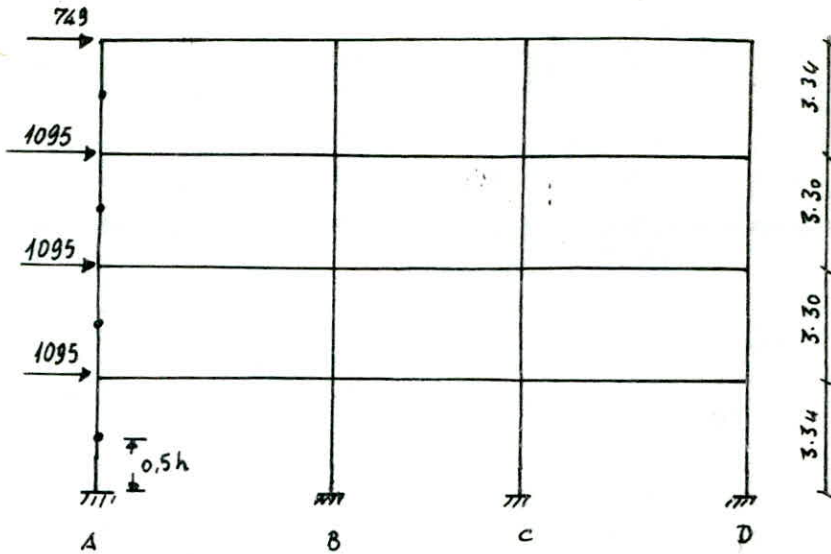
niveau IV  $F_4 = (1,67 + 0,6) * 990 = 1749 daN$

niv III  $F_3 = (1,67 + 1,65) * 990 = 1095 daN$

niv II  $F_2 = (1,65 + 1,65) * 990 = 1090 daN$

niv I  $F_1 = (1,65 + 1,67) * 990 = 1095 daN$

Nous utiliserons une méthode simplifiée de Bowman, avec comme hypothèse : les nœuds d'articulation se trouvent à  $0.5h$  (CCBA68 Art 53.12)

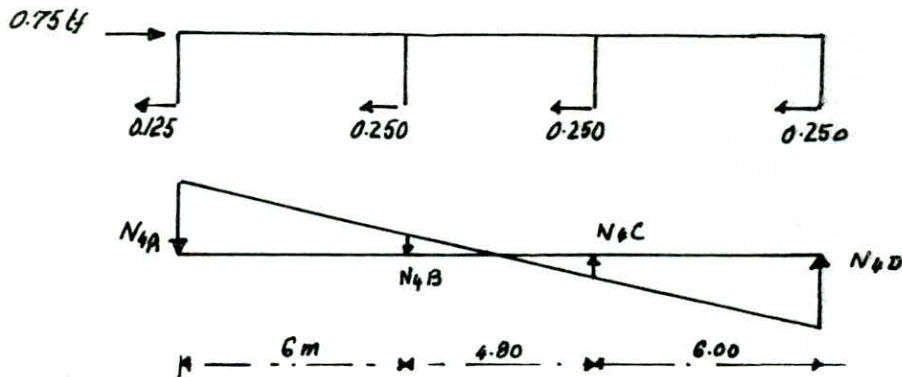


Pour chaque niveau, les poteaux de rive reprennent  $\frac{1}{6}F$ , et les poteaux centraux reprennent  $\frac{F}{3}$ .

Niv IV  $F_4 = 0.749 \text{ tf} \approx 0.75 \text{ tf}$ .

$$F_{4A} = F_{4D} = \frac{0.75}{6} = 0.125 \text{ t.f.}$$

$$F_{4B} = F_{4C} = \frac{0.75}{3} = 0.250 \text{ t.f.}$$



$$N_{4A} = N_{4D}$$

$$N_{4B} = N_{4C}$$

$$\& \quad \frac{N_{4D}}{8.40} = \frac{N_{4C}}{2.40} \Rightarrow N_{4D} = 3.5 N_{4C}$$

Moment renversant

$$M_R = 0.75 \times 1.67 = [3.5 N_{4B} \times 8.40 + N_{4B} \times 2.40] \times 2 \Rightarrow N_{4B} = 0.02 \text{ tf}$$

$$N_{4A} = N_{4C} = 0.069 \text{ tf}$$

$$M_{4d1} = M_{Asup} = 0.125 \times 1.67 = 0.209 \text{ t.f.m}$$

$$M_{4B} = -N_{4A} \times 6 + 0.125 \times 1.67 = \text{t.f.m}$$

$$M_{4D} = (0.250 + 0.125) \times 1.67 - N_{4B} \times 4.80 - N_{4A} \times 10.80 = -0.215 \text{ t.f.m.}$$

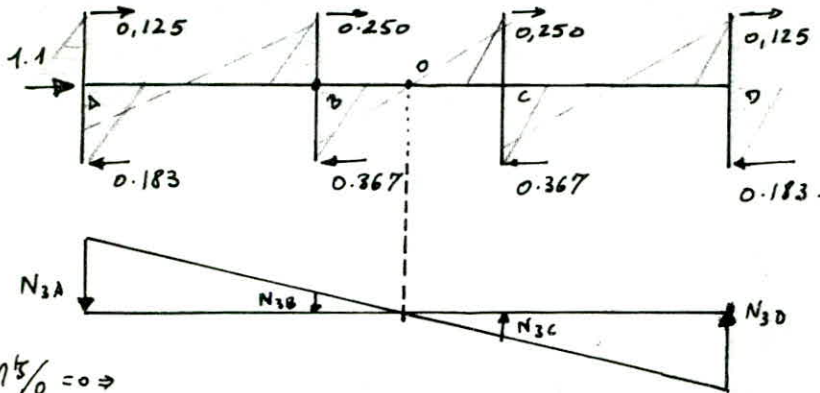
$$M_{4R} = 0.25 \times 1.67 = 0.418 \text{ t.f.m}$$

$$M_B \text{ sup} = 0.25 \times 1.67 = 0.418 \text{ tf.m}$$

$$\text{Niveau III} \quad F_3 = 1095 \text{ daN} \approx 1.1 \text{ tf.}$$

$$N_{3A} = N_{3D} = 3,5 N_{3B} = 3,5 N_{3C}$$

$$F_{3A} = F_{3D} = 1,1 \times \frac{1}{6} = 0,183 \text{ tf} \quad F_{3B} = F_{3C} = 0,367 \text{ tf.}$$



$$\sum M^{\circ}/_0 = 0 \Rightarrow$$

$$N_{3C} \times 2.40 + N_{3D} \times 8.40 = 0.375 \times (1.67) + 0.550 \times (1.65) \Rightarrow \begin{cases} N_B = 0,048 \\ N_A = 0,145 \end{cases}$$

$$M_{Ax} = 0.125 \times 1.67 = 0.209 \text{ tf.m.}$$

$$M_{Bx} = 0.183 \times 1.65 = 0.302 \text{ tf.m.}$$

$$M_{AB} = -(0.209 + 0.302) = -0.511 \text{ tf.m}$$

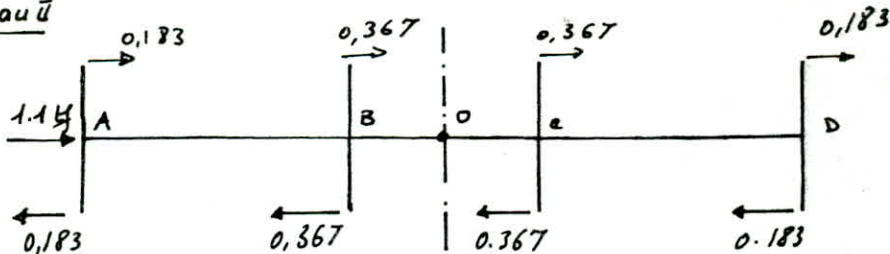
$$M_{BA} = -0.511 + 0.145 \times 6 = 0.359 \text{ tf.m.}$$

$$M_{Bx} = 0.25 \times 1.67 = 0.418 \text{ tf.m.}$$

$$M_{Bx} = 0.367 \times 1.65 = 0.604 \text{ tf.m}$$

$$M_{BC} = 0.604 + 0.418 - 0.359 = 0.663 \text{ tf.m.}$$

niveau  $\bar{u}$



niveau A

$$M_{AB} = M_{An} = 0.183 \times 1.65 = 0.302 \text{ tf.m.}$$

$$M_{AB} = -0.302 - 0.302 = -0.604 \text{ tf.m.}$$

$$\sum M^{\circ}/_0 = 0 \Rightarrow (0.183 + 0.367) \times 2 \times 1.65 = N_A(8.40) + N_B(2.40)$$

$$\Rightarrow N_B = 0,057 \text{ tf} \quad N_A = 0,171 \text{ tf.}$$

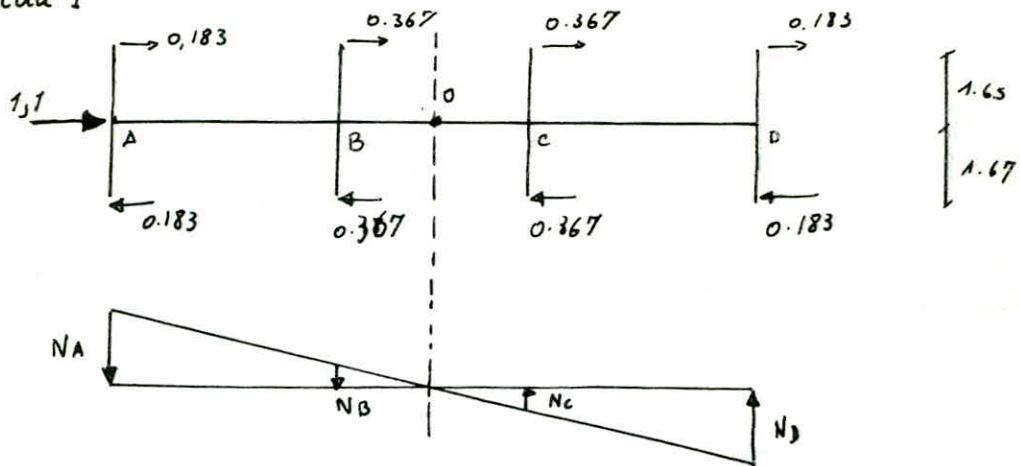
$$N_A = 3,5 N_B$$

niveau B:  $M_{Bn} = M_{Bx} = 0.367 \times 1.65 = 0.604 \text{ tf.m.}$

$$M_{Bx} = -0.604 + 0.171 \times 6 = 0.422 \text{ tf.m}$$

$$M_{BC} = -0.422 + 0.604 + 0.604 = 0.786 \text{ tf.m}$$

niveau I



$$\sum M_{\%} = 0 \Rightarrow (0.367 + 0.183)(1.67 + 1.65) = N_C \times 2.4 + 3.5 N_D \times 8.4$$

$$\Rightarrow \begin{cases} N_C = 0.055 \text{ tf} \\ N_D = 0.166 \text{ tf} \end{cases}$$

$$M_{An} = 0.183 \times 1.65 = 0.302 \text{ tf.m}$$

$$M_{As} = 0.183 \times 1.67 = 0.306 \text{ tf.m}$$

$$M_{AB} = -0.608 \text{ tf.m}$$

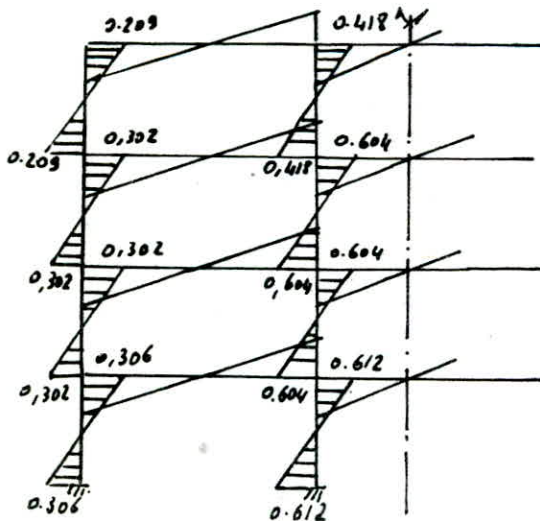
$$M_{Bn} = 0.367 \times 1.65 = 0.604 \text{ tf.m}$$

$$M_{Bs} = 0.367 \times 1.67 = 0.612 \text{ tf.m}$$

$$|M_{BA}| = -0.608 + 0.166 \times 6 = 0.388 \text{ tf.m}$$

$$M_{BC} = -0.388 + 0.612 + 0.604 = 0.828 \text{ tf.m}$$

Les résultats sont résumés sur le diagramme suivant



$$Min_f = 0.602 \text{ tf.m} = 602 \text{ daN.m}$$

Nous prenons  $k_d = 1$

$$k_{fy} = 1$$

et un coef. de flambement  $K = 2$  (proposé par notre promoteur)



Calcul de l'effort normal N

Surface qui revient au poteau :  $(6) \times (5,4) = 32,4 \text{ m}^2$

Niveau terrasse

$G = 504 \text{ dan/m}^2$

+ Poutres =  $57 \times 11,4 = 649,8 \text{ dan/m}^2$

+ Poutrelles =  $6,1 \times 5,4 \times 3 = 98,8 \text{ dan}$

$P = 100 \text{ dan/m}^2$

Niveau courant

$G = 477 \text{ dan/m}^2$

Poutres :  $649,8 \text{ dan}$

Poutrelles :  $7,2 \times 5,4 \times 3 = 116,6 \text{ dan}$

$P = 250 \text{ dan/m}^2$

$$G = (504 + 3 \times 477) \times 32,4 + (649,8 + 3 \times 649,8) + (98,8 + 3 \times 116,6) = 65742 \text{ dan}$$

$$P = (100 + 3 \times 250) 32,4 = 27540$$

$$N = \frac{4}{3}G + \frac{3}{2}P = 128966 \text{ dan}$$

sous vent normal à  $S_b$

$$M_{Vn} = 0,612 \text{ tf.m.}$$

$$M_{Ve} = 1,75 \times 0,612 = 1,071 \text{ tf.m} = 1071 \text{ dan.m.}$$

Stabilité

$$k \frac{N}{A} + k_d k_{fy} \sigma_{fy} \leq \sigma_e = 2400 \text{ dan/cm}^2$$

$k_d = 1$      $k_{fy} = 1$      $k = 2$     , nous vérifions pour un HEA 400

$$\Rightarrow 2 \times \frac{128966}{159} + \frac{1071 \times 10^2}{571} = 1810 < 2400$$

$A = 159 \text{ cm}^2$   
 $W_y = 571 \text{ cm}^3$

Nous prenons un HEB 400 ; or le HEA 400 donne des déplacements inadmissibles des nœuds.

I Panneau de dalle

$$\beta = \frac{l_x}{l_y} = \frac{1.5}{6} = 0.25 < 0.4$$

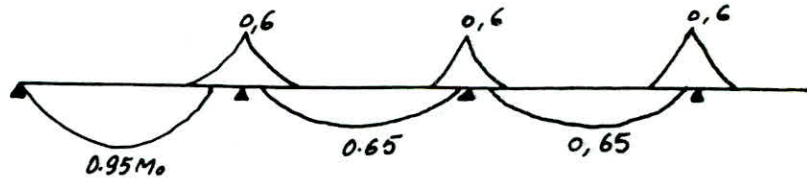
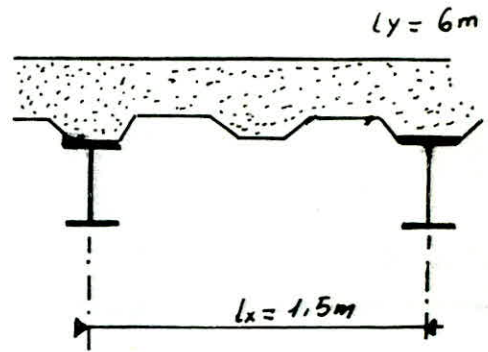
Donc la dalle travaille dans le sens de la plus petite portée :  $l_x$

$$M_x = \frac{q_x l_x^2}{8} = \frac{624 * 1.5^2}{8} = 175,5 \text{ dan.m}$$

$$q_x = 504 + 1,2 * 100 = 624 \text{ dan/ml pour le plancher terrasse.}$$

Les moments en travées et en appuis doivent vérifier :

$$M_{tx} + \frac{|M_w + M_e|}{2} \geq 1,25 M_o.$$



Plancher terrasse :

$$M_{tx} = 0,95 * 175,5 = 166,725 \text{ m dan} \rightarrow \text{travée de rive}$$

$$M_{tx} = 0,65 * 175,5 = 114,075 \text{ m dan, travée intermédiaire}$$

$$M_{ax} = 0,6 * 175,5 = 105,300 \text{ m dan en appui}$$

Plancher courant :  $q = 477 + 1,2 * 250 = 777 \text{ dan/ml.} \Rightarrow M_{ox} = 218,53 \text{ m.dan}$

$$M_{tx} = 0,95 * \frac{777 * 1.5^2}{8} = 207,60 \text{ m.dan travée de rive.}$$

$$M_{tx} = 0,65 * 218,53 = 142,04 \text{ m.dan travée intermédiaire}$$

$$M_{ax} = 0,6 * 218,53 = 131,12 \text{ m.dan}$$

FERRAILLAGE DU PANNEAU

i - Panneau derive

épaisseur de la dalle  $h_t : 8 \text{ cm}$

Aciers utilisés de  $\phi \leq \frac{h_t}{10} = 8 \text{ mm.}$

Panneaux de plancher courant

$$M_{tx} = 207,6 \text{ m.dan}$$

$$M_{ax} = 131,12 \text{ m.dan}$$

en travée :  $A = \frac{M_{tx}}{\frac{1}{8} \sigma_a} = \frac{207,6 * 10^4}{\frac{1}{8} * 6 * 2800} = 1,41 \text{ cm}^2/\text{ml} \Rightarrow 5 \text{ T6/ml.}$   
 (1,41 cm<sup>2</sup>/ml)

sur appui :  $A = \frac{131,12 * 10^4}{\frac{1}{8} * 6 * 2800} = 0,89 \text{ cm}^2/\text{ml}$  appui intermédiaire

soit 4 T6/ml (1,13 cm<sup>2</sup>/ml)

Appui de rive  $M_{tx} = 0,15 M_0$ .

$$A = \frac{0,15 \times 218,53 \times 10^2}{7/8 \times 6 \times 2800} = 0,22 \text{ cm}^2/\text{ml}$$

soit 2 T6 (0,56 cm<sup>2</sup>/ml).

Panneau intermédiaire

$$M_{tx} = 142,04 \text{ m.daN}$$

$$M_{ax} = 131,12 \text{ m.daN}$$

entravée  $A = \frac{142,04 \times 10^2}{7/8 \times 6 \times 2800} = 0,96 \text{ cm}^2/\text{ml}$

soit 4 T6/ml (1,13 cm<sup>2</sup>/ml)

en appui 4 T6/ml.

ferraillage dans l'autre sens.

Panneau dérivé  $A_y = \frac{A_x}{4} = \frac{1,41}{4} = 0,35 \text{ cm}^2/\text{ml}$

soit 2 T6/ml (0,56 cm<sup>2</sup>/ml)

Panneau intermédiaire:

$$A_y = \frac{A_x}{4} = \frac{0,96}{4} = 0,24 \text{ cm}^2/\text{ml}$$

2 T6/ml (0,56 cm<sup>2</sup>/ml)

Condition de non fragilité

$$\frac{A_z}{bh} = \frac{2 - \rho}{2} \times 0,69 \times \frac{\bar{\sigma}_b}{\bar{\sigma}_{cn}} = \frac{2 - 0,25}{2} \times 0,69 \times \frac{5,9}{2800} = 0,51 \text{ cm}^2$$

$$A_{x1} = 1,41 > A_{z \text{ min}} = 0,51 \text{ cm}^2/\text{ml} \quad \text{vérifiée}$$
  
$$A_{x2} = 1,13$$

Panneaux du plancher terrasse

i- Panneau de rive  $M_{tx} = 166,725 \text{ m.daN}$

$$M_{ax} = 0,15 \times 175,5 = 26,325 \text{ m.daN}$$

ferraillage: entravée:  $A = \frac{M}{7/8 h \bar{\sigma}_a} = \frac{166,725 \times 10^2}{7/8 \times 6} = 1,134 \text{ cm}^2/\text{ml}$

soit 5 T6/ml (1,41 cm<sup>2</sup>/ml)

en appui  $A = \frac{M}{7/8 h \bar{\sigma}_a} = \frac{26,325 \times 10^2}{7/8 \times 6 \times 2800} = 0,18 \text{ cm}^2/\text{ml}$

soit 2 T6/ml (0,56 cm<sup>2</sup>/ml).



Panneau intermédiaire

$M_{tx} = 144.075 \text{ mdans}$

$M_{ax} = 105,300 \text{ wdans}$  appui de rive

entraînée :  $A = \frac{144.075 \times 10^2}{\frac{7}{8} \times 6 \times 2800} = 0,98 \text{ cm}^2/\text{ml} \rightarrow 4T6/\text{ml}$   
(1,13 cm<sup>2</sup>/ml)

sur appui (intermédiaire)  $A = \frac{105,3 \times 10^2}{\frac{7}{8} \times 6 \times 2800} = 0,72 \text{ cm}^2/\text{ml} \rightarrow 3T6/\text{ml}$

Armatures dans l'autre sens :  $A_y = \frac{A_x}{4} = 0,245 \rightarrow 2T6/\text{ml}$  (0,566 cm<sup>2</sup>/ml)

RÉSUMÉ

nous adopterons le m<sup>3</sup> ferrailage pour tous les panneaux

- [ Sens  $l_x$  : 5T6/ml.
- Sens  $l_y$  : 2T6/ml
- sur appuis : 4T6/ml.

Vérification à l'EFFORT tranchant

Niveau courant  $q = 777 \text{ dan/ml}$   $b = 100 \text{ cm}$  (1 bande de 1m)

$T = \frac{q \cdot l}{2} = \frac{777 \times 1,5}{2} = 582,75 \text{ dan}$

contrainte tangentielle  $\tau = \frac{T}{b \cdot z} = \frac{582,75}{100 \times \frac{7}{8} \times 6} = 1,11 \text{ dan/cm}^2 < 1,15 \bar{\sigma}_b$   
 $= 6,8 \text{ dan/cm}^2$   
Pas d'armatures transversales

Vérification à la fissuration

$k = 1,5 \times 10^6$  fissur. peu nuisible  
 $\eta = 1,6$  Aciers H.A

$\bar{\sigma}_{en} = 4200 \text{ dan/cm}^2$   
 $\phi = 6 \text{ mm}$

$\bar{\omega}_f = \frac{A}{B_f} = \frac{A}{2bd} = \frac{1,41}{2 \times 2 \times 100} = 3,52 \times 10^{-3}$  Pourc. de fissuration.

$\bar{\sigma}_1 = 1,5 \times 10^6 \times \frac{1,6}{6} \times \frac{3,52 \times 10^{-3}}{10 \times 3,52 \times 10^{-3} + 1} = 1360 \text{ dan/cm}^2$

$\bar{\sigma}_2 = 2,4 \sqrt{\frac{k \eta \bar{\sigma}_b}{\phi}} = 2,4 \times \sqrt{\frac{1,5 \times 10^6 \times 1,6 \times 5,9}{6}} = 3687 \text{ dan/cm}^2$

$\bar{\sigma}_a = \text{min} \left\{ \frac{2}{3} \bar{\sigma}_{en}, \text{Max}(\bar{\sigma}_1, \bar{\sigma}_2) \right\} = \underline{2800 \text{ dan/cm}^2}$  vérifiée

Calcul de flèches

Moments sous G et S.E

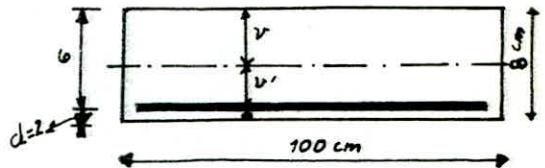
$$M_{G+P} = 0.95 * \frac{(250 + 477) (1.5)^2}{8} = 194,24 \text{ m. daN/ml.}$$

$$M_G = 0.95 * \frac{(477) (1.5)^2}{8} = 127,45 \text{ m daN/ml.}$$

inertie totale

1. position de l'axe neutre

$$v = \frac{15 * 1,41 * \bar{b}^2 + 100 * 8 * \frac{8}{2}}{15 * 1,41 + 100 * 8} = 4,82 \text{ cm}$$



$$v' = h - v = 3,18 \text{ cm}$$

2. inertie totale

$$I_t = \frac{100 * 4,82^3}{3} + \frac{100 * 3,18^3}{3} + 15 * 1,41 * (1,18)^2 = 4834 \text{ cm}^4$$

Valeurs de  $\lambda$  et  $\mu$ .

$$\bar{\omega} = \frac{A}{bh} = \frac{1,41}{6 * 100} = 0,235 \%$$

a) charge de faible durée d'application

$$\lambda_i = \frac{\bar{\sigma}_b}{72 (2 + 3 \frac{b_0}{b}) \bar{\omega}} \quad b_0 = b \text{ (dalle)}$$

$$= \frac{5,9}{72 (2 + 3 * \frac{b}{b}) 0,235 * 10^2} = 6,974.$$

b) charge de longue durée d'application

$$\lambda_v = \frac{\lambda_i}{2,5} = 2,789$$

$$\bar{\sigma}_a = \frac{M_i}{3Aa} = \frac{194,24 * 100}{7/8 * 6 * 1,41} = 2624 \text{ daN/cm}^2$$

$$\mu = 1 - \frac{5 \bar{\sigma}_b b}{4 \bar{\omega} \bar{\sigma}_a + 3 \bar{\sigma}_b} = 1 - \frac{5 * 5,9}{4 * 0,235 * 10^{-2} * 2624 + 3 * 5,9} \geq 0$$

$$= 0,30 > 0$$

Module de déformation du béton pour des charges de longue durée :

$$E_v = 7000 (1,2 \bar{\sigma}_i)^{1/2} = 126000 \text{ daN/cm}^2$$

Le module de déformation de courte durée

$$E_i = 3 E_v = 378000 \text{ daN/cm}^2$$

Flèches - CCBA 68 - Art 61

$f_{g_{\infty}}$ : flèche due aux déformations instantanées et différées sous G

$f_{q_0}$  - - - - - sous G et q

$f_{g_0}$ : - - - - - sous G.

$$1^{\circ}) I_{fv} = \frac{I_t}{1 + \lambda_v \mu} = \frac{4834}{1 + 2,789 \times 0,3} = 2631,89 \text{ cm}^4$$

$$f_{g_{\infty}} = \frac{M_g l^2}{10 E_v I_{fv}} = \frac{127,45 \times 100 \times 150^2}{10 \times 126000 \times 2631,89} = 0,086 \text{ cm}$$

$$2^{\circ}) I_{fi} = \frac{I_t}{1 + \lambda_i \mu} = \frac{4834}{1 + 6,974 \times 0,3} = 1563,29$$

$$f_{g_0} = \frac{M_g l^2}{10 E_i I_{fi}} = \frac{127,45 \times 100 \times 150^2}{10 \times 378000 \times 1563,39} = 0,049 \text{ cm.}$$

$$3^{\circ}) f_{q_0} \quad I_{fi} = \frac{I_t}{1 + \lambda_i \mu} = 1563,29$$

$$f_{q_0} = \frac{M_q l^2}{10 E_i I_{fi}} = \frac{134,24 \times 100 \times 150^2}{10 \times 378000 \times 1563,29} = 0,074 \text{ cm}$$

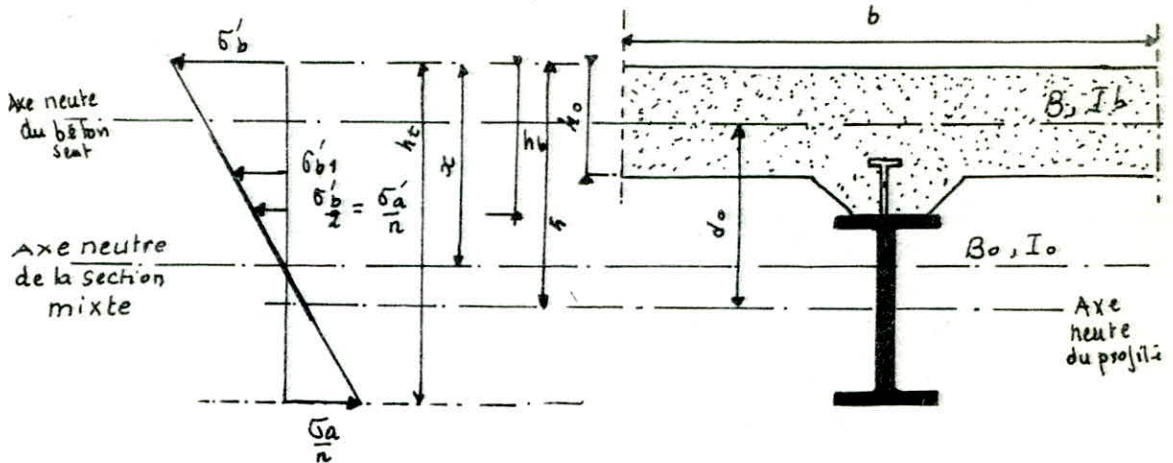
$$\Delta f_{\text{totale}} = f_{g_{\infty}} + f_{q_0} - f_{g_0} = 0,086 + 0,074 - 0,049 = 0,11 \text{ cm} \ll \frac{l}{500}$$

$$\bar{f} = \frac{l}{500} = 1,3 \text{ cm}$$

La flèche est donc vérifiée.

## PLANCHER COLLABORANT

Etude de la poutre mixte



Les relations entre les  $n$  paramètres sont définies comme suit :

$$h = \frac{h_0}{2} + d_0$$

$$B = b h_0$$

$$I_b = \frac{b h_0^3}{12}$$

$$B_0 = B + n A$$

2 cas peuvent se présenter.

a) l'axe neutre passe en dessous de la section du béton seul (dalle)

on a dans ce cas  $\frac{B}{nA} \leq \frac{2(h-h_0)}{h_0}$

la position de l'axe neutre est donnée par :

$$x = \frac{h_0}{2} + \frac{d_0 n A}{B_0}$$

b) l'axe neutre passe dans la dalle

dans ce cas  $\frac{B}{nA} > \frac{2(h-h_0)}{h_0}$

la position de l'axe neutre est donnée par  $x = \frac{2h}{1 + \sqrt{1 + \frac{2bh}{nA}}}$

Application

$h_0 = 8 \text{ cm}$

poutrelle IPE 270 (Plancher courant)  $\Rightarrow h_p = 27 \text{ cm}$

hauteur des nervures : 4 cm

$\Rightarrow d_0 = \frac{h_0}{2} + 4 + \frac{h_p}{2} = 4 + 4 + 13,5 = 21,5 \text{ cm}$

$h = d_0 + \frac{h_0}{2} = 25,5 \text{ cm}$



b : largeur de la dalle collaborante

$$b = \min \begin{cases} \ell/2 \\ \ell/10 \\ \frac{3}{4} (\text{distance section considérée à l'appui le + proche}) \end{cases}$$

" $\ell$ " : entreaxe de solives  
" $\ell$ " : portée de la solive

$$b = \min \begin{cases} 75 \text{ cm} \\ 60 \text{ cm}, 40 \text{ cm} \\ 3 \times \frac{150}{4} \end{cases} = (60, 48) \text{ cm}$$

pour des solives de portées resp<sup>t</sup> 6 m et 4 m.

\* Largeur moyenne de la nervure du béton ou du renformis = 12 cm

\* Les nervures du platelage sont orientées parallèlement aux portées.

Pour  $b = 48 \text{ cm}$

$$\frac{B}{nA} = \frac{48 \times 8}{15 \times 45,9} = 0,558$$

$$\frac{2(h-h_0)}{h_0} = \frac{2(25,5-8)}{8} = 4,375$$

$$\left. \begin{array}{l} \frac{B}{nA} < 2 \frac{(h-h_0)}{h_0} \end{array} \right\}$$

donc l'axe neutre tombe en dessous de la dalle

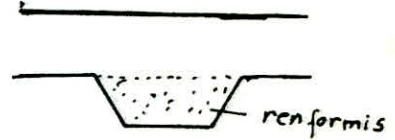
Section du renformis :  $4 \times 12 = 48 \text{ cm}^2$

$$B_0 = B + nA$$

$$B = b h_0 + 48 = 48 \times 8 + 48 = 432 \text{ cm}^2$$

$$B_0 = 432 + 15 \times 45,9 = 1120,5 \text{ cm}^2$$

$$x = \frac{h_0}{2} + d_0 \times \frac{nA}{B_0} = 4 + \frac{21,5 \times 15 \times 45,9}{1120,5} = \underline{\underline{17,2 \text{ cm}}}$$



La transmission des forces de glissement de la poutrelle vers le béton se fait par des connecteurs dont la capacité a été déterminée par des essais. Il existe plusieurs types de connecteurs, les + importants

1) goujon à tête de capacité  $\bar{Q} = 42 d \sqrt{d \sigma_j}$  d : diamètre du goujon

2) Cornières - -  $\bar{Q} = 40 (2 + \sqrt{d}) \sqrt{d b \sigma_j}$

b : largeur de la cornière  
d : épaisseur de l'aile.

Ces connecteurs doivent assurer une solidarité aussi efficace que possible. Ils doivent s'opposer au soulèvement de la dalle et surtout au glissement de la dalle en limitant les déplacements relatifs de l'acier et du béton à une valeur suffisamment faible pour ne pas entraîner d'une erreur appréciable les résultats de calcul basés sur la solidarisation complète des 2 matériaux.

Espacement des connecteurs Art 3.32 CTICM.

L'espacement des connecteurs ne peut en aucun <sup>cas</sup> dépasser 10 fois l'épaisseur de la dalle

$$t_c \leq 10 h_0 = 80 \text{ cm.}$$

On utilisera des connecteurs : goujons à tête cylindriques

La capacité d'un connecteur :

$$\bar{Q} = 42 d \sqrt{d \sigma_j'} \quad \textcircled{1} \quad (\text{CTICM Art 3.422})$$

$d$  (cm)

$\bar{Q}$  en daN

$$\sigma_j' = 270 \text{ daN/cm}^2$$

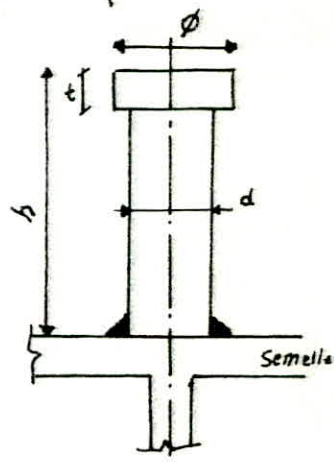
La relation  $\textcircled{1}$  n'est valable que si les dimensions vérifient:

$$1 \text{ cm} \leq d \leq 3,2 \text{ cm}$$

$$0,6 d \leq t \leq d$$

$$h \geq 4d$$

$$1,2 d \leq \phi \leq 1,4 d$$



- Les connecteurs offrent la même résistance dans les 2 sens.
- Les résistances de plusieurs connecteurs situés sur une même section s'additionnent quels que soient leurs écartements

On considère pour nos calculs un goujon dont les dimensions sont:

$$d = 1,6 \text{ cm}$$

$$t = 1,2 \text{ cm}$$

$$h = 7 \text{ cm}$$

$$\phi = 2 \text{ cm.}$$

} Toutes les conditions sont vérifiées

$$\bar{Q} = 42 \times 1,6 \sqrt{1,6 \times 270} = 1396,7 \text{ daN.}$$

Action de l'effort tranchant (CTICM Art 2.41)

L'effort tranchant  $T$  provoque un effort de glissement (de la dalle sur solive) / unité de longueur :  $T_1$

$$T_1 = \frac{T \cdot S^*}{I_0} \quad \textcircled{2} \quad \text{si } x \geq h_0 \quad (\text{valable pour notre cas})$$

Avec

$$S^* = \frac{d_o \cdot n \cdot A \cdot B}{B_o}$$

Moment statique (à l'axe neutre) d'une partie de la section mixte située d'un côté de la ligne contact acier-béton.

$$I_o = I_b + n I_a + S^* d_o$$

Moment d'inertie de la section homogénéisée / à l'axe neutre de la section mixte

$$I_b = \frac{I_{b0}^3}{3} + \frac{b v_0^3}{3} + \left( \frac{w c^3}{12} + 48 v_0^2 \right) \text{ moment d'inertie de la section du béton (renformis compris)}$$

•  $I_a$  moment d'inertie du profilé

•  $A = 45,9 \text{ cm}^2$

•  $I_b = \frac{48 \times 4,66^3}{3} + 48 \times \frac{3,34^3}{3} + \left( \frac{12 \times 4^3}{12} + 12 \times 4 \times 5,34^2 \right) = 3648 \text{ cm}^4$

•  $B = b h_o + 12 \times 4 = 432 \text{ cm}^2$

•  $B_o = B + n A = 1120,5 \text{ cm}^2$

•  $I_a = 5790 \text{ cm}^4$

$$I_o = 3648 + 15 \times 5790 + S^* \times 21,5 = \underline{213200,3 \text{ cm}^4}$$

$$S^* = \frac{21,5 \times 15 \times 45,9 \times 432}{1120,5} = \underline{5707 \text{ cm}^3}$$

$$T_1 = \frac{T S^*}{I_o}$$

selon CTICM - Art 2.413) on admet que  $T = \frac{q \ell}{2,4}$

$$q = (477 + 1,2 \times 250) \times 4,8 = 37296 \text{ daN/mL}$$

$$T = \frac{372,96 \times 4,8}{2,4} = 745,92 \text{ daN}$$

$$T_1 = (\text{effort de glissement}) = \frac{T S^*}{I_o} = \frac{745,92 \times 5707}{213200,3} = 19,967 \text{ daN/cmL}$$

Nous prenons un espacement entre les goujons =  $t' = 30 \text{ cm}$ .

effort revenant au goujon =  $19,967 \times 30 = 599 \text{ daN} < \bar{Q} = 1396,7 \text{ daN}$

il n'y aura pas de glissement entre la dalle et la solive.



Vérification au cisaillement de l'âme desolive (IPE 270)

$$q = (G + 1,2P)b \quad \text{avec } b = 1,5 \text{ m}$$

$$G = 477 \text{ daN/m}^2$$

$$P = 250 \text{ daN/m}^2$$

$$q = 1165,5 \text{ daN/ml}$$

$$\text{d'où l'effort tranchant max : } T = q \frac{l}{2} = 1165,5 \times \frac{4,8}{2} = 2797,2 \text{ daN}$$

contrainte tangentielle engendrée par T:

$$\tau = \frac{T \max S^{x-x}}{I_{x-x} e_a} * \frac{A_a^{brut}}{A_a^{nette}} \quad \text{IPE 270} \rightarrow \begin{cases} I_{x-x} = 5790 \text{ cm}^4 \\ S^{x-x} = 242 \text{ cm}^3 \\ e_a = 0,66 \text{ cm} \\ A_a^{br} = 14,52 \text{ cm}^2 \end{cases}$$

nous prenons un boulon ordinaire  $\phi 12 \Rightarrow d_{tr} = 1,4 \text{ cm}$

$$A_{ame}^{nette} = 14,52 - 1,4 \times 0,66 = 13,596 \text{ cm}^2$$

$$\tau = \frac{2797,2}{5790} * \frac{242}{0,66} * \frac{14,52}{13,596} = 188,84 \text{ daN/cm}^2 < \frac{\sigma_e}{1,54} \text{ vérifié.}$$

Vérifications des contraintes dans la section mixte

1. Contrainte dans le béton :

$$\sigma'_b = \frac{M x}{I_o} \quad M = q \frac{l^2}{8} = 1165,5 \times \frac{4,8^2}{8} = 3356,64 \text{ mdaN}$$

$$\sigma'_b = \frac{335640 \times 17,2}{213200,3} = 27,1 \text{ daN/cm}^2 < \frac{3}{4} \sigma'_b \text{ vérifié.}$$

2. Contrainte dans l'aile (de l'acier) supérieure

$$\sigma'_a = \frac{n M (x - h_b)}{I_o} = \frac{15 \times 335664 (17,2 - 12)}{213200,3} = 122,8 < 2100 \text{ daN/cm}^2$$

( $\frac{7}{8} \sigma_e$ )  
Vérifié

3. Contrainte de l'acier dans l'aile inférieure

$$\sigma_a = \frac{n M (h_t - x)}{I_o} = \frac{15 \times 335664 (39 - 17,2)}{213200,3} = 514,8 < \frac{3}{4} \sigma_e = 1800 \text{ daN/cm}^2$$

Vérifié

Contraintes dus au retrait

- 27 -

$$\sigma'_b = \rho E_b \left[ \frac{S^*}{I_o} \left( h + \frac{I_b + n I_a}{n A d_o} \right) - 1 \right] = 4 \times 10^{-4} \times 14 \times 10^4 \left[ \frac{5707}{213200,3} \left( 25,5 + \frac{3648 + 15 \times 5790}{15 \times 45,9 \times 21,5} \right) - 1 \right]$$
$$= -8,61 \text{ daN/cm}^2$$

$$\sigma'_a = \rho E_a \left[ \frac{S^*}{I_o} \left( h - h_b + \frac{I_b + n I_a}{n A d_o} \right) \right] = 4 \times 10^{-4} \times 21 \times 10^5 \left[ \frac{5707}{213200,3} \left( 25,5 - 12 + \frac{3648 + 15 \times 5790}{15 \times 45,9 \times 21,5} \right) \right]$$
$$= 441 \text{ daN/cm}^2$$

$$\sigma_a = -\rho E_a \left[ \frac{S^*}{I_o} \left( h_t - h - \frac{I_b + n I_a}{n A d_o} \right) \right] = -4 \times 10^{-4} \times 21 \times 10^5 \left[ \frac{5707}{213200,3} \left( 39 - 25,5 - \frac{3648 + 15 \times 5790}{15 \times 45,9 \times 21,5} \right) \right]$$
$$= -166 \text{ daN/cm}^2$$

Contraintes totales dans la section mixte :

$$\sigma_b = 27,1 + 8,61 = 35,71 \text{ daN/cm}^2 < \frac{3}{4} \bar{\sigma}_b$$

$$\sigma'_a = 122,8 + 441 = 563,8 < \frac{7}{8} \sigma_e = 2100 \text{ daN/cm}^2 \text{ CTICM. I-31}$$

$$\sigma_a = 514,8 + 166 = 680,8 < \frac{3}{4} \sigma_e = 1800 \text{ daN/cm}^2 \text{ CTICM. I-31}$$

verification de la flèche : section homogène (mixte)

$$f = \frac{\rho S^* l^2}{8 I_o} = \frac{4 \times 10^{-4} \times 5707 \times 480^2}{8 \times 213200,3} = 0,31 \text{ cm} < \frac{l}{500} = 0,96 \text{ cm}$$

verifié.

- Les connecteurs sont les mêmes pour le plancher terrasse et courant, pour des solives de longueurs 6m; 4,8m ou 3m.
- Nous n'avons pas utilisé des étais sous la solive, alors il n'ya pas lieu de tenir compte du p. propre de la solive.
- les armatures de la dalle ont été négligées dans le calcul des inerties.

CALCUL DE L'ACROTÈRE

hauteur de l'acrotère : 60 cm

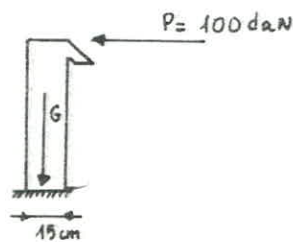
Forces agissantes : - Force horizontale P (main courante)  
- Poids propre G

L'acrotère est assimilée à une console encastree à sa base

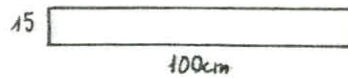
$$G = 0.60 \times 0.15 \times (1m) \times 2,5 = 0.225 \text{ tf/ml} = 225 \text{ dan/ml}$$

$$N = G = 225 \text{ dan/ml} \quad (\text{compression})$$

$$M = 1,2 \times P \times h = 1,2 \times 0,1 \times 0,6 = 0,072 \text{ tf.m} = 72 \text{ m.dan}$$



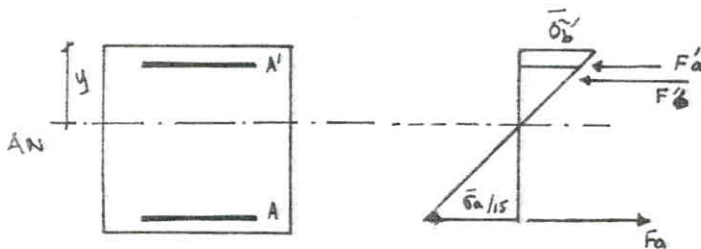
Section à considerer pour le calcul



Excentricité  $e_0 = \frac{M}{N} = \frac{72 \times 10^2}{225} = 32 \text{ cm.}$

$e_1 = \frac{ht}{6} = \frac{15}{6} = 2,5 \text{ cm}$

$e_0 > e_1 \Rightarrow$  Section partiellement comprimée



Moment fictif :  $M_a = N \cdot f_a$   $f_a$ : distance du cdg des Aciers tendus au centre de pression

$$f_a = e_0 + \left(\frac{ht}{2} - d\right) = 32 + \left(\frac{15}{2} - 2\right) = 37,5 \text{ cm.}$$

$$M_a = 225 \times 0,375 = 84,375 \text{ m.dan}$$

Moment résistant du béton :

$$M_{rb} = F_b \times z = \frac{1}{2} b y \bar{\sigma}_b' z \quad \text{avec } z = h - \frac{y}{3}$$

$$y = \bar{\alpha} h, \quad \bar{\alpha} = \frac{n \bar{\sigma}_b'}{n \bar{\sigma}_b' + \bar{\sigma}_a} = \frac{137 \times 15}{137 \times 15 + 2800} = 0,423$$

d'où  $M_{rb} = 358610 \text{ dan.cm} = 3586,1 > M_a$  Pas d'aciers comprimés

$A = \frac{M_a}{\bar{\sigma}_a E h}$  ferrailage selon méthode charon

$$\mu = \frac{15 M}{\bar{\sigma}_a b h^2} = \frac{15 \times 84375}{2800 \times 100 \times 15^2} = 0,0031 \Rightarrow \begin{cases} K = 182 \\ \epsilon = 0,9746 \\ \alpha = 0,0761 \end{cases}$$

$$A_1 = \frac{Ma}{\bar{\sigma}_a h} = \frac{8437,5}{2800 * 0,9746 * 13} = 0,24 \text{ cm}^2 / \text{ml}$$

Section finale des aciers tendus

$$A = A_1 - \frac{N}{\bar{\sigma}_a} = 0,24 - \frac{225}{2800} = 0,16 \text{ cm}^2$$

on adoptera la section min donnée par la condition de non fragilité

$$A \geq 0,69 bh \frac{\bar{\sigma}_b}{\bar{\sigma}_{en}} \quad \bar{\sigma}_b = 5,9 \text{ daN/cm}^2 \quad \bar{\sigma}_{en} = 4200 \text{ daN/cm}^2$$

$$b = 100 \text{ cm} \quad h = 13 \text{ cm.}$$

$$A \geq 0,69 * 100 * 13 * \frac{5,9}{4200} = 1,26 \text{ cm}^2 / \text{ml.}$$

soit 5T6 / ml (A = 1.41 cm<sup>2</sup>)

Fissuration

k = 10<sup>6</sup> fissuration préjudiciable

$$\phi = 6 \text{ mm}$$

η = 1,6 Acier Tor

$$\bar{\sigma}_b = 5,9 \text{ daN/cm}^2$$

$$\bar{\omega}_f = \frac{A}{B_f} = \frac{1,41}{2 * 100 * 13} = 0,0035$$

$$\sigma_1 = \frac{k \eta}{\phi} \cdot \frac{\bar{\omega}_f}{1 + 10 \bar{\omega}_f} = 901,8 \text{ daN/cm}^2$$

$$\sigma_2 = 2,4 \sqrt{\frac{k \eta \bar{\sigma}_b}{\phi}} = 2,4 \sqrt{\frac{10^6 * 1,6 * 5,9}{6}} = 3010,4 \text{ daN/cm}^2$$

$$\max(\sigma_1, \sigma_2) = \sigma_2 = 3010,4 > \bar{\sigma}_a = 2800 \quad \text{Pas de risque de fissuration}$$

vérification à l'E.T.

$$A \bar{\sigma}_a > T + \frac{Ma}{z} \quad z = \frac{\eta}{8} * 13 = 11,4 \text{ cm}$$

$$T = 1,2 P = 120 \text{ daN}$$

$$T + \frac{Ma}{z} = 120 - \frac{8437,5}{11,4} = - 620,13 \text{ daN}$$

$$A \bar{\sigma}_a = 1,41 * 2800 = 3948 \text{ daN} > T + \frac{Ma}{z} \quad \text{verifié}$$

seisme local de l'acrotère (RPA 81) Art 3.33

L'acrotère sera vérifié sous l'action de la force horizontale : Fp = z I Cp Wp

Wp : poids de l'élément = G = 225 daN (bande de 1m)

$$z = \frac{A(\text{Gr.2, zone II})}{A(\text{Gr.2, zone III})} = \frac{0,75}{0,25} = 0,6$$

A : coef d'accélération des zones  
Tableau 3,3,1,1 RPA81

Cp = 0,8 pour une console

$$I = \frac{A(\text{Grouped usage de bâtiment})}{A(\text{Grouped usage 2})} = \frac{A(\text{Gr2})}{A(\text{Gr2})} = 1$$

$$\text{d'où } F_b = 0,6 * 1 * 0,8 * 225 = 108 \text{ daN} < 1,2 P$$

Donc cette force peut être reprise par l'acrotère qui a été calculée pour une surcharge = 1,2 P = 120 daN. > Fp.

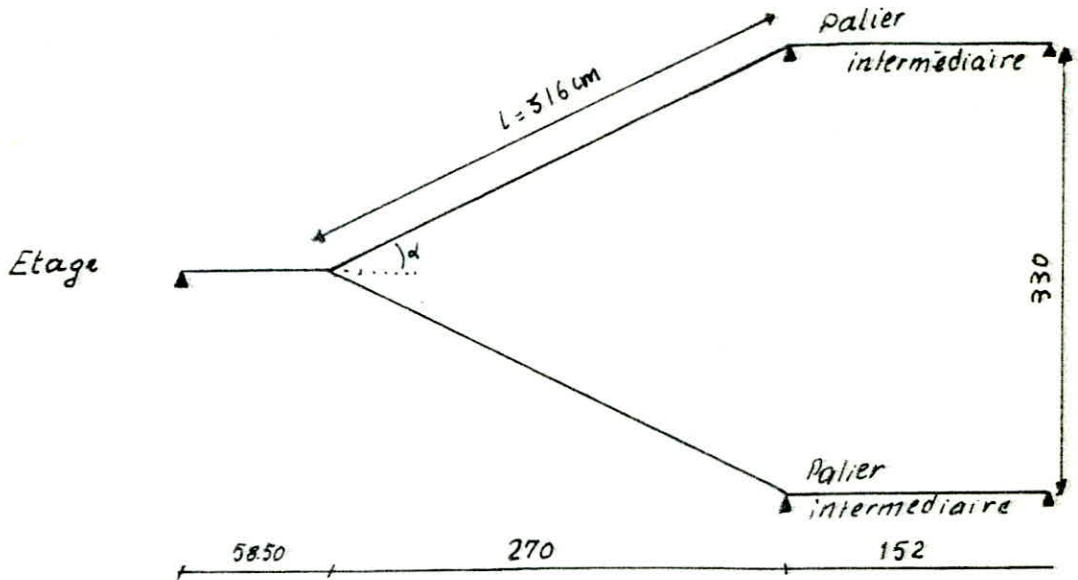
Le seisme local est donc vérifié.



## ESCALIERS INTERIEURS (en béton armé)

Constitués de 2 poutres dalles inclinées, 2 paliers d'étage et un palier intermédiaire à mi-hauteur d'étage.

schéma statique de calcul



largeur d'une marche :  $g = 30 \text{ cm}$   
 hauteur d'une marche :  $h = 16,5 \text{ cm}$

$$g + 2h = 63 \text{ cm}$$

Relation de Blondel  $60 < g + 2h < 64$  vérifiée.

$$\tan \alpha = \frac{165}{270} = 0,61 \Rightarrow \alpha = 31,4^\circ \quad \sin \alpha = 0,521 \quad \cos \alpha = 0,853$$

$$l = \frac{270}{\cos \alpha} = \frac{270}{0,853} = 316 \text{ cm}$$

épaisseur de la dalle de la paillasse est généralement comprises entre 6 et 12 cm. pour notre cas :  $h_t = 8 \text{ cm}$

Evaluation des charges.

I. Palier

P. propre palier :  $2500 \times 0,08 = 200 \text{ daN/m}^2$

Mortier de pose :  $2200 \times 0,02 = 44 \text{ daN/m}^2$

Marbre (3cm) :  $2500 \times 0,03 = 78 \text{ daN/m}^2$

$$G = 322 \text{ daN/m}^2$$

surcharge (bt administratif)

$$P = 400 \text{ daN/m}^2$$

$$6 + 1,2P = 922 \text{ daN/m}^2$$

II. Paillasse ( $\cos \alpha = 0,853$ )

p. p. paillasse :  $\frac{2500 \times 0,08}{0,853} = 234,5 \text{ daN/m}^2$

Mortier de pose : 44

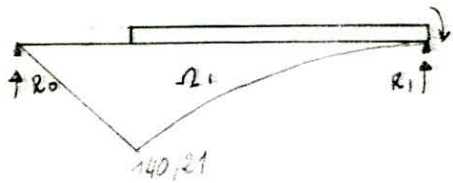
Marbre : 78

P. p. marches :  $\frac{2200 \times 0,165}{2} = 181,5 \text{ daN/m}^2$

$$G = 538 \text{ daN/m}^2$$

$$G + 1,2P = 1938 \text{ daN/m}^2$$

①



$$R_0 + R_1 = 216 \times 2,7 = 583,2 \text{ daN}$$

$$R_0 = \frac{583,2 \times \frac{2,7}{2}}{3,285} = 239,67 \text{ daN}$$

$$R_1 = 343,53 \text{ daN}$$



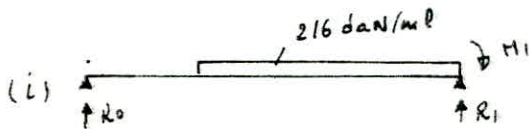
l'équation des 3 moments se réduit à :  $2M_1 \times 4,805 = -6 \frac{Q_1 a_1}{l_1}$

détermination du c.d.g de  $Q_1$ .

$$x = \frac{\frac{1}{2} \times 0,585 \times 140,21 + \frac{2}{3} \times 0,585 + \frac{1}{3} \times 2,7 \times 140,21 \times \left(\frac{1}{4} \times 2,7 + 0,585\right)}{\frac{1}{2} \times 140,21 \times 0,585 + \frac{1}{3} \times 2,7 \times 140,21}$$

$$= 1,047 \text{ m à partir de } R_0$$

$$\Rightarrow M_1 = -33,26 \text{ m daN}$$

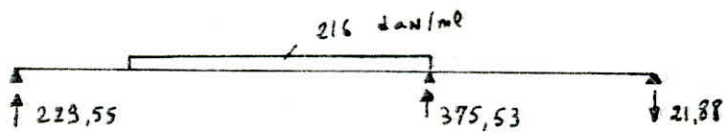


$$\Rightarrow \begin{aligned} R_0 &= 229,55 \text{ daN} \\ R_1 &= 353,65 \text{ daN} \end{aligned}$$

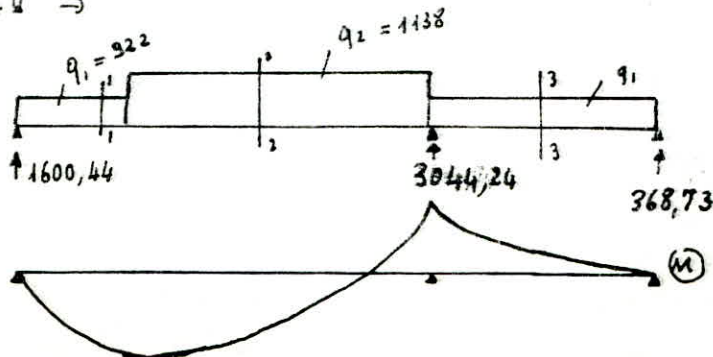


$$\Rightarrow \begin{aligned} R'_1 &= 21,88 \text{ daN} \\ R'_2 &= -21,88 \text{ daN} \end{aligned}$$

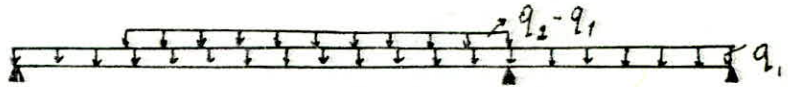
(i) + (ii)  $\rightarrow$  II



I + II  $\rightarrow$



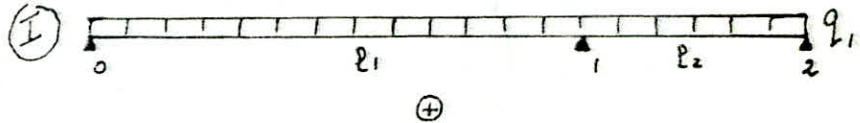
## schéma statique de calcul.



ou décompose cette poutre en 2 poutres continues :

$$q_1 = 922 \times 1m$$

$$= 922 \text{ dan/ml}$$



$$q_2 = 1138 \times 1m$$

$$= 1138 \text{ dan/ml}$$

$$q_2 - q_1 = 216 \text{ dan/ml}$$



① on calcule cette poutre par la méthode des 3 moments :

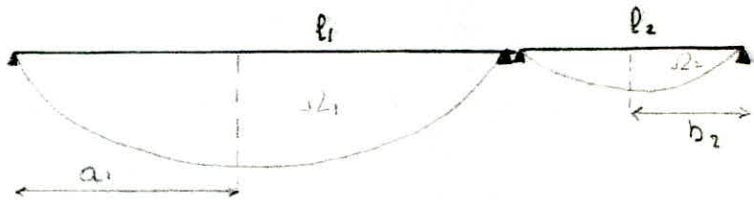
$$M_0 l_1 + 2M_1 (l_1 + l_2) + M_2 l_2 = -6 \left[ \frac{\Omega_1 a_1}{l_1} + \frac{\Omega_2 b_2}{l_2} \right]$$

$$M_0 = M_2 = 0$$

$$\Rightarrow 2M_1 (l_1 + l_2) = -6 \left[ \frac{\Omega_1 a_1}{l_1} + \frac{\Omega_2 b_2}{l_2} \right]$$

$$\frac{a_1}{l_1} = \frac{1}{2}$$

$$\frac{b_2}{l_2} = \frac{1}{2}$$



$$2M_1 (4,805) = -6 \left[ \frac{1}{2} \times 922 \times \frac{3,285^2}{8} + \frac{1}{2} \times 922 \times \frac{1,52^2}{8} \right] = \frac{-6}{16} \times 922 [3,285^2 + 1,52^2]$$

$$\Rightarrow M_1 = -471,37 \text{ mdan}$$



$\sum M/R_1$

$$R_0 \times 3,285 - 922 \times \frac{3,285^2}{2} + 471,37 = 0 \Rightarrow R_0 = 1370,89 \text{ dan}$$

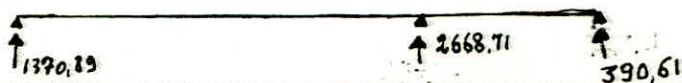
$$\text{d'où } R_1 = 1657,88 \text{ dan}$$



$$1,52 \times R_2 + M_1 - q_1 \times \frac{1,52^2}{2} = 0 \Rightarrow R_2 = 390,61$$

$$R'_1 = +1010,85$$

②

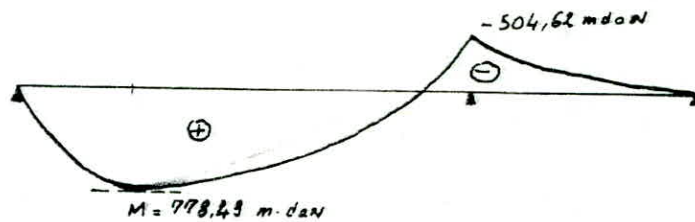


## Diagramme des moments

Section 1-1  $M_1(x) = 1600,44x - \frac{922}{2}x^2 \Rightarrow M_1(0) = 0$   
 $M_1(0,585) = 778,49 \text{ m.daN}$

Section 2-2  $M_2(x) = 1600,44x - \frac{922}{2}x^2 - \frac{216}{2}(x-0,585)^2 \Rightarrow M_2(0,585) = 778,49$   
 $M_2(3,285) = -504,61$

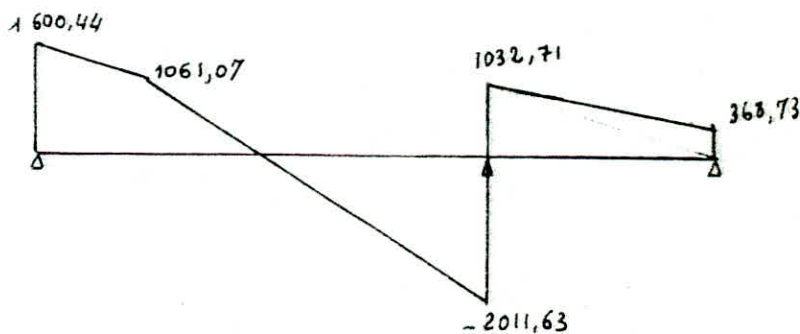
Section 3-3  $M_3(x) = 368,73x - \frac{922}{2}x^2 \Rightarrow M_3(0) = 0$   
 $M_3(1,52) = 504,62 \text{ m.daN}$

Diagramme des efforts tranchants :

$T_1(x) = 1600,44 - 922x \rightarrow T_1(0) = 1600,44 \text{ daN}$   
 $T_1(0,585) = 1061,07 \text{ daN}$

$T_2(x) = 1600,44 - 922x - 216(x-0,585) \Rightarrow T_2(0,585) = 1061,07$   
 $T_2(3,285) = -2011,63$

$T_3(x) = -368,73 + 922x \rightarrow T_3(0) = -368,73 \text{ daN}$   
 $T_3(1,52) = +1032,71 \text{ daN}$

FERRAILLAGE (Méthode charron)

$$\mu = \frac{15M}{\sigma_s b h^2} \rightarrow \frac{K}{\epsilon} \text{ (Tableaux)} \rightarrow A = \frac{M}{\epsilon h \sigma_a}$$

i) En travée  $M_{\max} = 778,49 \text{ m.daN}$

$\mu = \frac{15 \times 77849}{2800 \times 100 \times 6^2} = 0,1158 \rightarrow K = 22,5$   
 $\epsilon = 0,8666$

$\phi \leq \frac{80}{10} = 8 \text{ mm}$

$A = \frac{77849}{0,8666 \times 6 \times 2800} = 5,35 \text{ cm}^2/\text{ml}$  Soit ~~7710/ml (5,49 cm<sup>2</sup>)~~  
 1178/ml (5,52 cm<sup>2</sup>)



Armatures de repartition

$$A_r \geq \frac{A}{4} = \frac{5,35}{4} = 1,34 \text{ cm}^2/\text{ml}$$

soit 3 T8 / ml (1,50 cm<sup>2</sup>).

Sur appui  $M_{\text{max}} = 504,62 \text{ m dan}$

$$\mu = \frac{15 \times 504,62 \times 10^2}{2800 \times 100 \times 6^2} = 0,0751 \rightarrow K = 29,75$$

$$E = 0,8882$$

$$A = \frac{M}{Eh\bar{\sigma}_a} = \frac{50462}{0,8882 \times 6 \times 2800} = 3,38 \text{ cm}^2/\text{ml}$$

soit 7 T8 / ml ( $A = 3,51 \text{ cm}^2$ ).

Verifications des contraintes

en travée  $\bar{\sigma}_a = \frac{M}{AEh} < \bar{\sigma}_a$        $\bar{\sigma}_a = \frac{77849}{0,8666 \times 6 \times 5,52} = 2712,3 < 2800 \text{ dan/cm}^2$

$$\bar{\sigma}'_b = \frac{\bar{\sigma}_a}{K} = \frac{2712,3}{22,5} = 120,55 < \bar{\sigma}'_b = 135 \text{ dan/cm}^2$$

en appui  $\bar{\sigma}_a = \frac{M}{AEh} = \frac{50462}{0,8882 \times 3,51 \times 6} = 2697,7 < 2800 \text{ dan/cm}^2$

$$\bar{\sigma}'_b = \frac{2697,7}{29,75} = 90,7 < 135 \text{ dan/cm}^2$$

Condition de non fragilité: CCBA 68 Art. 52

$$A \geq 0,69 bh \frac{\bar{\sigma}'_b}{\bar{\sigma}_{en}} = 0,69 \times 100 \times 6 \times \frac{5,9}{4200} = 0,58 \text{ cm}^2$$

vérifiée

Verification de la flèche:  $\frac{A}{bh} \leq \frac{43}{\bar{\sigma}_{en}}$   
CCBA 68. Art 61.21

$$\left. \begin{array}{l} \frac{A}{bh} = 0,0092 \\ \frac{43}{\bar{\sigma}_{en}} = 0,0102 \end{array} \right\} \Rightarrow \frac{A}{bh} < \frac{43}{\bar{\sigma}_{en}} \quad \text{vérifiée.}$$

inutile de vérifier la flèche.

Armatures transversales

$$T_{\text{max}} = 2011,63 \text{ dan}$$

$$\bar{\sigma}'_{b,\text{max}} (\text{contrainte de cisaillement}) = \frac{T_{\text{max}}}{b \cdot \frac{2}{3}} = \frac{2011,63}{100 \times \frac{2}{3} \times 6} = 3,83 \text{ dan/cm}^2 < 1,15 \bar{\sigma}'_b$$

$$\bar{\sigma}'_{b,\text{max}} < \bar{\sigma}'_b = 1,15 \bar{\sigma}'_b$$

verification de l'effort tranchant aux appuis :

$$A \bar{\sigma}_a > T + \frac{M}{z} = 2011,63 - \frac{504,62 \times 10^2}{\frac{7}{8} \times 6} = -7600,2 < 0$$

$$5,52 \times 2800 > T + \frac{M}{z} \quad \text{vérifiée} \quad \text{la section d'armatures peut équilibrer } T + \frac{M}{z}$$

La section d'armatures inférieures n'est soumise à aucune traction.

fissuration

$$K = 1,5 \times 10^6 \quad \text{fiss. peu nuisible}$$

$$\eta = 1,6$$

$$\phi = 8 \text{ mm}$$

$$\bar{\omega}_f = \frac{A}{B_f} = \frac{A}{2bd} = \frac{5,52}{4 \times 100} = 1,38 \times 10^{-2}$$

$$\sigma_1 = \frac{k \eta}{\phi} * \frac{\bar{\omega}_f}{1 + 10 \bar{\omega}_f} = 3638$$

$$\sigma_2 = 2,4 \left( \frac{k \eta \cdot \bar{\sigma}_b}{\phi} \right)^{1/2} = 3193$$

$$\max(\sigma_1, \sigma_2) > \bar{\sigma}_a = \frac{2}{3} \sigma_{en} \quad \text{fissuration limitée}$$

Poutre palière

on considère une section  $20 \times 30 \text{ cm}^2$

Charges revenant à la poutre : poids propre :  $0,2 \times 0,3 \times 2500 = 150 \frac{\text{daN}}{\text{ml}}$

Reaction :  $2011,63 \frac{\text{daN}}{\text{ml}}$

Tot :  $2161,63 \frac{\text{daN}}{\text{ml}}$

$$\text{Moment isostatique : } M_0 = \frac{q l^2}{8} = \frac{2161,63 \times 2,68^2}{8} = 1940,7 \text{ m daN}$$

En tenant compte d'un faible encastrement à l'appui :

$$M_{travée} = 0,85 M_0 = 1649,6 \text{ m daN}$$

$$M_{appui} = 0,3 M_0 = 582,2 \text{ m daN}$$

Les moments vérifient :  $M_t + \frac{|M_w + M_e|}{2} \gg 1,15 M_0$

Ferraillage  
- en travée

$$\mu = \frac{15 M}{\bar{\sigma}_a b h^2} = \frac{15 \times 164960}{2800 \times 20 \times 27^2} = 0,0606 \rightarrow \epsilon = 0,8980$$

$$K = 34$$

$$\text{Armatures tendues : } A = \frac{M}{\bar{\sigma}_a \epsilon h} = \frac{164960}{2800 \times 0,8980 \times 27} = 2,25 \text{ cm}^2$$

soit 2T14 ( $3,08 \text{ cm}^2$ ) ( $3,08 \text{ cm}^2$ )

$K = 34 > \bar{K} = 20,4$  Armatures comprimées non nécessaires.  
prendre 2T10 (Armatures de montage)

sur appui

$$M_a = 582,2 \text{ m} \cdot \text{daN}$$

$$\mu = \frac{15 M}{\bar{\sigma}_{ab} b h^2} = \frac{15 \times 582,2}{2800 \times 20 \times 27^2} = 0,0214 \quad \rightarrow \quad \begin{aligned} \epsilon &= 0,9359 \\ K &= 63 \end{aligned}$$

$K = 63 > \bar{K} = 20,4$  Armatures comprimées non nécessaires

Armatures tendues :

$$A = \frac{582,2 \times 10^2}{2800 \times 0,9359 \times 27} = 0,82 \text{ cm}^2 \text{ soit } 2 \text{ T}10 (1,57 \text{ cm}^2)$$

Condition de non fragilité

$$A > 0,69 \times 20 \times 27 \times \frac{5,9}{4200} = 0,52 \text{ cm}^2 \text{ vérifiée}$$

Vérification des contraintes

$$\text{entraavée: } \bar{\sigma}_a = \frac{M}{A \epsilon h} = \frac{154960}{27 \times 0,8980 \times 3,08} = 2209 < 2800 \text{ daN/cm}^2$$

$$\bar{\sigma}'_b = \frac{2209}{K} = \frac{2209}{34} = 65 \text{ daN/cm}^2 < \bar{\sigma}'_b$$

$$\text{Aux appuis : } \bar{\sigma}_a = \frac{M}{\epsilon h A} = \frac{58220}{0,9359 \times 27 \times 1,57} = 1467,5 \text{ daN/cm}^2$$

$$\bar{\sigma}'_b = \frac{\bar{\sigma}_a}{K} = 23,3 \text{ daN/cm}^2$$

Vérification à l'effort tranchant.

$$\text{Appui : } A \bar{\sigma}_a \geq T + \frac{M}{z}$$

La section d'armatures <sup>inf</sup> qui traverse l'appui devra équilibrer l'effort  $T + \frac{M}{z}$  (M pris avec son signe)

La poutre étant de faible longueur, on n'arrête pas les barres inférieures.  
d'où  $A = 3,08 \text{ cm}^2$

$$\begin{aligned} A \cdot \bar{\sigma}_a &= 8624 \text{ daN} & T &= 3044,24 \text{ daN} & M &= -582,2 \text{ m} \cdot \text{daN} \\ T + \frac{M}{z} &= 3044,24 - \frac{582,2 \times 10^2}{7/8 \times 27} & & & & = 2464 \text{ daN} \end{aligned}$$

Les armatures inférieures qui traversent l'appui équilibrent l'effort de traction  $T + \frac{M}{z}$ .

Vérification de la flèche : il est inutile de justifier la flèche si la relation suivante est vérifiée :  $\frac{A}{bh} < \frac{43}{\bar{\sigma}_{au}}$

$$\frac{A}{bh} = \frac{3,08}{20 \times 27} = 0,0057 < \frac{43}{\bar{\sigma}_{au}} = 0,0102$$

vérifiée



## ARMATURES TRANSVERSALES

$$\bar{\sigma}_b^{\max} = \frac{T^{\max}}{b \cdot z} = \frac{3044,24}{20 \times \frac{7}{8} \times 27} = 6,44 \text{ dan/cm}^2$$

$$\bar{\sigma}_b = 3,5 \bar{\sigma}_b^{\max} = 20,65 \text{ dan/cm}^2$$

$\Rightarrow \bar{\sigma}_b^{\max} < \bar{\sigma}_b$   
 Des armatures droites  
 suffisent : 1 cadre  $\phi 8$

$$\bar{\sigma}_{at} = \rho_{at} \bar{\sigma}_{eu} \quad \text{avec } \rho_{at} = \max\left(\frac{2}{3}, 1 - \frac{\bar{\sigma}_b}{9 \bar{\sigma}_b}\right) = 0,9$$

$$\bar{\sigma}_{at} = 0,9 \times 2400 = 2160 \text{ dan/cm}^2 \quad (\text{armatures lisses})$$

Espacement des armatures :  $A_t = 2\phi 8 \text{ (cadre } \phi 8) = 2 \times 0,5 \text{ cm}^2 = 1 \text{ cm}^2$

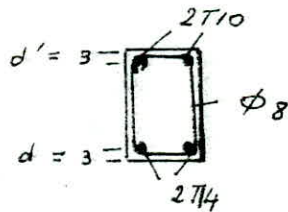
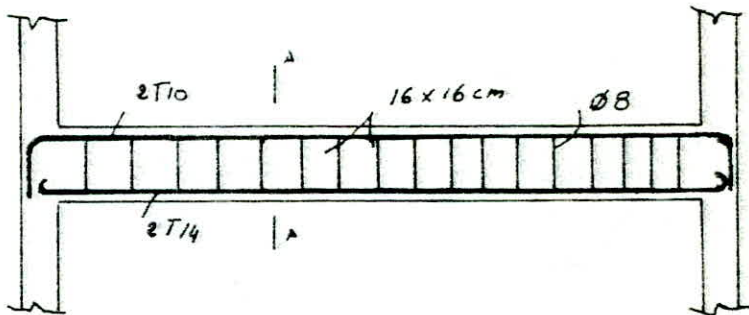
$$t \leq A_t \cdot \frac{\bar{\sigma}_{at}}{T} \cdot z = 2 \times 0,50 \times \frac{2160}{3044,24} \times \frac{7}{8} \times 27 = 16,8 \text{ cm}$$

espacement admissible  $\bar{t}$

$$\bar{t} = \max\left(0,2h, h\left(1 - 0,3 \frac{\bar{\sigma}_b}{\bar{\sigma}_b}\right)\right) = \max(5,4; 19,6) = 19,6 \text{ cm}$$

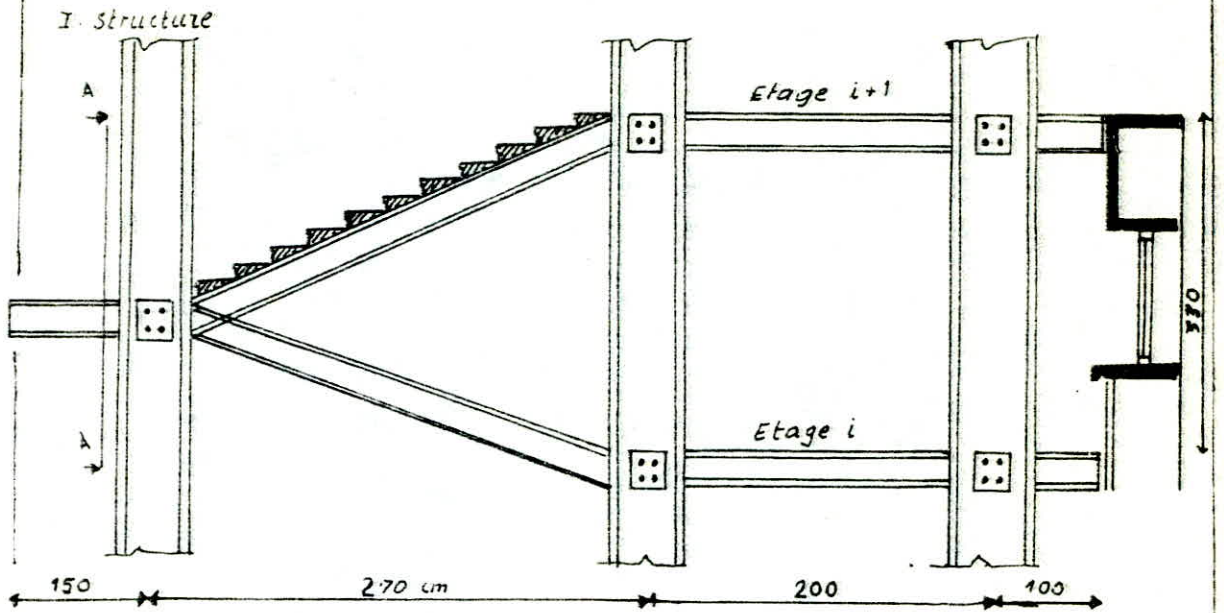
$$t < \bar{t}$$

on prend un espacement  $t = 16 \text{ cm}$ . soit 17 cadres  $\phi 8$   
 $\rightarrow 256 \text{ cm}$  test constant

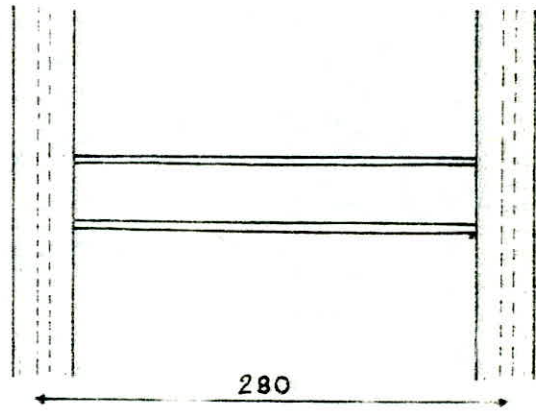




ESCALIERS EXTERIEURES  
( metalliques )



Coupe A-A



Les échelles ne sont pas respectées

Poutre de la paillasse CAP

$$q_0 = \frac{G+P}{\cos \alpha} = \frac{544}{0,853} \approx 638 \text{ daN/m}^2$$

$$q_l = \frac{q_0 \times 1,36}{2} = 433,9 \text{ daN/ml} \quad l = 2,7 \text{ m}$$

$$I_x \gg \frac{5 \times 433,9 \times 2,7^3 \times 300 \times 10^4}{2,1 \times 10^6 \times 384} \approx 159 \text{ cm}^4$$

soit un CAP 100 ( $I_x = 209,5 \text{ cm}^4$ )

Vérification de la résistance : 1 - Porte à faux.

$$G = 144 \text{ daN/m}^2$$

$$P = 400 \text{ daN/m}^2$$

$$\text{IPE } 120 \quad p = 10,4 \text{ daN/ml} \quad W_x = 53 \text{ cm}^3$$

$$q_l = \left( \frac{4}{3} \times 144 + \frac{3}{2} \times 400 \right) \times 0,7 + \frac{4}{3} \times 10,4 = 568,27 \text{ daN/ml}$$

$$M_{\max} = \frac{q_l l^2}{2} = 639,3 \text{ m.daN}$$

$$T_{\max} = q_l l = 852,4 \text{ daN}$$

• résistance à la flexion simple :  $\frac{M^{\max}}{W_x} = 1206,2 \text{ daN/cm}^2 < 2400$  vérifié

• Cisaillement

$$\tau = \frac{T \cdot S^{x-x}}{I_x \cdot e_a} = \frac{852,4 \times 30,4}{318 \times 6,3} = 12,93 < \frac{\sigma_e}{1,54}$$

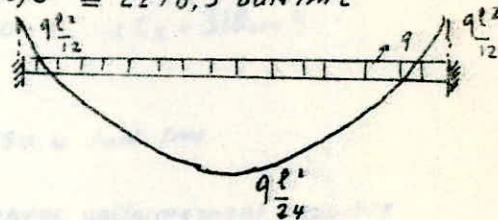
ou d'après CM 66 Art  
(vérifiée pour IPE)  $\tau = \frac{T}{A_a}$

2 - Poutre Palière

$$\text{IPE } 160 \quad \begin{cases} p = 15,8 \text{ daN/ml} \\ W_x = 109 \text{ cm}^3 \end{cases} \quad l = 2,8 \text{ m}$$

$$q_l = \left( \frac{4}{3} \times 144 + \frac{3}{2} \times 400 \right) 2,85 + \frac{4}{3} \times 15,8 = 2278,3 \text{ daN/ml}$$

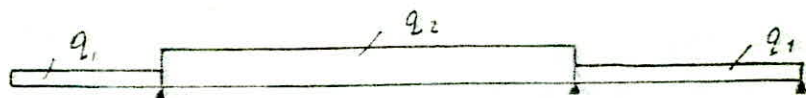
$$M_{\max} = \frac{q_l l^2}{12} = 1488,5 \text{ m.daN}$$

Vérification en Flexion simple

$$\sigma_s = \frac{M_{\max}}{W_x} = 1365,6 \text{ daN/cm}^2 < 2400$$

$$T_{\max} = q_l l = 6379,2 \text{ daN}$$

$$\tau = \frac{T}{A_a} = \frac{6379,2}{0,5 \times 12,7} = 1004,6 < \frac{\sigma_e}{1,54} = 1558 \frac{\text{daN}}{\text{cm}^2}$$

schéma statique

caractéristiques géométriques : hauteur d'une marche = 16,5 cm  
 largeur = 30 cm.

$$\tan \alpha = 0,61 \rightarrow \alpha = 31,4^\circ \quad \sin \alpha = 0,521 \quad \cos \alpha = 0,853$$

évaluation de la charge permanente : G

Mortier de pose	$2200 \times 0,02$	= 44	dan/m <sup>2</sup>
Carrelage et mode de fixation	$2000 \times 0,03$	= 60	-
Tôle striée 0,5 cm		40	-
		<hr/>	
		G = 144	dan/m <sup>2</sup>

Surcharge d'exploitation :

$$P = 400 \text{ dan/m}^2$$

Les marches sont constituées par des cornières de tôle striée et d'un revêtement.

$$q = \frac{(544) \times 0,30}{2} = 81 \text{ dan/ml}$$

$$\text{flèche : } f = \frac{5}{384} \times \frac{q l^4}{EI} \leq \frac{l}{300} \Rightarrow I \geq \frac{300 \times 5 \times q l^3}{384 E} = \frac{\quad}{4,13} \text{ cm}^4$$

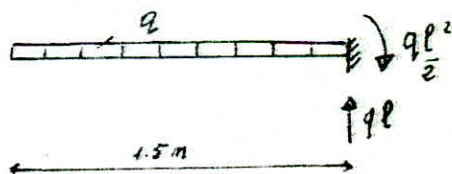
$$\text{cornières } 45 \times 45 \times 5, \quad I = 5,43 \text{ cm}^4$$

Palier intermédiaire en porte à faux

écartement des poutres : 0,7 m

$$f_{\max} = \frac{q l^4}{8 E I_x}$$

$$q = 0,7 \times 544 = 380,8$$



$$I_x \geq \frac{q l^3 \times 300}{8 \times E} = \frac{0,7 \times 544 \times (1,5)^3 \times 10^4 \times 300}{8 \times 2,1 \times 10^6} \approx 328 \text{ cm}^4 = 230 \text{ cm}^4$$

soit un IPE 120 ( $I_x = 318 \text{ cm}^4$ )

Poutre palière :  $l = 2,8 \text{ m}$

$$q = 544 \left(1,5 + \frac{2,7}{2}\right) = 1550,4 \text{ dan/ml}$$

$$f_{\max} = \frac{5 q l^4}{384 E I_x}$$

pour une charge uniformément répartie  
 poutre articulée (cas le + défavorable)

$$\bar{f} = \frac{l}{300}$$

$$\Rightarrow I \geq \frac{5 q l^3}{384 E} \times 300 = 633 \text{ cm}^4 \Rightarrow \text{IPE 160} \quad (I_x = 869 \text{ cm}^4)$$



3. Marches (cornières 45 x 45 x 5)  $\left\{ \begin{array}{l} \rho = 3,35 \\ W_x = 2,49 \text{ cm}^3 \end{array} \right.$

$$q = \left( \frac{4}{3} \times 144 + \frac{3}{2} \times 400 \right) \times \frac{0,30}{2} + 3,35 = 122,15 \text{ daN/ml}$$

$$M_{max} = \frac{122,15 \times 1,36^2}{8} = 28,24 \text{ m daN}$$

$$T_{max} = \frac{122,15 \times 1,36}{2} = 83,06 \text{ daN}$$

Résistance à la Flexion simple :  $\sigma = \frac{28,24 \times 10^2}{2,49} = 1134,1 \text{ daN/cm}^2 < \sigma_c$

4. POUTRE DE LA PAILLASSE

[ AP 100  $\left\{ \begin{array}{l} \rho = 10,5 \text{ daN/ml} \\ W_x = 47,9 \text{ cm}^3 \end{array} \right.$   $\cos \alpha = 0,853$   
 $\sin \alpha$

$$q = \left( \frac{4}{3} \times 144 + \frac{3}{2} \times 400 \right) \frac{1}{0,85} \times 0,68 + \frac{4}{3} \times 10,5 = 645,4 \text{ daN/ml}$$

cette poutre en pente est encastree à ses 2 extremités :

$$M_{max} = \frac{q l^2}{12} = \frac{645,4 \times 2,7^2}{12} = 392,1 \text{ m daN}$$

$$T_{max} = q l = 1742,8 \text{ daN}$$

résistance à la flexion :  $\sigma = \frac{M_{max}}{W_x} = 935,7 \text{ daN/cm}^2 < \sigma_c$

cisaillement  $\tau = \frac{T S^*}{e_y I_x} = 4,03 < \frac{\sigma_c}{1,54}$

Dimensionnement des poteaux de la cage d'escaliers

Les poteaux sont articulés à leurs bases.  
 Le poteau est dimensionné en compression simple.

Evaluation de la charge / étage.

$$G = \underbrace{15,8}_{\substack{\text{p. propre} \\ \text{poutre} \\ \text{palier}}} + \underbrace{4 \times 1,35 \times 10,5}_{\substack{\text{p. propre poutre} \\ \text{en pente}}} + \underbrace{5 \times 10,4 \times 1,5}_{\substack{\text{p.p. portes à} \\ \text{faux}}} + 144 \times 2,85 = 560,9 \text{ daN/ml.}$$

$$P = 400 \times 2,85 = 1140 \text{ daN/ml}$$

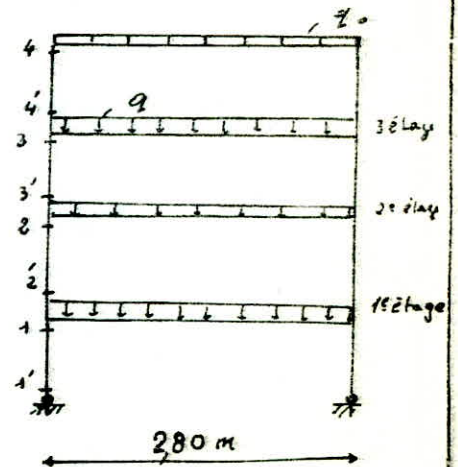
étage courant :  $q = 2458 \text{ daN/ml}$   
 $(\frac{4}{3} G + \frac{3}{2} P)$

Terrasse :

$$G = 15,8 + 4 \times 1,35 \times 10,5 + 5 \times 10,4 \times 1,5 + G_0$$

$$G_0 = (40 \times 2,85) = 114 \text{ daN/ml} \Rightarrow q = 265 \text{ daN/ml.}$$

Tôle striée en pente



Surcharge :  $N_n = 30 \text{ daN/m}^2$   
 $q_n = 30 \times 2,85 = 85,5 \text{ daN/ml}$



Descente de charges :

Niveau 4  $g = 265 * 1,4 = 371 \text{ daN}$

$N_n = 85,5 * 1,4 \approx 120 \text{ daN}$

Niveau 3,2,1  $g = 560,9 * 1,4 = 785 \text{ daN}$

$p = 1140 * 1,4 = 1596 \text{ daN}$

$N_4 = (\frac{4}{3}g + \frac{3}{2}N_n) = 675 \text{ daN}$

$N_3 = N_2 = N_1 = (\frac{4}{3}g + \frac{3}{2}p) = 3441 \text{ daN}$

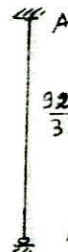
$N_{1'} = 675 + 3 * 3441 = 10998 \text{ daN}$

en tenant compte du poids propre du poteau (HEA 180) :  $p = \dots \text{ daN/ml}$   
35,5

$N_{\text{TOTAL}} = 10998 + 35,5 * 13,38 = 11473 \text{ daN}$

Determination de la longueur de flambement du poteau ROC

$$K_A = \frac{\sum K_{\text{poutres}}}{\sum K_{\text{pot}}} = \frac{\frac{869}{280}}{\frac{869}{280} + \frac{925}{334} + \frac{925}{334}}$$



$$\frac{925}{334} = \frac{I_y}{h}$$

$K_A = 0,36$

$K_B = 0$

$$\frac{l_f}{l_0} = \sqrt{\frac{1,6 + 2,4 K_A}{K_A}} = 2,616$$

$\Rightarrow l_f = 874 \text{ cm}$

Verification de la contrainte Normale  $\frac{KN}{A} \leq \sigma_e$

$$\lambda_x = \frac{l_x}{i_x} = \frac{874}{7,45} = 117,3$$

$$\lambda_y = \frac{l_y}{i_y} = \frac{874}{4,52} = 193,4$$

$\Rightarrow \lambda = 193,4$

d'où  $K = 5,90$

CM66-

résistance à la compression simple

$$\sigma = \frac{KN}{A} = 5,9 * \frac{11473}{45,3} = 1494 < \sigma_e$$

Tous les poteaux de la cage d'escaliers sont des HEA 180

- Assemblages des éléments des escaliers extérieurs:

- Assemblage console (IPE 120) - Poutre Palier (IPE 220)

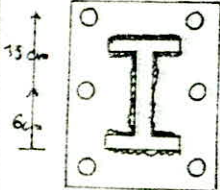
On prévoit un assemblage frontal, on prend une platine d'épaisseur  $e_p = 3\text{mm}$  ce qui amène à prendre un diamètre  $\phi 10 \rightarrow d_{trou} = 11\text{mm}$

$$\begin{cases} M = 639,3 \text{ m.daN} \\ T = 852,4 \text{ daN} \\ N = 0 \end{cases}$$

Conditions de distances:-

$$16,5\text{mm} < \delta_1, \delta_2 < 27,5\text{mm} \\ 33\text{mm} < \delta < 110\text{mm}$$

$$\text{on prend } \begin{cases} \delta_1 = \delta_2 = 17\text{mm} \\ \delta = 70\text{mm} \end{cases}$$



effort dû au moment:  $F_1 = \frac{M d_1}{\sum d_i^2} = \frac{639,3 \cdot 10^3 \cdot 1,3}{(6^2 + 1,3^2)} = 2205,07 \text{ daN}$

l'effort pour 2 boulons:  $F_2^* = \frac{F_1}{2} = 1102,53 \text{ daN}$ ,  $T^* = \frac{T}{6} = 142,07 \text{ daN}$

Boulon H-R 8-8:  $\sigma_{cu} = 6400 \text{ daN/cm}^2$ ,  $N_0 = 0,8 A_r \sigma_{cu} = 2969,60 \text{ daN}$

effet de T:  $T^* = 142,07 \leq 1,19 N_0 = 979,97 \text{ daN}$

effet de M:  $F_2^* = 1102,53 \leq N_0 = 2969,60 \text{ daN}$

Verification des soudures: - [art. 4.312.62.CM66]

on prend une épaisseur  $a = 4\text{mm} \rightarrow \alpha a = 0,4\text{cm}$

$l_1 = 4,8\text{cm}$  - pour cordons de semelles:

$l_2 = 9,14\text{cm}$

$l_3 = 1,38\text{cm}$

$$1,18 \left[ \frac{M \cdot h}{h^2 l_1 \alpha a + 2(h-2e)^2 l_2 \alpha a} \right] = 2241,69 \text{ daN/cm}^2 < \sigma_c = 2400 \frac{\text{daN}}{\text{cm}^2}$$

- cordons de l'âme:

$$\sqrt{1,8} \cdot \frac{T}{2l_3 \alpha a} = 1055,88 \text{ daN/cm}^2 < \sigma_c = 2400 \text{ daN/cm}^2$$

- Assemblage poutre palier (IPE 220) - Poteau (HEA 200):

vue que l'inertie de la poutre est égal à 5 fois l'inertie du poteau donc on a un encastrement partiel, pour le calcul d'assemblage on prend un encastrement parfait qui est le cas le plus défavorable.

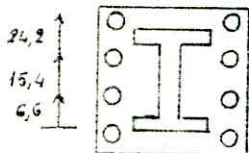
$$\begin{cases} M = \frac{q l^2}{12} = 1497,55 \text{ daN.m} \\ T = 3209,04 \text{ daN} \\ M_T = \frac{3M_0}{2} = 958,95 \text{ daN.m} \end{cases}$$

on adopte le même type d'assemblage:

$e_p = 5\text{mm}$   $\phi 14 \rightarrow d = 15\text{mm}$  HR10-9.

$\delta_1 = \delta_2 = 23\text{mm}$ ,  $\delta = 88\text{mm}$

$N_0 = 0,84 \sigma_c = 8280 \text{ daN}$



$F_{M_T}^* = \frac{M_T}{2r}$  effet de T et  $M_T$ :

$r = 88,3 = 26,4\text{cm}$

$T^* = \sqrt{\left(\frac{T}{8}\right)^2 + \left(\frac{M_T}{2 \cdot r}\right)^2} = 1859,44 \text{ daN} < 1,19 N_0 = 2732,4 \text{ daN}$

effet de M:

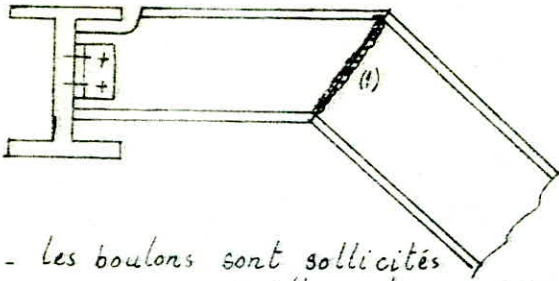
$F_1^* = \frac{1497,55 \cdot 10^3 \cdot 24,2}{(6,6^2 + 15,4^2 + 24,2^2)} = 4183,10 \text{ daN} < N_0 = 8280 \text{ daN}$

Verifications des soudures

de la même façon que précédemment on trouve que ces contraintes sont bien vérifiées pour  $a = 4\text{mm}$ .

- Assemblage poutre de la pailleasse (CAP100) - Poutre paliere (IPE 220)

on realise une articulation



$$T = 871,29 \text{ daN.}$$

On prend une corniere 135x35x3  
d'où on prend :  $\phi 10 \rightarrow d = 11 \text{ mm}$   
(Boulons ordinaires)  
on prend :  $\delta_1 = 20 \text{ mm}$  ,  $\delta = 20 \text{ mm}$

- Les boulons sont sollicités  
en cisaillement :

$$1,54 \cdot \frac{T}{A_r} \leq \sigma_c$$

$$1,54 \cdot \frac{871,29}{0,58 \cdot 4} = 578,36 \text{ daN/cm}^2 < \sigma_c = 2400 \text{ daN/cm}^2$$

La soudure (1) doit être réalisée le plus proche de l'appui pour éviter un grand moment



ETUDE AU VENT

Les surcharges climatiques ont un effet très important sur les différentes constructions, surtout sur constructions métalliques. De ce fait l'étude de la résistance et la stabilité d'une construction sous ces surcharges est obligatoire.

ACTION GLOBALE DUE AU VENT : l'action globale est donnée par

$$q = q_0 K_s K_h \delta C \beta \quad [\text{daN/m}^2]$$

avec  $q_0$  : pression dynamique de base qui dépend de la région du lieu d'implantation de la construction.

$$q_0 = \frac{v^2}{1630} \quad q_0 \text{ en daN/m}^2 \text{ et } v \text{ en m/s}$$

pour notre cas : Lieu d'implantation : ESSENIA (ORANI)  $\rightarrow q_0 = 70 \frac{\text{daN}}{\text{m}^2}$

Cas extrême :  $q_0 \times 1,75$ .

Définitions et calcul des différents coefficients

$K_s$  : coef de site  $\rightarrow$  site normale  $K_s = 1$  (NV 65 1.242).

$K_h$  : effet de la hauteur au dessus du sol  
l'action du vent est une f<sup>ct</sup> de l'altitude du point étudié / au sol environnant :

$q_H$  : Pression dynamique à la hauteur  $H$  au dessus du sol.

$q_{10}$  : Pression dynamique agissante à 10m de hauteur

Pour  $0 < H < 500 \text{ m}$ , on donne  $K_h = 2,5 \frac{H+18}{H+60}$

N.B Pour des bâtiments de faible hauteur,  $K_h$  est pris égal à la valeur calculée au sommet du bâtiment (cas le plus défavorable)

$$K_h = 2,5 \times \frac{13,98+18}{13,98+60} = 1,081$$

$\delta$  : effet de dimensions :

les pressions dynamiques de base s'exerçant sur un élément de construction peuvent être affectées d'un coef de réduction  $\delta$

$$\delta = f \text{ (plus grande dimension exposée au vent)}$$

D'après NV 65. Fig R-III-2, pour  $H \leq 30 \text{ m}$  :  $\delta = 0,70$

$C$  : forme de la construction :

Notre bâtiment est assimilé à une construction à base rectangulaire en contact avec le sol.

Surpression :  $C > 0$

Depression :  $C < 0$

- Calcul de  $C = C_e - C_i$



Actions extérieures →  $C_e$

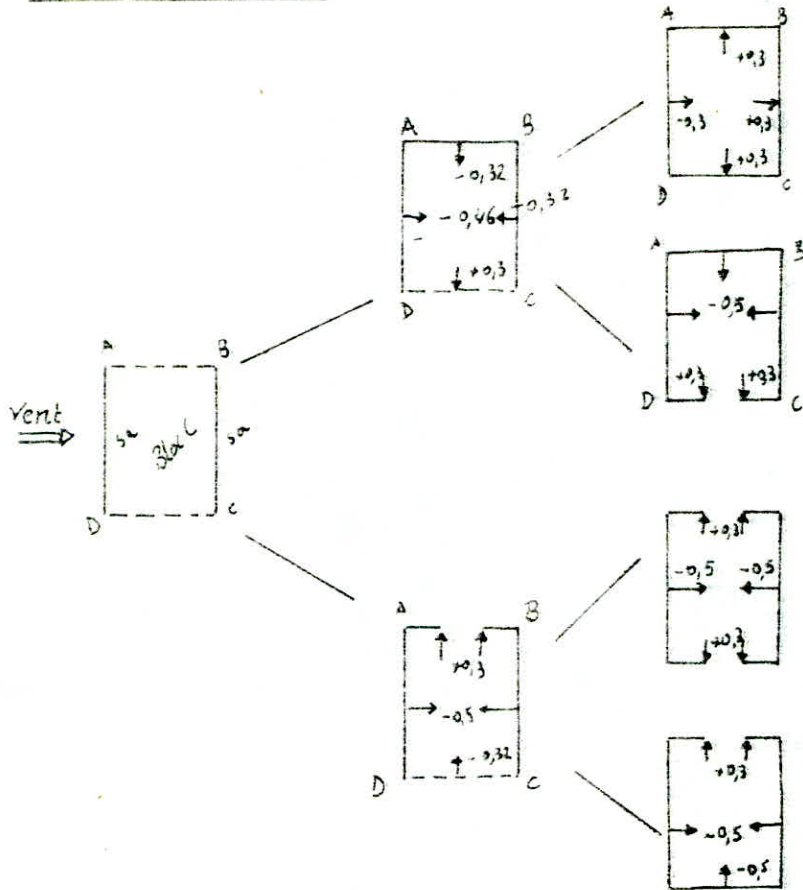
BLOC "C"

Face au vent  $C_e = +0,8$   $\forall S_a$

Face sous le vent  $C_e = -(1,3 S_0 - 0,8) = -0,5$

Actions intérieures

Interpolations



Paroi AB, BC

$$C_i = 0,3 + (-0,5 - 0,3) \frac{28,4 - 5}{30} = -0,32$$

Paroi AD

$$C_i = -0,3 + (0,5 + 0,3) \frac{28,4 - 5}{30} = -0,46$$

Paroi CD

$$C_i = +0,3$$

Paroi AB

$$C_i = +0,3$$

Paroi CD

$$C_i = -0,32$$

Parois AD, BC

$$C_i = -0,5$$

interpolation finale

Paroi au vent (AD) :  $C_i = -0,46 + (-0,5 + 0,46) \frac{28,4 - 5}{35 - 5} = -0,49$

Parois sous vent (AB, DC)  $C_i = +0,3 + (-0,32 - 0,3) \frac{28,4 - 5}{35 - 5} = -0,18$   
 →  $C_i = -0,3$  NV65 Art.

(BC)  $C_i = -0,32 + (-0,5 + 0,32) \frac{28,4 - 5}{35,5} = -0,46$

Actions résultantes à retenir  $C_e - C_i$

Surpression :  $C = C_e - C_i = 0,8 - (-0,49) = 1,29$

Depression :  $C = C_e - C_i = -0,5 + 0,3 = -0,2$

Le bloc C est abrité des 2 côtés  $S_a$ , ce qui introduit l'effet de masque. pour le vent agissant sur  $S_a$ , on ne tiendra compte de  $0,6 C$ .

Surpression  $\frac{6}{10} \times 1,29 = 0,78$

Depression  $\frac{10}{10} \times 0,20 = -0,12$

Mais cette effet est rarement pris en compte surtout lorsqu'il s'agit de constructions indépendantes. En effet même s'il est totalement à l'abri du vent, il reste soumis à des effets d'instabilité, de défaut de verticalité, de vibration, de freinage, dont les conséquences sont les mêmes. Donc on retient les premières actions résultantes pour le vent transversal.

$$C = 1,29 \text{ surpression}$$

$$C = -0,2 \text{ dépression}$$

$\beta$ : Coef. de majoration dynamique:  $\beta = \theta(1 + \xi Z)$  avec  
 $\xi$ : Coef. de réponse en fonction de la période  $T$  du mode fondamental d'oscillation, et du type de la structure.

$$\text{cas normal: } T = 0,1 \frac{H}{(L)^{0,5}} \Rightarrow \begin{aligned} T_x = 0,323 \text{ s} &\rightarrow \xi_x = 0,34 \\ T_y = 0,380 \text{ s} &\rightarrow \xi_y = 0,38 \end{aligned} \rightarrow \xi = \max(\xi_i) = 0,38$$

Fig. NV65

$$\text{cas extrême: } \beta' = \left(\frac{\theta}{2} + 0,5\right) \theta(1 + \xi Z) \quad H = 13,98 \text{ m} \Rightarrow \begin{aligned} \xi &= 0,355 \\ \theta &= 0,7 \end{aligned}$$

NV65

$$\text{cas normal: } \beta = 0,7(1 + 0,38 \times 0,355) = 0,794 < 1$$

$$\text{cas extrême: } \beta' = \left(\frac{0,7}{2} + 0,5\right) 0,7(1 + 0,38 \times 0,355) = 0,675 < 1$$

on prend  $\beta = 1$

$$\text{Action globale: } q = q_0 * k_s k_h \beta C = 70 * 1 * 1,081 * 0,7 * 1,29 * 1 = 68,33 \text{ daN/m}^2$$

$$\text{vent transversal: } \begin{cases} \text{sens transversal } (L_y = 12,4) \rightarrow 847,29 \text{ daN/ml} = q_n \\ \text{sens longitudinal } (L_x = 17,89) \rightarrow 1222,42 \text{ daN/ml} = q_n \end{cases}$$

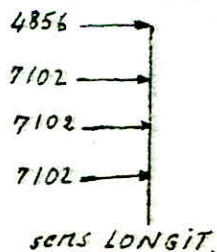
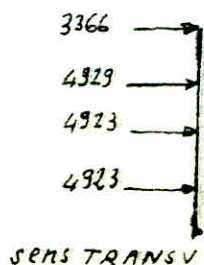
$$\text{cas extrême: sens transv: } q_e = 1,75 q_n = 1482,8 \text{ daN/ml}$$

$$\text{sens longit } q_e = 1,75 q_n = 2139,1 \text{ daN/ml}$$

Forces concentrées au niveau des planchers:

$$\begin{aligned} \text{niv IV} &= 1482,8 * (0,6 + 1,67) = 3366 \text{ daN} \\ \text{niv III, II, I} &= 1482,8 (1,65 + 1,67) = 4923 \text{ daN} \end{aligned} \quad \left. \begin{array}{l} \\ \\ \end{array} \right\} \text{sens transv.}$$

$$\begin{aligned} \text{niv IV} &= 4856 \text{ daN} \\ \text{niv III, II, I} &= 7102 \text{ daN} \end{aligned} \quad \left. \begin{array}{l} \\ \\ \end{array} \right\} \text{sens longitudinal}$$

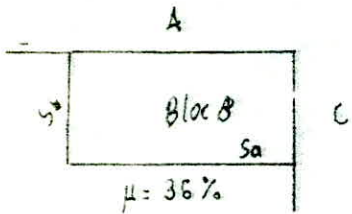






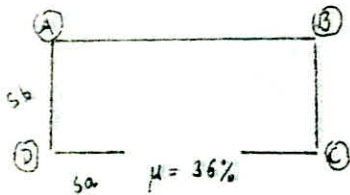
ETUDE AU VENT. BLOC RDC-Terrasse (B)

Dimensions  $L_x = 9,6\text{ m}$  Face Sb  
 $L_y = 15,9\text{ m}$  Face Sa  
 $h = 4,04\text{ m}$  (Acrotère comprise).



$\lambda_a = 0,25 < 0,5 \rightarrow \gamma_0 = 0,96$   
 $\lambda_b = 0,43 < 0,5 \rightarrow \gamma_0 = 1$

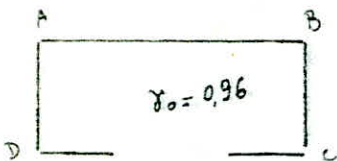
Ce bloc comporte 3 parois fermées  $\mu < 5\%$  et une paroi ouverte  $\mu = 36\%$



Actions extérieures :

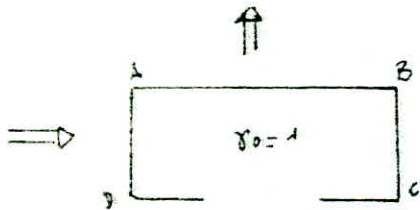
face au vent  $C_e = +0,8 \quad \forall \gamma_0$   
 Faces sous vent  $\begin{cases} C_e = -0,45 & \gamma_0 = 0,96 \\ C_e = -0,5 & \gamma_0 = 1 \end{cases}$

Actions intérieures  
 Vent  $\perp$  Sa



Parois fermées  $C_i = +0,8$

Paroi ouverte  $C_i = -0,6(1,3\gamma_0 - 0,8) = -0,27$   
 (NV65 - Annexe 5 - 221)



Parois fermées :  $C_i = -(1,3\gamma_0 - 0,8) = -0,5$

Paroi ouverte :  $C_i = 0,6(1,8 - 1,3\gamma_0) = +0,3$

Actions résultantes ( $C_e - C_i = C$ ) à retenir  $\begin{matrix} C = -1,25 & \text{Dépression} \\ C = +1,30 & \text{surpression} \end{matrix}$

$s = 0,7$  ,  $k_2 = 0,862$  ,  $\beta = 1$   $C = \begin{cases} 1,30 \\ -1,25 \end{cases}$  ,  $k_s = 1$  ,  $q_0 = 70 \text{ daN/m}^2$

Actions globales  $q = \begin{cases} 54,9 \text{ daN/m}^2 & \text{surpression} \\ -52,8 \text{ daN/m}^2 & \text{Dépression} \end{cases}$

$q_e = 1,75 \begin{cases} 54,9 \\ -52,8 \end{cases} = \begin{cases} 96 \text{ daN/ml} \\ -92,4 \text{ daN/ml} \end{cases}$  pour le vent extrême

répartition / portiques  $\begin{cases} q_p = 96 * 9,6 = 921,6 \text{ daN/ml} \\ q_t = 96 * 15,9 = 1526,4 \text{ daN/m}^2 \end{cases}$  pour la surpression

Forces concentrées au niveau du plancher :

sens longitudinal

$F = 3723 \text{ daN}$

sens transversal

$F = 6165 \text{ daN}$



## ETUDE AU SEISME

INTRODUCTION : Une grande partie de l'ALGERIE est susceptible d'être soumise à d'importantes secousses sismiques pouvant provoquer des désordres dans les ossatures des bâtiments et même la ruine totale, il est donc nécessaire une étude au séisme afin d'assurer un seuil minimal de protection des biens et des personnes

### RECOMMANDATIONS POUR LA CONCEPTION DES BATIMENTS DANS LES ZONES SISMQUES :

- Reduire le plus que possible la hauteur du bâtiment et le rapport entre la hauteur et la largeur  $\frac{H}{P}$
- Eviter les grandes ouvertures
- Eviter les éléments de construction mal liés à la superstructure
- Eviter les constructions présentant des changements importants de rigidité entre les étages
- Prevoir des fondations bien chaînées et bien ancrées dans le sol, pour reprendre les efforts de soulèvements sismique.
- réaliser des nœuds rigides pour la superstructure
- Assurer l'indéformabilité de l'ensemble.

REGLEMENT UTILISÉ : L'étude au séisme est basée sur les règles parasismiques algériennes (RPABI) issue d'analyse et d'observations sur la sismicité de l'Algérie faites par des experts qui ont contribué à l'élaboration de ce document.

Les R. P. A 1981 sont applicables à toutes les constructions courantes de configuration simple et régulière dans les zones sismiques II et III. Le système de contreventement des bâtiments doit être le même dans les 2 sens.

### Principe de calcul

Méthode Statique<sup>3.2.12</sup> : Dans la conception du présent règlement les forces réelles dynamiques qui se développent dans la construction sont remplacées par un système de forces fictives statiques dont les effets sont considérés équivalents aux effets de l'action sismique.

3.2.13 Le mouvement du sol peut se faire dans une direction quelconque dans le plan horizontal. Les forces sismiques horizontales sont considérées appliquées successivement suivant 2 directions orthogonales caractéristiques choisies à l'avance par le projecteur.

Dans le cas général ces deux directions orthogonales sont les axes principaux du plan horizontal de la structure.

Cette méthode statique ne peut être utilisée que si :

- le bloc étudié a une hauteur au plus égale à :
  - 30 m en Zone III (Forte sismicité)
  - 45 m en Zone II (moyenne " )
- la forme en plan doit être simple, proche d'un rectangle avec des décrochements ne dépassant 25% des dimensions globales conformément à l'article 2.3.1.1
- Les décrochements éventuels en élévation ne doivent avoir une variation des dimensions  $> 25\%$  entre 2 niveaux adjacents et ne s'effectue que dans le sens d'une réduction à hauteur croissante.
- La distance entre le centre de masse et le centre de torsion ne dépasse à aucun niveau 20% de la largeur effective du Bloc
- Le bloc étudié présente un  $d$  d'amortissement voisin à tous les niveaux, et en particulier des ossatures autostables, avec remplissage en maçonnerie.
- la structure ne présente pas plusieurs  $d$  de liberté dans un même plan horizontal pour chacune des 2 directions étudiées.
- la rigidité de 2 niveaux successifs ne doit pas varier de plus de 25% dans chaque direction.

3.2.1.4 Il faut souligner toutefois que les forces sismiques équivalentes données par la méthode statique sont inférieures aux forces réelles qui se produiraient dans la structure élastique sous l'action d'un séisme extrême.

C'est pourquoi, l'utilisation de cette méthode ne peut être dissociée de l'application rigoureuse des dispositions constructives garantissant à la structure :

- une ductilité suffisante
- la capacité de dissiper l'énergie induite par le mouvement du sol.

### Action sismique

#### Force sismique minimum. (Art 3.3)

Tout bâtiment sera conçu et construit pour résister aux forces sismiques horizontales totales agissant non simultanément dans la direction de chacun des axes principaux de la structure, conformément à la formule :

$$V = A \cdot D \cdot B \cdot Q \cdot W \quad \text{avec}$$

- A : coef. d'accélération des zones.
- D : Facteur d'amplification dynamique moyen.
- B : Facteur de comportement de la structure
- Q : facteur de qualité
- W : poids de la structure



## CALCUL DE RIGIDITÉS - METHODE MUTO

Le calcul des efforts sous les charges horizontales sera fait par la méthode de mutto.

### Exposé de la méthode

La méthode de mutto est une méthode approchée qui nous permet de calculer les contraintes dans les différents éléments d'une structure composée de portiques et sollicitée par des forces horizontales.

### Principe de la méthode

En premier lieu l'effort tranchant d'étage est distribué aux différents portiques proportionnellement à leur rigidité de niveau, puis l'effort tranchant de niveau du portique sera distribué à son tour aux différents poteaux, on déduit les contraintes dans les poteaux et dans les poutres.

### Conditions d'application

- Cette méthode est applicable pour les bâtiments à étage rigides dans leur plan, ayant une ossature composée de portiques autostables.
- Les charges sont supposées concentrées au niveau des planchers.
- Le diagramme de répartition des charges en élévation est soit rectangulaire (pour le vent) ou triangulaire (cas du séisme).
- Pour obtenir une précision convenable, il faut que la raideur  $I/p$  des poutres ne soit pas trop faible devant  $(I/h)$  des poteaux, on doit avoir  $k \gg 0,2$  pour tous les nœuds de l'ossature.
- Les raideurs  $(I)$  des travées adjacentes d'une même poutre ne doivent pas être trop différentes (rapport entre 0,5 et 2)
- la raideur  $(I/h)$  d'un poteau ne doit trop varier entre 2 étages adjacents (rapport compris entre 0,5 et 2).
- on ne doit avoir de variation brusque de rigidité entre 2 niveaux adjacents
- les poteaux tels que  $k < 0,2$  doivent être considérés comme faisant pas partie de l'ossature résistante aux charges horizontales

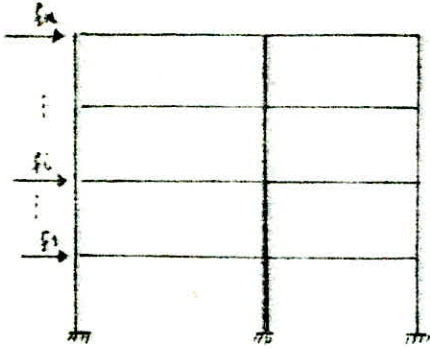
### Etapes de calcul

- Calcul des rigidités linéaires de chaque poteau :  $k_p = \frac{I}{h}$  et de chaque poutre  $\frac{I}{l}$
- calcul du coef.  $\bar{k}$ , et du coef de correction  $\alpha_j$ .
- calcul des raideurs corrigées des poteaux.
- Calcul de rigidités de niveau.
- détermination du centre de torsion
- Calcul des efforts tranchants de niveau



- Détermination de l'E.T. revenant à chaque portique.
- Calcul des moments dans les poutres et les poteaux.
- Calcul des efforts tranchants et des efforts normaux dans les poteaux et poutres.

Effort tranchant de niveau j: c'est la somme des forces agissantes sur un portique au dessus du niveau j



$$T_j = \sum_{i=1}^n f_i$$

Déplacement relatif: c'est le déplacement du plancher (j) par rapport au plancher immédiatement inférieur (j-1)

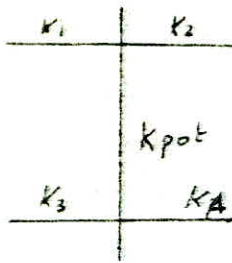
Calcul de rigidités de niveau  $R_j$ , du coefficient de correction  $\alpha_j$  on appelle rigidité de niveau produit un déplacement relatif de niveau égal à l'unité

$$R_j = \frac{T_j}{\delta_j}$$

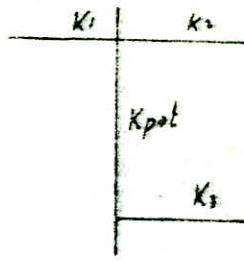
Un portique à plusieurs niveaux soumis à des forces horizontales à une déformation qui peut être décomposée en 3 parties:  $\delta_j = \delta_j^A + \delta_j^B + \delta_j^C$

Coef  $a_j$  donné par MUTO

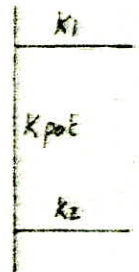
Etage courant :  $a_j = \frac{\bar{k}}{2 + \bar{k}}$



$$\bar{k} = \frac{K_1 + K_2 + K_3 + K_4}{2 K_{pot}}$$

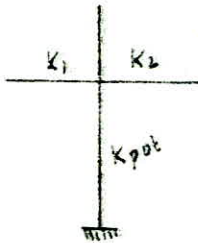


$$\bar{k} = \frac{K_1 + K_2 + K_3}{2 K_{pot}}$$

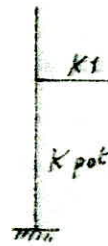


$$\bar{k} = \frac{K_1 + K_2}{2 K_{pot}}$$

R.D.C :  $a_j = \frac{0,5 + \bar{k}}{2 + \bar{k}}$



$$\bar{k} = \frac{K_1 + K_2}{K_{pot}}$$



$$\bar{k} = \frac{K_1}{K_{pot}}$$

Relation entre  $R_j$  et la rigidité  $r_j$  d'un poteau de ce niveau

Soit :  $t_j^{(i)}$  l'effort tranchant du niveau (j) revenant au poteau (i)

$$r_j^{(i)} = \frac{t_j^{(i)}}{\delta_j} \text{, or on a : } T_j = \sum_{i=1}^m t_j^{(i)} \text{ si on a } m \text{ poteaux}$$

$$\rightarrow R_j = \frac{T_j}{\delta_j} = \frac{\sum_{i=1}^m t_j^{(i)}}{\delta_j} = \sum_{i=1}^m r_j^{(i)} \Rightarrow R_j = \sum_{i=1}^m r_j^{(i)}$$

Calcul de rigidité corrigée d'un poteau :



soit :  $r_j^{(i)}$  la rigidité d'un poteau (i) supposé encasturé à ses extrémités par des poutres infiniment rigides

$$r_j^{(i)} = \frac{t_j^{(i)}}{\delta_j} = \frac{12 E I_j^{(i)}}{h_j^3} = \frac{12 E}{h_j^3} \cdot \frac{I_j^{(i)}}{h_j} = \frac{12 E}{h_j^2} \cdot K_j^{(i)}$$

$$E = E_i = 21000 \sqrt{\delta_j}$$

$$r_j^{(i)} = \alpha_j r_j^{\infty} \Rightarrow r_j^{(i)} = \frac{12 E}{h_j^2} \alpha_j^{(i)} K_j^{(i)} \text{ or } R_j = \sum r_j^{(i)} \Rightarrow R_j = \sum \frac{12 E}{h_j^2} \alpha_j^{(i)} K_j^{(i)}$$

Pour un même étage, on a  $h_j = \text{constante} \Rightarrow R_j = \frac{12 E}{h_j^2} \sum \alpha_j^{(i)} K_j^{(i)}$   
avec  $D_j = \sum \alpha_j^{(i)} K_j^{(i)}$



CALCUL SISMIQUE

Coefficient d'accélération des zones : A

il dépend du groupe d'usage et la zone sismique.

Notre construction est à usage de bureaux → Groupe d'usage 2.

Lieu d'implantation : ESSENIA → Zone II

Le tableau (1) du RPA 81 donne  $A = 0,15$

Facteur d'amplification dynamique moyen : D :

il dépend du type du sol et de la période T du bâtiment.

Pour un sol ferme :  $D = 2 \sqrt{\frac{9,5}{T}}$  Fig 4. RPA 81

$T = 0,1 \frac{H}{\sqrt{L}}$  Pour une construction à ossature métallique à usage de bureaux

Sens longitudinal :  $T_l = 0,1 \times \frac{13,38}{\sqrt{17,89}} = 0,321 \text{ s} \rightarrow D = 1,927$

Sens transversal :  $T_t = 0,1 \times \frac{13,38}{\sqrt{12,40}} = 0,380 \text{ s} \rightarrow D = 1,777$

Facteur de comportement de la structure : B

il dépend de la structure et la nature du contreventement :

structure contreventée par portiques auto-stables :  $B = 0,25$

Facteur de qualité  $Q = 1 + \sum_{q=1}^6 P_q$   $1 \leq Q \leq 1,6$

$P_q$  : facteur de pénalité qui dépend de l'observation ou non du critère de qualité q.  $P_q = 0$  critère observé  $P_q = 0,1$  non observé

$P_q$	Sans Transverse	Sans Longitudinal
$P_1$ : critère de files porteuses	0,1	0,1
$P_2$ : critère de surabondance en plan	0,1	0,1
$P_3$ : critère de symétrie en plan	0,1	0
$P_4$ : critère de régularité en élévation	0,1	0
$P_5$ : critère de contrôle de qualité des matériaux	0,1	0,1
$P_6$ : critère de contrôle de la qualité de construction	0,1	0,1
	0,6	0,4

Transversalement  $Q = 1,6$

Longitudinalement  $Q = 1,4$

Sens transversal :  $V_t = 0,15 \times 0,25 \times 1,777 \times 1,6 \text{ W}$

Sens longitudinal :  $V_l = 0,15 \times 0,25 \times 1,927 \times 1,4 \text{ W}$



POIDS DE STRUCTURE soumis à l'action sismique - Bloc CTERRASSE : Surface 213,28 m<sup>2</sup>      périmètre 59,2 m

Poids propre plancher  $504 \times 213,28 = 107490$  daN

Acrotère :  $0,15 \times 0,6 \times 59,2 \times 2500 = 13320$  daN

$\frac{1}{2}$  cloisons  $\frac{1}{2} \times 0,075 \times 213,28 = 8000$  daN

$\frac{1}{2}$  Murs façade  $460 \times 17,89 \times (3,3 - 1,2) \times \frac{1}{2} = 8310$  daN

$\frac{1}{2}$  poteaux  $1,65 \times 0,155 \times 14 = 3580$  daN

Poutres Longit  $(3 \times 16,80 + 4,60) \times 0,057 = 3150$  daN

Poutres transv.  $(4 \times 12) \times 0,057 = 2730$  daN

$G = \boxed{146580}$  daN

$\frac{P}{2} = \frac{100 \times 213,28}{2} = 10660$  daN

$W_H = G + \frac{P}{2} = \underline{\underline{157240}}$  daN

ETAGE COURANT

P. propre plancher  $477 \times 213,28 = 101730$  daN

Poutres  $5880$  daN

Poteaux  $7160$  daN

cloisons  $16000$  daN

Murs façade  $16620$  daN

$G = \boxed{167390}$  daN

$P = 250 \times 213,28$

$W_H = W_G = W_2 = G + \frac{P}{2} = \underline{\underline{174050}}$  daN

Niveau roc. référence  $W_0 = \frac{1}{2}$  poteaux inférieur  $= 1,67 \times 0,155 = \underline{\underline{3620}}$  daN

Distribution en hauteur des forces latérales : La force latérale totale  $V$ , doit être distribuée sur la hauteur de la structure selon les formules suivantes :

$$V = F_t + \sum_{i=1}^n F_i$$
 ou  $F_t$  : force concentrée au sommet de la structure, donnée par :

$$F_t = 0,097 T \cdot V \quad \text{si } T > 0,75$$

$$F_t = 0 \quad \text{si } T \leq 0,75$$

La partie restante de l'effort horizontal total  $V$  doit être distribuée sur la structure suivant la formule :

$$F_k = \frac{(V - F_t) W_k h_k}{\sum_{i=1}^n W_i h_i}$$

avec :  $W_k$  : charge au niveau  $k$  $F_k$  : Effort horizontal au niveau  $k$

$$T_x < 0,7 s \rightarrow F_{cx} = 0$$

$$T_y < 0,7 s \rightarrow F_{cy} = 0$$

La distribution des forces se fait suivant la formule:  $F_k = \frac{V_k W_k h_k}{\sum W_k h_k}$

### Sens longitudinal

Niveau	$W_k$ (dan)	$h_k$ (m)	$W_k h_k$	$F_k$	$F_k^E$
IV	157 240	13,38	2103870	25850	25850
III	174 050	10,04	1747460	21470	47320
II	174 050	6,74	1173100	14420	61740
I	174 050	3,44	598730	7350	69100
			$\sum W_k h_k = 5623160$	m. dan.	

### Sens transversal

Niveau	$W_k$ (dan)	$h_k$ (m)	$W_k h_k$	$F_k$	$F_k^E$
IV	157 240	13,38	2103870	27250	27250
III	174 050	10,04	1747460	22620	49870
II	174 050	6,74	1173100	15190	65060
I	174 050	3,44	598730	7750	72010
			$\sum W_k h_k = 5623160$		



APPLICATION Bloc CPortiques longitudinaux 1, 2, 4

Calcul de raideurs:

POURRES

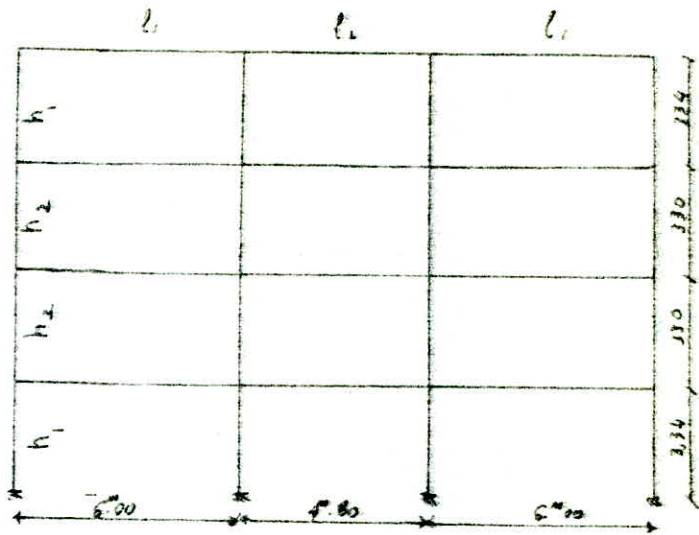
$$K_1 = \frac{I_x}{L_1} = 27,12$$

$$K_2 = \frac{I_x}{L_2} = 33,90$$

POTEAUX

$$K_{p1} = \frac{I_y}{h_1} = 32,39$$

$$K_{p2} = \frac{I_y}{h_2} = 32,79$$



niveau	file de pot.	$\bar{k}$	$\alpha$	$\alpha k p \cdot 10^4$	$r_j$	$R_j$	$10^6 D_j$
I - R	A; D	0,84	0,47	15,22	343,81	1580,36	69,96
	B; C	1,88	0,61	19,76	446,37		
I - II II - III	A; D	0,83	0,29	9,51	220,07	1168,60	50,50
	B; C	1,86	0,48	15,74	364,23		
III - IV	A; D	0,84	0,30	9,72	219,57	1156,14	51,18
	B; C	1,88	0,49	15,87	358,50		

Portique longitudinal : (3)

niveau	files de pot.	$\bar{k}$	$\alpha$	$\alpha k p \cdot 10^4$	$r_j$	$R_j$	$10^6 D_j$
I - R	B; C	1,05	0,51	16,52	373,18	746,36	33,04
II - III	B; C	1,05	0,34	11,15	258,02	516,04	22,30
III - IV	B; C	1,05	0,34	11,01	248,71	497,42	22,06

Calcul des rigidités relatives d'étages :  $R_j$   
sens longitudinal

$$R_j^l \begin{cases} 746,36 + 3 \times 1580,36 = 5487,44 & \text{niv I} \\ 516,04 + 3 \times 1168,60 = 4021,84 & \text{niv II, niv III} \\ 497,42 + 3 \times 1156,14 = 3965,84 & \text{niv IV} \end{cases}$$

Calcul de déplacements

niveau	$F_k^l$	$R_j^l$	$\delta_j$	$\delta_j^c$	observations
IV	25,85	3965,84	0,65	4,61	
III	47,38	4021,84	1,17	3,96	
II	61,74	4021,84	1,53	2,79	
I	69,10	5487,44	1,26	1,26	



$$\sum W_j \delta_j^2 = 7702,1 \quad \text{kdaN} \cdot \text{cm}^2 \quad 59$$

$$\sum F_j^c \delta_j^c = 565,88 \quad \text{kdaN} \cdot \text{cm}$$

$$g = 981 \text{ cm/s}^2$$

La formule de Rayleigh donne :  $T = 2\pi \sqrt{\frac{\sum W_j \delta_j^2}{g \sum F_j^c \delta_j^c}}$   
(RPA87) Mode fondamental de vibrations

$$T = 0,74 \text{ s} > 0,7 \text{ s}$$

$$D = 2 \sqrt{\frac{0,3}{T}} = 1,273 \quad \text{d'où } V = ADBQW = 0,15 \times 0,25 \times 1,273 \times 1,4 \times 583,01$$

$$V = 45,65 \quad \text{kdaN}$$

$$F_E = 0,07 T V = 0,07 \times 0,74 \times 45,65 \quad \text{kdaN} \\ = 2,365 \quad \text{kdaN}$$

calcul de  $\frac{V - F_E}{\sum W_j h_j} W_j h_j = F_j$

Niveau	$W_j h_j$	$F_j$	$F_j^c$	$R_j^c$	$\delta_j$ cm	$\delta_j^c$ cm	observ.
IV	2103,87	18,56	18,56	3365,84	0,47	3,12	Admissible
III	1747,46	13,45	32,01	4021,34	0,80	2,65	"
II	1173,10	8,03	41,04	404,84	1,02	1,85	"
I	538,73	4,61	45,65	5487,44	0,83	0,83	"

$$\sum W_j \delta_j^2 = 3441,34 \quad \text{kdaN} \cdot \text{cm}^2$$

$$\sum F_j \delta_j^c = 565,88 \quad \text{kdaN} \cdot \text{cm}$$

$$\Rightarrow T = 0,74 \text{ s.}$$

calcul du facteur de contribution du 1<sup>er</sup> Mode

$$\Gamma = \frac{(\sum W_j \delta_j^c)^2}{(\sum m_j)(\sum W_j \delta_j^2)} \quad (\text{donnée en cours de M4 CRAINIC})$$

$$\sum m_j = (157,24 + 174,05 + 174,05 + 174,05) = 679,39 \quad \text{kdaN}$$

$$\sum W_j \delta_j^2 = 3441,34 \quad \text{daN} \cdot \text{cm}^2$$

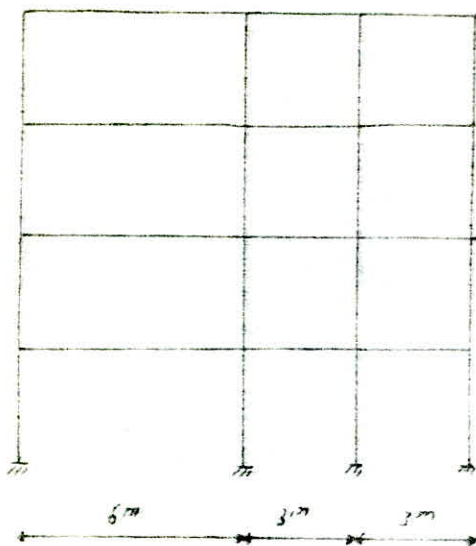
$$\sum W_j \delta_j^c = 157,24 \times 3,12 + 174,05 \times 2,65 + 174,05 \times 1,85 + 174,05 \times 0,83 \\ = 1418,27 \quad \text{kdaN} \cdot \text{cm}$$

$$\Rightarrow \Gamma = 0,86 > 0,8$$

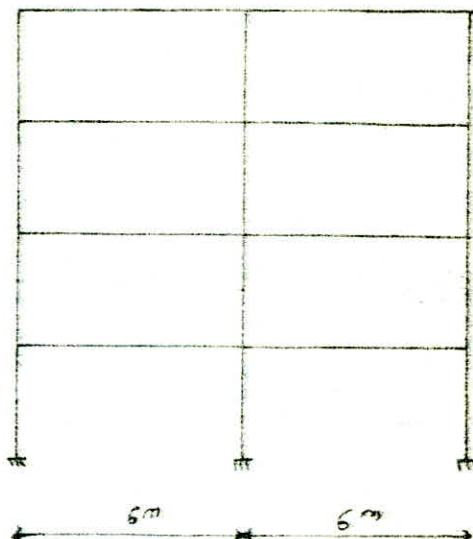
Le premier mode participe 86% aux vibrations  
reste 14% pour les autres modes.



PORTIQUES TRANSVERSAUX



Portiques B; C



Portiques A; D

Portiques A; D

NIVEAU	files de pot.	$10^6 Kp$	$\bar{k}$	$a$	$a k p \cdot 10^6$	$r_j$	$R_j$	$10^6 D_j$
I - R	1; 4	169,65	0,16	0,31	52,59	1187,88	5717,15	164,56
	2		0,32	0,35	59,38	1341,57		
II - III	1; 4	179,39	0,15	0,07	12,24	283,24	1092,23	47,20
	2		0,30	0,13	22,72	525,75		
III - IV	1; 4	169,65	0,16	0,07	11,88	269,36	1073,22	47,51
	2		0,32	0,14	23,75	536,50		

Portiques B, C

NIVEAU	files de pot.	$10^6 Kp$	$\bar{k}$	$a$	$a k p \cdot 10^6$	$r_j$	$R_j$	$10^6 D_j$
I - R	1	169,65	0,16	0,31	52,59	1187,88	5036,67	225,63
	2		0,32	0,35	59,38	1341,57		
	3		0,33	0,36	61,07	1363,54		
	4		0,16	0,31	52,59	1187,88		
II - III	1	179,39	0,15	0,07	12,24	283,24	1163,60	73,42
	2		0,31	0,13	24,47	283,56		
	3		0,31	0,13	24,47	283,56		
	4		0,16	0,07	12,24	283,24		
III - IV	1	169,65	0,16	0,07	11,88	269,36	3219,44	77,26
	2		0,32	0,14	23,75	536,50		
	3		0,33	0,14	23,75	536,50		
	4		0,16	0,07	11,88	269,36		



Rigidités relatives d'étages :  $R_j =$   
sens transversal  $R_j^t$

$$R_j^t = \sum_A^D R_j^t$$

$$\text{Niv I} : \left\{ 2 (3713,13 + 5096,67) \right\} = 17616,9 \quad \text{kdan/m}$$

$$\text{Niv II, III} : \left\{ 2 (1092,23 + 1143,60) \right\} = 4471,66 \quad \text{kdan/m}$$

$$\text{Niv IV} : \left\{ 2 (8585,32) \right\} \text{ kdan/m} = 2 (1073,22 + 3219,44)$$

Niveau	$F_j^c$	$R_j^t$	$\delta_j^{(cm)}$	$\delta_j^c (cm)$	observations
IV	27,25	8585,32	0,32	3,30	
III	49,87	4471,66	1,12	2,98	
II	65,06	4471,66	1,45	1,86	
I	72,81	17619,60	0,41	0,41	

$$\sum W_j \bar{\delta}_j^c = 3993,94 \text{ kdan} \cdot \text{cm}^2$$

$$\sum F_j^c \delta_j^c = 399,50 \text{ kdan} \cdot \text{cm}$$

$$g = 981 \text{ cm/s}^2$$

$$T = 2\pi \sqrt{\frac{\sum W_j \bar{\delta}_j^c}{g \sum F_j^c \delta_j^c}} = 0,63 \pm 0,7$$

$$\Rightarrow F_t = 0$$

$$\text{et } D = 2 \sqrt{\frac{0,3}{T}} = 1,38$$

$$V = ABDQW$$

$$= 0,15 \times 0,25 \times 1,38 \times 1,6 \times 683,01 = 56,56 \text{ kdan}$$

$$\text{d'où } F_k = \frac{V \times W_j h_j}{\sum W_j h_j}$$

$$\sum W_j h_j = 5623,16$$

NIV	$W_j h_j$	$F_j^c$	$F_j^c$	$R_j^t$	$\delta_j (cm)$	$\delta_j^c (cm)$	observations
IV	2103,87	21,96	21,16	8585,32	0,25	2,57	Admissible
III	1747,46	19,58	28,74	4471,66	0,87	2,32	Admissible
II	1173,10	11,80	50,54	4471,66	1,13	1,45	Admissible
I	598,73	6,02	56,56	17619,60	0,32	0,32	Admissible

$$\sum W_j \bar{\delta}_j^c = 2359,12$$

$$\sum F_j^c \delta_j^c = 235,64$$

$$T = 0,63 \text{ s}$$

Facteur de contribution du 1<sup>er</sup> mode

$$\left( \sum W_j \delta_j^c \right)^2 = 1245391,942$$

$$\sum m_j = 679,39$$

$$\sum W_j \delta_j^c = 2359,12$$

$$\varepsilon^I = \frac{\left( \sum W_j \delta_j^c \right)^2}{\left( \sum m_j \right) \left( \sum W_j \delta_j^c \right)}$$

$$\varepsilon^I = 0,79 \approx 0,80$$

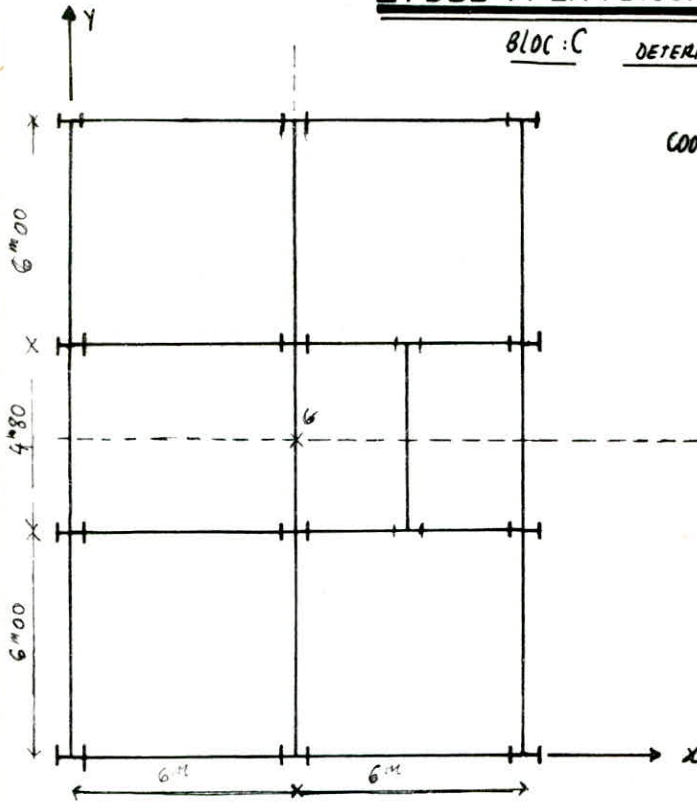
le 1<sup>er</sup> mode contribue avec 79% dans les vibrations.





ETUDE A LA TORSION

BLOC : C

DETERMINATION DU CENTRE DE MASSE ET LE CENTRE DE TORSION

Coordonnées du centre de masse G :

$$X_G = 6$$

$$Y_G = 8,40$$

Le centre de torsion <sup>C</sup> est donné par :

$$\underline{X_C} = \frac{\sum R_j^t X_j^t}{\sum R_j^t}$$

$$\underline{Y_C} = \frac{\sum R_j^t Y_j^t}{\sum R_j^t}$$

$$R_j^l \left\{ \begin{array}{l} 5487,44 \text{ niv I} \\ 4021,84 \text{ niv II, III} \\ 3965,84 \text{ niveau IV} \end{array} \right. \quad (\text{kdan/m})$$

$$R_j^t \left\{ \begin{array}{l} 17619,6 \text{ niveau I} \\ 4471,66 \text{ niv II, III} \\ 8585,32 \text{ niv IV} \end{array} \right. \quad (\text{kdan/m})$$

calcul des coordonnées des portiques / au centre de torsion

(X<sub>C</sub>)

portique longitudinal	1	2	3	4
Niveau I	-6,41	-0,41	2,59	5,59
niveaux II & III	-6,38	-0,38	2,62	5,62
niveau IV	-6,38	-0,38	2,62	5,62

$$R_j^l = \left\{ \begin{array}{l} 746,36 \text{ kdan/m niv I} \\ 516,04 \text{ II, III} \\ 497,42 \text{ IV} \end{array} \right. \quad \text{Portique 3}$$

$$R_j^t = \left\{ \begin{array}{l} 1580,36 \text{ kdan/m} \\ 1168,6 \\ 1156,14 \end{array} \right. \quad \text{Port. 1, 3, 4}$$

$$\underline{\text{niv I}} : X_C = \frac{1580,36(0+3+6) + 746,36(9)}{5487,44} = \underline{6,41 \text{ m}}$$

$$\underline{\text{niv II, III}} : X_C = \frac{1168,6(0+6+12) + 516,04(9)}{4021,84} = \underline{6,38 \text{ m}}$$

$$\underline{\text{niv IV}} : X_C = \frac{1156,14(0+6+12) + 497,42(9)}{3965,84} = \underline{6,38 \text{ m}}$$

Portiques transversaux :

$$R_j^t = \begin{cases} 3717,13 & \text{niv I} \\ 1092,23 & \text{niv II, III} \\ 1073,22 & \text{niv IV} \end{cases} \quad \text{Port. A, D}$$

$$R_j^t = \begin{cases} 5096,67 & \text{niv I} \\ 1143,60 & \text{niv II, III} \\ 3219,44 & \text{niv IV} \end{cases} \quad \text{Port. B, C}$$

$$\underline{\text{niv I}} \quad Y_c = \frac{3717,13 (0 + 16,80) + 5096,67 (6 + 10,80)}{17619,6} = 8,40 \text{ m}$$

$$\underline{\text{niv II, III}} \quad Y_c = \frac{1092,23 (0 + 16,80) + 1143,60 (6 + 10,80)}{4471,66} = 8,40 \text{ m}$$

$$\underline{\text{niv IV}} \quad Y_c = \frac{1073,22 (0 + 16,80) + 3219,44 (6 + 10,80)}{8585,32} = 8,40 \text{ m}$$

Coordonnées des portiques / centre de torsion

PORT. TRANSV.	A	B	C	D
Y <sub>m</sub> niv I	-8,40	-2,40	2,40	8,40
Y <sub>m</sub> niv II, III	-8,40	-2,40	2,40	8,40
Y <sub>m</sub> niv IV	-8,40	-2,40	2,40	8,40

on remarque de  $Y_c = Y_g$ .

Calcul de l'excentricité du centre de torsion / centre de masse.

niveau	x <sub>g</sub>	x <sub>c</sub>	x <sub>g</sub> - x <sub>c</sub>	y <sub>g</sub>	y <sub>c</sub>	y <sub>g</sub> - y <sub>c</sub>
I	6	6,41	0,41 m	8,40	8,40	0
II, III	6	6,38	0,38	8,40	8,40	0
IV	6	6,38	0,38	8,40	8,40	0

Excentricité due à la torsion :  $e_x = 0,41 \text{ m} = \underline{41 \text{ cm}} < 5\% L_x$   
 $e_y = 0$

Mais le R.P.A.81 préconise une excentricité accidentelle de 5% de la longueur du bâtiment.  $5\% L_x = \frac{5 \times 16,80}{100} = 84 \text{ cm}$

Détermination de l'effort tranchant revenant à chaque portique

$$\underline{\text{Portiques longitudinaux}} : T_{jy}^t = \underbrace{\xi_{jy}^t \frac{R_{jy}^t}{R_j^t}}_{\text{Terme de translation}} + \underbrace{\xi_{jy}^t \frac{R_{jy}^t}{R_{j0}^t} x_j^t}_{\text{Terme de rotation}} \cdot e_x$$

$$\underline{\text{Portiques transversaux}} : T_{jx}^t = \xi_{jx}^t \cdot \frac{R_{jx}^t}{R_j^t} + \xi_{jx}^t \cdot \frac{R_{jx}^t}{R_{j0}^t} \cdot y_j^t \cdot e_y$$



calcul de la rigidité de à la torsion:  $R_{j\theta}$

La rigidité à la torsion de l'étage (j) est donné par :

$$R_{j\theta} = \sum R_{jy}^l (x_j^l)^2 + \sum R_{jx}^t (y_j^t)^2$$

où  $x$  et  $y$  sont les coordonnées des portiques / repère  $xcy$ .

$$\begin{aligned} \text{Niv IV} \\ R_{j\theta} &= 1156,14(6,38^2 + 0,38^2 + 5,62^2) + 497,42(2,62^2) + 1073,22 \times 2(8,40^2) + 3219,44 \times 2(2,40^2) \\ &= \underline{238610,22} \text{ kdaN.m.} \end{aligned}$$

$$\begin{aligned} \text{Niv III j II} \\ R_{j\theta} &= 1143,60 \times 2 \times 2,40^2 + 1092,23 \times 2 \times 8,40^2 + 516,04 \times 2,62^2 + 1168,6(6,38^2 + 0,38^2 + 5,62^2) \\ &= \underline{251955,21} \text{ kdaN.m.} \end{aligned}$$

$$\begin{aligned} \text{Niv I.} \\ R_{j\theta} &= 1580,36(6,41^2 + 0,41^2 + 5,59^2) + 746,36(2,59^2) + 2 \times 3717,13(8,40^2) + 2 \times 5096,97(2,40^2) \\ &= \underline{702864,58} \text{ kdaN.m} \end{aligned}$$

Port	Niveau	$R_{j\theta}$ (kdaN)	$e_x$	$x_j$	$T_{jy}$ (kdaN)
1	IV	18,56	0,84	-6,38	4,93
	III	32,01	0,84	-6,38	7,91
	II	41,04	0,84	-6,38	10,90
	I	45,65	0,84	-6,41	12,59

Portiques longitudinaux sous  $\vec{s}_i$ :

- répartition des efforts tranchants de niveau aux portiques

Port	Niv	$R_{jy}$	$R_{jx}$	$R_{j\theta}$	$e_x$	$x_j$	$T_{jy}$ (kdaN)
1	IV	1156,14	3965,84	238610,22	18,56	-6,38	4,93
	III	1168,60	4021,84	251955,21	32,01	-6,38	7,91
	II	1168,60	4021,84	251955,21	41,04	-6,38	10,90
	I	1580,36	5487,44	702864,58	45,65	-6,41	12,59
2	IV	1156,14	3965,84	238610,22	18,56	-0,38	5,38
	III	1168,60	4021,84	251955,21	32,01	-0,38	9,26
	II	1168,60	4021,84	251955,21	41,04	-0,38	11,86
	I	1580,36	5487,44	702864,58	45,65	-0,41	13,11
3	IV	1156,14	3965,84	238610,22	18,56	2,62	2,41
	III	1168,60	4021,84	251955,21	32,01	2,62	4,25
	II	1168,60	4021,84	251955,21	41,04	2,62	5,45
	I	1580,36	5487,44	702864,58	45,65	2,59	6,31
4	IV	1156,14	3965,84	238610,22	18,56	5,62	5,83
	III	1168,60	4021,84	251955,21	32,01	5,62	10,00
	II	1168,60	4021,84	251955,21	41,04	5,62	12,82
	I	1580,36	5487,44	702864,58	45,65	5,59	13,63



Portiques transversaux sous  $S_1$ 

Distribution des efforts de niveau dans les portiques

Niv	IV	III	II	I
$R_{j0}$	238610,22	251955,21	251955,21	702864,58
(kdaN.m)				

$$T_{jY} = \epsilon_{jX} \frac{R_{jX}}{R_{jX}} + \epsilon_{jX} \cdot \frac{R_{jY}}{R_{j0}} \cdot y_j \cdot e_y$$

Port	Niv	$R_{jX}$	$R_{jX}$	$R_{j0}$	$\epsilon_{jX}$	$e_y$	$y_j$	$T_{jX}$ (kdaN)
A	IV	1073,22	8585,32	238610,22	21,16	0,84	-8,40	1,97
	III	1092,23	4471,66	251955,21	38,74	0,84	-8,40	8,28
	II	1092,23	4471,66	251955,21	50,54	0,84	-8,40	10,80
	I	3717,13	17619,60	702864,58	56,56	0,84	-8,40	9,82
B	IV	3219,44	8585,32	238610,22	21,16	0,84	-2,40	7,36
	III	1143,60	4471,66	251955,21	38,74	0,84	-2,40	9,55
	II	1143,60	4471,66	251955,21	50,54	0,84	-2,40	12,46
	I	5096,67	17619,60	702864,58	56,56	0,84	-2,40	15,53
C	IV	3219,44	8585,32	238610,22	21,16	0,84	2,40	8,51
	III	1143,60	4471,66	251955,21	38,74	0,84	2,40	10,26
	II	1143,60	4471,66	251955,21	50,54	0,84	2,40	13,39
	I	5096,67	17619,60	702864,58	56,56	0,84	2,40	17,19
D	IV	1073,22	8585,32	238610,22	21,16	0,84	8,40	3,32
	III	1092,23	4471,66	251955,21	38,74	0,84	8,40	10,65
	II	1092,23	4471,66	251955,21	50,54	0,84	8,40	13,89
	I	3717,13	17619,60	702864,58	56,56	0,84	8,40	14,04



Calcul de l'effort tranchant revenant à chaque poteau.

$$t_j^{(i)} = \frac{a_j^{(i)} K_j^{(i)}}{D_j} \cdot T_j \quad \text{en kdaN} \quad (\text{détail ci-dessous})$$

Portique long.			Portique 1		Portique 2		Portique 4		Portique 3		
niv	file	$\frac{a_j K_j}{D_j}$	$T_y$	$t_y$	$T_y$	$t_y$	$T_y$	$t_y$	$\frac{a_j K_j}{D_j}$	$T_y$	$t_y$
IV	A-D	0,190	4,93	0,937	5,38	1,022	5,83	1,108	/	2,41	/
IV	B-C	0,310	4,93	1,528	5,38	1,668	5,83	1,807	0,5	2,41	1,205
III	A-D	0,188	7,71	1,449	9,25	1,739	10,00	1,880	/	4,25	/
III	B-C	0,312	7,71	2,406	9,25	2,886	10,00	3,120	0,5	4,25	2,125
II	A-D	0,188	10,90	2,049	11,86	2,230	12,82	2,410	/	5,45	/
II	B-C	0,312	10,90	3,401	11,86	3,700	12,82	4,000	0,5	5,45	2,725
I	A-D	0,218	12,59	2,745	13,11	2,858	13,63	2,971	/	6,31	/
I	B-C	0,282	12,59	3,550	13,11	3,697	13,63	3,844	0,5	6,31	3,155

Les déplacements relatifs de niveau  $\delta_j$  sont calculés précédemment les poteaux d'un même niveau doivent avoir le même déplacement soit :

$$\delta_j^1 = \delta_j^2 = \delta_j^3 = \dots = \delta_j^m \quad \text{si on a } m \text{ poteaux}$$

$$\Rightarrow \frac{t_j^1}{r_j^1} = \frac{t_j^2}{r_j^2} = \frac{t_j^3}{r_j^3} = \dots = \frac{t_j^m}{r_j^m} = \frac{T_j}{R_j}$$

$$\text{donc on a } t_j^i = \frac{r_j^i}{R_j} \cdot T_j = \frac{r_j^i}{\sum_{l=1}^m r_j^l} \cdot T_j$$

avec :

$t_j^i$  : part de l'effort tranchant revenant au poteau  $i$  du niveau  $j$

$r_j^i$  : rigidité corrigée du poteau  $(i)$  du niveau  $(j)$

Comme  $r_j^i = \frac{12E}{h_j^3} \cdot a_j^{(i)} \cdot K_j^{(i)}$  et comme  $t_j = \text{constante}$

$$\text{donc } t_j^{(i)} = \frac{a_j^{(i)} K_j^{(i)}}{\sum_{l=1}^m a_j^{(l)} K_j^{(l)}} \cdot T_j \quad \rightarrow \quad t_j^{(i)} = \frac{a_j^{(i)} K_j^{(i)}}{D_j} \cdot T_j$$



## EFFORT REVENANT A CHAQUE POTEAU

- Portiques transversaux -

niv.	file	$a_j k_j / D_j$	Portique A		Portique B	
			$T_x$	$t_x$	$T_x$	$t_x$
IV	1-4	0,250	1,97	0,493	3,32	0,830
IV	2	0,500	1,97	0,985	3,32	1,660
III	1-4	0,259	8,28	2,145	10,65	2,758
III	2	0,481	8,28	3,983	10,65	5,123
II	1-4	0,259	10,80	2,797	13,89	3,598
II	2	0,481	10,80	5,195	13,89	6,681
I	1-4	0,320	9,82	3,142	14,04	4,493
I	2	0,361	9,82	3,545	14,04	5,068

niv.	file	$a_j k_j / D_j$	Portique B		Portique C	
			$T_x$	$t_x$	$T_x$	$t_x$
IV	1	0,167	7,36	1,23	8,51	1,42
	2	0,333	7,36	2,45	8,51	2,83
	3	0,333	7,36	2,45	8,51	2,83
	4	0,167	7,36	1,23	8,51	1,42
III	1	0,167	9,55	1,59	10,26	1,71
	2	0,333	9,55	3,18	10,26	3,42
	3	0,333	9,55	3,18	10,26	3,42
	4	0,167	9,55	1,59	10,26	1,71
II	1	0,167	12,46	2,08	13,39	2,24
	2	0,333	12,46	4,15	13,39	4,46
	3	0,333	12,46	4,15	13,39	4,46
	4	0,167	12,46	2,08	13,39	2,24
I	1	0,233	15,53	3,62	17,19	4,01
	2	0,263	15,53	4,08	17,19	4,52
	3	0,271	15,53	4,21	17,19	4,66
	4	0,233	15,53	3,62	17,19	4,01



Calcul de l'effort tranchant revenant à chaque poteau :

calcul des déplacements relatifs d'étages

$$\delta_j = \frac{T_j}{R_j} \leq \bar{\delta}_j$$

$\bar{\delta}_j$  : Déplacement relatif d'étage admissible  
(RPA Art 3.3.7.1)

$$\bar{\delta}_j = 0,0075 h_j$$

$h_j$  : hauteur d'étage

Ce que l'on doit vérifier (d'après le même article)  $\frac{1}{2} \delta_j \leq 0,0075 h_j$

soit pour notre cas  $2 \delta_j \leq 0,0075 h_j = 25 \text{ mm}$

Portiques transversaux

Niv	Portique A			Portique B			Portique C			Portique D		
IV	1073,22	1,97	1,84	3219,44	7,36	2,29	3219,44	8,51	2,64	1073,22	3,2	2,98
III	1092,23	8,28	7,58	1143,6	9,53	8,35	1143,6	10,26	8,97	1092,23	10,65	9,75
II	1092,23	10,80	9,89	1143,6	12,46	10,90	1143,6	13,39	11,71	1092,23	13,89	12,72
I	3717,13	9,82	2,64	5096,67	15,53	3,05	5096,67	17,19	3,37	3717,13	14,04	3,98
	$R_j$	$T_j$	$\delta_j(\text{mm})$	$R_j$	$T_j$	$\delta_j(\text{mm})$	$R_j$	$T_j$	$\delta_j(\text{mm})$	$R_j$	$T_j$	$\delta_j(\text{mm})$

Portiques longitudinaux.

Niv	Portique 1			Portique 2			Portique 3			Portique 4		
	$R_j$	$T_j$	$\delta_j(\text{mm})$	$R_j$	$T_j$	$\delta_j$	$R_j$	$T_j$	$\delta_j$	$R_j$	$T_j$	$\delta_j(\text{mm})$
IV	1156,14	4,93	4,26	1156,14	5,38	4,65	497,42	2,41	4,85	1156,14	5,83	5,04
III	1168,6	7,71	6,60	1168,60	9,25	7,92	516,04	4,25	8,24	1168,6	10,00	8,56
II	1168,6	10,90	9,33	1168,60	11,86	10,15	516,04	5,45	10,56	1168,6	12,82	10,97
I	1580,36	12,59	7,97	1580,36	13,11	8,30	746,36	4,31	8,45	1580,36	13,63	8,62

Résumé des flèches :  $f_{\text{TOT}} = \sum f_i < \sum f_{i,\text{ad}} = 1 \text{ cm}$

Port.	A	B	C	D	1	2	3	4	observateur
flèche (cm)	2,195	2,459	2,669	2,816	3,102	3,202	3,210	3,319	Admissible

Les flèches sont vérifiées.

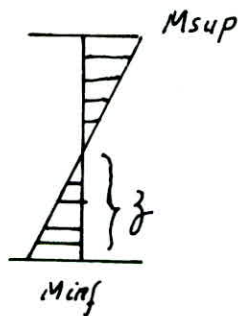


## CALCUL DES MOMENTS DANS LES POTEAUX :

### 1. Portique transversal D

niveau	file	$\bar{K}$	$Y_0$	$Y_1$	$Y_2$	$Y_3$	$Y$	$\frac{z}{h}$	$h-z$ (m)	$T_x(t)$ kdaN	$t_x(t)$ kdaN	$M_{sup}$ (kdaN.m)	$M_{inf}$ (kdaN.m)
4	1;4	0,16	0,13	0	0	0	0,13	0,44	2,90	3,32	0,83	2,41	0,365
	2	0,32	0,21	0	0	0	0,21	0,70	2,64	3,32	1,66	4,38	1,16
3	1;4	0,15	0,35	0	0	0	0,35	1,16	2,14	10,65	2,76	5,91	3,20
	2	0,30	0,35	0	0	0	0,35	1,16	2,14	10,65	5,12	10,96	5,94
2	1;4	0,15	0,65	0	0	0	0,65	2,15	1,15	13,89	3,60	4,141	7,74
	2	0,30	0,55	0	0	0	0,55	1,82	1,48	13,89	6,68	9,89	12,15
1	1;4	0,16	1,05	0	0	0	1,05	3,51	-0,17	14,04	4,49	-0,76	15,76
	2	0,32	0,81	0	0	0	0,81	2,71	0,59	14,04	5,07	2,99	13,74

La position du point d'inflexion est donné en fonction des caractéristiques du portique :



$$M_{sup} = t_j^{(i)} (h-z)$$

$$M_{inf} = t_j^{(u)} z \quad \text{avec } z = y h$$

$$\text{où } y = Y_0 + Y_1 + Y_2 + Y_3$$

$Y_0$ : est donnée par des tableaux en fonction de  $\bar{K}$ , du nombre de niveaux et du numéro de niveau

$Y_1$ : Terme de correction dû à la variation de rigidité linéaire des poutres supérieures et des poutres inférieures, il est donné en fonction de

$$\alpha_1 = \frac{k_1 + k_2}{k_3 + k_4}$$

$k_1, k_2$  raideurs des poutres supérieures  
 $k_3, k_4$  raideurs des inférieures.

$Y_2$ : Terme de correction dû à la variation de la hauteur d'étage  $i$  à la hauteur de l'étage  $i+1$   
il est donné en fonction de  $\alpha_2 = \frac{h_{sup}}{h}$  ( $Y_2 = 0$  pour le dernier niveau)

$Y_3$ : Terme de correction dû à la variation de hauteur d'étage  $(i)$  à la hauteur d'étage  $(i-1)$ . Il est donné en fonction de  $\alpha_3 = \frac{h_{inf}}{h}$   
( $Y_3 = 0$  pour le premier niveau).

Les différents coefficients  $Y_0, Y_1, Y_2, Y_3$  sont données dans les tableaux du bulletin n° 5 du CTC



CALCUL DES MOMENTS DANS LES POTEAUX : PORTIQUE TRANSVERSAL : C  
et B

Niv	file	$\bar{k}$	$Y_0$	$Y_1$	$Y_2$	$Y_3$	$Y$	$\bar{z} = Yh$	$T_Y$	$h-z$	$t_Y$	$M_{sup}$	$M_{inf}$
IV	1	0,16	0,13	0	0	0	0,13	0,44	1,42	2,90	8,51	4,12	9,62
	2	0,32	0,21	0	0	0	0,21	0,70	2,83	2,64	8,51	7,47	1,98
	3	0,33	0,21	0	0	0	0,21	0,70	2,83	2,64	8,51	7,44	1,98
	4	0,16	0,13	0	0	0	0,13	0,44	1,42	2,90	8,51	4,12	9,62
III	1	0,15	0,35	0	0	0	0,35	1,16	1,71	2,14	10,26	3,66	1,98
	2	0,31	0,35	0	0	0	0,35	1,16	3,42	2,14	10,26	7,32	3,97
	3	0,31	0,35	0	0	0	0,35	1,16	3,42	2,14	10,26	7,32	3,97
	4	0,16	0,35	0	0	0	0,35	1,16	1,71	2,14	10,26	3,66	1,98
II	1	0,15	0,65	0	0	0	0,65	2,15	2,24	1,15	13,39	2,58	4,82
	2	0,31	0,55	0	0	0	0,55	1,82	4,46	1,48	13,39	6,60	8,12
	3	0,31	0,55	0	0	0	0,55	1,82	4,46	1,48	13,39	6,60	8,12
	4	0,16	0,65	0	0	0	0,65	2,15	2,24	1,15	13,39	2,58	4,82
I	1	0,16	1,05	0	0	0	1,05	3,51	4,01	-0,17	17,19	-0,68	14,08
	2	0,32	0,81	0	0	0	0,81	2,71	4,52	0,59	17,19	2,67	12,25
	3	0,33	0,81	0	0	0	0,81	2,71	4,66	0,59	17,19	2,75	12,25
	4	0,16	1,05	0	0	0	1,05	3,51	4,01	-0,17	17,19	-0,68	14,08
UNITÉS							(m)	kdaN	m	kdaN	kdaN.m	kdaN.m	

Cal des moments dans les portiques longitudinaux (4,3)  
Portique 4.

Niv	files	$\bar{k}$	$Y_0$	$Y_1$	$Y_2$	$Y_3$	$Y$	$\bar{z} = Yh$	$T_Y$	$h-z$	$t_Y$	$M_{sup}$	$M_{inf}$
IV	A, D	0,84	0,35	0	0	0	0,35	1,17	5,83	2,17	1,108	2,40	1,30
	B, C	1,88	0,44	0	0	0	0,44	1,47	5,83	1,87	1,807	3,38	2,66
III	A, D	0,83	0,45	0	0	0	0,45	1,49	10,00	1,81	1,88	3,40	2,80
	B, C	1,86	0,45	0	0	0	0,45	1,49	10,00	1,81	3,12	3,65	4,65
II	A, D	0,83	0,50	0	0	0	0,50	1,65	12,82	1,65	2,41	3,98	3,98
	B, C	1,86	0,50	0	0	0	0,50	1,65	12,82	1,65	4,00	6,60	6,60
I	A, D	0,84	0,68	0	0	0	0,68	2,27	13,63	1,07	2,911	3,18	6,74
	B, C	1,88	0,56	0	0	0	0,56	4,87	13,63	1,47	3,844	5,65	7,19
UNITÉS							m	kdaN	m	kdaN	kdaN.m	kdaN.m	

Portique 3

Niv	files	$\bar{k}$	$Y_0$	$Y_1$	$Y_2$	$Y_3$	$Y$	$\bar{z} = Yh$	$T_Y$	$h-z$	$t_Y$	$M_{sup}$	$M_{inf}$
IV	B, C	1,05	0,40	0	0	0	0,40	1,34	2,41	2,00	1,205	2,41	1,61
III	B, C	1,03	0,45	0	0	0	0,45	1,49	4,25	1,81	2,125	3,85	3,17
II	B, C	1,03	0,50	0	0	0	0,50	1,65	5,45	1,65	2,725	4,50	4,50
I	B, C	1,05	0,65	0	0	0	0,65	2,17	6,31	1,17	3,155	3,69	6,85
UNITÉS							m	kdaN	m	kdaN	kdaN.m	kdaN.m	

les schemas des portiques du Bloc C sont données dans la page suivante :



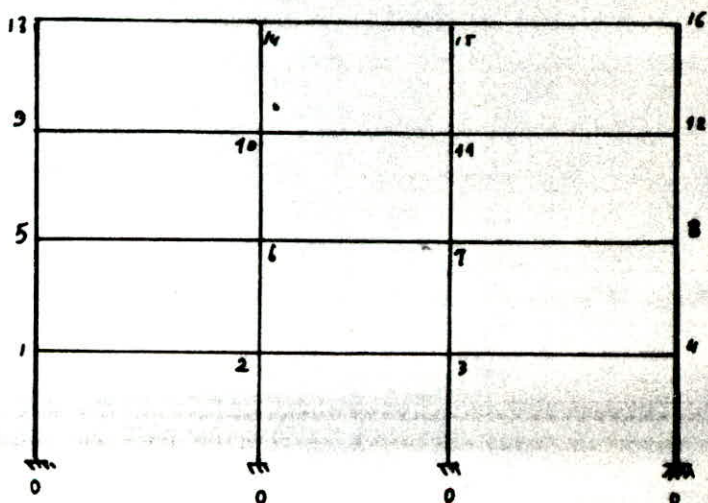
CALCUL DES MOMENTS DANS LES POUTRES

Moments dus à  $\vec{S}_i$  dans les poutres du portique 4 (longitudinal)

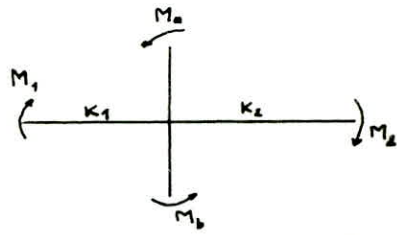
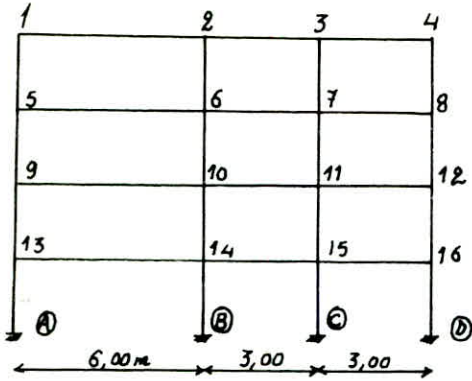
$$M_1 = \frac{k_1}{k_1+k_2} (M_a + M_b) \quad , \quad M_2 = \frac{k_2}{k_1+k_2} (M_a + M_b)$$

$$M_t = \frac{M_w - M_e}{2}$$

Nœud	$M_a$	$M_b$	$M_1$	$M_2$	$M_w$	$M_e$	$M_t$ (travée)	T poutre	
					K.dan.m	K.dan.m	K.dan.m	K.dan	
II	13	2,40	0	0,00	2,40				
	14	3,38	0	1,50	1,88	2,40	1,50	0,450	-0,650
	15	3,38	0	1,88	1,50	1,88	1,88	0	-0,783
	16	2,40	0	2,40	0,00	1,50	2,40	-0,450	-0,650
III	9	3,40	1,30	0,00	4,70				
	10	5,65	2,66	3,69	4,62	4,70	3,69	0,505	-1,398
	11	5,65	2,88	4,62	3,69	4,62	4,62	0	-1,925
	12	3,40	1,30	4,70	0,00	3,69	4,70	-0,505	-1,398
I	5	3,98	2,80	0,00	6,78				
	6	6,60	4,65	5,00	6,25	6,78	5,00	0,890	-1,963
	7	6,60	4,65	6,25	5,00	6,25	6,25	0	-2,604
	8	3,98	2,80	6,78	0,00	5,00	6,78	-0,890	-1,963
I	1	3,18	3,98	0,00	7,16				
	2	5,65	6,60	5,44	6,81	7,16	5,44	0,860	-2,100
	3	5,65	6,60	6,81	5,44	6,81	6,81	0	-2,898
	4	3,18	3,98	7,16	0,00	5,44	7,16	-0,860	-2,100



Portique transversal "C"

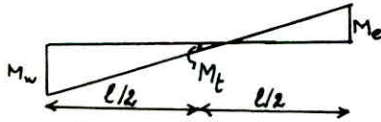


- Calcul des efforts dans les poutres :-

$$\begin{cases} M_1 = \frac{k_1}{k_1+k_2} (M_a + M_b) \\ M_2 = \frac{k_2}{k_1+k_2} (M_a + M_b) \end{cases}$$

- dans un noeud, le moment resultant des poteaux aboutissant à ce noeud sera reparti entre les poutres proportionnellement à leur rigidités linéaires.

• Moment à mi-travée :



$$M_t = \frac{M_w - M_e}{2}$$

• Efforts tranchants :-

A partir des moments dans les noeuds, on peut calculer les efforts tranchants.

$$T = \frac{dM}{dx} = - \frac{M_e + M_w}{l}$$

• efforts normaux dans les poutres sont nuls.

Niv.	noeud	M <sub>a</sub>	M <sub>b</sub>	M <sub>1</sub>	M <sub>2</sub>	M <sub>w</sub>	M <sub>e</sub>	M <sub>t</sub>	T
IV	1	4,12	0	0	4,12				
	2	7,47	0	3,69	3,78	4,12	3,69	0,215	-1,302
	3	7,44	0	3,72	3,72	3,78	3,72	0,030	-2,500
	4	4,12	0	4,12	0	3,72	4,12	-0,200	-2,613
III	5	3,66	0,62	0	4,28				
	6	7,32	1,98	4,59	4,71	4,28	4,59	-0,155	-1,478
	7	7,32	1,97	4,65	4,65	4,71	4,65	0,030	-3,120
	8	3,66	0,62	4,28	0	4,65	4,28	0,185	-2,977
II	9	2,58	1,98	0	4,56				
	10	6,60	3,97	5,21	5,36	4,56	5,21	-0,325	-1,628
	11	6,60	3,97	5,29	5,29	5,36	5,29	0,070	-3,550
	12	2,58	1,98	4,56	0	5,29	4,56	0,365	-3,283
I	13	-0,68	4,82	0	4,14				
	14	2,67	8,12	5,32	5,47	4,14	5,32	-0,590	-1,577
	15	2,67	8,12	5,40	5,40	5,47	5,40	0,035	-3,623
	16	-0,68	4,82	4,14	0	5,40	4,14	-0,630	-3,180



## Les efforts dans les poutres "Portique transv. D"

Niv.	noeud	$M_a$	$M_b$	$M_1$	$M_2$	$M_w$	$M_e$	$M_t$	T
IV	1	2,41	0	0	2,41	2,410	2,190	0,11	-0,767
	2	4,38	0	2,19	2,190				
	3	2,41	0	2,41	0				
III	4	5,91	0,11	0	6,020	6,020	6,060	-0,02	-2,013
	5	10,96	1,16	6,06	6,060				
	6	5,91	0,11	6,02	0				
II	7	4,14	3,20	0	7,340	7,340	7,915	-0,288	-2,543
	8	9,89	5,94	7,915	7,915				
	9	4,14	3,20	7,34	0				
I	10	-0,76	7,74	0	6,980	6,980	7,575	-0,408	-2,426
	11	2,99	12,16	7,575	7,575				
	12	-0,76	7,74	6,98	0				

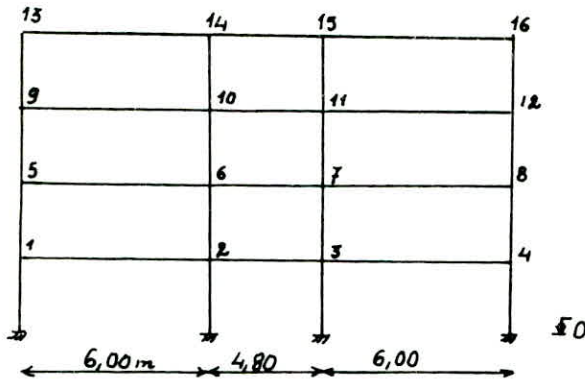
## "Portique longitudinal 3"

Niv.	Noeud	$M_a$	$M_b$	$M_1$	$M_2$	$M_w$	$M_e$	$M_t$	T
IV	1	2,41	0	0	2,41	2,41	2,41	0	-1,004
	2	2,41	0	2,41	0				
III	3	3,85	1,61	0	5,46	5,46	5,46	0	-2,275
	4	3,85	1,61	5,46	0				
II	5	4,50	3,17	0	7,67	7,67	7,67	0	-3,196
	6	4,50	3,17	7,67	0				
I	7	3,69	4,50	0	8,19	8,19	8,19	0	-3,413
	8	3,69	4,50	8,19	0				



- Efforts tranchants et normaux dans les poteaux "Port. Longitu. 4"

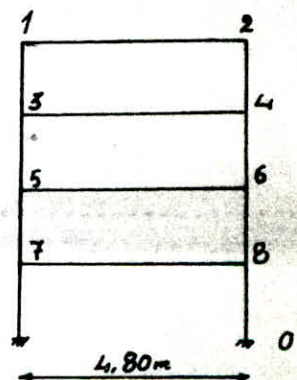
l'effort normal dans le poteau :  $N_i = -(T_{ie} - T_{iw})$



riv.	Pot.	$M_{sup}$	$M_{inf}$	T	N	$N^c$
IV	13-9	2,40	1,30	-1,108	-1,108	-1,108
	14-10	3,38	2,66	-1,808	-0,722	-0,722
	15-11	3,38	2,66	-1,808	0	0
	16-12	2,40	1,30	-1,108	0,722	0,722
III	5-9	3,40	2,80	-1,879	-1,856	-2,964
	6-10	5,65	4,65	-3,121	-1,265	-1,987
	7-11	5,65	4,65	-3,121	0	0
	8-12	3,40	2,80	-1,879	1,265	1,987
II	1-5	3,98	3,98	-2,412	-2,383	-5,347
	2-6	6,60	6,60	-4,000	-1,617	-3,604
	3-7	6,60	6,60	-4,000	0	0
	4-8	3,98	3,98	-2,412	1,617	3,604
I	0-1	3,18	6,74	-2,970	-2,970	8,317
	0-2	5,65	7,19	-3,844	-0,921	-4,525
	0-3	5,65	7,19	-3,844	0	0
	0-4	3,18	6,74	-2,970	0,921	4,525

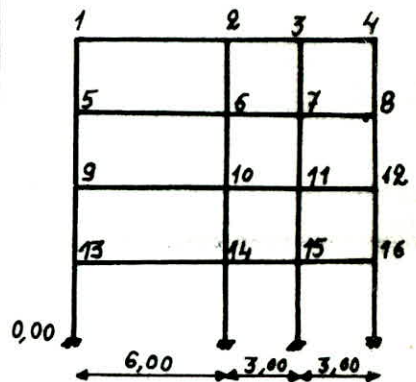
- Efforts tranchants et normaux dans les poteaux "Port. Longit. 3"

riv.	Pot.	$M_{sup}$	$M_{inf}$	T	N	$N^c$
IV	1-3	2,41	1,61	-1,204	-1,204	-1,204
	2-4	2,41	1,61	-1,204	0	0
III	3-5	3,85	3,17	-2,127	-2,127	-3,331
	4-6	3,85	3,17	-2,127	0	0
II	5-7	4,50	4,50	-2,727	-2,727	-6,058
	6-8	4,50	4,50	-2,727	0	0
I	7-0	3,69	6,85	-3,156	-3,156	-9,214
	8-0	3,69	6,85	-3,156	0	0



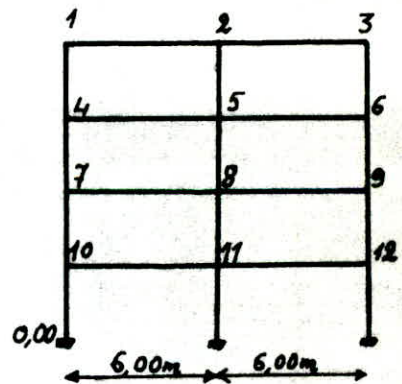
## Efforts tranchants et normaux dans les poteaux "Port. tram. C"

Niv.	Pot.	M <sub>sup.</sub>	M <sub>inf.</sub>	T	N	N <sup>c</sup>
IV	1-5	4,12	0,62	-1,420	-1,420	-1,419
	2-6	7,47	1,98	-2,830	-1,410	-1,410
	3-7	7,44	1,97	-2,830	0,012	0,012
	4-8	4,12	0,62	-1,420	1,398	1,398
III	5-9	3,66	1,98	-1,709	-1,709	-3,128
	6-10	7,32	3,97	-3,421	-1,712	-3,122
	7-11	7,32	3,97	-3,421	0	0,012
	8-12	3,66	1,98	-1,709	1,712	3,110
II	9-13	2,58	4,82	-2,240	-2,242	-5,370
	10-14	6,60	8,12	-4,460	-2,219	-5,341
	11-15	6,60	8,12	-4,460	0	0,012
	12-16	2,58	4,82	-2,240	2,219	5,329
I	0-13	-0,68	14,08	-4,020	-4,012	-9,382
	0-14	2,67	12,25	-4,480	-0,455	-5,796
	0-15	2,67	12,25	-4,480	0	0,012
	0-16	-0,68	14,08	-4,020	0,455	5,784



## - Portique transversal "D"

Niv.	Pot.	M <sub>sup.</sub>	M <sub>inf.</sub>	T	N	N <sup>c</sup>
IV	1-4	2,41	0,11	-0,830	-0,754	-0,754
	2-5	4,38	1,16	-1,659	-0,905	-0,905
	3-6	2,41	0,11	-0,830	0,905	0,905
III	4-7	5,91	3,20	-2,761	-2,761	-3,515
	5-8	10,96	5,94	-5,121	-2,360	-3,265
	6-9	5,91	3,20	-2,761	2,360	3,265
II	7-10	4,14	7,74	-3,600	-3,600	-7,115
	8-11	9,89	12,16	-6,682	-3,082	-6,347
	9-12	4,14	7,74	-3,600	3,082	6,347
I	10-0	-0,76	15,76	-4,491	-4,491	-11,606
	11-0	2,99	13,74	-5,009	-0,518	-6,865
	12-0	-0,76	15,76	-4,491	0,518	6,865





# CALCUL au SEÏSME BLOC.A

- On prendra pour les poteaux des HEB400, déjà trouvé pour le bloc C. ainsi que les poutres des IPE360 dans tous les sens

Portiques transversaux : - calcul de rigidités de niveau des portiques

niv.	files	h(m)	$I_p \times 10^6$ [m <sup>4</sup> ]	$K_p \times 10^6$ m <sup>3</sup>	$\bar{K}$	$\alpha$	$\frac{[m^3]}{\alpha \times K_p \cdot 10^6}$	$\Gamma_j$ (t/m)	$R_j$ (t/m)	$D_j$ (t)
I-R	1	3,34	576,8	172,69	0,196	0,320	55,26	1248,30	3823,05	169,94 · 10 <sup>4</sup>
	2	3,34	576,8	172,69	0,353	0,360	62,17	1404,39		
	3	3,34	576,8	172,69	0,157	0,300	51,81	1170,36		
II-III I-II	1	3,30	576,8	174,79	0,194	0,090	15,73	364,00	1253,98	54,19 · 10 <sup>4</sup>
	2	3,30	576,8	174,79	0,349	0,150	26,22	606,74		
	3	3,30	576,8	174,79	0,155	0,070	12,24	283,24		
III-IV	1	3,34	576,8	172,69	0,196	0,089	15,37	347,20	1217,12	53,88 · 10 <sup>4</sup>
	2	3,34	576,8	172,69	0,353	0,150	25,90	585,07		
	3	3,34	576,8	172,69	0,157	0,073	12,61	284,85		

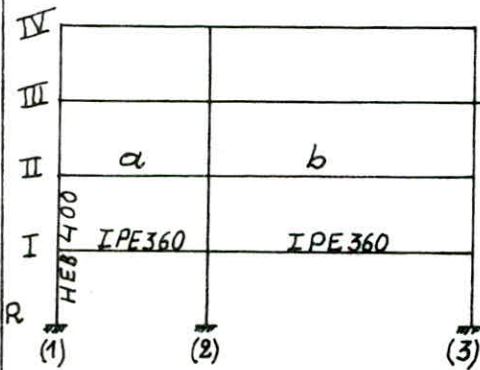
calcul des raideurs : -

Poutre a  $\Rightarrow K = 33,90 \cdot 10^{-6} m^3$

Poutre b  $\Rightarrow K = 27,12 \cdot 10^{-6} m^3$

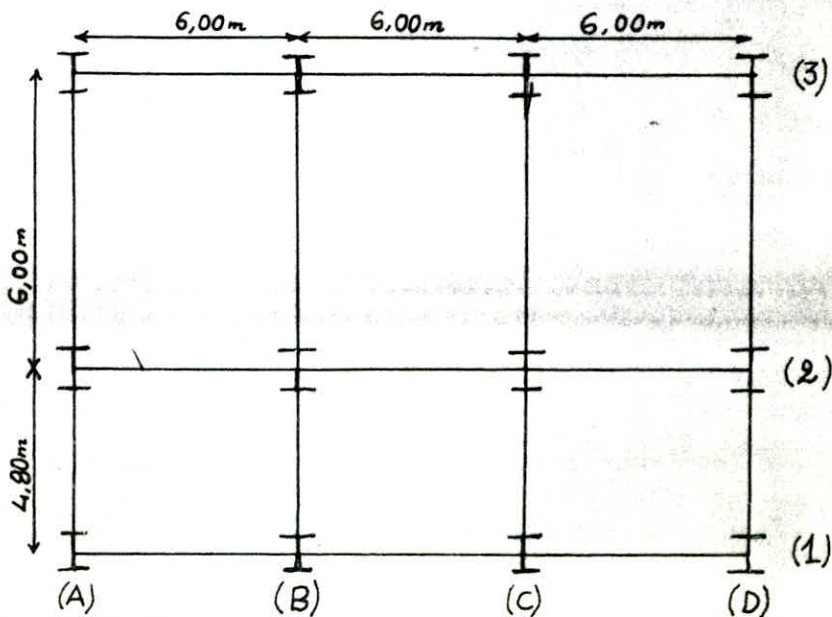
Poteaux:  $K_{p1} = \frac{I}{h_1} = \frac{576,8}{3,30} = 174,79 \cdot 10^{-6} m^3$

$K_{p2} = \frac{I}{h_2} = \frac{576,8}{3,34} = 172,69 \cdot 10^{-6} m^3$



vue en plan

"BLOCA"





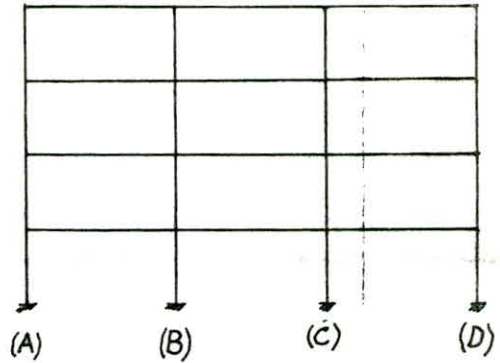
## Portiques longitudinaux :-

rigidités linéaires :-

$$K(\text{poutres}) = 27,12 \cdot 10^{-6} \text{ m}^3$$

$$h = 3,34 \rightarrow K_{\text{poteau}} = 32,39 \cdot 10^{-6} \text{ m}^3$$

$$h = 3,30 \rightarrow K_p = 32,79 \cdot 10^{-6} \text{ m}^3$$



niv.	files	h [m]	$I_{pd} \times 10^6$ [m <sup>4</sup> ]	$K_p \times 10^6$ [m <sup>3</sup> ]	$\bar{K}$	$\alpha$	$\alpha \times K_p \cdot h$ [m <sup>3</sup> ]	$r_j$ (t/m)	$F_j$ (t/m)	$D_j$ [m <sup>3</sup> ]
I-R	A-D	3,34	108,20	32,39	0,84	0,47	15,22	343,81	1551,80	68,66 · 10 <sup>4</sup>
	B-C	3,34	108,20	32,39	1,67	0,59	19,11	431,69		
I-II II-III	A-D	3,30	108,20	32,79	0,83	0,29	9,51	220,07	1123,24	48,54 · 10 <sup>4</sup>
	B-C	3,30	108,20	32,79	1,65	0,45	14,76	341,55		
III-IV	A-D	3,34	108,20	32,39	0,84	0,30	9,72	219,57	1123,30	49,24 · 10 <sup>4</sup>
	B-C	3,34	108,20	32,39	1,67	0,46	14,90	336,58		

Calcul des rigidités relatives d'étage :-

sens transversal :-  $\equiv$  4 portiques ident

$$R_j^t = \begin{cases} 4 \times 3823,05 = 15292,20 & \text{pour le niveau I} \\ 4 \times 1253,98 = 5015,92 & \text{pour niveau II et III} \\ 4 \times 1217,12 = 4868,48 & \text{pour niveau IV} \end{cases}$$

sens longitudinal :- 3 portiques identique

$$R_j^l = \begin{cases} 3 \times 1551,80 = 4655,40 \\ 3 \times 1123,24 = 3369,72 \\ 3 \times 1123,30 = 3369,90 \end{cases}$$

Calcul sismique :- bloc A

calcul des poids d'etages

$W_{IV} =$  Poids du plancher terrasse +  $\frac{1}{2}$  poteaux superieurs +  $\frac{1}{2}$  S. d'expl.

$$\begin{aligned} G &= 0,504 \times 11,60 \times 18,45 = \dots 107,87 \\ \text{Acrotère} &: 59,2 \times 0,15 \times 0,6 \times 2,5 = \dots 13,32 \\ \text{Poutres} &: 94 \times 0,0571 = \dots 5,37 \\ \frac{1}{2} \text{ Poteaux} &: 1,65 \times 0,155 \times 12 = \dots 3,07 \\ \frac{1}{2} \text{ cloisons} &: \frac{1}{2} \times 0,075 \times 214,02 = \dots 8,03 \\ \frac{1}{2} \text{ Mur façade} &: \frac{1}{2} \times 0,46 \times 48,50 \times 2,1 = 23,43 \end{aligned}$$

$$\frac{1}{2} \text{ S. d'exploitation} = \frac{1}{2} \times 0,100 \times 214,02 = 10,70$$

$$\underline{W_{IV} = 172}$$

Etage courant :-

$$\begin{aligned} \text{Plancher} &: 0,477 \times 214,02 = 102,09 \\ \text{Poutres} &: \dots 5,37 \\ \text{Poteaux} &: = 3,07 \times 2 = \dots 6,14 \\ \text{mur façade} &: = \dots 52,51 \end{aligned}$$

$$\frac{1}{2} \text{ S. d'expl.} : \frac{1}{2} \times 0,25 \times 214,02 = \dots 26,75$$

$$\underline{W_{III} = W_{II} = W_I = 192,86}$$

$$W_{TOT} = 750,58$$

Comme pour le bloc C :

$$A = 0,15 \quad B = 0,25 \quad Q = \begin{cases} 1,6 \rightarrow \text{sens transv} \\ 1,4 \rightarrow \text{sens longitud.} \end{cases}$$

sens transv. :-

en 1<sup>re</sup> approximation on applique la formule forfaitaire :  $T = 0,1 \frac{H}{\sqrt{L}}$

$$T_t = 0,1 \cdot \frac{13,38}{\sqrt{11,60}} = 0,393 \lambda \rightarrow \text{le sol est ferme} \quad D = 2 \sqrt{\frac{0,3}{T}} = 1,747$$

sens longitud.

$$T_l = 0,1 \cdot \frac{13,38}{\sqrt{18,45}} = 0,312 \lambda \rightarrow \quad D = 2 \sqrt{\frac{0,3}{0,312}} = 1,961$$

- seu transversal

$$V_t = ADBQW = 0,15 \times 1,6 \times 0,25 \times 1,747 \times 750,58 = 78,68$$

Cette force est appliquée sur le bâtiment, il faut le répartir sur les différents niveaux, comme suit ;

$$F_k = V \cdot \frac{W_k h_k}{\sum W_i h_i} \quad (T_t < 0,7s)$$

on calcule après les déplacements selon :  $\delta_j = \frac{F_j^c}{R_j}$  (poutrique)

niveau	h [m]	$W_k(t)$	$W_k h_k$ [t.m]	$F_k [t]$	$F_k^c [t]$	$R_j^t [t/m]$	$\delta_j [mm]$	$\delta_j^c [mm]$
IV	13,38	172,00	2301,36	29,20	29,20	4868,48	6,00	35,88
III	10,04	192,86	1936,31	24,57	53,77	5015,92	10,72	29,88
II	6,74	192,86	1299,88	16,49	70,26	5015,92	14,01	19,16
I	3,44	192,86	663,44	8,42	78,68	15292,20	5,15	5,15
			$\Sigma = 6201$					

Ces déplacements sont relatifs aux niveaux, on passe maintenant au calcul de la période par la formule figurant dans le R.P.A 81 : -

$$T_t = 2\pi \sqrt{\frac{\sum W_i \delta_i^2}{g \sum F_i^c \delta_i^c}}$$

$$T_t = 2\pi \sqrt{\frac{4695,32}{440,57981}} = 0,65s \rightarrow \text{donc on passe a une autre iteration}$$

$$T = 0,65s \rightarrow D = 2 \sqrt{\frac{0,3}{0,65}} = 1,359 \text{ comme precedemment :}$$

$$V = 61,21 \quad (T < 0,7s)$$

niveau	V(t)	$F_k(t)$	$F_k^c(t)$	$R_j^t [t/m]$	$\delta_j [cm]$	$\delta_j^c [cm]$
IV	61,21	22,72	22,72	4868,48	0,47	2,79
III		19,11	41,83	5015,92	0,83	2,32
II		12,83	54,66	5015,92	1,09	1,49
I		6,55	61,21	15292,20	0,40	0,40

$$\text{donc la periode : } T = 2\pi \sqrt{\frac{2835,94}{266,36981}} = 0,65s$$

on arrête les iterations



- sens longitudinal

$$V = ADBQW = 0,15 \times 0,25 \times 1,4 \times 1,961 \times 750,58 = 77,27t$$

il faut le répartir sur les niveaux : -

$$F_k = \frac{w_k h_k}{\sum w_i h_i} \cdot V \quad (T < 0,7s)$$

et on calcule les déplacements par la formule :  $\delta_j = \frac{F_j^c}{R_j}$

niveau	h[m]	w <sub>k</sub> [t]	w <sub>k</sub> h <sub>k</sub> [t.m]	F <sub>k</sub> [t]	F <sub>k</sub> <sup>c</sup> [t]	R <sub>j</sub> <sup>c</sup> [t/m]	δ <sub>j</sub> [m]	δ <sub>j</sub> <sup>c</sup> [m]
IV	13,38	172,00	2301,36	28,68	28,68	3369,90	8,51	61,26
III	10,04	192,86	1936,31	24,13	52,81	3369,72	15,67	52,75
II	6,74	192,86	1299,88	16,20	69,01	3369,72	20,48	37,08
I	3,44	192,86	663,44	8,27	77,28	4655,40	16,60	16,60

calculons la nouvelle période :

$$T = 2\pi \sqrt{\frac{\sum w_i \delta_i^2}{\sum F_i^c \delta_i^c}} = 2\pi \sqrt{\frac{15004,37}{981.838,44}} = 0,85s \quad \text{donc}$$

on va faire une autre iteration

$$T = 0,85s \rightarrow D = 2 \sqrt{\frac{0,3}{0,85}} = 1,188 \Rightarrow V = 46,81t \quad \text{appliqué sur tout le Bâtiment.}$$

on doit le répartir sur les niveaux par la formule :

$$F_k = (V - F_t) \cdot \frac{w_k h_k}{\sum w_i h_i} \quad \text{avec } F_t = 0,07 \times T \times V = 2,79t \quad (T > 0,7s)$$

Niveau	F <sub>k</sub>	F <sub>k</sub> <sup>c</sup>	R <sub>j</sub> <sup>c</sup>	δ <sub>j</sub> [cm]	δ <sub>j</sub> <sup>c</sup> [cm]
IV	19,13	19,13	3369,90	0,57	3,81
III	13,75	32,88	3369,90	0,98	3,24
II	9,23	42,11	3369,90	1,25	2,26
I	4,71	46,82	4655,40	1,01	1,01

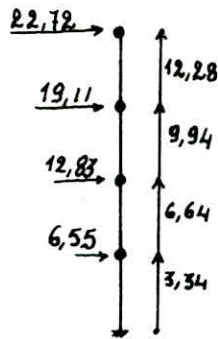
$$\text{d'où la vraie période : } T = 2\pi \sqrt{\frac{5703,12}{981.321,87}} = 0,85s$$

- Tableau récapitulatif des efforts tranchants : -

niveau	IV	III	II	I
E <sub>j</sub> <sup>f</sup> (	22,72	41,83	54,66	61,21
E <sub>j</sub> <sup>ob</sup> (	19,13	32,88	42,11	46,82

- Verifications au renversement :-

peus transversal :-



$$\sum F_i X_i = 22,72 \times 12,28 + 19,11 \times 9,94 + 12,83 \times 6,64 + 6,55 \times 3,34 = 576,02 \text{ t.m}$$

$$\sum F_i = 61,21 \text{ t}$$

$$\sum F_i \times z = 6,121 \text{ t}$$

$$\text{Moment de renversement} = 582,14 \text{ t.m}$$

Si Moment resistant =  $(\sum w_i - \sum \sigma_w w_i) b \gg 1,5$  Moment renversement  
 $\rightarrow$  Stabilité vérifiée

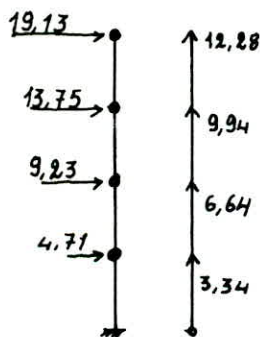
$$\sigma_w = ADBQ = 0,15 \times 0,25 \times 1,6 \times 1,359 = 0,082$$

$$b = \frac{11,6}{2}, \quad b(1 - 0,082)(\sum w_i) = 3996,38 > 1,5 \times 582,14$$

\* Le bloc est stable dans le sens transversal

peus longitudinal

Moment de renversement :-



$$\sum F_i X_i = 19,13 \times 12,28 + 13,75 \times 9,94 + 9,23 \times 6,64 + 4,71 \times 3,34 = 448,61 \text{ t.m}$$

$$\sum z F_i = 4,682 \text{ t.m}$$

$$M_{\text{renv}} = 453,30 \text{ t.m}$$

Moment resistant :-

$$\sigma_w = ADBQ = 0,15 \times 0,25 \times 1,4 \times 1,188 = 0,06$$

$$b(1 - 0,06) \sum w_i = \frac{19,45}{2} \cdot 0,94 \times 750,58 = 6861 \text{ t.m}$$

$$M^{\text{r}} \text{ resistant} = 6861 \text{ t.m} > 1,5 \times M^{\text{r}} \text{ de renver} = 1,5 \times 453,30 \text{ t.m}$$

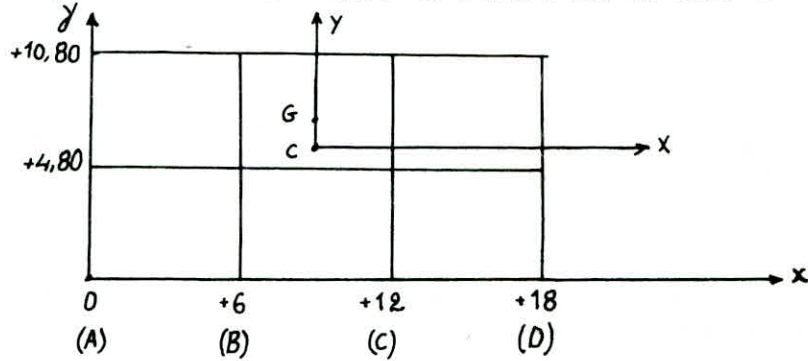
\* Le bâtiment est stable dans le sens longitudinal

Conclusion :-

le bloc est stable dans les 2 sens principaux  
 vis à vis au renversement

83

- Détermination du centre de masse et centre de torsion :-



Le centre de masse :  $G \begin{cases} x_G = 9m \\ y_G = 5,40m \end{cases}$

détermination du centre de torsion :

$$C = \begin{cases} x_c = \frac{\sum R_j^t x_j^t}{R_j^t} \\ y_c = \frac{\sum R_j^p y_j^p}{R_j^p} \end{cases}$$

$$R_j^p = \begin{cases} 4655,40 \text{ t/m} \rightarrow \text{pour le niveau I} \\ 3369,72 \text{ t/m} \rightarrow \text{pour niveau II et III} \\ 3369,90 \text{ t/m} \rightarrow \text{pour niveau IV} \end{cases}$$

$$R_j^p = \begin{cases} 1551,80 \text{ t/m} \rightarrow \text{pour le niveau I} \\ 1123,24 \text{ t/m} \rightarrow \text{pour niveau II et III} \\ 1123,30 \text{ t/m} \rightarrow \text{pour niveau IV} \end{cases}$$

$$R_j^t = \begin{cases} 15299,20 \text{ t/m} \rightarrow \text{pour niv. I} \\ 5015,92 \text{ t/m} \rightarrow \text{niv. II et III} \\ 4868,48 \text{ t/m} \rightarrow \text{niv. IV} \end{cases}$$

$$R_j^t = \begin{cases} 3823,05 \text{ t/m} & \text{niv. I} \\ 1253,98 & \text{niv. II et III} \\ 1217,12 & \text{niv. IV} \end{cases}$$

- Comme les portiques sont identiques dans les 2 sens donc :-

$$C \begin{cases} x_c = \frac{\sum R_j^t x_j^t}{R_j^t} = \frac{R_j^t (0+6+12+8)}{4 \times R_j^t} = 9m \\ y_c = \frac{R_j^p (0+4,80+10,80)}{4 \times R_j^p} = 5,2m \end{cases}$$

donc pour tous les niveaux :  $C \begin{cases} x_c = 9m \\ y_c = 5,2m \end{cases}$



- Coordonnées des portiques par / au centre de Torsion :-

Port. transvers.		A	B	C	D
X	niv. :- I, II, III IV	-9	-3	-3	+9

Port. Longit.		1	2	3
Y	niv. :- I II, III, IV	-5,2	-0,4	5,6

Calcul des excentricités entre C. de Masse et C. de Torsion

Niv.	$x_G$	$x_C$	$ x_G - x_C $	$y_G$	$y_C$	$ y_G - y_C $
I, II, III IV	9m	9m	0m	5,4m	5,2m	0,2m

on prend d'après le R.P.A81 :  $e_x = e_y = \frac{5}{100} l_{max} = \frac{5}{100} \cdot 18 = 0,9m > e_{calculé}$

- Détermination de l'effort tranchant de niveau revenant à chaque portique :-

pour les portiques transversaux :-

$$T_{jy}^t = \bar{G}_{jy}^t \cdot \frac{R_{jy}^t}{R_{jy}^t} + \bar{G}_{jy}^t \cdot \frac{R_{jy}^t}{R_{j0}^t} \cdot x_j^t \cdot e_x = \text{terme de translation} +$$

avec ;  $R_{j0}^t$  : rigidité à la torsion :-  $R_{j0}^t = \sum_{k=1}^D R_{jy}^t (x_j^t)^2 + \sum_{l=1}^3 R_{jx}^t (y_j^t)^2$

pour le niveau I :-  $R_{j0}^t = 3823,05 (9^2 + 3^2 + 3^2 + 9^2) + 1551,8 (5,2^2 + 0,4^2 + 5,6^2) = 779022,4$

niveau II, III :-  $R_{j0}^t = 1253,98 (9^2 + 3^2 + 3^2 + 9^2) + 1123,24 (5,2^2 + 0,4^2 + 5,6^2) = 291493,33$

niveau IV :-  $R_{j0}^t = 1217,12 (9^2 + 3^2 + 3^2 + 9^2) + 1123,3 (5,2^2 + 0,4^2 + 5,6^2) = 284862,05$

. dans le sens transversal : on a 4 portiques identiques donc :

$$\frac{R_{jy}^t}{R_{jy}^t} = \frac{1}{4}$$

. pour le sens longitudinal :- 3 portiques identiques

donc :  $\frac{R_{jx}^t}{R_{jx}^t} = \frac{1}{3}$

### Portiques Longitudinaux sous $\vec{SH}$

Distribution des efforts de niveau sur les portiques

$$T_{ix}^l = \bar{\sigma}_{ix}^l \cdot \frac{1}{3} + \bar{\sigma}_{ix}^l \cdot \frac{R_{ix}^l}{R_{j0}} \cdot y_i^l \cdot e_y$$

Port.	Niv.	$R_{ix}$	$R_{jx}$	$R_{j0}$	$\bar{\sigma}_{ix}$	$y_i$	$e_y$	$T_{ix}$	$\zeta_j$ [cm]
1	IV	1123,30	3x1123,3	284862,05	19,13	-5,2	0,9	6,02	0,54
	III	1123,24	3x1123,24	291493,33	32,88	-5,2	0,9	10,37	0,92
	II	1123,24	3x1123,24	291493,33	42,11	-5,2	0,9	13,28	1,18
	I	1551,8	3x1551,8	779022,41	46,82	-5,2	0,9	15,17	0,98
2	IV	1123,30	3x1123,3	284862,05	19,13	-0,4	0,9	6,35	0,57
	III	1123,24	3x1123,24	291493,33	32,88	-0,4	0,9	10,91	0,97
	II	1123,24	3x1123,24	291493,33	42,11	-0,4	0,9	13,98	1,24
	I	1551,8	3x1551,8	779022,41	46,82	-0,4	0,9	15,57	1,00
3	IV	1123,30	3x1123,3	284862,05	19,13	+5,6	0,9	6,76	0,60
	III	1123,24	3x1123,24	291493,33	32,88	+5,6	0,9	10,98	0,98
	II	1123,24	3x1123,24	291493,33	42,11	+5,6	0,9	14,85	1,32
	I	1551,8	3x1551,8	779022,41	46,82	+5,6	0,9	16,08	1,04

### Portiques transversaux sous $\vec{SH}$

Distribution des efforts de niveau sur les portiques

$$T_{iy}^t = \frac{\bar{\sigma}_{iy}^t}{4} + \bar{\sigma}_{iy}^t \cdot \frac{R_{iy}^t}{R_{j0}} \cdot x_i^t \cdot e_x$$

Port.	Niv.	$R_{iy}^t$	$R_{j0}$	$\bar{\sigma}_{iy}^t$	$x_i$	$e_x$	$T_{iy}$	$\zeta_j$ [cm]
A	IV	1217,12	284862,05	22,72	-9	0,9	4,89	0,40
	III	1253,98	291493,33	41,83	-9	0,9	9,00	0,72
	II	1253,98	291493,33	54,66	-9	0,9	11,76	0,94
	I	3823,05	779022,41	61,21	-9	0,9	12,87	0,34
B	IV	1217,12	284862,06	22,72	-3	0,9	5,42	0,45
	III	1253,98	291493,33	41,83	-3	0,9	9,97	0,80
	II	1253,98	291493,33	54,66	-3	0,9	13,03	1,04
	I	3823,05	779022,41	61,21	-3	0,9	14,49	0,38
C	IV	1217,12	284862,05	22,72	+3	0,9	5,94	0,49
	III	1253,98	291493,33	41,83	+3	0,9	10,94	0,87
	II	1253,98	291493,33	54,66	+3	0,9	14,30	1,14
	I	3823,05	779022,41	61,21	+3	0,9	16,11	0,42
D	IV	1217,12	284862,05	22,72	+9	0,9	6,47	0,53
	III	1253,98	291493,33	41,83	+9	+0,9	11,92	0,95
	II	1253,98	291493,33	54,66	+9	0,9	15,57	1,24
	I	3823,05	779022,41	61,21	+9	0,9	17,74	0,46



Les déplacements des portiques : -

Port.	1	2	3	A	B	C	D
fleches [cm]	3,38	3,53	3,75	2,40	2,67	2,92	3,18

on voit bien que ces valeurs sont supérieures à la fleche admissible donnée par le R.P.A. 81 :-

$$f_{ad} = 0,0075 H \cdot 2B = 0,0075 [2(330+334)] \cdot \frac{1}{2} = 4,98 \text{ cm}$$

Distribution des efforts de portiques sur les poteaux :

- Portiques longit. :-

Portiques :-			1		2		3	
Niv.	file	$\alpha_j k_j / D_j$	$T_x$	$t_x$	$T_x$	$t_x$	$T_x$	$t_x$
IV	A-D	0,20	6,02	1,20	6,35	1,27	6,76	1,35
	B-C	0,30	6,02	1,81	6,35	1,91	6,76	2,03
III	A-D	0,20	10,37	2,07	10,91	2,18	10,98	2,20
	B-C	0,30	10,37	3,11	10,91	3,27	10,98	3,29
II	A-D	0,20	13,28	2,66	13,98	2,80	14,85	2,97
	B-C	0,30	13,28	3,98	13,98	4,19	14,85	4,46
I	A-D	0,22	15,17	3,03	15,57	3,11	16,08	3,22
	B-C	0,28	15,17	4,55	15,57	4,67	16,08	4,82

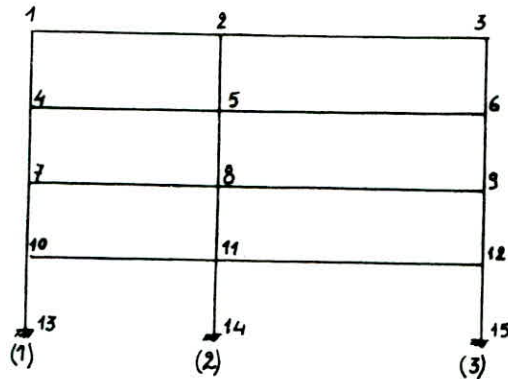
- Portiques transv. :-

Portiques :-			A		B		C		D	
Niv.	file	$\alpha_j k_j / D_j$	$T_y$	$t_y$	$T_y$	$t_y$	$T_y$	$t_y$	$T_y$	$t_y$
IV	1	0,29	4,89	1,42	5,42	1,57	5,94	1,72	6,47	1,88
	2	0,48		2,35		2,60		2,85		3,11
	3	0,23		1,12		1,25		1,37		1,49
III	1	0,29	9,00	2,61	9,97	2,89	10,94	3,17	11,92	3,46
	2	0,48		4,32		4,79		5,25		5,72
	3	0,23		2,07		2,29		2,52		2,74
II	1	0,29	11,76	3,41	13,03	3,78	14,30	4,15	15,57	4,52
	2	0,48		5,64		6,25		6,86		7,47
	3	0,23		2,70		3,00		3,29		3,58
I	1	0,33	12,87	4,25	14,49	4,78	16,11	5,32	17,74	5,85
	2	0,37		4,76		5,36		5,96		6,56
	3	0,30		3,86		4,35		4,83		5,32



## Calcul des moments dans les poteaux

- Portique transversal "D" sous  $\vec{SH}$  = le portique le plus sollicité.



Niv.	file	$\bar{K}$	$\gamma_0$	$\gamma_1$	$\gamma_2$	$\gamma_3$	$\gamma = \gamma_0$	$\bar{z} - \gamma \cdot h$	$h - \bar{z}$	$T_y$	$t_y$	$M_{top}$	$M_{inf}$
IV	1	0,20	0,15	0,00	0,00	0,00	0,15	0,50	2,84	6,47	1,88	5,34	2,67
	2	0,35	0,23				0,23	0,77	2,57		3,11	7,99	2,39
	3	0,16	0,13				0,13	0,43	2,91		1,49	4,34	0,64
III	1	0,19	0,35	0,00	0,00	0,00	0,35	1,16	2,14	11,92	3,46	7,40	4,01
	2	0,35	0,38				0,38	1,25	2,05		5,72	11,73	7,15
	3	0,16	0,35				0,35	1,16	2,14		2,74	5,86	3,18
II	1	0,19	0,60	0,00	0,00	0,00	0,60	1,98	1,32	15,57	4,52	5,97	8,95
	2	0,35	0,50				0,50	1,65	1,65		7,47	12,33	12,33
	3	0,16	0,75				0,75	2,48	0,82		3,58	2,94	8,88
I	1	0,20	0,95	0,00	0,00	0,00	0,95	3,17	0,17	17,74	5,85	0,99	18,54
	2	0,35	0,88				0,88	2,94	0,40		6,56	2,62	19,29
	3	0,16	1,05				1,05	3,51	-0,17		5,32	-0,90	18,67

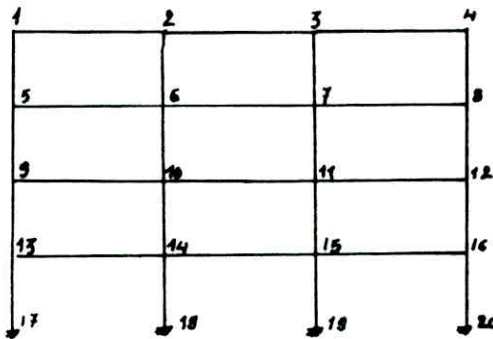
## Calcul des moments dans les poutres :-

Niv.	Nœuds	$M_a$	$M_b$	$M_1$	$M_2$	$M_w$	$M_e$	$M_s$	T
IV	1	5,34	0	0	5,34	5,34	4,44	0,45	-2,04
	2	7,99	0	4,44	3,55				
	3	4,34	0	4,34	0				
III	4	7,40	2,67	0	10,07	10,07	7,84	1,12	-3,73
	5	11,73	2,39	7,84	6,28				
	6	5,86	0,64	6,50	0				
II	7	5,97	4,01	0	9,98	9,98	10,82	-0,42	-4,33
	8	12,33	7,15	10,82	8,66				
	9	2,94	3,18	6,12	0				
I	10	0,99	8,95	0	9,94	9,94	8,31	0,82	-3,80
	11	2,62	12,33	8,31	6,64				
	12	-0,90	8,88	7,98	0				

Les efforts dans les poteaux "Portique D"

Niv.	Poteaux	M <sub>sup</sub>	M <sub>inf</sub>	T	N	N <sup>c</sup>
IV	1-4	5,34	2,67	2,40	-2,04	-2,04
	2-5	7,99	2,39	3,11	+0,72	0,72
	3-6	4,34	0,64	1,49	+1,32	1,32
III	4-7	7,40	4,01	3,46	-3,73	-5,77
	5-8	11,73	7,15	5,72	+1,60	2,32
	6-9	5,86	3,18	2,74	+2,13	3,45
II	7-10	5,97	8,95	4,52	-4,33	-10,10
	8-11	12,33	12,33	7,47	+1,87	4,19
	9-12	2,94	8,88	3,58	+2,46	5,91
I	10-13	0,99	18,54	5,85	-3,80	-13,90
	11-14	2,62	19,29	6,56	+1,36	5,55
	12-15	-0,90	18,67	5,32	+2,44	8,35

Portique longitudinal "3"



Calcul des moments dans les poteaux :-

Niv.	Pot.	$\bar{r}$	$y=y_0$	$\bar{z}=yh$	$(h-\bar{z})$	$T_x$	$T_x$	M <sub>sup</sub>	M <sub>inf</sub>
IV	1-5	0,84	0,35	1,17	2,17	6,76	1,35	2,93	1,58
	2-6	1,67	0,43	1,44	1,90		2,03	3,86	2,92
	3-7	1,67	0,43	1,44	1,90		2,03	3,86	2,92
	4-8	0,84	0,35	1,17	2,17		1,35	2,93	1,58
III	5-9	0,83	0,45	1,49	1,81	10,98	2,20	3,98	3,28
	6-10	1,65	0,45	1,49	1,81		3,29	5,95	4,90
	7-11	1,65	0,45	1,49	1,81		3,29	5,95	4,90
	8-12	0,83	0,45	1,49	1,81		2,20	3,98	3,28
II	9-13	0,83	0,50	1,65	1,65	14,85	2,97	4,90	4,90
	10-14	1,65	0,50	1,65	1,65		4,46	7,36	7,36
	11-15	1,65	0,50	1,65	1,65		4,46	7,36	7,36
	12-16	0,83	0,50	1,65	1,65		2,97	4,90	4,90
I	13-17	0,84	0,68	2,27	1,07	16,08	3,22	3,45	7,31
	14-18	1,67	0,58	1,94	1,40		4,82	6,75	9,35
	15-19	1,67	0,58	1,94	1,40		4,82	6,75	9,35
	16-20	0,84	0,68	2,27	1,07		3,22	3,45	7,31



- Calcul des moments dans les poutres

Niv.	Noeud	$M_a$	$M_b$	$M_1$	$M_2$	$M_w$	$M_e$	$M_t$	T
IV	1	2,93	0	0	2,93				
	2	3,86	0	1,93	1,93	2,93	1,93	0,50	-0,81
	3	3,86	0	1,93	1,93	1,93	1,93	0	-0,64
	4	2,93	0	2,93	0	1,93	2,93	-0,50	-0,81
III	5	3,98	1,58	0	5,56				
	6	5,95	2,92	4,44	4,44	5,56	4,44	0,56	-1,67
	7	5,95	2,92	4,44	4,44	4,44	4,44	0	-1,48
	8	3,98	1,58	5,56	0	4,44	5,56	-0,56	-1,67
II	9	4,90	3,28	0	8,18				
	10	7,36	4,90	6,13	6,13	8,18	6,13	1,03	-2,39
	11	7,36	4,90	6,13	6,13	6,13	6,13	0	-2,04
	12	4,90	3,28	8,18	0	6,13	8,18	-1,03	-2,39
I	13	3,45	4,90	0	8,35				
	14	6,75	7,36	7,06	7,06	8,35	7,06	0,65	-2,57
	15	6,75	7,36	7,06	7,06	7,06	7,06	0	-2,35
	16	3,45	4,90	8,35	0	7,06	8,35	-0,65	-2,57

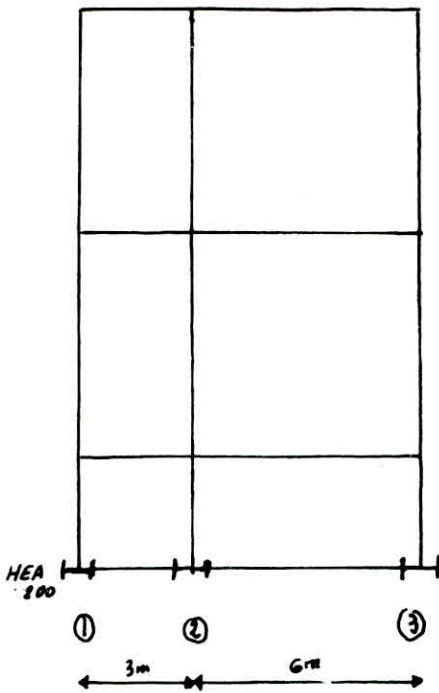
- Les efforts dans les poteaux :-

Niv.	Pot.	$M_{sup}$	$M_{inf}$	T	N	$N^e$
IV	1-5	2,93	1,58	1,35	-0,81	-0,81
	2-6	3,86	2,92	2,03	0,17	0,17
	3-7	3,86	2,92	2,03	-0,17	-0,17
	4-8	2,93	1,58	1,35	0,81	0,81
III	5-9	3,98	3,28	2,20	-1,67	-2,48
	6-10	5,95	4,90	3,29	0,19	0,36
	7-11	5,95	4,90	3,29	-0,19	-0,36
	8-12	3,98	3,28	2,20	1,67	2,48
II	9-13	4,90	4,90	2,97	-2,39	-4,87
	10-14	7,36	7,36	4,46	0,35	0,71
	11-15	7,36	7,36	4,46	-0,35	-0,71
	12-16	4,90	4,90	2,97	2,39	4,87
I	13-17	3,45	7,31	3,22	-2,57	-7,44
	14-18	6,75	9,35	4,82	0,22	0,93
	15-19	6,75	9,35	4,82	-0,22	-0,93
	16-20	3,45	7,31	3,22	2,57	7,44

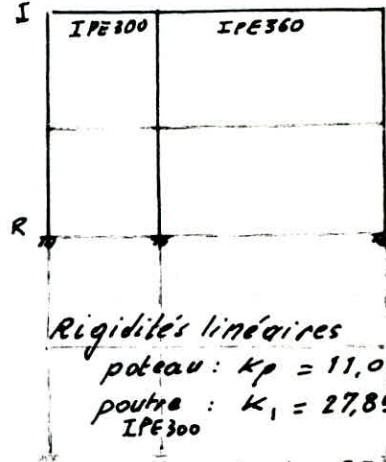


Etude du bloc B sous les charges horizontales

Portiques A, B, C, D (transversaux)



ⓐ  
ⓑ  
ⓒ  
ⓓ



Rigidités linéaires

poteau :  $k_p = 11,05 \times 10^{-6} \text{ m}^3$   
 poutre :  $k_1 = 27,85 \times 10^{-6} \text{ m}^3$  IPE 300  
 poutre IPE 360 :  $k_2 = 27,12 \times 10^{-6} \text{ m}^3$

Niveau	file	$I_p \times 10^6 \text{ m}^4$	$k_p \times 10^6 \text{ (m)}^3$	$\bar{\kappa}$	$a$	$ak_p \times 10^6 \text{ (m}^3)$	$r_j \text{ (kdaN/m)}$	$R_j \text{ (kdaN/m)}$	$D_j \times 10^6$
I-R	1	36,92	11,05	2,52	0,67	7,40	167,16	526,56	23,31
	2	"	"	4,97	0,78	8,62	194,12		
	3	"	"	2,45	0,66	7,29	164,68		

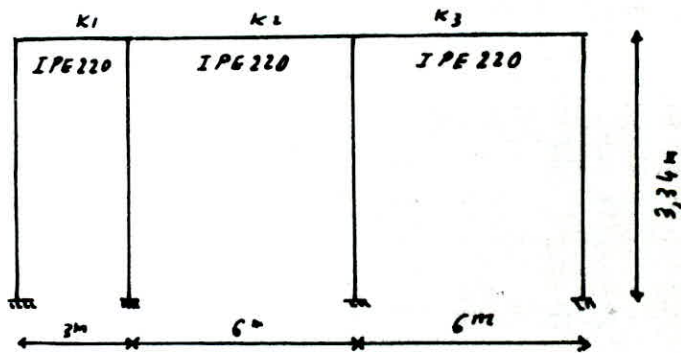
Portiques longitudinaux 1,2,3

Rigidités linéaires:

poteau :  $k_p = \frac{I}{h} = 4 \times 10^{-6} \text{ m}^3$

poutre :  $k_1 = \frac{I}{l_1} = 9,24 \times 10^{-6} \text{ m}^3$

$k_2 = \frac{I}{l_2} = 4,62 \times 10^{-6} \text{ m}^3$



N°0.	file	$I_p \times 10^6$	$k_p \times 10^6$	$\bar{\kappa}$	$a$	$ak_p \times 10^6$	$r_j$	$R_j$	$D_j \times 10^6$
I-R	A	13,36	4	2,31	0,65	2,600	58,73	231,31	10,24
	B	"	4	3,47	0,73	2,920	65,96		
	C	"	4	2,31	0,65	2,600	58,73		
	D	"	4	1,16	0,53	2,120	47,89		
Unités		$\text{m}^4$	$\text{m}^3$			$\text{m}^3$	$\text{kdaN/m}$	$\text{kdaN/m}$	$\text{m}^3$

- Calcul des des rigidités d'etages :  
 $R_j^t = 4 \times 526,56 = 2106,24 \text{ kdaN/m}$   
 $R_j^l = 3 \times 231,31 = 693,93 \text{ kdaN/m}$

Calcul sismique :

$$A = 0,15 \quad , \quad B = 0,25 \quad , \quad Q_t = 1,6 \quad , \quad Q_l = 1,4$$

Périodes

$$T = 0,1 \times \frac{H}{\sqrt{L}}$$

$$T_t = 0,1 \times \frac{4,04}{\sqrt{9,6}} = 0,130 \text{ s}$$

$$T_l = 0,1 \times \frac{4,04}{\sqrt{15,9}} = 0,101 \text{ s}$$

$$\rightarrow D(\text{facteur d'amplification dynamique moyen}) = \begin{cases} 3,027 \text{ sens transversal} \\ 3,430 \text{ sens longitudinal} \end{cases}$$

$\Rightarrow D = D_{\max} = 2$

Calcul de W

$$\text{Surface} : (15,9) \times (9,6) = 152,64 \text{ m}^2.$$

$$\text{Périmètre} : 51 \text{ m.}$$

$$\left[ \begin{array}{l} \text{Poids de l'acrotère} = 0,6 \times 0,15 \times 51 \times 2,5 = 11,475 \text{ kdaN} \\ \text{p. propre du plancher} = 0,504 \times 152,64 = 76,930 \text{ kdaN} \\ \text{Poutres} = (15 \times 3 \times 26,2 \times 10^{-3}) + (12 \times 4 \times 2,2 \times 10^{-3}) + (24 \times 57,1 \times 10^{-3}) = 3,06 \text{ kdaN} \\ \frac{1}{2} \text{ poteaux} = \frac{1}{2} \times 3,34 \times 42,3 \times 10^{-3} \times 12 = 0,85 \text{ kdaN} \\ \frac{1}{2} \text{ Cloisons} = \frac{1}{2} \times 0,075 \times 152,64 = 5,72 \text{ kdaN} \\ \frac{1}{2} \text{ murs façades} = (3 + 15,90 + 9,60)(3,34 - 1,2) \times 0,46 = 28,06 \text{ kdaN} \end{array} \right.$$

$$\boxed{G = 126,10} \text{ kdaN.}$$

$$\text{surchARGE } P = 0,1 \times 152,64 = 15,26 \text{ kdaN}$$

on prendra 50 % des surcharges.

$$W = 126,10 + \frac{15,26}{2} = 133,93 \text{ kdaN} = \underline{\underline{134 \text{ kdaN}}}$$

Distribution des forces latérales :

$$\text{sens transversal} : V = 0,15 \times 0,25 \times 2 \times 134 = 16,08 \text{ kdaN}$$

$$\text{sens longitudinal} : V = 0,15 \times 0,25 \times 2 \times 1,4 \times 134 = 14,07 \text{ kdaN}$$

calcul de déplacementssens transversal

$$F_{Kc} \text{ (kdaN)} \quad R_j^t \text{ (kdaN)} \quad \delta_j^c \text{ (cm)}$$

$$16,08 \quad 2106,24 \quad 0,76$$

$$T_t = 2\pi \sqrt{\frac{134 \times 0,76}{981 \times 16,08}} = 0,505 \text{ s}$$

$$\rightarrow D_t = 2 \sqrt{\frac{0,3}{0,505}} = 1,542$$

$$T_t < 0,7 \text{ s} \rightarrow F_t = 0$$

sens longitudinal

$$F_{Kc} \quad R_j^l \quad \delta_j^c$$

$$14,07 \quad 693,93 \quad 2,03$$

$$T_l = 2\pi \sqrt{\frac{134 \times 2,03}{981 \times 14,07}} = 0,88 \text{ s}$$

$$D_l = 1,166$$

$$T_l > 0,7 \text{ s}$$

$$F_t = 0,077V = 0,077 \times 0,882 \times V$$

$$V = F_t + \sum F_i = F_t + F$$

Sens transversal

$F_k^c = 12,40 \text{ kdaN}$

$F_k^c$	$R_j^t$	$\delta_j^c (\text{cm})$
12,40	2106,24	0,59

$\Rightarrow T_t = 0,505 \text{ s.}$

sens longitudinal.

Force distribuée au sommet du bloc :

$(V - F_t) \frac{W_k h_k}{\sum W_k h_k} + F_t = V$

$F_k^c = 8,20 \text{ kdaN}$

$F_k^c$	$R_j^t$	$\delta_j^c (\text{cm})$
8,20	693,93	1,18

et  $T_p = 0,882 \text{ s.}$

Recapitulation des Efforts : - EFFORTS DÙS AU SEISME

$E_j^l = 8,20 \text{ kdaN}$  sens longitudinal.  
 $E_j^t = 12,40 \text{ kdaN}$  sens transversal.

- EFFORTS DÙS AU VENT

$F_p = 6,165 \text{ kdaN}$   
 $F_t = 3,723 \text{ kdaN}$

Le seisme est donc plus défavorable que le vent. L'étude des portiques sous les charges horizontales se fera avec les efforts du seisme pour les sollicitations du 2<sup>e</sup> genre.

Etude à la torsion.

Détermination du centre / centre de masse.

Coordonnées du centre de masse  $x_G = 7,5 \text{ m}$  et  $y_G = 4,5 \text{ m}$ .

Coordonnées du centre de torsion :  $C_T$

$x_c = \frac{\sum R_j^t y_j^t}{R_j^t} = \frac{526,56 (0+3+9+15)}{4 \times 526,56} = 6,75 \text{ m}$

$y_c = \frac{\sum R_j^l x_j^l}{R_j^l} = \frac{231,31 (0+3+9)}{3 \times 231,31} = 4 \text{ m}$

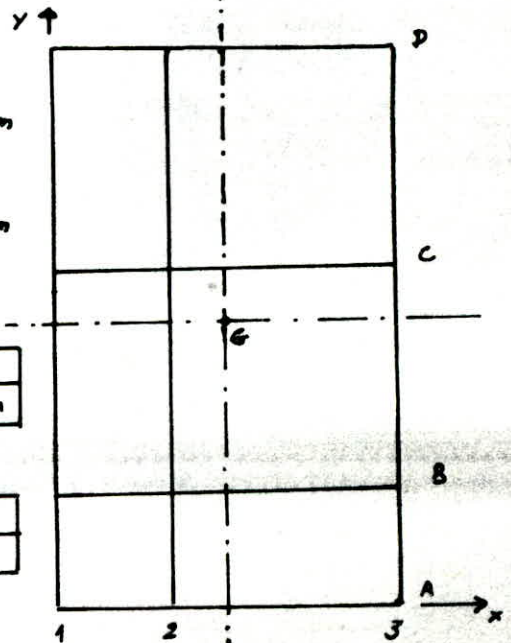
Coordonnées des portiques / centre de torsion

Port. transversaux	A	B	C	D
y	-6,75 m	-3,75 m	2,25 m	8,25 m

Portiques longit.	1	2	3	Unité
x	-4	1	5	m.

calcul des excentricités

$y_G$	$y_C$	$ y_G - y_C $	$x_G$	$x_C$	$ x_G - x_C $
7,5 m	6,75 m	0,75 m	4,5 m	4 m	0,5 m



Excentricité accidentelle  
 $5\% L = \frac{5}{100} \times 15 = 0,75 \text{ m}$



on prend  $e_x = e_y = 0,75 \text{ m}$

EFFORTS TRANCHANTS REVENANT A CHAQUE PORTIQUE

1. Portiques transversaux :  $T_{jy}^t = \sum_{jy}^t \frac{R_j^t}{R_j^t} + \sum_{jy}^t \frac{R_j^t}{R_{j0}^t} \cdot y_j^t \cdot e_y$

$R_{j0}^t = \sum_{AD}^D R_j^t (y_j^t)^2 + \sum_1^3 R_j^l (x_j^l)^2 = 526,56 (6,75^2 + 3,75^2 + 2,25^2 + 8,25^2) + 231,31 (4^2 + 1^2 + 5^2) = 79615,86 \text{ kdaN.m}$

	Port.	$R_{jy}$	$R_{jx}$	$R_{j0}^t$	$\sum_{jy}^t$	$e_y$	$y_j^t$	$T_j^t$	$\delta_j = T_j / R_j$
	A	526,56	2106,24	79615,86	12,40	0,75	-6,75	2,68	0,51
	B						-3,75	2,87	0,55
	C						2,25	3,24	0,61
	D						8,25	3,61	0,69

2. Portiques longitudinaux  $T_{jx}^l = \sum_{jx}^l \frac{R_j^l}{R_j^l} + \sum_{jx}^l \frac{R_j^l}{R_{j0}^l} \cdot x_j^l \cdot e_x$

	Port	$R_{jx}$	$R_{jy}$	$R_{j0}^l$	$\sum_{jx}^l$	$e_x$	$x_j^l$	$T_{jx}^l$	$\delta_j = T_{jx} / R_j$
	1	231,31	693,92	79615,86	3,20	0,16	-4	2,66	1,11
	2	"					1	2,72	1,18
	3	"					5	2,82	1,22

- DISTRIBUTION DES EFFORTS DANS LES POTEAUX

1. PORTIQUES TRANSVERSAUX

files	$\alpha_j k_j / \delta_j$	Port. A		Port. B		Port. C		Port. D	
		$T_y$	$e_y$	$T_y$	$e_y$	$T_y$	$e_y$	$T_y$	$e_y$
1	0,317	2,68	0,85	2,87	0,91	3,24	1,03	3,61	1,14
2	0,370	2,68	0,99	2,87	0,96	3,24	1,20	3,61	1,34
3	0,313	2,68	0,84	2,87	0,90	3,24	1,01	3,61	1,13

2. PORTIQUES LONGITUDINAUX

files	$\alpha_j k_j / \delta_j$	Port 1		Port 2		Port 3	
		$T_x$	$e_x$	$T_x$	$e_x$	$T_x$	$e_x$
A	0,254	2,66	0,68	2,72	0,69	2,82	0,72
B	0,285	2,66	0,76	2,72	0,78	2,82	0,80
C	0,254	2,66	0,68	2,72	0,69	2,82	0,72
D	0,207	2,66	0,56	2,72	0,56	2,82	0,58

calcul des moments dans les poteaux

file	$\bar{K}$	$\alpha_j \gamma_0$	$\gamma_1$	$\gamma_2$	$\gamma_3$	$\gamma$	$z = \gamma h$	$h - z$	$T_y (t)$	$t_y (t)$	$M_{sup}$	$M_{inf}$
1	2,52	0,55	0	0	0	0,55	1,837	1,503	3,61	1,14	1,713	2,090
2	4,97	0,55	0	0	0	0,55	1,837	1,503	3,61	1,34	2,010	2,460
3	2,45	0,55	0	0	0	0,55	1,837	1,503	3,61	1,13	1,700	2,080

calcul des efforts dans les nœuds

$M_t = \frac{M_w - M_e}{2}$

$T_e = \frac{(M_w + M_e)}{l}$

nœuds	$M_a$	$M_b$	$M_1$	$M_2$	$M_w$	$M_e$	$M_{trav}$	$T$
1	1,713	0	0	1,713	1,713	1,02	0,35	-0,91
2	2,010	0	1,02	0,99	0,990	1,700	-0,36	-0,45
3	1,700	0	1,70	0				

Moments en kdaN.m.	Port.	$M_{sup}$	$M_{inf}$	$T$	$N_c$
E. Tranchants en kdaN.m	1-4	1,713	2,090	1,14	-0,91
E. Normaux en kdaN	2-5	2,010	2,460	1,34	0,46
	3-6	1,700	2,080	1,13	0,45

# CHARGES VERTICALES



## Exposé de la Méthode de CROSS

Principe de la méthode: -

D'après la R.D.M, lorsque dans une barre partiellement ou totalement encastrée à ces 2 extrémités, on connaît les moments de flexion agissant en ces points, on sait calculer les éléments de réduction en n'importe quelle section de la barre.

La méthode de CROSS permet au moyen d'approximations successives de résoudre par des calculs simples le problème considéré c.à.d la détermination des moments de flexion aux extrémités des barres.

D'une manière générale nous appellerons  $M_{BE}$ ; le moment agissant en B dans la barre BE.

$M_{EB}$ ; le moment agissant en E de la barre BE.



Notons que comme la plus part des autres méthodes, la méthode CROSS ne prend en compte que les effets des moments de flexion, elle néglige les effets dus à l'effort tranchant et à l'effort normal.

- Les noeuds ne subissent pas de déplacement: -

La méthode consiste à prendre comme valeur approchée du moment cherché le moment qui serait transmis par le noeud à la barre si celle-ci était parfaitement encastrée et à déterminer quelles corrections il faut apporter à ce moment pour obtenir le moment réel.

Supposons que nous rendions impossible toute rotation des noeuds, dans ces conditions les barres sont encastrées à leurs extrémités.

en effet le blocage des noeuds (c.à.d. impossibilité de rotation)

correspond à l'adjonction au système donné de couples de blocage.

chaque couple de blocage, dont le rôle est d'empêcher de tourner le noeud auquel il est appliqué doit donc pour qu'il y ait équilibre, être égale et de signe contraire à la somme des moments transmis par le noeud considéré aux  $y$  barres  $y$  aboutissant.

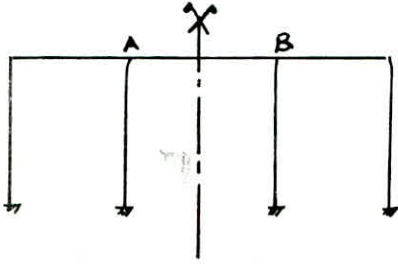
Les moments trouvés correspondent donc à l'action sur le système donné à la fois des charges réelles et des couples de blocage.

Pour avoir les moments réels, il faut donc retrancher aux moments calculés dans le cas d'encastrement parfait les moments transmis dans chaque barre par les couples de blocage.



Cas particuliers des constructions symétriques :-

- nbre de travée est impair :-

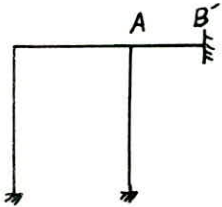
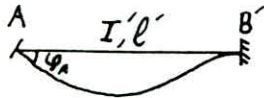


$\varphi_A, \varphi_B$  rotations de A et B  
symétrie  $\Rightarrow \varphi_A = -\varphi_B$



$$M_{AB} = -\frac{2EI}{l} \varphi_A$$

considérons la poutre AB' parfaitement encastree B' milieu de AB.



$$\left. \begin{aligned} \varphi_{A'} &= \text{rotation en A} \\ \varphi_{B'} &= 0 \end{aligned} \right\} M_{AB'} = -2E \frac{I'}{l'} \cdot 2\varphi_A$$

Pour que l'on puisse se contenter d'étudier la moitié de la construction il faut et il suffit que l'on ait :-

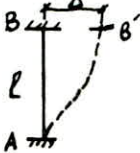
$$M_{AB'} = M_{AB} \text{ et } \varphi_{A'} = \varphi_A \text{ d'où}$$

$$-2E \frac{I'}{l'} = 2 \cdot E \frac{I}{l} \Rightarrow \frac{I'}{l'} = \frac{1}{2} \frac{I}{l} \text{ c'ad } R_{AB'} = \frac{1}{2} R_{AB}$$

- par conséquent dans les constructions symétriques et symétriquement chargées à nbre impair de travées on se contentera d'étudier la moitié de la construction située à gauche de l'axe de symétrie en attribuant aux poutres de la travée centrale les moments correspondants à leurs portées réelles, mais en leur attribuant une raideur fictive égale à la moitié de leur raideur réelle.

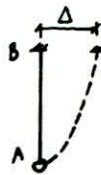
- Méthode CROSS - GRINTER - ZAYTZEFF ; pour système à nœuds déplaçables due à la dissymétrie de la construction. mais dans cette méthode, comme celle de CROSS sans déplacements on bloque la rotation des nœuds et de plus le blocage de la translation.

- Etablissement des formules:



$$M_{AB} = M_{BA} = \frac{6EI\Delta}{l^2}$$

$$T_A = T_B = \frac{M_{BA} + M_{AB}}{l} = 12 \cdot \frac{EI\Delta}{l^2} R_{AB}$$



$$M_{BA} = \frac{3EI\Delta}{l^2}$$

$$T_A = T_B = \frac{4EI\Delta}{l^2} \left[ \begin{matrix} \varphi \\ \delta \end{matrix} R_{AB} = \frac{3}{4} \frac{I}{l} \right]$$

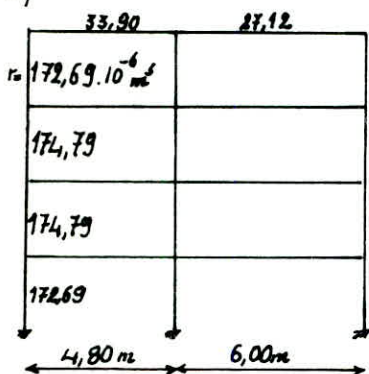
- pour une barre encastree à ses 2 extrémités :  $(H = -\sum T_{niveaux})$

$$M_{AB} = M_{BA} = \frac{H \cdot h}{2} \cdot \frac{R_{AB} / h^2}{\sum_E \frac{R}{h^2} + \frac{1}{3} \sum_A \frac{R}{h^2}}$$

E: encastree  
A: articulée

Charges verticales :- BLOCA

- Le portique intermediaire transversal ; qui est le plus sollicite' de point de vue charges verticales.  
 le portique consideré est dissymetrique , d'où on a des deplacements des noeuds , ce qui nous a mener a utiliser la methode CROSS-GRINTER-ZAYTZEFF. deja exposee .



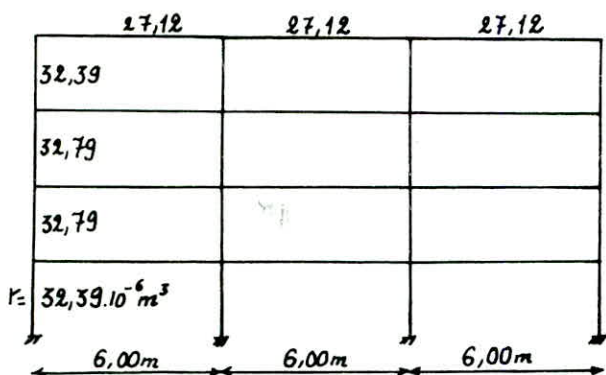
		1 <sup>er</sup> travée	2 <sup>e</sup> travée
P. propre	P. terrasse	0,76	0,76
g [kdaN/m]	P. courant	0,72	0,72
surch.	P. terrasse	0,15	0,15
P [kdaN/m]	P. courant	0,38	0,38

Poteaux		Sous charges permanentes : G					Sous surch. d'exploitation : P				
Niv.	Pot.	M <sub>sup.</sub>	M <sub>inf.</sub>	T	N	N <sup>c</sup>	M <sub>sup.</sub>	M <sub>inf.</sub>	T	N	N <sup>c</sup>
IV	1	-1,23	-0,94	0,65	-1,74	-1,74	-0,27	-0,32	0,18	-0,35	-0,35
	2	-0,71	-0,71	0,42	-4,22	-4,22	-0,15	-0,17	0,09	-0,83	-0,83
	3	2,21	1,38	-1,07	-2,25	-2,25	0,43	0,48	-0,27	-0,44	-0,44
III	1	-0,49	-0,60	0,33	-1,77	-3,51	-0,37	-0,34	0,22	-0,89	-1,24
	2	-0,22	-0,27	0,15	-3,87	-8,09	-0,21	-0,20	0,12	-2,09	-2,92
	3	0,80	0,78	-0,48	-2,14	-4,39	0,58	0,54	-0,34	-1,12	-1,56
II	1	-0,68	-0,70	0,42	-1,69	-5,20	-0,37	-0,38	0,23	-0,91	-2,15
	2	-0,42	-0,40	0,25	-3,98	-12,07	-0,21	-0,21	0,13	-2,06	-4,98
	3	1,10	1,10	-0,67	-2,11	-6,50	0,56	0,61	-0,36	-1,13	-2,69
I	1	-0,54	-0,26	0,24	-1,68	-6,88	-0,27	-0,12	0,12	-0,88	-3,03
	2	-0,31	-0,16	0,14	-3,98	-16,05	-0,17	-0,08	0,08	-2,09	-7,07
	3	0,85	0,42	-0,38	-2,12	-8,62	0,47	0,20	-0,20	-1,18	-3,82
unités		k. daN. m		k. daN			k. daN. m		kdaN		

Poutres		Sous charges permanentes : G					Sous surcharges d'exploitation : SE				
Niv	Pout	M <sub>gauche</sub>	M <sub>droit</sub>	T <sub>g</sub>	T <sub>d</sub>	N	M <sub>g</sub>	M <sub>d</sub>	T <sub>g</sub>	T <sub>d</sub>	N
IV	1	1,23	-1,65	-1,74	1,91	0,65	0,27	-0,32	-0,35	0,37	0,18
	2	2,36	-2,21	-2,31	2,25	1,07	0,47	-0,43	-0,46	0,44	0,27
III	1	1,43	-1,34	-1,77	1,69	0,32	0,69	-0,79	-0,89	0,93	0,04
	2	2,27	-2,18	-2,18	2,14	0,59	1,17	-1,06	-1,16	1,12	0,07
II	1	1,28	-1,47	-1,69	1,77	0,09	0,71	-0,74	-0,91	0,91	0,01
	2	2,16	-1,88	-2,21	2,11	0,19	1,15	-1,10	-1,15	1,15	0,02
I	1	1,24	-1,46	-1,68	1,78	0,18	0,65	-0,78	-0,88	0,94	0,11
	2	2,17	-1,95	-2,20	2,12	0,29	1,16	-1,08	-1,15	1,13	0,16
unités		kdaN. m		kdaN			kdaN. m		kdaN		

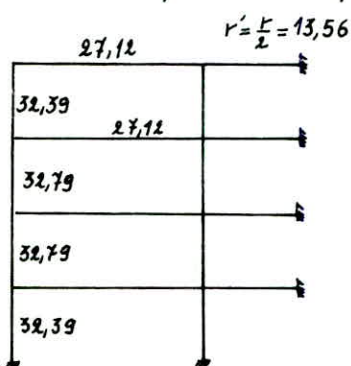


Portique longitudinal intermediaire:



		1 <sup>er</sup> travée	2 <sup>e</sup> travée	3 <sup>e</sup> travée
G	P. terrasse	2,72	2,72	2,72
	P. courant	2,58	2,58	2,58
S-E	P. terrasse	0,54	0,54	0,54
	P. courant	1,35	1,35	1,35

vue la symetrie on peut le remplacer par le portique suivant :-



sans oublier de prendre les moments d'encastrement parfaits avec portée réelle.

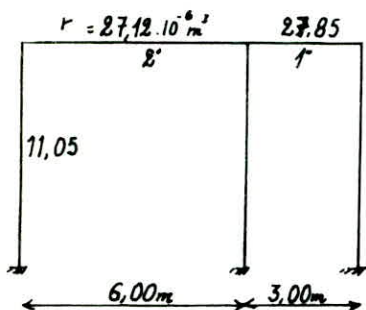
Poteaux		Sous charges permanentes : G					Sous surcharges d'exploitation : SE				
Niv.	Pot.	M <sub>sup</sub>	M <sub>inf</sub>	T	N	N <sub>c</sub>	M <sub>sup</sub>	M <sub>inf</sub>	T	N	N <sub>c</sub>
IV	1	-4,96	-3,73	2,60	-7,44	-7,44	-1,16	-1,45	0,78	-1,51	-1,51
	2	0,78	0,43	-0,36	-17,04	-17,04	0,14	0,16	-0,09	-3,35	-3,35
III	1	-2,68	-2,89	1,69	-7,42	-14,86	-1,68	-1,60	0,99	-3,83	-5,34
	2	0,16	0,23	-0,12	-15,80	-32,84	0,17	0,15	-0,10	-8,32	-11,67
II	1	-3,27	-3,46	2,04	-7,37	-22,93	-1,65	-1,75	1,03	-3,86	-9,20
	2	0,35	0,38	-0,22	-15,85	-48,69	0,17	0,18	-0,11	-8,29	-19,96
I	1	-2,45	-1,20	1,09	-7,31	-29,54	-1,25	-0,62	0,56	-3,83	-13,03
	2	0,28	0,14	-0,13	-15,91	-64,60	0,14	0,08	-0,07	-8,32	-28,28
unités		kdaN.m			kdaN		kdaN.m			kdaN	

Poutres		Sous charges permanentes : G					Sous surcharges d'exploitation : SE				
Niv.	Pout.	M <sub>G</sub>	M <sub>D</sub>	T <sub>G</sub>	T <sub>D</sub>	N	M <sub>G</sub>	M <sub>D</sub>	T <sub>G</sub>	T <sub>D</sub>	N
IV	1	4,96	-9,27	-7,44	8,88	2,60	1,16	-1,80	-1,51	1,73	0,78
	2	8,49		-8,16		2,24	1,66		-1,62		0,69
III	1	6,41	-8,36	-7,42	8,06	0,91	3,13	-4,43	-3,83	4,27	0,21
	2	7,77		-7,74		0,67	4,10		-4,05		0,20
II	1	6,16	-8,39	-7,37	8,11	0,35	3,25	-4,39	-3,86	4,24	0,04
	2	7,81		-7,74		0,25	4,07		-4,05		0,03
I	1	5,91	-8,51	-7,31	8,17	0,95	3,10	-4,43	-3,83	4,27	0,47
	2	7,85		-7,74		0,86	4,11		-4,05		0,43
unités		kdaN.m		kdaN			kdaN.m		kdaN		



Charges verticales : BLOC B

- Le portique intermediaire transversal :-



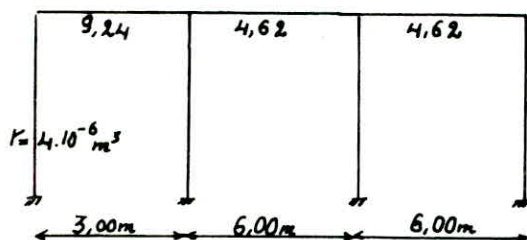
	1 <sup>er</sup> travée	2 <sup>e</sup> travée
P. propre: $g$ [kdaN/m]	3,20	3,20
Sur. d'expl. SE [kdaN/m]	0,60	0,60

Poteaux		Sous charges Permanentes: G				Sous surch. d'exploitation: SE			
Niv	Pot.	M <sub>sup</sub>	M <sub>inf</sub>	T	N	M <sub>sup</sub>	M <sub>inf</sub>	T	N
I	1	-0,540	-0,636	-0,34	-2,70	-0,101	-0,119	-0,07	-0,51
	2	-2,642	-0,960	-1,07	-17,60	-0,495	-0,180	-0,20	-3,30
	3	2,839	1,839	1,40	-8,61	0,551	0,345	0,27	-1,60

Poutres		Sous charges Permanentes: G					Sous surcharges d'exploitation: S.E				
Niv	Pout	M <sub>G</sub>	M <sub>D</sub>	T <sub>G</sub>	T <sub>D</sub>	N	M <sub>G</sub>	M <sub>D</sub>	T <sub>G</sub>	T <sub>D</sub>	N
I	1	0,540	-6,855	2,70	-6,91	0,34	0,101	-1,285	0,51	-1,29	0,07
	2	9,497	-2,939	10,69	-8,61	1,41	1,781	-0,551	2,01	-1,60	0,20

- Le portique longitudinal intermediaire :-



	1 <sup>er</sup> travée	2 <sup>e</sup> travée	3 <sup>e</sup> travée
P. Propre: $g$ [kdaN/m]	0,28	0,28	0,28
S.E. [kdaN/m]	0,05	0,05	0,05

Poteaux		Sous charges Permanentes: G				Sous Surch. d'exploitation: SE			
Niv	Pot.	M <sub>sup</sub>	M <sub>inf</sub>	T	N	M <sub>sup</sub>	M <sub>inf</sub>	T	N
I	1	-0,010	-0,010	-0,006	0,393	-0,020	-0,020	-0,007	-0,070
	2	-0,031	-0,012	-0,015	-1,279	-0,006	-0,003	-0,003	-0,229
	3	-0,016	-0,011	-0,008	-1,708	-0,003	-0,002	-0,001	-0,305
	4	0,067	0,029	-0,029	-0,820	0,012	0,005	-0,005	-0,147

Poutres		Sous charges Permanentes: G					Sous Surcharges d'exploitation: SE				
Niv	Pout	M <sub>G</sub>	M <sub>D</sub>	T <sub>G</sub>	T <sub>D</sub>	N	M <sub>G</sub>	M <sub>D</sub>	T <sub>G</sub>	T <sub>D</sub>	N
I	1	0,010	-0,091	0,393	-0,447	0,006	0,002	-0,016	0,070	-0,000	0,007
	2	0,122	-0,170	0,832	-0,848	0,021	0,022	-0,030	0,449	-0,137	0,004
	3	0,186	-0,067	0,860	-0,820	0,029	0,033	-0,012	0,154	-0,147	0,005

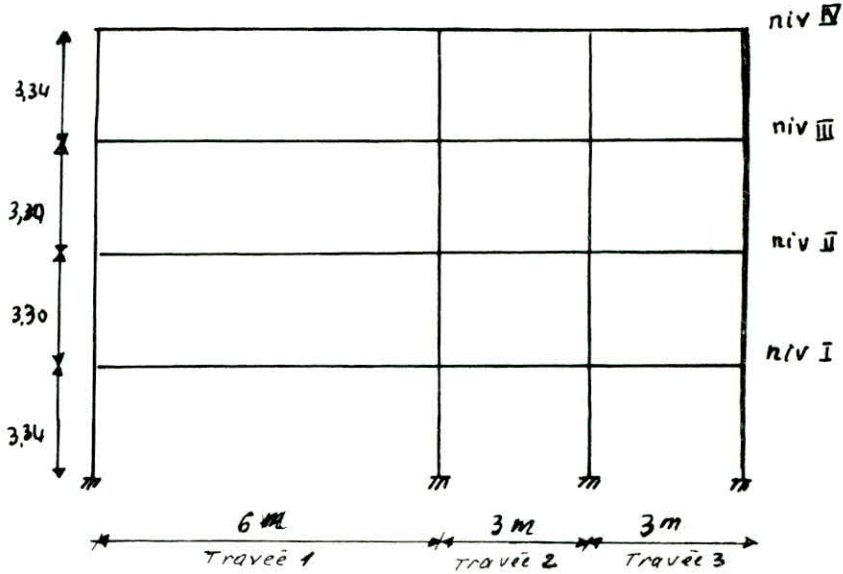
Etude du portique C sous les charges verticales . Bloc. "C"

charges permanentes : plancher terrasse  $q_g = 2.88 \text{ kdaN/ml}$

plancher courant  $q_g = 2.83 \text{ kdaN/ml}$

surcharges d'exploitation: Terrasse  $q_{SE} = 0.54 \text{ kdaN/ml}$

Niveau courant  $q_{SE} = \begin{cases} 1.35 \text{ kdaN/ml} & \text{travée (1) et (2)} \\ 1.77 \text{ kdaN/ml} & \text{travée (3)} \end{cases}$



TABLEAUX DES RESULTATS

1. Poteaux - sous G.

sous SE

Niveau	Pot.	M <sub>sup</sub>	M <sub>inf</sub>	T	N <sup>c</sup>	Pot.	M <sub>sup</sub>	M <sub>inf</sub>	T	N <sup>c</sup>
IV	1	-7,793	-5,054	-3,85	8,42	1	-1,510	-1,811	-0,99	1,59
	2	5,697	3,905	2,97	13,48	2	1,138	1,348	0,74	2,49
	3	-0,205	0,279	-0,14	8,37	3	-0,017	-0,111	-0,04	1,59
	4	2,015	1,400	1,02	4,29	4	0,405	0,558	0,29	0,81
III	1	-3,179	-3,649	-2,07	16,83	1	-2,066	-1,908	-1,20	5,59
	2	2,365	2,759	1,55	26,34	2	1,540	1,430	0,90	8,66
	3	0,010	0,007	-0,01	16,79	3	-0,175	-0,139	-0,10	6,14
	4	0,749	0,937	0,51	8,56	4	0,690	0,623	0,40	3,37
II	1	-4,501	-4,796	-2,82	25,22	1	-2,006	-2,253	-1,29	3,60
	2	3,341	3,616	2,11	39,27	2	1,495	1,691	0,97	14,81
	3	-0,057	-0,030	-0,03	25,19	3	-0,142	-0,163	-0,09	10,7
	4	1,155	1,272	0,74	12,80	4	0,639	0,740	0,42	5,83
I	1	-3,306	-1,553	-1,45	33,61	1	-1,611	-0,763	-0,71	13,60
	2	2,357	1,278	+0,85	52,24	2	1,155	0,620	0,53	20,97
	3	-0,097	0,051	-0,04	33,57	3	-0,151	-0,033	-0,06	15,27
	4	0,780	0,490	+0,64	17,02	4	0,495	0,290	0,24	8,46
unités		kdaN.m	kdaN.m	kdaN	kdaN		kdaN.m	kdaN.m	kdaN	kdaN

\* N<sup>c</sup> : Effort normal cumulé



2. Poutres :

Niveau	Poutre	M <sub>G</sub>	M <sub>D</sub>	T <sub>G</sub>	T <sub>D</sub>	N	M <sub>G</sub>	M <sub>D</sub>	T <sub>G</sub>	T <sub>D</sub>	N
IV	1	7,793	-8,526	8,42	-8,86	-3,85	1,510	-1,617	1,59	-1,65	-0,99
	2	2,829	-1,925	4,62	-4,02	-0,88	0,479	-0,378	0,84	-0,78	-0,25
	3	2,130	-2,015	4,35	-4,29	-1,02	0,395	-0,405	0,81	-0,81	-0,29
III	1	8,233	-8,512	8,41	-8,57	-2,07	3,877	-4,028	4,00	-4,10	-1,20
	2	2,241	-2,105	4,29	-4,20	-0,52	1,140	-0,981	2,07	-1,98	-0,30
	3	2,067	-2,150	4,22	-4,27	-0,53	1,267	-1,248	2,57	-2,56	-0,40
II	1	8,150	-8,464	8,39	-8,59	-2,82	3,909	-4,036	4,01	-4,09	-1,29
	2	2,363	-2,045	4,34	-4,15	-0,71	1,111	-0,987	2,06	-1,99	-0,32
	3	2,095	-2,092	4,25	-4,24	-0,74	1,268	-1,262	2,57	-2,56	-0,41
I	1	8,102	-8,425	8,39	-8,59	-1,45	3,864	-4,015	4,00	-4,10	-0,71
	2	2,452	-1,994	4,38	-4,11	-0,60	1,169	-0,963	2,06	-1,99	-0,18
	3	2,121	-2,052	4,27	-4,22	-0,64	1,277	-1,234	2,58	-2,55	-0,24
UNITÉS		KdaN.m	KdaN.m	KdaN	KdaN	KdaN	KdaN.m	KdaN.m	KdaN	KdaN	KdaN
		sous les charges permanentes					sous la surcharge d'exploitation				



Portique transversal : D

charges permanentes : Terrasse :  $q_g = 1,63 \text{ kdaN/ml}$

Niveau courant :  $q_g = 1,56 \text{ kdaN/ml}$

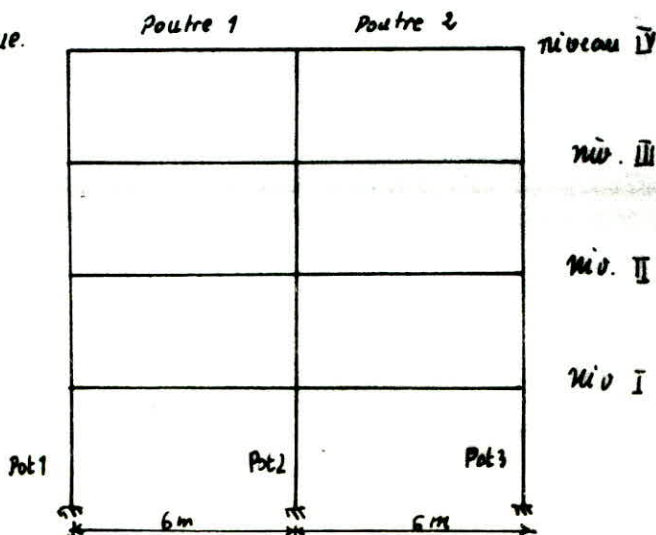
Surcharges d'exploitation : Terrasse :  $q_{SE} = 0,3 \text{ kdaN/ml}$

niveau courant :  $q_{SE} = 0,75 \text{ kdaN/ml}$ .

1. POUTEAUX		SOUS CHARGES PERMANENTES : G					SOUS SURCHARGES D'EXPLOITATION : SE				
Niv.	POT	M <sub>sup</sub>	M <sub>inf</sub>	T	N	N <sub>c</sub>	M <sub>sup</sub>	M <sub>inf</sub>	T	N	N <sub>c</sub>
IV	1	0,713	0,471	0,20	4,92	4,92	0,827	1,005	0,31	0,92	0,92
	2	0	0	0	9,72	9,72	0	0	0	1,76	1,76
	3	-0,713	-0,471	-0,20	4,92	4,92	-0,827	-1,005	-0,31	0,92	0,92
III	1	0,287	0,328	0,10	4,69	9,61	1,118	1,040	0,36	2,28	3,20
	2	0	0	0	9,34	19,06	0	0	0	4,44	6,20
	3	-0,287	-0,328	-0,10	4,69	9,61	-1,118	-1,040	-0,36	2,28	3,20
II	1	0,406	0,442	0,14	4,69	14,3	1,119	1,229	0,39	2,27	5,47
	2	0	0	0	9,34	28,4	0	0	0	4,46	10,66
	3	-0,406	-0,442	-0,14	4,69	14,3	-1,119	-1,229	-0,39	2,27	5,47
I	1	0,303	0,152	0,08	4,69	18,99	0,882	0,441	0,22	2,28	7,75
	2	0	0	0	9,34	37,74	0	0	0	4,44	15,10
	3	-0,303	-0,152	-0,08	4,69	18,99	-0,882	-0,441	-0,22	2,28	7,75
UNITÉS		kdaN.m	kdaN.m	kdaN	kdaN	kdaN	kdaN.m	kdaN.m	kdaN	kdaN	kdaN

2. POUTRES		SOUS CHARGES PERMANENTES : G					SOUS SURCHARGES D'EXPLOITATION : SE				
Niv.	POUT.	M <sub>G</sub>	M <sub>D</sub>	T <sub>G</sub>	T <sub>D</sub>	N	M <sub>G</sub>	M <sub>D</sub>	T <sub>G</sub>	T <sub>D</sub>	N
IV	1	-0,714	0,866	4,92	-4,86	0,20	-0,827	0,935	0,92	-0,88	0,31
	2	-0,866	0,714	4,86	-4,92		-0,935	0,827	0,88	-0,92	
III	1	-0,756	0,791	4,69	-4,67	0,10	-2,123	2,311	2,28	-2,22	0,36
	2	-0,791	0,756	4,67	-4,69		-2,311	2,123	2,22	-2,28	
II	1	-0,742	0,799	4,69	-4,67	0,14	-2,159	2,298	2,27	-2,23	0,39
	2	-0,799	0,742	4,67	-4,69		-2,298	2,159	2,23	-2,27	
I	1	-0,732	0,804	4,69	-4,67	0,08	-2,111	2,320	2,28	-2,22	0,22
	2	-0,804	0,732	4,67	-4,69		-2,320	2,111	2,22	-2,28	
UNITÉS		kdaN.m	kdaN.m	kdaN	kdaN	kdaN	kdaN.m	kdaN.m	kdaN	kdaN	kdaN

Schema du portique.





Portique longitudinal 2

Charges permanentes

Terrasse :  $q_c = 2,32 \text{ kdaN/ml}$

niv courant :  $q_c = 2,20 \text{ kdaN/ml}$

Surcharges d'exploitation

Niv. Terrasse :  $q_{se} = 0,45 \text{ kdaN/ml}$

Niv courant :  $q_{se} = 1,13 \text{ kdaN/ml}$

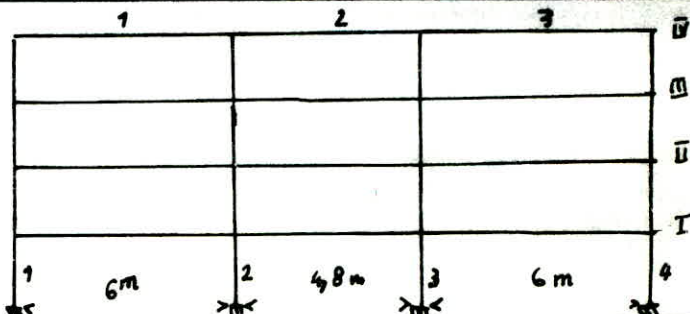
Poteaux

Niv.	Pot	Msup	Minf	T	N	Nc	Msup	Minf	T	N	Nc
IV	1	-4,478	-3,317	-2,35	6,51		-1,012	-1,261	-0,68	1,29	
	2	1,917	1,451	1,01	12,98		0,413	0,510	0,28	2,49	
	3	-1,917	-1,451	-1,01	12,98		-0,413	-0,510	-0,28	2,49	
	4	4,478	3,317	2,35	6,51		1,012	1,261	0,68	1,29	
III	1	-2,355	-2,527	-1,48	6,44	12,95	-1,455	-1,381	-0,86	3,26	4,55
	2	1,016	1,035	0,62	12,04	25,02	0,582	0,549	0,34	6,23	8,92
	3	-1,016	-1,035	-0,62	12,04	25,02	-0,582	-0,549	-0,34	6,23	8,92
	4	2,355	2,527	1,48	6,44	12,95	1,455	1,381	0,86	3,26	4,55
II	1	-2,876	-3,053	-3,80	6,37	19,32	-1,430	-1,552	-0,90	3,28	7,83
	2	1,140	1,226	0,72	12,11	37,13	0,570	0,625	0,36	6,21	14,93
	3	-1,140	-1,226	-0,72	12,11	37,13	-0,570	-0,625	-0,36	6,21	14,93
	4	2,876	3,053	3,80	6,37	19,32	1,430	1,552	0,90	3,28	7,83
I	1	-2,127	-1,064	-0,96	6,34	25,66	-1,102	-0,551	-0,49	3,25	11,08
	2	0,864	0,432	1,30	12,14	49,27	0,448	0,224	0,20	6,24	21,17
	3	-0,864	-0,432	-1,30	12,14	49,27	-0,448	-0,224	-0,20	6,24	21,17
	4	2,127	1,064	0,96	6,34	25,66	1,102	0,551	0,49	3,25	11,08
UNITES		kdaN.m	kdaN.m	kdaN	kdaN	kdaN	kdaN.m	kdaN.m	kdaN	kdaN	kdaN
Sous charges permanentes : G						Sous surcharges d'exploitation : SE					

POUTRES

Niv.	POUT.	Sous charges permanentes : G					Sous surcharges d'exploitation : SE				
		M <sub>G</sub>	M <sub>D</sub>	T <sub>G</sub>	T <sub>D</sub>	N	M <sub>G</sub>	M <sub>D</sub>	T <sub>G</sub>	T <sub>D</sub>	N
IV	1	4,478	-7,203	6,51	-7,41	-2,35	1,012	-1,387	1,29	-1,41	-0,68
	2	5,286	-5,286	5,57	-5,57	-1,34	0,974	-0,974	1,08	-1,08	-0,40
	3	7,203	-4,478	7,41	-6,51	-2,35	1,387	-1,012	1,41	-1,29	-0,68
III	1	5,672	-6,652	6,44	-6,76	-1,48	2,716	-3,473	3,26	-3,52	-0,86
	2	4,184	-4,184	5,28	-5,28	-0,86	2,381	-2,381	2,71	-2,71	-0,52
	3	6,652	-5,672	6,76	-6,44	-1,48	3,473	-2,716	3,52	-3,26	-0,86
II	1	5,403	-6,763	6,37	-6,83	-3,80	2,811	-3,466	3,28	-3,50	-0,90
	2	4,587	-4,587	5,28	-5,28	-3,08	2,347	-2,347	2,71	-2,71	-0,54
	3	6,763	-5,403	6,83	-6,37	-3,80	3,466	-2,812	3,50	-3,28	-0,90
I	1	5,181	-6,767	6,34	-6,86	-0,96	2,654	-3,477	3,25	-3,53	-0,49
	2	4,676	-4,676	5,28	-5,28	-0,34	2,404	-2,404	2,78	-2,71	-0,29
	3	6,767	-5,181	6,86	-6,34	-0,96	3,477	-2,654	3,53	-3,25	-0,49
UNITES		kdaN.m	kdaN.m	kdaN	kdaN	kdaN	kdaN.m	kdaN.m	kdaN	kdaN	kdaN

schéma du portique



Portique longitudinal 3

charges permanentes

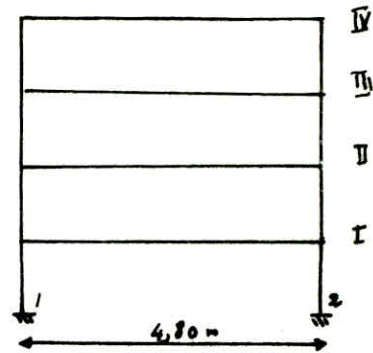
niveau terrasse :  $q_G = 1,57 \text{ kdaN/ml}$

niveau courant :  $q_G = 1,49 \text{ kdaN/ml}$

Surcharges d'exploitation

niveau terrasse :  $q_{SE} = 0,58 \text{ kdaN/ml}$

niveau courant :  $q_{SE} = 1,88 \text{ kdaN/ml}$



1. Poteaux

Niv.	Pot.	M <sub>sup</sub>	M <sub>inf</sub>	T	N	N <sub>c</sub>	M <sub>sup</sub>	M <sub>inf</sub>	T	N	N <sub>c</sub>						
IV	1	2,064	1,517	0,93			0,485	0,699	0,35								
	2	-2,064	-1,517	-0,93	3,77		-0,485	-0,699	-0,35	1,39							
III	1	1,044	1,092	0,65			0,865	0,806	0,51								
	2	-1,044	-1,092	-0,65	3,58	7,35	-0,865	-0,806	-0,51	4,51	5,9						
II	1	1,286	1,382	0,81			0,822	0,895	0,52								
	2	-1,286	-1,382	-0,81	3,58	10,93	-0,822	-0,895	-0,52	4,51	10,41						
I	1	0,973	0,487	0,44			0,639	0,320	0,29								
	2	-0,973	-0,487	-0,44	3,58	14,91	-0,639	-0,320	-0,29	4,51	14,92						
Unités		kdaN.m	kdaN.m	kdaN	kdaN	kdaN	kdaN.m	kdaN.m	kdaN	kdaN	kdaN						
						sous charges permanentes : G						sous surcharges d'exploitation : SE					

2. POUTRES

niv.	Pout.	sous charges permanentes : G					sous surcharges d'exploitation :				
		M <sub>G</sub>	M <sub>0</sub>	T <sub>G</sub>	T <sub>0</sub>	N	M <sub>G</sub>	M <sub>0</sub>	T <sub>G</sub>	T <sub>0</sub>	N
IV	1	-2,064	2,064	3,77	-3,77	0,93	-0,485	0,485	4,89	-1,39	0,35
III	1	-2,561	2,561	3,58	-3,58	0,65	-1,562	1,562	4,51	-4,51	0,51
II	1	-2,378	2,378	3,58	-3,58	0,81	-1,623	1,623	4,51	-4,51	0,52
I	1	-2,355	2,355	3,58	-3,58	0,44	-1,545	1,545	4,51	-4,51	0,29
UNITES		kdaN.m	kdaN.m	kdaN	kdaN	kdaN	kdaN.m	kdaN.m	kdaN.m	kdaN	kdaN



**SUPERPOSITION  
DE  
SOLLICITATIONS'**

### SUPERPOSITION de sollicitations

RPAB1 - Article 3-3-2 - Base de calcul des éléments structuraux  
 Les combinaisons des forces sismiques et des charges verticales spécifiées sont données ci-dessous. Les éléments structuraux doivent être dimensionnés sur la base des règlements de béton et de charpente métallique en vigueur.

$$G + P + \overleftrightarrow{S_i} \quad (1)$$

$$0,8G + \overleftrightarrow{S_i} \quad (2)$$

SP2

Les poteaux dans les ossatures auto-stables doivent être conçus pour  $G + P \mp 1,2 S_i$  plutôt que pour la combinaison (1).

La combinaison (2) tient compte de la réduction de la charge verticale à cause des effets de l'accélération verticale. La valeur  $\mp S_i$  permet de prendre en compte la réversibilité des charges sismiques créant des efforts de traction et de compression.

L'action du seisme sur l'ossature engendre des efforts plus importants que ceux provoqués par l'action <sup>du vent</sup> ; la combinaison à retenir est donc :

$$\frac{4}{3} G + \frac{3}{2} P$$

pour le calcul et la vérification des éléments de portiques (poutres, poteaux, assemblages).

Pour le dimensionnement de la fondation en béton armé, on a considéré la combinaison du premier genre (SP<sub>1</sub>) :  $G + 1,2 P$  et vérifier sous SP<sub>2</sub> :  $(G + P \mp 1,2 S_i)$ .

La valeur de  $S_i$  choisie pour les combinaisons, correspond à un seuil de plastification avec les règlements en vigueur, les contraintes maximales admises dans les matériaux étant égales à la limite élastique.

Sollicitations à retenir pour le dimensionnement des poutres :

$$G + P \mp Q; \quad , \quad 0,8G \mp S_i \quad , \quad \frac{4}{3} G + \frac{3}{2} P$$

et pour les poteaux

$$G + P \mp 1,2 S_i \quad , \quad 0,8G \mp S_i \quad , \quad \frac{4}{3} G + \frac{3}{2} P$$

et enfin pour les fondations :  $G + 1,2 P$  et vérification avec  $G + P \mp 1,2 S_i$



• Moments dans les poteaux.

Niv.	Poteau	$G + P + 1,2 \overrightarrow{S_i}$		$G + P + \overrightarrow{S_i}$		$0,8G + \overrightarrow{S_i}$		$\frac{4}{3}G + \frac{3}{2}P$		$0,8G + \overleftarrow{S_i}$		$G + P + \overleftarrow{S_i}$		$G + P + 1,2 \overleftarrow{S_i}$	
		M <sub>sup</sub>	M <sub>inf</sub>	M <sub>s</sub>	M <sub>i</sub>	M <sub>s</sub>	M <sub>i</sub>	M <sub>s</sub>	M <sub>i</sub>	M <sub>s</sub>	M <sub>i</sub>	M <sub>s</sub>	M <sub>i</sub>	M <sub>s</sub>	M <sub>i</sub>
IV	1	-14,247	-7,609			-8,017	-3,147	-12,656	-9,455	-2,114	-3,423			-4,359	-6,121
	2	-2,129	7,629			-4,622	3,932	9,203	7,229	2,028	5,104			17,599	7,629
	3	-9,150	-2,754			-7,543	-2,110	-0,299	-0,538	7,276	1,747			8,706	1,974
	4	-2,524	1,214			-3,113	0,080	3,294	2,704	5,732	1,740			7,344	2,702
III	1	-9,637	-7,928			-5,250	-3,805	-7,338	-7,720	1,117	-0,939			-0,853	-3,176
	2	-4,879	-0,575			-6,138	-2,591	5,463	5,824	9,212	6,177			12,689	8,953
	3	-8,949	-4,896			-7,315	-3,967	-0,249	-0,295	3,976	4,720			8,619	4,668
	4	-2,953	-0,816			-3,286	-1,512	2,034	2,184	4,259	2,730			5,831	3,926
II	1	-9,603	-12,833			-4,831	-7,218	-9,010	-9,774	-1,021	0,983			-3,411	-1,265
	2	-3,084	-4,437			-4,930	-6,312	6,697	7,258	9,273	11,013			12,756	15,051
	3	-8,119	-9,937			-6,629	-8,135	-0,289	-0,284	6,554	8,096			7,721	9,551
	4	-1,302	-3,772			-2,003	-4,184	2,498	2,806	3,504	5,838			4,890	7,796
I	1	-4,101	-19,212			-0,973	-14,857	-6,824	-3,215	-3,325	12,838			-5,733	14,580
	2	0,308	-12,802			-1,492	-11,611	4,875	2,634	4,556	13,292			6,716	16,598
	3	-3,548	-14,822			-2,799	-12,225	-0,356	0,018	2,672	12,291			3,052	14,718
	4	2,091	-16,116			1,070	-13,835	1,782	1,088	-0,056	14,472			0,459	17,676

Combinaisons de moments.  
1. Portique C.

105

• Moments dans poutres

Niveau	Poutre	$G + P + 1,2 \overrightarrow{S_i}$		$G + P + \overrightarrow{S_i}$		$0,8G + \overrightarrow{S_i}$		$\frac{4}{3}G + \frac{3}{2}P$		$0,8G + \overleftarrow{S_i}$		$G + P + \overleftarrow{S_i}$		$G + P + 1,2 \overleftarrow{S_i}$	
		M <sub>G</sub>	M <sub>D</sub>	M <sub>G</sub>	M <sub>D</sub>	M <sub>G</sub>	M <sub>D</sub>	M <sub>G</sub>	M <sub>D</sub>	M <sub>G</sub>	M <sub>D</sub>	M <sub>G</sub>	M <sub>D</sub>	M <sub>G</sub>	M <sub>D</sub>
IV	1			13,423	-3,219	10,354	-3,131	12,656	-8,942	-0,224	-7,953	5,183	-13,833		
	2			9,956	5,412	8,378	2,180	8,314	-3,134	-2,366	-4,683	-0,472	-6,023		
	3			6,245	1,694	5,424	2,503	3,422	-3,302	-2,655	-5,131	-1,195	-6,546		
III	1			16,390	-7,950	10,866	-2,220	16,793	-17,391	-0,164	-8,846	7,830	-17,130		
	2			8,091	2,564	6,503	2,966	4,698	-4,278	-3,590	-5,703	-1,329	-7,736		
	3			7,984	0,882	6,304	2,560	4,656	-4,739	-3,617	-5,355	-1,316	-7,678		
II	1			16,619	-7,290	11,080	-1,561	16,730	-17,339	-0,485	-9,442	7,499	-17,710		
	2			8,834	3,258	7,250	3,654	4,817	-4,207	-4,179	-6,313	-1,886	-8,322		
	3			8,653	1,206	6,966	2,886	4,696	-4,682	-4,243	-5,606	-1,927	-7,914		
I	1			16,106	-7,120	10,622	-1,420	16,539	-17,256	-0,089	-9,553	7,826	-17,960		
	2			9,091	3,143	7,432	3,805	5,033	-4,103	-4,244	-6,397	-1,849	-8,357		
	3			8,798	0,854	7,097	2,498	4,743	-4,587	-4,340	-5,166	-2,002	-7,426		

Unité : kdaN.m.

105



*Combinaisons de Moments.  
Poutre transversal D  
unité des moments kNm.*

Niv	Poutre	$G + P + \bar{S}_i$		$0,86 + \bar{S}_i$		$4/36 + \frac{3}{2}P$		$0,86 + \bar{S}_i + P$		$0,86 + \bar{S}_i$	
		MO	ME	MO	ME	MO	ME	MO	ME	MO	ME
IV	1	3,991	0,869	2,883	1,839	2,557	-2,192	-0,389	-3,951	-1,757	-2,981
	2	3,951	0,389	2,981	1,497	2,192	-2,557	-0,869	-3,991	-2,053	-2,623
III	1	9,162	3,141	6,693	5,415	4,521	-4,192	-2,958	-8,039	-5,665	-6,398
	2	8,099	2,958	6,825	5,427	4,192	-4,521	-3,141	-9,162	-5,642	-6,456
II	1	11,012	4,439	8,554	8,746	4,512	-4,228	-4,818	-10,241	-7,516	-7,711
	2	10,241	4,818	7,934	7,226	4,228	-4,512	-4,439	-11,012	-6,369	-8,315
I	1	10,699	4,137	8,218	6,394	4,552	-4,142	-4,451	-9,823	-7,193	-7,346
	2	9,823	4,451	7,566	6,932	4,142	-4,552	-4,137	-10,699	-6,614	-7,977

Niveau	Poutre	$G + P + 1,2 \bar{S}_i$		$0,86 + \bar{S}_i$		$4/36 + \frac{3}{2}P$		$0,86 + \bar{S}_i$		$G + P + 1,2 \bar{S}_i$		$G + 1,2 P$	
		Ms	Mi	Ms	Mi	Ms	Mi	Ms	Mi	Ms	Mi	Ms	Mi
		4,432	1,102	2,980	0,205	2,191	2,135	-2,175	0,935	-1,416	1,978		
		5,256	1,392	4,380	1,160	0	0	-4,380	-1,160	-5,226	-1,392		
		1,352	-1,844	1,840	-0,267	-2,191	-2,135	-2,646	-0,467	-4,368	-1,672		
		8,497	5,208	6,140	3,462	2,060	1,997	-5,746	-3,057	-5,724	-2,435		
		13,152	7,128	10,960	5,940	0	0	-10,960	-5,940	-13,152	-7,128		
		6,687	2,472	5,680	2,938	-2,060	-1,997	-6,074	-3,334	-8,460	-5,245		
		6,493	10,959	4,465	8,094	2,220	2,433	-3,919	-7,537	-3,297	-7,763		
		11,868	14,592	9,890	12,160	0	0	-9,890	-12,160	-11,868	-14,592		
		3,443	7,617	3,815	7,386	-2,220	-2,433	-7,943	-7,943	-10,813	-10,813		
		10,273	19,505	-0,518	16,002	1,727	0,864	+0,836	-15,609	1,505	-17,727	0,881	
		3,588	16,488	2,990	13,740	0	0	-2,990	-13,760	-3,588	-16,488	0	
		-2,097	18,319	-4,002	15,638	-1,727	-0,864	0,69	-15,192	-0,293	-20,097	-0,681	



Combinations des moments.  
 Portique longitudinal 2  
 Unité : kda.m.

Niv.	Poteau	$G + P + 1,2 \bar{S}i$		$0,8G + \bar{S}i$		$\frac{4}{3}G + \frac{3}{2}P$		$0,8G + \bar{S}i$		$G + P + 1,2 \bar{S}i$		$G + 1,2P$
		M <sup>s</sup>	M <sup>c</sup>	M <sup>s</sup>	M <sup>c</sup>	M <sup>s</sup>	M <sup>c</sup>	M <sup>s</sup>	M <sup>c</sup>	M <sup>s</sup>	M <sup>c</sup>	
IV	1	-2,610	-3,018	-1,182	-1,354	-7,489	-6,314	-5,982	-3,954	-8,370	-6,138	Min.
	2	6,386	5,153	4,914	3,821	3,175	2,700	-1,846	-1,499	-1,726	-1,231	
	3	1,726	1,231	1,846	1,499	-3,175	-2,700	-4,914	-3,821	-6,386	-5,853	
	4	8,370	6,138	5,982	3,954	7,489	6,314	1,182	1,354	2,610	3,018	
III	1	0,290	-0,528	1,516	0,778	-5,322	-5,441	-5,284	-4,822	-7,890	-7,268	
	2	8,378	7,164	6,463	5,478	2,228	2,203	-4,837	-3,822	-5,182	-3,996	
	3	5,182	3,996	4,837	3,822	-2,228	-2,203	-5,142	-5,478	-8,378	-7,164	
	4	7,890	7,268	5,284	4,822	5,322	5,441	-1,516	-0,778	0,290	0,548	
II	1	0,470	0,171	1,619	1,538	-5,980	-6,399	-6,231	-6,422	-6,222	-9,381	
	2	9,630	9,771	7,512	7,581	2,375	2,572	-5,688	-5,619	-6,210	-6,069	
	3	6,210	6,061	5,688	5,619	-2,375	-2,572	-7,512	-7,581	-9,630	-9,771	
	4	9,082	9,381	6,281	6,422	5,980	6,399	-1,679	-1,538	-0,470	-0,171	
I	1	0,587	6,473	1,478	5,889	-4,489	-2,245	-4,882	-7,531	-7,045	-9,703	-1,725
	2	8,092	9,384	6,341	7,536	1,824	0,912	-4,959	-6,844	-5,468	-7,972	0,700
	3	5,468	7,972	4,959	6,844	-1,824	-0,912	-6,341	-7,536	-8,092	-9,284	-0,700
	4	7,045	9,703	4,882	7,531	4,489	2,245	-1,478	-5,889	-0,587	-6,473	1,725
Niveau	Poutre	$G + P + \bar{S}i$		$0,8G + \bar{S}i$		$\frac{4}{3}G + \frac{3}{2}P$		$0,8G + \bar{S}i$		$G + P + \bar{S}i$		
		M <sub>6</sub>	M <sub>0</sub>	M <sub>6</sub>	M <sub>0</sub>	M <sub>6</sub>	M <sub>0</sub>	M <sub>6</sub>	M <sub>0</sub>	M <sub>6</sub>	M <sub>0</sub>	
IV	1	7,890	-7,090	5,982	-4,262	7,489	-11,684	1,182	-7,262	3,090	-10,090	
	2	8,140	-4,380	6,109	-2,349	8,509	-8,509	2,349	-6,109	4,380	-8,140	
	3	10,090	-3,090	7,262	-1,182	11,684	-7,489	-0,162	-5,982	7,090	-7,890	
III	1	13,088	-6,435	9,238	-1,632	11,637	-14,079	-0,162	-9,012	3,688	-13,815	
	2	11,185	-1,925	7,967	1,273	9,150	-9,150	-1,273	-7,967	1,945	-11,185	
	3	13,815	-3,688	9,012	0,162	14,079	-11,637	1,632	-9,238	6,435	-13,088	
II	1	14,837	-5,229	11,702	-0,410	11,185	-14,216	-2,458	-10,410	1,434	-15,229	
	2	13,184	-0,684	9,920	2,580	9,636	-9,636	-2,580	-9,920	0,684	-13,184	
	3	15,229	-1,434	10,410	2,458	14,216	-11,422	0,410	-11,102	5,229	-14,995	
I	1	14,995	-4,804	11,305	0,026	10,889	-14,238	-3,015	-10,854	0,675	-15,684	
	2	13,890	-0,270	10,551	3,069	9,841	-9,841	-3,069	-10,551	0,270	-13,890	
	3	15,684	-0,675	10,854	3,015	14,238	-10,889	-0,026	-11,305	4,804	-14,995	

Moments dans les poteaux

Moments dans les poutres



Combinaisons des moments - Bloc C.

Portique longitudinal 3 - Unité des moments :

Kd/cm

Niveau	Poteau	$G + P + 1,2 S_i^+$		$0,8 G + S_i^+$		$4/3 G + 3/2 P$		$0,86 + S_i^+$		$G + P + 1,2 S_i^-$		$G + 1,2 P$			
		$M_s$	$M_i$	$M_s$	$M_i$	$M_s$	$M_i$	$M_s$	$M_i$	$M_s$	$M_i$	$M_s$	$M_i$		
IV	1	5,441	4,148	4,061	2,824	3,479	3,071	-1,378	-0,852	-0,343	0,284	Poteaux			
	2	0,343	-0,617	0,759	-0,041	-3,479	-3,071	-3,442	-2,369	-5,441	-4,148				
III	1	6,529	5,702	4,685	4,044	2,689	2,665	-3,328	-2,624	-2,771	-1,906				
	2	2,711	1,906	3,015	2,296	-2,689	-2,665	-4,372	-3,716	-6,529	-5,702				
II	1	2,648	7,677	1,479	5,606	2,948	3,185	-3,857	-3,809	-3,292	-3,123				
	2	3,292	3,123	3,471	3,394	-2,948	-3,185	-5,143	-5,191	-7,508	-7,677				
I	1	9,832	9,027	7,628	7,240	2,256	1,129	-3,204	-6,607	-2,816	-7,413		70,871		
	2	2,816	7,413	2,912	6,460	-2,256	-1,129	-4,177	-7,094	-6,040	-9,027				

Niveau	Poutre	$G + P + S_i^+$		$0,86 + S_i^+$		$4/3 G + 3/2 P$		$0,86 + S_i^-$		$G + P + S_i^-$		
		$M_G$	$M_D$	$M_G$	$M_D$	$M_G$	$M_D$	$M_G$	$M_D$	$M_G$	$M_D$	
IV	1	-0,139	4,959	0,759	4,061	-3,479	3,479	-3,442	-1,378	-4,959	0,139	Poutres
III	1	1,337	9,583	3,411	7,509	-5,758	5,758	-6,741	-4,180	-9,583	-1,337	
II	1	3,669	11,671	5,768	9,572	-5,605	5,605	-8,859	-6,481	-11,671	-3,669	
I	1	4,290	12,090	6,306	10,094	-5,457	5,457	-9,768	-7,013	-12,090	-4,290	



Bloc C. Portique transversal C

niveau	Pkt.	$G + P + 1,2 S^i$			$0,8G + S^i$			$1/3G + 3/2 P$			$0,8G + S^i$			$G + P + 1,2 S^i$			$G + 1,2 P$			en kdaN	
		T	N	N <sup>c</sup>	T	N	N <sup>c</sup>	T	N	N <sup>c</sup>	T	N	N <sup>c</sup>	T	N	N <sup>c</sup>	T	N	N <sup>c</sup>		
IV	1	-6,543	8,448	8,448	-4,499	5,434	5,434	-6,618	13,612	13,612	-1,661	8,038	8,038	-3,137	11,572	11,572					
	2	0,215	14,532	14,532	-0,533	9,886	9,886	4,937	21,708	21,708	5,125	11,982	11,982	7,005	17,408	17,408					
	3	-3,560	9,824	9,824	-2,929	6,583	6,583	-0,247	13,545	13,545	2,705	6,809	6,809	3,200	10,096	10,096					
	4	-0,393	8,236	8,236	-0,603	6,045	6,045	1,795	6,935	6,935	2,235	0,819	0,819	3,013	1,964	1,964					
III	1	-5,321	10,636	19,064	-3,365	5,250	10,646	-4,560	17,213	30,825	0,053	8,206	16,244	-1,219	14,184	25,756					
	2	-1,655	17,060	31,592	-2,181	8,646	18,232	3,417	26,402	48,110	4,661	11,93	23,912	6,555	21,000	38,408					
	3	-4,215	13,142	22,966	-3,429	6,879	13,462	-0,163	18,052	31,597	3,413	6,593	13,402	3,995	12,798	27,894					
	4	-1,146	10,402	18,638	-1,301	6,393	12,438	1,280	9,533	14,468	-2,117	0,439	1,258	2,961	3,258	5,222					
II	1	-6,800	10,446	29,510	-4,498	5,084	15,768	-5,695	17,202	48,027	-0,014	8,340	24,584	-1,420	14,354	40,110					
	2	-2,273	16,774	48,286	-2,773	8,578	26,810	4,268	24,645	74,575	6,149	12,266	36,178	8,433	21,386	59,794					
	3	-5,479	13,280	36,246	-4,485	6,987	20,449	-0,175	18,040	49,637	4,437	6,913	20,315	5,233	12,640	35,534					
	4	-1,590	10,740	29,378	-1,650	6,675	19,113	1,612	9,493	25,961	2,834	0,109	1,367	3,850	2,860	8,022					
I	1	-6,974	10,498	40,008	-5,172	5,135	20,903	-2,998	17,187	65,284	2,852	8,289	32,873	2,650	14,282	54,392	-2,302				49,93
	2	-3,980	16,674	65,040	-3,787	8,568	35,378	1,928	26,533	70,708	5,147	12,422	48,600	6,740	21,586	81,380	1,486				77,404
	3	-5,460	13,482	49,728	-4,499	7,147	27,596	-0,143	18,028	67,665	4,435	6,939	27,246	5,260	12,418	47,250	-0,112				51,894
	4	-4,194	10,586	39,964	-3,708	6,552	25,689	0,867	9,452	35,415	4,716	0,196	1,563	5,434	2,954	11,036	0,928				29,196
niveau	Poutre	$G + P + S^i$		$0,8G + S^i$		$1/3G + 3/2 P$		N	$0,8G + S^i$		$G + P + S^i$										
		T <sub>6</sub>	T <sub>D</sub>	T <sub>6</sub>	T <sub>D</sub>	T <sub>6</sub>	T <sub>D</sub>		T <sub>6</sub>	T <sub>D</sub>	T <sub>6</sub>	T <sub>D</sub>	T <sub>6</sub>	T <sub>D</sub>							
IV	1	8,708	-11,182	5,434	-8,390	13,612	-14,288	-6,62	8,038	-5,786	11,312	-9,208									
	2	2,960	-7,300	1,196	-5,716	7,420	-6,530	0,80	6,196	-0,716	7,960	-2,300									
	3	2,547	-7,713	0,867	-6,045	7,015	-6,935	-1,80	6,083	-0,819	7,793	-2,487									
III	1	10,932	-14,148	5,250	-8,334	17,213	-17,577	-4,56	8,206	-5,378	13,888	-11,132									
	2	3,240	-9,300	0,312	-6,480	8,825	-8,570	-1,17	6,552	-0,240	9,480	-3,060									
	3	2,813	-9,807	0,399	-6,393	9,482	-9,523	-1,32	6,353	-0,439	9,767	-3,853									
II	1	10,772	-14,308	5,084	-8,500	17,202	-17,588	-5,70	8,340	-5,244	14,028	-11,052									
	2	2,850	-9,690	-0,078	-6,870	8,877	-8,518	-1,43	7,022	0,230	9,950	-2,590									
	3	3,537	-10,083	0,117	-6,675	9,522	-9,493	-1,62	6,683	-0,109	10,103	-3,517									
I	1	10,873	-14,267	5,135	-8,449	17,187	-17,603	-3,00	8,289	-5,295	13,967	-11,113									
	2	2,877	-9,723	-0,119	-6,911	8,930	-8,465	-1,07	7,127	0,335	10,063	-2,477									
	3	3,670	-9,950	0,236	-6,556	9,563	-9,452	-1,21	6,596	-0,196	10,030	-3,590									

Poutres

Poteaux



Combinaisons des efforts tranchants et normaux

Bloc C : Portique transversal : D

Niv	Pout	$G + P + 1,2 \vec{S}_i$			$0,8G + \vec{S}_i$			$4/3G + 3/2 P$			$0,8G + \vec{S}_i$			$G + P + 1,2 \vec{S}_i$			$G + 1,2 P$			
		T	N	N <sup>c</sup>	T	N	N <sup>c</sup>	T	N	N <sup>c</sup>	T	N	N <sup>c</sup>	T	N	N <sup>c</sup>	T	N	N <sup>c</sup>	
I	1	-0,40	4,92	4,92	-0,60	3,17	3,17	0,73	7,94	7,94	0,92	4,70	4,70	1,42	6,76	6,76	/			
	2	-1,39	10,56	10,56	-0,66	7,01	7,01	0	15,60	15,60	1,66	8,54	8,54	1,99	12,40	12,40				
	3	-1,42	4,92	4,92	-0,92	3,17	3,17	-0,73	7,94	7,94	0,60	4,70	4,70	0,40	6,76	6,76				
II	1	-2,85	4,55	9,47	-2,68	1,74	4,91	0,67	9,67	17,61	2,84	5,77	10,47	3,77	9,39	16,15	/			
	2	-6,15	11,36	21,92	-5,12	5,46	12,47	0	19,11	34,71	5,12	9,49	18,03	6,15	16,20	28,60				
	3	-3,77	4,55	9,47	-2,84	1,74	4,91	-0,67	9,67	17,61	2,68	5,77	10,47	2,85	9,39	16,15				
III	1	-3,79	3,92	13,39	-3,49	1,21	6,12	0,77	9,67	27,28	3,71	6,30	16,77	4,85	10,02	26,17	/			
	2	-8,02	10,73	32,65	-6,68	4,93	17,40	0	19,11	53,82	6,68	10,02	28,05	8,02	16,83	45,43				
	3	-4,85	3,92	13,39	-3,71	1,21	6,12	-0,77	9,67	27,28	3,49	6,30	16,77	3,79	10,02	26,17				
J	1	-3,09	4,06	17,45	-4,43	1,33	7,45	0,44	9,67	36,95	4,56	6,18	22,95	5,69	9,88	36,05	0,344			28,29
	2	-6,01	10,87	43,52	-5,01	5,05	21,45	0	19,11	72,93	5,01	9,90	37,95	6,01	16,69	62,12	0			55,86
	3	-5,69	4,06	17,45	-4,56	1,33	7,45	-0,44	9,67	36,95	4,43	6,18	22,95	5,09	9,88	36,05	0,344			28,29

Poteaux

Niv	Poteaux	$G + P + \vec{S}_i$		$0,8G + \vec{S}_i$		$4/3G + 3/2 P$		N	$0,8G + \vec{S}_i$		$G + P + \vec{S}_i$	
		T <sub>G</sub>	T <sub>D</sub>	T <sub>G</sub>	T <sub>D</sub>	T <sub>G</sub>	T <sub>D</sub>		T <sub>G</sub>	T <sub>D</sub>	T <sub>G</sub>	T <sub>D</sub>
		5,07	-6,51	3,17	-4,66	7,94	-7,80	0,73	4,70	-3,12	6,61	-4,97
		4,97	-6,61	3,12	-4,70	7,80	-7,94	0,73	4,66	-3,17	6,51	-5,07
		4,96	-8,90	1,74	-5,75	9,67	-9,56	0,67	5,77	-1,72	8,98	-4,88
		4,88	-8,98	1,72	-5,77	9,56	-9,67	0,67	5,75	-1,74	8,90	-4,96
		4,43	-9,43	1,21	-6,28	9,67	-9,56	0,77	6,30	-1,19	9,51	-4,35
		4,35	-9,51	1,19	-6,30	9,56	-9,67	0,77	6,28	-1,21	9,43	-4,43
		4,54	-9,32	1,33	-6,16	9,67	-9,56	0,44	6,18	-1,31	9,40	-4,46
		4,46	-9,40	1,31	-6,18	9,56	-9,67	0,44	6,16	-1,33	9,32	-4,54

Poutres



Combinaisons des efforts tranchants et normaux.

Bloc C. Poutique longitudinal : 2

Niv	Pot	$G + P + 1.2 \bar{S}_i$			$0.8G + \bar{S}_i$			$4/3G + \frac{3}{2}P$			$0.8G + \bar{S}_i$			$G + P + 1.2 \bar{S}_i$			$G + 1.2P$			UNITES
		T	N	Nc	T	N	Nc	T	N	Nc	T	N	Nc	T	N	Nc	T	N	Nc	
IV	1	-4,360	7,02	7,02	-2,988	4,558	4,558	-4,153	10,615	10,615	-0,772	5,858	5,858	-1,700	8,580	8,580				
	2	-8,906	15,71	15,71	-1,122	10,251	10,251	1,767	21,042	21,042	+2,638	10,517	10,517	3,486	15,630	15,630				
	3	-3,486	15,63	15,63	-2,638	10,517	10,517	-1,767	21,042	21,042	+1,022	10,251	10,251	0,906	15,310	15,310				
	4	1,700	8,58	8,58	2,988	5,858	5,858	4,153	10,615	10,615	+2,988	4,558	4,558	4,360	7,020	7,020				
III	1	-4,567	8,992	16,012	-3,040	4,530	9,068	-3,263	14,790	25,385	0,672	7,326	13,184	-0,113	12,348	20,928				
	2	-2,785	17,438	33,348	-2,625	9,035	18,286	1,337	25,398	46,444	3,617	10,159	26,676	4,705	18,902	34,532				
	3	-4,705	27,212	48,842	-3,617	17,133	27,704	-1,337	23,425	44,467	2,625	4,835	15,086	2,785	6,368	21,678				
	4	0,113	13,378	21,958	-0,672	4,550	12,408	3,263	13,470	24,032	3,040	3,754	8,312	4,567	8,022	15,042				
II	1	-7,660	7,294	23,306	-5,423	3,133	12,221	-6,417	13,413	38,798	-0,657	7,059	20,243	-1,240	12,006	32,934				
	2	-3,720	17,551	50,899	-3,424	9,047	28,333	1,500	25,462	71,902	4,576	10,329	31,005	5,380	19,089	53,621				
	3	-5,880	19,089	61,931	-4,576	10,329	38,093	-1,500	25,462	69,929	3,424	9,047	26,138	3,720	17,551	39,229				
	4	1,840	12,006	33,964	0,657	7,059	19,467	6,417	13,413	37,505	5,423	3,133	11,445	7,560	7,294	22,336				
I	1	-5,114	7,07	30,376	-3,738	2,972	15,193	-2,105	13,328	52,126	2,202	7,172	27,415	1,520	12,110	45,044	-1,548			38,956
	2	-3,169	17,494	68,393	-2,851	8,994	37,307	2,033	25,547	97,449	4,931	10,450	41,455	6,169	19,266	72,887	1,540			74,674
	3	-6,169	19,266	81,197	-3,931	10,450	48,483	-2,033	25,547	95,476	2,851	8,974	33,107	3,169	17,494	56,723	-1,540			74,674
	4	-2,114	12,110	46,074	-2,202	7,172	26,699	2,105	13,328	50,873	3,738	2,972	14,417	5,014	7,070	29,404	1,548			38,956
Niv	Poutre	$G + P + \bar{S}_i$		$0.8G + \bar{S}_i$		$4/3G + \frac{3}{2}P$			$0.8G + \bar{S}_i$		$G + P + \bar{S}_i$		UNITES							
		Tc	Td	Tc	Td	Tc	Td	N	Tc	Td	Tc	Td								
IV		7,150	-9,470	4,558	-6,578	10,615	-11,995	-4,15	5,858	-5,278	8,450	-8,170								
		5,867	-7,443	3,673	-5,239	9,047	-9,047	-2,39	5,239	-3,673	7,433	-5,867								
		8,170	-8,450	5,278	-5,858	11,995	-10,615	-4,15	6,578	-5,558	9,470	-7,150								
III		9,272	-11,678	4,530	-6,806	14,790	-14,293	-3,26	7,326	-4,010	12,068	-8,882								
		6,065	-9,915	2,299	-6,149	11,105	-11,105	-1,93	6,149	-2,299	9,915	-6,065								
		15,560	-11,090	10,984	-5,550	12,320	-13,477	-3,26	-2,536	-3,754	2,040	-8,302								
II		5,386	-2,293	3,133	-7,427	13,413	-14,357	-6,42	7,059	-3,501	11,613	-8,367								
		8,367	-10,594	1,620	-6,828	11,105	-11,105	-4,92	6,828	-1,620	10,594	-5,386								
		7,687	-11,613	3,505	-7,059	14,357	-13,413	-6,42	7,427	-3,133	12,293	-7,687								
I		7,490	-12,490	2,972	-7,588	13,328	-14,422	-2,02	7,172	-3,388	11,690	-8,290								
		5,152	-10,828	1,386	-7,062	11,105	-11,105	0,02	7,062	-1,386	10,828	-5,152								
		8,290	-11,690	3,388	-7,172	14,422	-13,328	-2,02	7,588	-2,972	10,490	-7,490								

Poteaux K dan

Poutres K dan





Niv		$G + P + 1,2 \vec{S}_i$			$0,8G + \vec{S}_i$			$\frac{4}{3}G + \frac{3}{2}P$			$0,8G + \vec{S}_i$			$G + P + 1,2 \vec{S}_i$			$G + 1,2P$		
		T	N	N <sup>c</sup>	T	N	N <sup>c</sup>	T	N	N <sup>c</sup>	T	N	N <sup>c</sup>	T	N	N <sup>c</sup>			
IV	1	-0,16	7,57	7,57	-0,46	5,43	5,43	+1,77	7,11	7,11	1,95	0,61	0,61	2,72	2,75	2,75			
	2	-2,72	2,75	2,75	-1,95	0,61	0,61	-1,77	+7,11	7,11	0,46	5,43	5,43	0,16	7,57	7,57			
III	1	-1,39	12,34	19,91	-1,61	7,11	12,54	+1,63	11,54	18,65	2,65	1,39	2,00	3,71	3,84	6,59			
	2	-3,71	3,84	6,59	-2,65	1,39	2,00	-1,63	+11,54	18,65	1,61	7,11	12,54	1,39	12,34	19,91			
II	1	-1,94	13,54	33,45	-2,08	8,31	20,85	1,86	11,54	30,19	3,38	2,59	4,59	4,60	2,64	9,23			
	2	-4,60	2,64	9,23	-3,38	2,59	4,59	-1,86	+11,54	30,19	2,08	8,31	20,85	1,94	13,54	33,45			
I	1	-3,06	14,40	47,85	-2,80	9,17	30,02	1,02	+11,54	41,73	3,51	3,45	8,04	4,52	1,78	11,02	0,788		32,84
	2	-4,52	1,78	11,02	-3,51	3,45	8,04	-1,02	+11,54	41,73	2,80	3,17	30,02	3,06	14,40	47,85	-0,788		

POTEAUX

T & N en kdaN.

Niv	haute	$G + P + \vec{S}_i$		$0,8G + \vec{S}_i$		$\frac{4}{3}G + \frac{3}{2}P$			$0,8G + \vec{S}_i$		$G + P + \vec{S}_i$	
		T <sub>G</sub>	T <sub>D</sub>	T <sub>G</sub>	T <sub>D</sub>	T <sub>G</sub>	T <sub>D</sub>	N	T <sub>G</sub>	T <sub>D</sub>	T <sub>G</sub>	T <sub>D</sub>
IV	1	7,57	-2,75	5,43	-0,61	7,11	-7,11	1,77	0,61	-5,43	2,75	-7,57
III	1	12,34	-3,84	7,11	+1,39	11,54	-11,54	1,63	-1,39	-7,11	3,84	-12,34
II	1	13,54	-2,64	8,31	+2,59	11,54	-11,54	1,86	-2,59	-8,31	2,64	-13,54
I	1	14,40	-1,78	9,17	3,45	11,54	-11,54	1,02	-3,45	-9,17	1,78	-14,40

potées

Combinaisons d'efforts normaux et tranchants  
Bloc C - Potique longitudinal 3

Niv.	Pot.	G		P		SH		G+P+1,25H		G+P+5H		0,86+5H		4/3G+3/2P		0,86-5H		G+P-5H		G+P-1,25H		G+1,2P	
		M <sub>sup</sub>	M <sub>inf</sub>	M <sub>sup</sub>	M <sub>inf</sub>	M <sub>sup</sub>	M <sub>inf</sub>	M <sub>sup</sub>	M <sub>inf</sub>	M <sub>sup</sub>	M <sub>inf</sub>	M <sub>sup</sub>	M <sub>inf</sub>	M <sub>sup</sub>	M <sub>inf</sub>	M <sub>sup</sub>	M <sub>inf</sub>	M <sub>sup</sub>	M <sub>inf</sub>	M <sub>sup</sub>	M <sub>inf</sub>	M <sub>sup</sub>	M <sub>inf</sub>
IV	1	-1,23	-0,94	-0,27	-0,32	-5,34	-2,67	-7,91	-4,46	-6,84	-3,93	-6,32	-3,42	-2,05	-1,73	4,36	1,92	3,84	1,41	4,91	1,94		
	2	-0,71	-0,71	-0,15	-0,17	-7,99	-2,39	-10,45	-3,75	-8,85	-3,27	-8,56	-2,96	-1,17	-1,20	7,42	1,82	7,13	1,57	8,73	1,99		
	3	2,21	1,38	0,43	0,48	-4,34	-0,64	-2,57	1,09	-1,70	1,22	-2,57	0,46	3,59	2,56	6,11	1,74	6,98	2,50	7,85	2,63		
III	1	-0,49	-0,60	-0,37	-0,34	-7,40	-4,01	-9,74	-5,75	-8,26	-4,95	-7,79	-4,49	-1,21	-1,31	7,01	3,53	6,54	3,07	8,02	3,87		
	2	-0,22	-0,27	-0,21	-0,20	-11,73	-7,15	-14,51	-9,05	-12,16	-7,62	-11,91	-7,37	-0,61	-0,66	11,55	6,93	11,30	6,68	13,65	8,11		
	3	0,80	0,78	0,58	0,54	-5,86	-3,18	-5,65	-2,50	-4,48	-1,86	-5,22	-2,56	1,94	1,85	6,50	3,80	7,24	4,50	8,41	5,14		
II	1	-0,68	-0,70	-0,37	-0,38	-5,97	-8,95	-8,21	-11,82	-7,02	-10,03	-6,51	-9,51	-1,46	-1,50	5,43	8,39	4,92	7,87	6,11	9,66		
	2	-0,42	-0,40	-0,21	-0,21	-12,33	-12,33	-15,43	-15,41	-12,96	-12,94	-12,67	-12,65	-0,88	-0,85	11,99	12,01	11,70	11,72	14,17	14,19		
	3	1,10	1,10	0,56	0,61	-2,94	-8,88	-1,87	-8,95	-1,28	-7,17	-2,06	-8,00	2,31	2,38	3,82	9,76	4,60	10,59	5,19	12,37		
I	1	-0,54	-0,26	-0,27	-0,12	-0,99	-18,54	-2,00	-22,65	-1,80	-18,92	-1,42	-18,75	-1,13	-0,53	0,56	18,33	0,18	18,16	0,38	21,87		-0,40
	2	-0,31	-0,16	-0,17	-0,08	-2,62	-19,29	-3,62	-23,39	-3,10	-19,53	-2,87	-19,42	-0,67	-0,33	2,37	19,16	2,14	19,05	2,66	22,91		-0,26
	3	0,85	0,42	0,47	0,20	0,90	-18,67	2,40	-21,78	2,22	-18,05	1,58	-18,33	1,84	-0,86	-0,22	19,01	0,42	19,29	0,24	23,02		0,66

Portique transversal : BLOC A

1/3

Niv.	Pot.	G		P		5H		G+P+5H		0,86+5H		4/3G+3/2P		0,86-5H		G+P-5H	
		M <sub>G</sub>	M <sub>P</sub>	M <sub>G</sub>	M <sub>P</sub>	M <sub>G</sub>	M <sub>P</sub>	M <sub>G</sub>	M <sub>P</sub>	M <sub>G</sub>	M <sub>P</sub>	M <sub>G</sub>	M <sub>P</sub>	M <sub>G</sub>	M <sub>P</sub>	M <sub>G</sub>	M <sub>P</sub>
IV	1	1,23	-1,65	0,27	-0,32	5,34	4,44	6,84	2,47	6,32	3,12	2,05	-2,68	-4,36	-5,76	-3,84	-6,41
	2	2,36	-2,21	0,47	-0,43	3,55	4,34	2,36	1,70	6,38	2,57	5,44	-3,59	3,85	-6,11	-1,66	-6,98
III	1	1,43	-1,34	0,69	-0,79	10,07	7,84	12,19	5,71	11,21	6,77	2,94	-2,97	-8,93	-8,91	-7,95	-9,97
	2	2,27	-2,18	1,17	-1,06	6,28	6,50	9,72	3,26	8,10	4,76	4,78	-4,50	-4,46	-8,24	-2,84	-9,74
II	1	1,28	-1,47	0,71	-0,74	9,98	10,82	11,97	8,61	11,00	9,64	2,77	-3,07	-8,96	-12,00	-7,99	-13,00
	2	2,16	-1,88	1,15	-1,10	8,66	6,12	11,97	3,14	10,39	4,62	4,60	-4,16	-6,93	-7,62	-5,35	-9,10
I	1	1,24	-1,46	0,65	-0,78	9,94	8,30	11,83	6,06	10,93	7,13	2,63	-3,12	-8,95	-9,47	-8,05	-10,54
	2	2,17	-1,95	1,16	-1,08	6,64	7,98	9,97	4,95	8,38	6,42	4,63	-4,22	-4,90	-9,54	-3,31	-11,01

Combinaisons du Moment :-

1/3



Niv.	Pot.	G		P		$\overline{SH}$		$G+P+1,25\overline{SH}$		$G+P+\overline{SH}$		$0,8G+\overline{SH}$		$4/5G+3/2P$		$0,8G-\overline{SH}$		$G+P-\overline{SH}$		$G+P-1,25\overline{SH}$		$G+1,2P$	
		M <sub>sup</sub>	M <sub>inf</sub>	M <sub>sup</sub>	M <sub>inf</sub>	M <sub>sup</sub>	M <sub>inf</sub>	M <sub>sup</sub>	M <sub>inf</sub>	M <sub>sup</sub>	M <sub>inf</sub>	M <sub>sup</sub>	M <sub>inf</sub>	M <sub>sup</sub>	M <sub>inf</sub>	M <sub>sup</sub>	M <sub>inf</sub>	M <sub>sup</sub>	M <sub>inf</sub>	M <sub>sup</sub>	M <sub>inf</sub>	M <sub>sup</sub>	M <sub>inf</sub>
IV	1	-4,96	-3,73	-1,16	-1,45	2,93	1,58	-2,60	-3,28	-3,19	-3,60	-1,04	-1,40	-8,35	-7,15	-6,90	-4,56	-9,05	-6,76	-9,64	-7,08		
	2	0,78	0,43	0,14	0,16	3,86	2,92	5,55	4,09	4,78	3,51	4,48	3,26	1,25	0,81	-3,24	-2,58	-2,94	-2,33	-3,71	-2,91		
III	1	-2,68	-2,89	-1,68	-1,60	3,98	3,28	0,42	-0,55	-0,38	-1,21	1,84	0,97	-6,09	-6,25	-6,12	-5,59	-8,34	-7,77	-9,14	-8,43		
	2	0,16	0,23	0,17	0,15	5,95	4,90	7,47	6,26	6,28	5,28	6,08	5,08	0,47	0,53	-5,82	-4,72	-5,62	-4,52	-6,81	-5,50		
II	1	-3,27	-3,46	-1,65	-1,75	4,90	4,90	0,96	0,67	-0,02	-0,31	2,28	2,13	-6,83	-7,24	-7,52	-7,67	-9,82	-10,11	-10,80	-11,09		
	2	0,35	0,38	0,17	0,18	7,36	7,36	9,35	9,39	7,88	7,92	7,64	7,66	0,72	0,78	-7,08	-7,06	-6,84	-6,80	-8,31	-8,23		
I	1	-2,45	-1,20	-1,25	-0,62	3,45	7,31	0,44	6,95	-0,25	5,49	1,49	6,35	-5,14	-2,53	-5,41	-8,27	-7,15	-9,13	-7,84	-10,59	-3,95	-1,94
	2	0,28	0,14	0,14	0,08	6,75	9,35	8,52	11,44	7,17	9,57	6,97	9,46	0,58	0,31	-6,53	-9,24	-6,33	-9,13	-7,68	-11,00	0,45	0,24

Niv.	Pot.	G		P		$\overline{SH}$		$G+P+\overline{SH}$		$0,8G+\overline{SH}$		$4/5G+3/2P$		$0,8G-\overline{SH}$		$G+P-\overline{SH}$	
		M <sub>G</sub>	M <sub>P</sub>	M <sub>G</sub>	M <sub>P</sub>	M <sub>G</sub>	M <sub>P</sub>	M <sub>G</sub>	M <sub>P</sub>	M <sub>G</sub>	M <sub>P</sub>	M <sub>G</sub>	M <sub>P</sub>	M <sub>G</sub>	M <sub>P</sub>	M <sub>G</sub>	M <sub>P</sub>
IV	1	4,96	-2,27	1,16	-1,80	2,93	1,93	9,05	-2,44	6,90	-5,49	8,35	-15,06	1,04	-9,35	3,19	-13,00
	2	8,49	—	1,66	—	1,93	—	12,08	—	8,72	—	13,81	—	4,86	—	8,22	—
III	1	6,41	-8,36	3,13	-4,43	5,56	4,44	15,70	-8,35	10,69	-2,25	13,24	-17,79	-0,43	-11,13	3,98	-17,23
	2	7,77	—	4,10	—	4,44	—	16,31	—	10,66	—	16,51	—	1,78	—	7,43	—
II	1	6,16	-8,39	3,25	-4,39	8,18	6,13	17,59	-6,65	13,11	-0,58	13,09	-17,77	-3,25	-12,84	1,23	-18,91
	2	7,81	—	4,07	—	6,13	—	18,01	—	12,38	—	16,52	—	0,12	—	5,75	—
I	1	5,91	-8,51	3,10	-4,43	8,35	7,06	17,36	-5,88	13,08	0,25	12,53	-17,99	-3,62	-13,87	0,66	-20,00
	2	7,85	—	4,11	—	7,06	—	19,02	—	13,34	—	16,63	—	-0,78	—	4,90	—

Portique longitudinale - Bloc A

114

- Combinaisons du Moment :-

MU



- Combinaisons de Tet N. "Portique transv."

Niv.	Pot.	G			P			5H			G+P+1,25H			0,8G+5H			4/3G+3/2P			0,8G-5H			G+P-1,25H		
		T	N	Nc	T	N	Nc	T	N	Nc	T	N	Nc	T	N	Nc	T	N	Nc	T	N	Nc	T	N	Nc
IV	1	0,65	+1,74	+1,74	0,18	+0,35	+0,35	4,88	+2,04	+2,04	3,09	+4,54	+4,54	2,40	+3,43	+3,43	1,14	+2,84	+2,84	-1,36	-0,65	-0,65	-1,43	-0,36	-0,36
	2	0,42	+4,22	+4,22	0,09	+0,83	+0,83	3,11	-0,72	-0,72	4,24	+4,19	+4,19	3,45	+2,66	+2,66	0,69	+6,87	+6,87	-2,77	+4,10	+4,10	-3,22	+5,91	+5,91
	3	-1,07	+2,25	+2,25	-0,27	+0,44	+0,44	1,49	-1,32	-1,32	0,45	+1,11	+1,11	0,63	+0,48	+0,48	-1,83	+3,66	+3,66	-2,35	+3,12	+3,12	-3,13	+4,27	+4,27
III	1	0,33	+1,77	+3,51	0,22	+0,89	+1,24	3,45	+3,73	+5,77	4,69	+7,13	+11,67	3,71	+5,15	+8,58	0,77	+3,70	+6,54	-3,19	-2,31	-2,96	-3,59	-1,81	-2,17
	2	0,15	+3,87	+8,09	0,12	+2,09	+2,92	5,72	+1,60	-2,32	7,13	+4,04	+8,23	5,84	+1,49	+4,15	0,38	+8,29	+15,16	-5,60	+4,69	+8,79	-6,59	+7,88	+13,79
	3	-0,48	+2,14	+4,39	-0,34	+1,12	+1,56	2,74	-2,13	-3,45	2,47	+0,70	+1,81	2,36	-0,42	+0,06	-1,15	+4,53	+8,19	-3,12	+3,84	+6,96	-4,11	+5,82	+10,09
II	1	0,42	+1,69	+5,20	0,23	+0,91	+2,15	4,52	+4,33	+10,10	6,07	+7,80	+19,47	4,86	+5,68	+14,26	0,90	+3,62	+10,16	-4,18	-2,98	-5,94	-4,77	-2,60	-2,77
	2	0,25	+3,98	+12,07	0,13	+2,06	+4,98	7,47	-1,87	-4,19	9,34	+3,79	+12,02	7,67	+1,32	+5,47	0,53	+8,40	+23,56	-7,27	+5,06	+13,85	-8,58	+8,29	+22,08
	3	-0,67	+2,11	+6,50	-0,36	+1,13	+2,69	3,58	-2,46	-5,91	3,27	+0,29	+2,10	3,04	-0,77	-0,71	-1,43	+4,51	+12,70	-4,12	+4,15	+11,11	-5,33	+6,19	+16,28
I	1	0,24	+1,68	+6,88	0,12	+0,88	+3,03	5,85	+3,80	+13,90	7,38	+7,12	+26,59	6,04	+9,55	+23,81	0,50	+3,56	+13,72	-5,66	-2,46	-8,40	-6,66	-2,00	-6,77
	2	0,14	+3,98	+16,05	0,08	+2,09	+7,07	6,56	-1,36	-5,55	8,09	+4,44	+16,46	6,67	+1,82	+7,29	0,31	+8,44	+32,00	-6,45	+4,54	+18,39	-7,65	+7,70	+29,78
	3	-0,38	+2,12	+8,62	-0,20	+1,13	+3,82	5,32	-2,44	-8,35	5,80	+0,32	+2,42	5,02	-0,74	-1,45	-0,81	+4,52	+17,22	-5,62	+4,14	+15,25	-6,96	+6,18	+22,46

I	1	0,38	+2,74	+10,52
	2	0,24	+6,49	+24,53
	3	-0,62	+3,48	+13,20
G+1,2P				

Niv	Pot.	G			P			5H			G+P+5H			0,8G+5H			4/3G+3/2P			0,8G-5H			G+P-5H		
		T <sub>G</sub>	T <sub>P</sub>	N	T <sub>G</sub>	T <sub>P</sub>	N	T <sub>G</sub>	T <sub>P</sub>	N	T <sub>G</sub>	T <sub>P</sub>	N	T <sub>G</sub>	T <sub>P</sub>	N	T <sub>G</sub>	T <sub>P</sub>	N	T <sub>G</sub>	T <sub>P</sub>	N			
IV	1	-1,74	1,91	0,65	-0,35	0,37	0,18	-2,04	0	-4,13	0,24	0,83	-3,43	-0,51	0,52	-2,84	3,10	1,14	0,65	3,57	0,52	-0,05	4,32	0,83	
	2	-2,31	2,25	1,07	-0,46	0,44	0,27	-1,32	0	-4,09	1,37	1,34	-3,17	0,48	0,86	-3,77	3,66	1,83	-0,53	3,12	0,86	-1,45	4,01	1,34	
III	1	-1,77	1,69	0,32	-0,89	0,93	0,04	-3,73	0	-6,39	-1,11	0,36	-5,15	-2,38	0,26	-3,69	3,65	0,49	2,31	5,08	0,26	1,07	6,35	0,36	
	2	-2,18	2,14	0,59	-1,16	1,12	0,07	-2,13	0	-5,47	1,13	0,66	-3,87	-0,42	0,47	-4,65	4,53	0,89	0,39	3,84	0,47	-1,21	5,39	0,66	
II	1	-1,69	1,77	0,09	-0,91	0,91	0,01	-4,33	0	-6,93	-1,65	0,10	-5,68	-2,91	0,07	-3,62	3,72	0,13	2,98	5,75	0,07	1,73	7,01	0,10	
	2	-2,21	2,11	0,19	-1,15	1,13	0,02	-2,46	0	-5,82	0,78	0,21	-4,23	-0,77	0,15	-4,67	4,51	0,28	0,69	4,15	0,15	-0,90	5,70	0,21	
I	1	-1,68	1,78	0,18	-0,88	0,94	0,11	-3,80	0	-6,36	-1,08	0,29	-5,14	-2,38	0,14	-3,56	3,78	0,40	2,46	5,22	0,14	1,24	6,52	0,29	
	2	-2,20	2,12	0,29	-1,15	1,13	0,16	-2,44	0	-5,79	0,81	0,45	-4,20	-0,74	0,23	-4,66	4,52	0,63	0,68	4,14	0,23	-0,91	5,69	0,45	

115



- Combinaisons de T et N "Portique longitudinal"

Niv.	Pot	G			P			5H			G+P+1,25H			0,8G+5H			4/5G+3/2P			0,8G-5H			G+P-1,25H		
		T	N	Nc	T	N	Nc	T	N	Nc	T	N	Nc	T	N	Nc	T	N	Nc	T	N	Nc	T	N	Nc
IV	1	2,60	+7,44	+7,44	0,78	+1,51	+1,51	1,35	+0,81	+0,81	5,00	+9,92	+9,92	3,43	+6,76	+6,76	4,64	+12,18	+12,18	0,73	+5,14	+5,14	1,76	+7,98	+7,98
	2	-0,36	+17,04	+17,04	-0,09	+3,35	-3,35	2,03	-0,17	-0,17	1,99	+20,19	+20,19	1,74	+13,46	+13,46	-0,61	+27,74	+27,74	-2,32	+13,80	+13,80	-2,89	+20,59	+20,59
III	1	1,69	+7,42	+14,86	0,99	+3,83	+5,34	2,20	+1,67	+2,48	5,32	+13,26	+23,18	3,55	+7,61	+14,37	3,74	+15,64	+27,82	-0,85	+4,27	+9,41	0,04	+9,24	+17,22
	2	-0,12	+15,80	+32,84	-0,10	+8,32	+11,67	3,29	-0,19	-0,36	3,73	+23,89	+44,08	3,19	+12,45	+25,91	-0,31	+33,54	+61,28	-3,39	+12,83	+26,63	-4,17	+24,35	+44,94
II	1	2,04	+7,37	+22,23	1,03	+3,86	+9,20	2,97	+2,39	+4,87	6,63	+14,09	+37,27	4,60	+8,28	+22,65	4,26	+15,67	+43,43	-1,34	+3,50	+12,91	-0,49	+8,37	+25,59
	2	-0,22	+15,85	+48,69	-0,11	+8,29	+19,96	4,46	-0,35	0,71	5,02	+23,72	+67,80	4,28	+12,33	+38,24	-0,46	+33,56	+94,84	-4,64	+13,03	+39,66	-5,68	+24,56	+69,50
I	1	1,09	+7,31	+29,54	0,56	+3,83	+13,03	3,22	+2,57	+7,44	5,51	+14,23	+51,50	4,09	+8,42	+31,07	2,29	+15,49	+58,92	-2,35	+3,28	+16,19	-2,21	+8,05	+33,64
	2	-0,13	+15,97	+64,60	-0,07	+8,32	+28,28	4,82	-0,22	-0,93	5,58	+23,96	+91,76	4,72	+12,57	+50,75	-0,28	+33,69	+128,53	-4,92	+12,95	+53,61	-5,98	+24,50	+94,00

I	1	1,76	+11,91	+45,18
	2	-0,21	+25,89	+98,54
G+1,2P				

1/6

Niv	Pot	G			P			5H		G+P+5H			0,8G+5H			4/5G+3/2P			0,8G-5H			G+P-5H		
		T <sub>e</sub>	T <sub>d</sub>	N	T <sub>e</sub>	T <sub>d</sub>	N	T <sub>e</sub> =T <sub>d</sub>	N	T <sub>e</sub>	T <sub>d</sub>	N	T <sub>e</sub>	T <sub>d</sub>	N	T <sub>e</sub>	T <sub>d</sub>	N	T <sub>e</sub>	T <sub>d</sub>	N	T <sub>e</sub>	T <sub>d</sub>	N
IV	1	-7,44	8,88	2,60	-1,51	1,73	0,78	-0,81	0	-9,76	9,80	3,38	-6,76	6,29	2,08	-12,18	14,43	4,64	-5,14	7,91	2,08	-8,14	11,42	3,38
	2	-8,16	—	2,24	-1,62	—	0,69	-0,64	0	-10,42	—	2,93	-7,17	—	1,79	-13,31	—	4,02	-5,89	—	1,79	-9,14	—	2,93
III	1	-7,42	8,06	0,91	-3,83	4,27	0,21	-1,67	0	-12,92	10,66	1,12	-7,61	4,78	0,73	-15,64	17,75	1,53	-4,27	8,12	0,73	-9,58	14,00	1,12
	2	-7,74	—	0,67	-4,05	—	0,20	-1,48	0	-13,27	—	0,87	-7,67	—	0,54	-16,39	—	1,19	-4,71	—	0,54	-10,31	—	0,87
II	1	-7,37	8,11	0,35	-3,86	4,24	0,04	-2,39	0	-13,62	9,96	0,39	-8,29	4,10	0,28	-15,67	17,17	0,53	-3,57	8,88	0,28	-8,84	14,74	0,39
	2	-7,74	—	0,25	-4,05	—	0,03	-2,04	0	-13,83	—	0,28	-8,23	—	0,20	-16,39	—	0,38	-4,15	—	0,20	-9,75	—	0,28
I	1	-7,31	8,17	0,95	-3,83	4,27	0,47	-2,57	0	-13,71	9,87	1,42	-8,42	3,97	0,76	-15,49	17,30	1,97	-3,28	9,11	0,76	-8,57	15,01	1,42
	2	-7,74	—	0,86	-4,05	—	0,43	-2,35	0	-14,14	—	1,29	-8,54	—	0,69	-16,39	—	1,79	-3,84	—	0,69	-9,44	—	1,29

1/6



Bloc B - Portique transversal - Combinaisons "M, N, T"

Niv.	Pot.	G			P			SH			G+P+1,25H			0,8G+SH			4/3G+3/2P			0,8G-SH			G+P-1,25H		
		T	N	Nc	T	N	Nc	T	N	Nc	T	N	Nc	T	N	Nc	T	N	Nc	T	N	Nc	T	N	Nc
I	1	-0,34	2,70	2,70	-0,07	0,51	0,51	1,14	2,47	2,47	0,96	6,17	6,17	0,87	4,63	4,63	-0,56	4,37	4,37	-1,41	-0,31	-0,31	-1,78	0,25	0,25
	2	-1,07	17,60	17,60	-0,20	3,30	3,30	1,34	1,34	1,34	0,20	22,51	22,51	0,48	15,42	15,42	-1,73	28,42	28,42	-2,20	12,74	12,74	-2,88	19,29	19,29
	3	1,41	8,61	8,61	0,27	1,60	1,60	1,13	1,13	1,13	3,04	11,57	11,57	2,26	8,02	8,02	2,29	13,88	13,88	0,00	5,76	5,76	0,32	8,85	8,85

I	1	-0,424	3,312	3,312
	2	-1,31	21,560	21,560
	3	1,73	10,530	10,530
G+1,2P				

Niv.	Pot.	G			P			SH			G+P+SH			0,8G+SH			4/3G+3/2P			0,8G-SH			G+P-SH		
		Tg	Td	N	Tg	Td	N	Tg	Td	N	Tg	Td	N	Tg	Td	N	Tg	Td	N	Tg	Td	N	Tg	Td	N
I	1	2,70	-6,91	0,34	0,51	-1,29	0,07	2,47	2,47	0	5,68	-5,73		4,63	-3,06		4,37	-11,15	0,56	-0,31	-8,00		0,74	-10,67	
	2	10,69	-8,61	1,41	2,01	-1,60	0,20	1,13	1,73	0	13,83	-9,08		9,68	-5,76		17,27	-13,88	2,18	7,42	-8,02		11,57	-11,34	

Niv.	Pot.	G		P		SH		G+P+1,25H		0,8G+SH		4/3G+3/2P		0,8G-SH		G+P-1,25H		G+1,2P	
		Msup	Minf	Msup	Minf	Msup	Minf	Msup	Minf	Msup	Minf	Msup	Minf	Msup	Minf	Msup	Minf	Msup	Minf
I	1	-0,54	-0,636	-0,101	-0,119	1,713	2,09	1,41	1,75	1,28	1,58	-0,87	-1,03	-2,15	-2,60	-2,70	-3,26		-0,779
	2	-2,642	-0,960	-0,495	-0,180	2,01	2,46	-0,75	1,81	-0,10	1,69	-4,27	-1,55	-4,12	-3,23	-5,55	-4,09		-1,176
	3	2,839	1,839	0,551	0,345	1,70	2,08	5,43	4,68	3,97	3,55	4,61	2,97	0,57	-0,61	1,35	-0,31		2,253

Niv.	Pot.	G		P		SH		G+P+SH		0,8G+SH		4/3G+3/2P		0,8G-SH		G+P-SH	
		Mg	Md	Mg	Md	Mg	Md	Mg	Md	Mg	Md	Mg	Md	Mg	Md	Mg	Md
I	1	0,540	-6,855	0,101	-1,285	1,713	1,020	2,35	-7,12	2,15	-4,46	0,87	-11,07	-1,28	-6,50	-1,07	-9,16
	2	9,497	-2,939	1,781	-0,551	0,99	1,70	12,27	-1,79	8,59	-0,65	15,33	-4,75	6,61	-4,05	10,29	-5,19



Bloc B. Portique longitudinal. Combinaisons "M, N, T"

Niv.	Pot.	G			P			5H			G+P+1,25H			0,8G+5H			4/3G+3/2P			0,8G-5H			G+P-1,25H		
		T	N	Nc	T	N	Nc	T	N	Nc	T	N	Nc	T	N	Nc	T	N	Nc	T	N	Nc	T	N	Nc
I	1	-0,006	0,393	0,393	-0,001	0,070	0,070	0,720	-0,627	-0,627	0,857	-0,289	-0,289	0,715	-0,313	-0,313	-0,009	0,629	0,629	-0,725	0,941	0,941	-0,871	1,215	1,215
	2	-0,015	1,279	1,279	-0,003	0,229	0,229	0,80	0,470	0,470	0,942	2,072	2,072	0,788	1,493	1,493	-0,024	2,048	2,049	-0,812	0,553	0,553	-0,978	0,944	0,944
	3	-0,008	1,708	1,708	-0,001	0,305	0,305	0,72	-0,079	-0,079	0,855	1,918	1,918	0,714	1,287	1,287	-0,012	2,735	2,735	-0,726	1,445	1,445	-0,873	2,108	2,108
	4	-0,029	0,820	0,820	-0,005	0,147	0,147	0,58	0,236	0,236	0,662	1,250	1,250	0,557	0,892	0,892	-0,046	1,314	1,314	-0,603	0,42	0,42	-0,730	0,684	0,684

I	1	-0,007	0,477	0,477
	2	-0,019	1,554	1,554
	3	-0,009	2,074	2,074
	4	0,035	0,996	0,996
G+1,2P				

Niv.	Pot.	G			P			5H			G+P+5H			0,8G+5H			4/3G+3/2P			0,8G-5H			G+P-5H		
		Tc	Td	N	Tc	Td	N	Tc	Td	N	Tc	Td	N	Tc	Td	N	Tc	Td	N	Tc	Td	N			
I	1	0,393	-0,447	0,006	0,070	-0,080	0,001	-0,627	-0,627	0	-0,164	-1,154		-0,313	-0,985		0,629	-0,716	0,009	0,941	0,269		1,090	0,100	
	2	0,832	-0,848	0,021	0,449	-0,151	0,004	-0,157	-0,157	0	0,824	-1,156		0,509	-0,835		1,333	-1,357	0,286	0,823	-0,521		1,138	-0,842	
	3	0,860	-0,820	0,029	0,154	-0,147	0,005	-0,236	-0,236	0	0,778	-1,203		0,452	-0,892		1,378	-1,314	0,046	0,924	-0,480		1,250	-0,731	

Niv.	Pot.	G		P		5H		G+P+1,25H		0,8G+5H		4/3G+3/2P		0,8G-5H		G+P-1,25H		G+1,2P	
		Msup	Minf	Msup	Minf	Msup	Minf	Msup	Minf	Msup	Minf	Msup	Minf	Msup	Minf	Msup	Minf	Msup	Minf
I	1	-0,010	-0,010	-0,002	-0,002	1,082	1,323	1,286	1,576	1,074	1,315	-0,016	-0,016	-1,090	-1,331	-1,310	-1,600		-0,012
	2	-0,031	-0,019	-0,006	-0,003	1,200	1,470	1,403	1,742	1,175	1,455	-0,050	-0,030	-1,225	-1,485	-1,477	-1,786		-0,023
	3	-0,016	-0,011	-0,003	-0,002	1,082	1,323	1,279	1,575	1,069	1,344	-0,026	-0,018	-1,095	-1,332	-1,317	-1,601		-0,018
	4	0,067	0,029	0,012	0,005	0,872	1,065	1,125	1,312	0,926	1,088	0,107	0,046	-0,818	-1,042	-0,967	-1,244		0,035

Niv.	Pot.	G		P		5H		G+P+5H		0,8G+5H		4/3G+3/2P		0,8G-5H		G+P-5H	
		Mc	Mo	Mc	Mo	Mc	Mo	Mc	Mo	Mc	Mo	Mc	Mo	Mc	Mo	Mc	Mo
I	1	0,010	-0,091	0,002	-0,016	1,082	0,800	1,034	0,693	1,090	0,727	0,016	-0,145	-1,074	-0,873	-1,070	-0,907
	2	0,122	-0,170	0,022	-0,030	0,410	0,541	0,544	0,341	0,498	0,105	0,196	-0,272	-0,302	-0,677	-0,256	-0,741
	3	0,186	-0,067	0,033	-0,012	0,541	0,872	0,760	0,793	0,090	0,818	0,287	-0,107	-0,392	-0,526	-0,332	-0,951

118

118

VERIFICATION DE LA STABILITE DES ELEMENTS  
DE PORTIQUES

BLOC "C"

Portique transversal "C" - Poutre 2 le plus sollicité

EFFORTS :  $M_s = -4,101 \text{ kdaN.m}$   
 $M_i = -19,212 \text{ kdaN.m}$   
 $N^{\max} = 101,108 \text{ kdaN}$   
 $T^{\max} = -6,974 \text{ kdaN}$

caractéristiques géométriques d'un HEB 400 :  $h = 40 \text{ cm}$   $b = 30 \text{ cm}$   $e_a = 1,35 \text{ cm}$   
 $e_s = 2,4 \text{ cm}$   $h_1 = 29,8 \text{ cm}$   $A = 197,8 \text{ cm}^2$   
 $I_x = 57680 \text{ cm}^4$   $I_y = 10820 \text{ cm}^4$   
 $W_x = 2880 \text{ cm}^3$   $W_y = 721 \text{ cm}^3$   
 $i_x = 17,1 \text{ cm}$   $i_y = 7,40 \text{ cm}$   $S = 1620 \text{ cm}^3$

calcul de la longueur de flambement :

$$K_A = \frac{\sum K_{poutres}}{\sum K_i} = 0,136 \Rightarrow \frac{l_f}{l_0} = \sqrt{\frac{4 + 3,5 K_A}{1 + 6,5 K_A}} = 1,54$$

CM66 - Art 5.134

d'où  $l_f = 1,54 l_0 = 514,4 \text{ cm}$

$\lambda_y = \frac{514,4}{7,4} = 69,5 \Rightarrow \lambda_y > \lambda_x$  flambement /x-x  $\Rightarrow k = 1,296$

Contrainte de non deversement :

$B = C = 1$

$$\left. \begin{aligned} \sigma_d &= 4 \times 10^6 \times \frac{10820}{57680} \times \frac{40^2}{10820} (D-1) B \cdot C \\ D &= \sqrt{1 + 0,156 \times \frac{382}{10820} \times \frac{514,4^2}{40^2}} = 1,382 \end{aligned} \right\} \sigma_d = 1733,2 < 2400$$

$\sigma_d < \sigma_e \Rightarrow$  une étude au deversement est nécessaire

calcul de l'élongement  $\lambda_0$  :

$$\lambda_0 = \frac{l_f}{h} \sqrt{\frac{E I_x}{B C I_y} \left(1 - \frac{\sigma_d}{\sigma_e}\right)} = 31,3 \Rightarrow k_0 = 1,038$$

d'où  $k_{d0} = \frac{k_0}{1 + \frac{\sigma_d}{\sigma_e} (k_0 - 1)} = \frac{1,038}{1 + \frac{1733,2}{2400} \times (1 - 1,038)} = 1,01$

$$k_d = \sup \left\{ \frac{1}{k_{d0}}, \frac{C' - 1}{5 k_{d0}} \right\} =$$

$$C' = \sqrt{\frac{3}{1 + \frac{M_s}{M_i} + \left(\frac{M_s}{M_i}\right)^2 - 0,152 \left(1 - \frac{M_s}{M_i}\right)^2}} = 1,58$$

$$k_d = \sup \left\{ \frac{1}{0,75} \right\} = 1$$



Pour la vérification de la stabilité nous utiliserons la formule enveloppe. Pièces soumises à la compression avec flexion dans le plan de flambement :

$$k\sigma + \sigma_f \leq k_1\sigma + k_f\sigma_f \leq \frac{\sigma}{\beta} (k\sigma + \sigma_f)$$

$$\frac{\sigma}{\beta} (k\sigma + \sigma_f) = \frac{\sigma}{\beta} (1,296 * \frac{101108}{197,8} + \frac{1921200}{2880}) = 1496 < 2400$$

stabilité vérifiée.

Vérification à l'effort tranchant :  $\tau = \frac{T \cdot S}{I \cdot e_a} \leq \frac{\sigma_{e\tau}}{1,54}$

mais pour des profils laminés (I, PE, HEA, HEB, ...) nous pouvons utiliser  $\tau = \frac{T}{A_a} \leq \frac{\sigma_{e\tau}}{1,54}$  (CM 66 - Art 3.32).

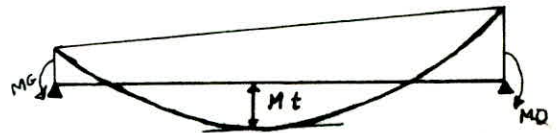
$T_{max} = -6974 \text{ daN}$

$\tau = \frac{6974}{1,35(40 - 2 * 2,4)} = 146,8 < \frac{\sigma_{e\tau}}{1,54} = 1558 \frac{\text{daN}}{\text{cm}^2}$   
 vérifié.

Vérification des poutres

Poutre 1. longueur : 6m (entaxe de poteaux).  
 IPE360

efforts :  $M_G = 7,826 \text{ kdaN}\cdot\text{m}$   
 $M_D = -17,760 \text{ kdaN}\cdot\text{m}$   
 $N^{corr} = -3000 \text{ daN}$   
 $T_G = 17,202 \text{ kdaN}$   
 $T_D = -17,588 \text{ kdaN}$



La poutre est vérifiée en flexion composée :

$$k \frac{N}{A} + \frac{M}{W_x} \leq \sigma_e$$

formule stabilité enveloppe :  $\frac{\sigma}{\beta} (k\sigma + \sigma_{f_x}) \leq \sigma_e$  condition suffisante

$M_t = \frac{q \ell^2}{8} - \frac{M_G + M_D}{2} < M_D$  la poutre sera vérifiée sous le moment droit : MD

calcul du coefficient de flambement : k

$\lambda_x = \frac{\ell_x}{i_x} = \frac{300}{15}$

$\lambda_y = \frac{\ell_y}{i_y} = \frac{300}{3,99} = 79,1$

longueur de flambement :  $\ell_{f_x} = \ell_{f_y} = \frac{\ell_0}{2}$  (poutre encastree)

$\Rightarrow \lambda_y > \lambda_x$  pas flambement /: x-x  
 $k = 1,436$

$A = 72,7 \text{ cm}^2$   
 $W_x = 904$

Poutre 1 : vérification de la stabilité  $\frac{\sigma}{\beta} (1,436 * \frac{3000}{72,7} + \frac{17760 * 10^3}{904}) = 2257 < 2400$

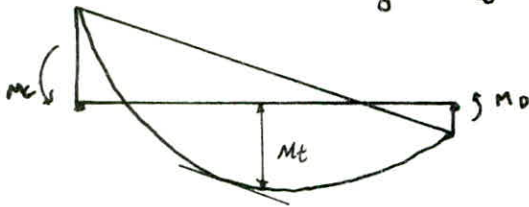
daN/cm<sup>2</sup>  
 vérifiée

Vérification à l'ε.τ. (cisaillement)

$\tau = \frac{T}{A_a} = \frac{17588}{233(0,8)} = 935,3 < \frac{\sigma_e}{1,54} = 1558$  vérifié

Poutre 2 (IPE 300) portée  $l = 3m$ .

Moment en travée  $M_t = \frac{9l^2}{8} - \frac{M_G + M_D}{2}$



$M_t < M_G$

$l_f = \frac{l_0}{2} = 150 \text{ cm}$

$\lambda_{max} = \lambda_y = \frac{150}{3,35} = 44,8 \Rightarrow k = 1,088$

Verification à la stabilité :  $\frac{9}{8} \left( 1,088 \times \frac{1070}{53,8} + \frac{9091 \times 10^2}{557} \right) = 1860,5 < \bar{\sigma}_c$  vérifiée

Verification au cisaillement :  $\frac{T}{A_a} < \frac{\bar{\sigma}_c}{1,54}$

$\bar{\sigma} = \frac{T}{A_a} = \frac{8930}{(30 - 2 \times 1,07) 0,71} = 451,5 \text{ daN/cm}^2 < \frac{\bar{\sigma}_c}{1,54}$  vérifiée

Verification des éléments du portique longitudinal : 2

1. Poutre : le poteau 3 est le plus sollicité

caracteristiques géométriques

HEB 400

$h = 40 \text{ cm}$	$I_x = 57680 \text{ cm}^4$
$b = 30 \text{ cm}$	$w_x = 2880 \text{ cm}^3$
$e_a = 1,35 \text{ cm}$	$I_y = 57680 \text{ cm}^4$
$e_s = 2,4 \text{ cm}$	$w_y = 721 \text{ cm}^3$
$A = 197,8 \text{ cm}^2$	$S = 1620 \text{ cm}^3$
$h_1 = 29,8 \text{ cm}$	$i_x = 17,1 \text{ cm}, i_y = 9,40 \text{ cm}$

Efforts

$M_{sup} = -9,620 \text{ kdaN}\cdot\text{m}$
$M_{inf} = -9,971 \text{ kdaN}\cdot\text{m}$
$N_{max} = 97449 \text{ daN}$
$T_{tot} = 5880 \text{ daN}$

Calcul de la longueur de flambement :

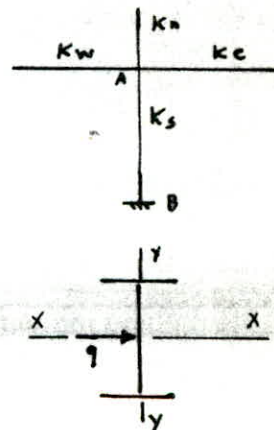
$K_A = \frac{\sum K_{poutres}}{\sum K_{pot} + \sum K_{poutres}}$

$K_A = \frac{27,12 + 33,9}{27,12 + 33,9 + 32,39 + 32,79} = 0,484$

$k_B = 1$  (parfaitement encastree)

$\frac{l_f}{l_0} = 1,172 \Rightarrow l_f = 1,172 l_0 = 391,5 \text{ cm}$

$\lambda_{max} = \lambda_y = \frac{391,5}{9,4} = 52,9 \Rightarrow K = 1,156$



Plan de flambement x-x  
Plan de flexion y-y

il n'y a pas de risque de deversement, or ce phénomène est dû à une flexion dans le plan de l'âme. Mais dans ce cas la flexion est dans le plan  $\perp$  au plan de l'âme.



stabilité : on est dans le cas flambement avec flexion dans le plan  $\perp$  au plan de flambement.

on vérifie donc :  $\text{Sup}\{k_{ix}, k_{iy}\} \sigma + k_{fy} \cdot \sigma_{fy} \leq \sigma_c$

$$\lambda_y > \lambda_x \Rightarrow \sigma_{ky} = \frac{\pi^2 E}{\lambda_y^2} < \frac{\pi^2 E}{\lambda_x^2} = \sigma_{kx}$$

$$\Rightarrow \mu_y = \frac{\sigma_{ky}}{\sigma} < \mu_x \Rightarrow k_{iy} > k_{ix}$$

on devra finalement vérifier  $k_{iy} \sigma + k_{fy} \sigma_{fy} \leq \sigma_c$ .

$$\lambda_y = 79,1 \Rightarrow \sigma_{ky} = \frac{\pi^2 E}{\lambda_y^2} = \frac{\pi^2 \times 21000^2}{(79,1)^2} = 3312,6 \Rightarrow \mu_y = 6,72$$

du tableau 2 Annexes 13-412 CM66 on tire  $k_{iy} = 1,052$

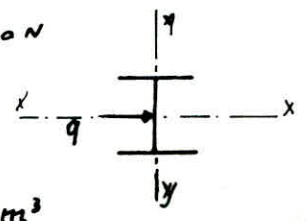
$$\mu_y = 6,72 \Rightarrow k_{fy} = \frac{\mu_y + 0,25}{\mu_y - 1,3} \quad (\text{cas de moment variant linéairement})$$

$$k_{fy} = 1,286$$

$$k_{iy} \sigma + k_{fy} \sigma_{fy} = 1,052 \times \frac{99449}{197,8} + \frac{1,286 \times 9771 \times 10^2}{721} = 2254 < 2400 \quad \text{vérifiée}$$

Vérification au cisaillement :  $T_{max} = 5,88 \text{ kdaN}$

$$\tau = \frac{T_x S^{y-y}}{2e_s \cdot I_y}$$



$$S^{y-y} = \frac{e_s}{4} (b^2 - e_a^2) = \frac{2,4}{4} (30^2 - 1,35^2) = 538,91 \text{ cm}^3$$

$$\tau = \frac{5880 \times 538,91}{2,4 \times 2 \times 10820} = 61 < \frac{\sigma_c}{1,54} \quad \text{vérifié}$$

Vérification de la stabilité des poutres  
poutres 1 & 3  $l = 6 \text{ m}$  IPE360

efforts	$M_G = 15,684 \text{ kdaN} \cdot \text{m}$	} Combinaison G+P+S <sub>i</sub>
	$M_D = -0,675 \text{ kdaN} \cdot \text{m}$	
$N = -2,02 \text{ kdaN}$		} combinaison 4/3G+3/2P
$T_G = 14,442 \text{ kdaN}$		
$T_D = -13,328 \text{ kdaN}$		

$$\lambda_{max} = \lambda_y = 79,1 \Rightarrow K = 1,436$$

stabilité :  $\frac{9}{8} \left( \frac{KN}{A} + \frac{M}{W_x} \right) \leq \sigma_c$   $M_{travée} < M_G$

$$\frac{9}{8} \left( 1,436 \times \frac{2020}{98,7} + \frac{15684 \times 10^2}{904} \right) = 1996,71 \text{ daN/cm}^2 < 2400$$

N.B. La poutre est prémunie contre tout déversement, or sa semelle supérieure est solidaire avec la dalle pleine.

Cisaillement :

$$\tau = \frac{T}{A_a} = \frac{14442}{(36-24)98} = 539,5 \text{ daN/cm}^2 < \frac{\sigma_c}{1,54} = 1558 \text{ daN/cm}^2$$

La poutre 2 (IPE 360) est sollicitée par des efforts inférieures à ceux de la poutre 1, et a une portée 4,8 m inférieure à celle de la première. Donc la stabilité et le cisaillement sont vérifiés.

Vérification des éléments du portique transversal : D. Bloc C

le poteau central est le plus sollicité.

efforts :

$$M_s = -0,273 \text{ kdaN}\cdot\text{m}$$

$$M_i = -20,097 \text{ kdaN}\cdot\text{m}$$

$$N = 72930 \text{ daN}$$

$$T = 8020 \text{ daN}$$

$$K_A = \frac{\sum K_{poutres}}{\sum K_{poutres} + \sum K_{pot}} = \frac{27,12 \times 2}{27,12 \times 2 + 169,65 + 179,39} = 0,134$$

$$K_B = 1$$

longueur de flambement :

$$\frac{l_f}{l_0} = \sqrt{\frac{4 + 3,5 K_A}{1 + 6,5 K_A}} = 1,545 \Rightarrow l_f = 516 \text{ cm}$$

$$\lambda_{max} = \lambda_y = \frac{516}{7,4} = 69,7 \quad \text{plan de flambement } x-x$$

$$\Rightarrow K = 1,301$$

Contrainte de non deversement :  $\sigma_d = 4 \times 10^6 \times \frac{10820}{57680} \times \frac{40}{516} (D-1) \beta C ; \beta = C = 1$

$$D = \sqrt{\left(1 + 0,156 \times \frac{382}{10820} \times \frac{516^2}{40^2}\right)} = 1,384 \Rightarrow \sigma_d = 1733,2 \text{ daN/cm}^2 < \sigma_e$$

Une étude au deversement est donc nécessaire :

$$\lambda_0 = \frac{l_f}{h} \sqrt{\frac{4 \cdot I_x}{\beta \cdot C \cdot I_y} \left(1 - \frac{\sigma_d}{\sigma_e}\right)} = \frac{516}{40} \sqrt{\left(\frac{4}{1 \times 1} \times \frac{57680}{10820} \left(1 - \frac{1733}{2400}\right)\right)} = 31,4$$

$$\rightarrow K_0 = 1,038$$

$$\Rightarrow K_{d0} = \frac{K_0}{1 + \frac{\sigma_d}{\sigma_e} (K_0 - 1)} = 1,020$$

$$K_d = \sup \left\{ \frac{1}{\frac{K_{d0}}{C'} + \frac{C'-1}{5K_{d0}}} \right\}$$

$$C' = \sqrt{\frac{3}{1 + \frac{M_s}{M_i} + \left(\frac{M_s}{M_i}\right)^2 - 0,152 \left(1 - \frac{M_s}{M_i}\right)^2}} = 1,861 \Rightarrow K_d = \sup \left\{ \frac{1}{0,912} \right\} = 1$$

Donc il n'y a pas risque de deversement :

La stabilité est vérifiée par la formule enveloppe :  $\frac{g}{\beta} (K \bar{N} + \bar{\sigma}_x) < \sigma_e$  condition suffisante

$$\frac{g}{\beta} \left(1,301 \times \frac{72930}{197,8} + \frac{20097 \times 10^2}{2880}\right) = 1324,7 \text{ daN/cm}^2 < 2600$$

La stabilité est donc assurée

le cisaillement est vérifié  $\frac{T}{A_a} < \frac{\sigma_e}{1,54}$



Vérification des poutres du Portique D

l = 6m

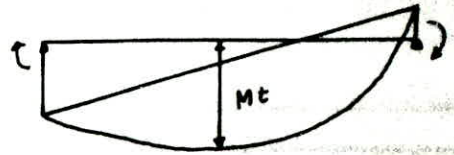
IPE360

$$\text{EFFORTS} \quad \left. \begin{array}{l} M_G = -10,699 \text{ kdaN}\cdot\text{m} \\ M_D = -4,137 \text{ kdaN}\cdot\text{m} \\ N = 0,44 \text{ kdaN} \\ T_G = 9,56 \text{ kdaN} \\ T_D = -9,67 \text{ kdaN} \end{array} \right\} \begin{array}{l} G + P + \vec{S}_i \\ \\ \\ \\ \end{array}$$

$$\left. \begin{array}{l} \\ \\ \\ \\ \end{array} \right\} \frac{1}{3}G + \frac{3}{2}P$$

$$M_t = \frac{q l^2}{8} - \frac{(-10,699 + 4,137)}{2}$$

$$q = q_g + q_{SE} = 1,56 + 0,75 = 2,31 \text{ kdaN}$$



$$M_t = 10,395 + 3,281 = 13,676 \text{ kdaN}\cdot\text{m} > M_G$$

La poutre sera vérifiée avec le moment en travée :

L'effort normal engendre une contrainte très faible devant la contrainte engendrée par le moment de flexion ; donc on peut se limiter à la vérification en flexion simple :

$$\sigma_{fx} = \frac{M_x}{W_x} = \frac{13676 \times 10^3}{904} = 1512,8 < 2400 \quad \text{vérifié}$$

$$\text{Vérification au cisaillement : } \tau = \frac{T}{A_w} = \frac{9670}{(36 - 2 \times 1,27) \times 0,8} = 361,3 \text{ daN/cm}^2 < \frac{\sigma_c}{1,54}$$

Vérification des éléments du portique 3 - Bloc C

$$\begin{array}{l} \text{1. POUTEAU} \\ \text{HEB 400} \end{array} \quad \left. \begin{array}{l} M_s = 9,832 \text{ kdaN}\cdot\text{m} \\ M_i = -9,027 \text{ kdaN}\cdot\text{m} \\ T_{pot} = -4,60 \text{ kdaN} \\ N_{pot} = 51,53 \text{ kdaN} \end{array} \right\} G + P + 1,2 \vec{S}_i$$

Ces efforts sont inférieures à ceux du portique longitudinal 2, les éléments de ce portique sont les mêmes que ceux du portique 2, et ces mêmes éléments ont été vérifiés pour le portique 2, donc il est inutile de les vérifier.

Remarque : Les flèches sont automatiquement vérifiées, or les éléments ont été prédimensionnés selon le critère de déformabilité.

Verifications des elements : BLOC A.

Portique transversal : -

Poteau (HEB400) ; comme tous les poteaux sont identiques, on prend le poteau avec les efforts max. qui est le cas le plus defavorable. Ce poteau est un poteau du R.D.C encastree des 2 cotes.

$$\left. \begin{array}{l} M_y = -3,62 \text{ kdaN.m} \\ M_x = -23,39 \text{ kdaN.m} \end{array} \right\} \text{ donne par la combinaison } G+P+1,25H$$

$$\begin{array}{l} N = 32,00 \text{ kdaN} \text{ donne par } 4/5G + 3/2P \\ T = 8,09 \text{ kdaN} \text{ donne par } G+P+1,25H \end{array}$$

$$\text{HEB400} \left\{ \begin{array}{l} I_x = 57680 \text{ cm}^4 \quad i_x = 17,1 \text{ cm} \quad W_x = 2880 \text{ cm}^3 \\ I_y = 10820 \text{ cm}^4 \quad i_y = 7,00 \text{ cm} \quad W_y = 721 \text{ cm}^3 \\ A = 197,8 \text{ cm}^2 \quad , \quad P = 155 \text{ kg/ml} \end{array} \right.$$

- Stabilité : - elle sera verifiee par la formule enveloppe :  $9/8 (k\sigma + k_d \sigma_{\tau}) \leq \sigma_c$

• determination de la long. de flambement : [art. 5,134 CM66]

encastrement a la base :  $k_B = 1$

$$k_A = \frac{\sum r_{\text{pout.}}}{\sum r_{\text{pout.}} + \sum r_{\text{pot}}} = \frac{33,9 + 27,12}{33,9 + 27,12 + 172,69 + 174,79} = 0,15$$

$$\frac{\ell}{\ell_0} = \sqrt{\frac{4 + 3,5k_A}{1 + 6,5k_A}} = \sqrt{\frac{4 + 3,5 \cdot 0,15}{1 + 6,5 \cdot 0,15}} = 1,514 \Rightarrow \ell = 1,514 \cdot 334 = 505,56 \text{ cm.}$$

$$\left. \begin{array}{l} \lambda_x = \frac{\ell}{i_x} = \dots \\ \lambda_y = \frac{\ell}{i_y} = 68,32 \end{array} \right\} \rightarrow k = 1,28$$

calcul de  $k_d$  : -

$$\sigma_d = 4 \cdot 10^6 \cdot \frac{I_y}{I_x} \cdot \frac{h^2}{\ell_f^2} (D-1) \cdot B.C. \quad , \quad D = \sqrt{1 + 0,156 \frac{J}{I_x} \cdot \frac{\ell_f^4}{h^2}} = 1,225$$

$$\sigma_d = 4 \cdot 10^6 \cdot \frac{10820}{57680} \left( \frac{40}{505,56} \right)^2 \cdot 0,225 \cdot 1 \cdot 1 = 1056,86 < \sigma_c = 2400 \text{ daN/cm}^2 \text{ on peut rien dire.}$$

$$\lambda_0 = \frac{\ell_f}{h} \sqrt{\frac{4}{B.C.} \cdot \frac{I_x}{I_y} \left( 1 - \frac{\sigma_d}{\sigma_c} \right)} = 43,66 \rightarrow k_0 = 1,083$$

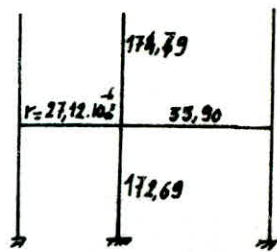
$$k_d = \frac{k_0}{1 + \frac{\sigma_d}{\sigma_c} (k_0 - 1)} = 1,045 \quad , \quad C' = \sqrt[3]{1 + \frac{0,156}{197,8} \cdot \left( \frac{40}{197,8} \right)^2 - 0,152 \left( 1 - \frac{\sigma_d}{\sigma_c} \right)^2} = 1,674$$

$$k_d = \sup \left\{ \frac{k_d}{C'} + \frac{C' - 1}{5 \cdot k_d} = 0,753 \right\} \rightarrow \text{on prend } k_d = 1$$

$$9/8 (k\sigma + k_d \sigma_{\tau}) = \frac{9}{8} \left( 1,28 \cdot \frac{32 \cdot 10^3}{197,8} + 1 \cdot \frac{23,39 \cdot 10^6}{2880} \right) = 1146,63 \text{ daN/cm}^2 < \sigma_c = 2400 \text{ daN/cm}^2 \text{ verifiee.}$$

cisaillement : (formule simplifiee)

$$\sigma = \frac{T}{A} = \frac{8,09 \cdot 10^3}{(40 - 2 \cdot 2,4) \cdot 1,35} = 170,24 < \frac{\sigma_c}{1,54} = 1558,50 \text{ daN/cm}^2 \text{ verifiee.}$$





### Poutre de Portée 4,80m (IPE360)

$$\begin{cases} M_G = 12,19 \text{ kdaN.m} \\ M_D = 5,71 \text{ kdaN.m} \end{cases} \rightarrow G+P+SH \quad T_D = 7,01 \text{ kdaN} \rightarrow G+P-SH \quad N = 1,14 \text{ kdaN} \rightarrow 4/5G + 3/2P$$

$$M_t = M_0 - \frac{M_G + M_D}{2} = 3,168 - \frac{12,19 + 5,71}{2} = -0,072 \text{ kdaN.m} \quad M_0 = \frac{q \cdot l^2}{8} = 3,168 \text{ kdaN.m}, q = 1,1 \text{ kdaN/m}$$

Stabilité :  $\frac{9}{8} (k\sigma + k_d \sigma_{fy}) \leq \sigma_c$   $k_d = 1$  (poutres entretoisées par la dalle)  
 - Poutre encastree aux 2 extremités ;  $l_f = 0,5 l_0$

$$\lambda_y = 0,5 \frac{l_0}{i_y} = \frac{0,5 \cdot 480}{3,79} = 63,32$$

$$\rightarrow k = 1,224$$

IPE360  $\left\{ \begin{array}{l} i_y = 3,79 \text{ cm} \quad A = 72,7 \text{ cm}^2 \\ W_x = 904 \text{ cm}^3 \end{array} \right.$

$$\frac{9}{8} \left( 1,224 \cdot \frac{1,14 \cdot 10^3}{72,7} + 1 \cdot \frac{12,19 \cdot 10^5}{904} \right) = 1538,60 < \sigma_c = 2400 \text{ daN/cm}^2 \text{ verifiee.}$$

Cisaillement : (formule simplifiee)  $\frac{T}{A_w} = \frac{7,01 \cdot 10^3}{(36 - 2 \cdot 1,27) \cdot 0,8} = 261,88 < \frac{\sigma_c}{1,54} = 1558,5 \text{ daN/cm}^2 \text{ verif.}$

### Poutre de Portée 6,00m (IPE360)

$$\begin{array}{llll} M_G = 11,97 \text{ kdaN.m} & N = 1,83 \text{ kdaN} & T = 5,82 & M_t = 0,535 \text{ daN.m} \\ M_D = 3,14 \text{ kdaN.m} & & & \end{array}$$

Stabilité :  $\lambda_y = \frac{0,5 \cdot l_0}{i_y} = 79,16 \rightarrow k = 1,436$

$$\frac{9}{8} (k\sigma + k_d \sigma_{fy}) = \frac{9}{8} \left( 1,436 \cdot \frac{1,83 \cdot 10^3}{72,7} + \frac{11,97 \cdot 10^5}{904} \right) = 1530,29 \text{ daN/cm}^2 < \sigma_c = 2400 \text{ daN/cm}^2$$

Cisail. : est verifiee.

Remarque : Les elements rigides attirent les grands efforts poutre (4,80m)  $\rightarrow M = 12,19 \text{ kdaN.m}$   
 Poutre (6,00m)  $\rightarrow M = 11,97 \text{ kdaN.m}$

### Portique Longitudinal :-

#### Poteau (HEB400)

$$\begin{array}{lll} M_s = 8,52 \text{ kdaN.m} & T = 6,63 \text{ kdaN} & N_{comp} = 91,76 \text{ kdaN} \\ M_x = 11,44 \text{ kdaN.m} & & \end{array}$$

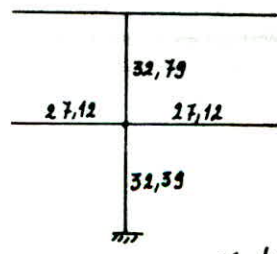
- des moments sont preponderants.

Stabilité :

chargement dans le plan y-y donc pas de deversement c.à.d  $k_d = 1$

f. enveloppe :  $\frac{9}{8} (k\sigma + \sigma_{fy}) \leq \sigma_c$

La longueur de flambement :-  $k_0 = 1$  (encast. a la base)



$$k_A = \frac{27,12 \cdot 2}{2 \cdot 27,12 + 32,39 + 32,79} = 0,454$$

$$\frac{l}{l_0} = \sqrt{\frac{4 + 3,5 k_A}{1 + 6,5 k_A}} = 1,189 \rightarrow l = 1,189 \cdot 334 = 397,13 \text{ cm}$$

$$\lambda_y = \frac{l_f}{i_y} = 53,67 \rightarrow k = 1,140 \quad \frac{9}{8} \left( 1,14 \cdot \frac{91,76 \cdot 10^3}{72,7} + \frac{11,44 \cdot 10^5}{727} \right) = 2379,98$$

c'est pas la peine de verifier le cisaillement.

$\sigma_c = 2400 \text{ daN/cm}^2$  verifiee

pour la stabilite si on prend  $M_{max} = 128,53 \text{ kdaN}$   $\rightarrow M_{comp} = 9,46 \text{ kdaN.m}$

on trouve :  $2309,44 < \sigma_c = 2400 \text{ daN/cm}^2$  verifiee

Poutre de portée 6,00m (IPE360)

$$M_g = 0,66 \text{ kdaNm}$$

$$M_0 = -20,00 \text{ kdaN.m} \rightarrow M_t = 7,36 \text{ kdaN.m} \quad (q = 3,93 \text{ kdaN/ml})$$

$$N = 4,64 \text{ kdaN}$$

$$T = 17,30 \text{ kdaN}$$

Stabilité :

$$\lambda_y = \frac{0,5l_0}{3,79} = 79,16 \rightarrow k = 1,436 \quad \text{f. enveloppe ne vérifie pas, on passe}$$

$$\text{à la formule exacte} \quad k_1 \sigma + k_{fy} \frac{k_d}{i} \frac{U_y}{f_y} \leq \sigma_c$$

$$\left. \begin{aligned} \sigma_k &= \frac{\pi^2 E}{\lambda^2} = \frac{\pi^2 \cdot 2,1 \cdot 10^6}{(79,16)^2} = 3307,60 \text{ daN/cm}^2 \\ \sigma &= 63,824 \text{ daN/cm}^2 \end{aligned} \right\} \mu = \frac{\sigma_k}{\sigma} = 51,82$$

$$k_1 = \frac{\mu - 1}{\mu - 1,3} = 1,006$$

$$k_{fy} = \frac{\mu + 0,25}{\mu - 1,3} = 1,031 \quad (\alpha = 0,25 \text{ max des } \alpha)$$

$$\text{donc} \quad 1,006 \cdot 63,824 + 1,031 \cdot \frac{20 \cdot 10^5}{904} = 2545,18 < \sigma_c = 2400 \text{ daN/cm}^2$$

cisaillement : c'est pas la peine de le vérifier



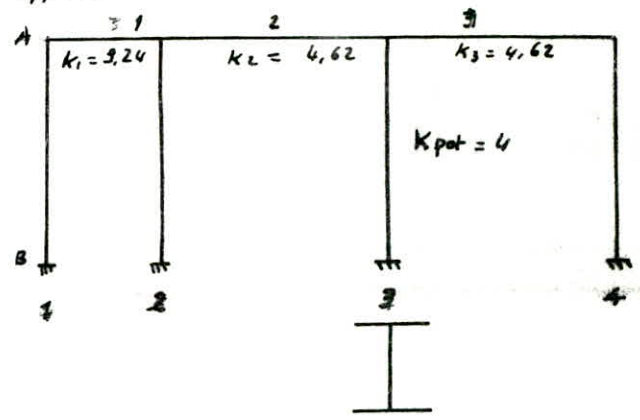
Verification des elements du Bloc B

Portique longitudinal 2 : Le poteau 2 est le + sollicité, il est soumis aux efforts suivants.

- Efforts :  $M_i = -1786 \text{ m.daN}$
- $M_s = -1477 \text{ m.daN}$
- $T = -978 \text{ daN}$
- $N = 2735 \text{ daN}$

Poteau HEA 200

L'extrémité B est parfaitement encastree au massif  $k_g = 1$



$$K_A = \frac{9.24 + 4.62}{4 + 9.24 + 4.62} = 0.776$$

$$\Rightarrow \frac{l_f}{l_0} = \sqrt{\left(\frac{4 + 3.5 K_A}{1 + 6.5 K_A}\right)} = 1.054 \Rightarrow l_f = 352 \text{ cm}$$

Pas de risque de deversement, la flexion est dans le plan  $\perp$  au plan de l'ame

Il s'agit ici du cas de flambement avec flexion dans le plan  $\perp$  au plan de flambement. On doit verifier  $\sup\{k_{ix}, k_{iy}\} \sigma + k_{fy} \sigma_{fy} \leq \sigma_c$ .

$$\lambda_y > \lambda_x \rightarrow k_{iy} > k_{ix}$$

$$\sigma_{fy} = \frac{M_{max}}{W_y}$$

$$\sigma_{ky} = \frac{\pi^2 E}{\lambda_y^2} \quad \lambda_y = \frac{l_{fy}}{i_y} = \frac{352}{4.98} = 70.68 \Rightarrow k = 1.311$$

$$\Rightarrow \sigma_{ky} = 448.83 \text{ daN/cm}^2 \quad \sigma = \frac{N}{A} = \frac{2735}{538} = 50.84 \text{ daN/cm}^2$$

$$\Rightarrow \mu_y = \frac{\sigma_{ky}}{\sigma} = 81.6$$

$$\rightarrow k_{iy} = \frac{81.6 - 1}{81.6 - 1.3} = 1.004$$

$$K_{fy} = \frac{81.6 + 0.25}{81.6 - 1.3} = 1.020$$

$$k_{iy} \sigma + k_{fy} \sigma_{fy} = 1.004 \times 50.84 + 1.02 \times \frac{1786 \times 10^2}{134} = 1410.5 < \sigma_c = 2400 \frac{\text{daN}}{\text{cm}^2}$$

cisaillement :  $\tau = \frac{T \cdot S^{y-y}}{(2e_s) I_y} \leq \frac{\sigma_c}{1.54}$

$$S^{y-y} \text{ (Moment statique / y-y)} = \frac{e_s}{4} (b^2 - e_a^2) = \frac{(20^2 - 9.65^2)}{4} \frac{1}{4} = 99.89 \text{ cm}^3$$

$$\tau = \frac{978 \times 99.89}{2 \times 1 \times 1336} = 36.56 \text{ daN/cm}^2 < \frac{\sigma_c}{1.54}$$

Verification des poutres IPE 200  $l = 6 \text{ m}$

$M_G =$   $T_G =$   $N = 9009 \text{ kdaN}$   
 $M_D =$   $T_D =$   
 Verification en flexion simple. (N est très faible).  $\frac{M_{max}}{W_y} < \sigma_c$

flèche :  $f_{max} < \bar{f} = \frac{l}{500}$  verifiée or les éléments ont été prédimensionnés d'après le critère de déformabilité

Portique transversal c. Bloc B

1. Poteau HEA200 central

$$\text{Efforts} \begin{cases} M_s = -5550 \text{ m.daN} \\ M_x = -4090 \text{ m.daN} \\ T = -2880 \text{ daN} \\ N = +28420 \text{ daN} \end{cases}$$

$$K_A = \frac{27,85 + 27,12}{11,05 + 27,85 + 27,12} = 0,711$$

$$\Rightarrow \frac{l_f}{l_0} = \sqrt{\frac{4 + 3,5 K_A}{1 + 6,5 K_A}} = 1,075 \rightarrow l_f = 359 \text{ cm.}$$

$$\lambda_{\max} = \lambda_y = \frac{359}{4,98} = 72 \Rightarrow k = 1,328$$

$$\sigma_d = 4 \times 10^6 \times \frac{1336}{3692} \frac{19^2}{359^2} (D-1) \cdot B \cdot C \quad B=C=1 \quad \left. \vphantom{\sigma_d} \right\} \Rightarrow \sigma_d = 1347,8 < \sigma_e$$

$$D = \sqrt{1 + 0,156 + \frac{18,6}{1336} * \frac{359^2}{19^2}} = 1,332$$

Une étude au déversement est donc nécessaire.

$$\text{Calcul de l'élanement } \lambda_0 = \frac{l_f}{h} \sqrt{\frac{4 I_x}{BC I_y} \left(1 - \frac{\sigma_d}{\sigma_e}\right)} = 2,4 \Rightarrow k_0 = 1$$

d'où  $k_{d0} = 1$

$$k_d = \sup \left\{ \frac{1}{C'} + \frac{C'-1}{5 k_{d0}} \right\} = 1$$

\* On utilisera la formule enveloppe pour la vérification de la stabilité:

$$\frac{9}{8} \left( 1,328 \times \frac{28420}{53,8} + \frac{555000}{389} \right) = 2394,5 < \sigma_e = 2400 \text{ daN/cm}^2$$

vérifié.

Vérification des poutres

- Poutre 1  $l = 3 \text{ m}$  IPE 300
- Poutre 2  $l = 6 \text{ m}$  IPE 360



**ASSEMBLAGES**

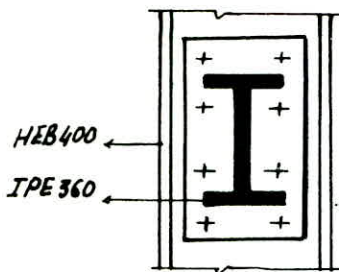
## ASSEMBLAGES

### I. Assemblages frontaux (poteau - poutre)

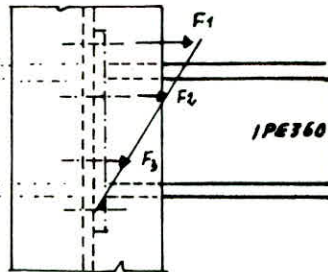
On se fixe le nombre de boulons, ensuite on vérifie la résistance de notre assemblage vis à vis des efforts extérieurs. Étant donné nos portiques sont autostables, les poutres sont encastées aux poteaux. Donc nous utiliserons des boulons à haute résistance.

L'assemblage s'effectue par l'intermédiaire d'une platine d'extrémité. La poutre est soudée à la platine, tandis que la platine est boulonnée à l'âme du poteau, ou à la semelle tout dépend de la disposition du poteau. On vérifiera les boulons sous les efforts extérieurs et les soudures sous les mêmes efforts.

#### Portique transversal C. Bloc C



vue de face



vue de profil

#### Efforts

$$M = 17,760 \text{ m.kN}$$

$$N = -3000 \text{ daN}$$

$$T = -17,588 \text{ kdaN}$$

soit le nb de boulons  $HR = 8$

et  $e_p$ : épaisseur de la platine  $\leq 2d$  on prends  $e_p = 2 \text{ cm} = 20 \text{ mm}$

$e_a$ : épaisseur de l'âme du poteau = 13,5 mm.

$$\Rightarrow e_{\min} = 13,5 \text{ mm}$$

nous prenons des boulons de diamètre  $\phi = 20 \text{ mm} \Rightarrow d = 22 \text{ mm}$

#### Dispositions constructives de distances

i) entre axes de boulons  $\delta$ :

Pour une pièce en atmosphère protégée :  $3d < \delta < 10d$

ii) pincées transversales  $\delta_t$

$$1,5d < \delta_t < 2,5d$$

iii) pincées longitudinales  $\delta_l$ :

$$\text{Sup} \left\{ \begin{array}{l} 1,5d \\ 0,8T^* \\ e_{\min} \delta_e \end{array} \right. < \delta_l < 2,5d$$

avec  $T^*$  effort de cisaillement exercé sur une seule section de boulon.

#### Condition d'épaisseur des pièces assemblées

il faut vérifier si  $e_{\min} < 20 \text{ mm} \Rightarrow d \geq e_{\min} + 2 \text{ mm}$

si  $e_{\min} \geq 20 \text{ mm} \rightarrow d \geq 22 \text{ mm}$ .

Condition de pression diamétrale  $\frac{T^*}{d \cdot e_{\min}} < 4 \sigma_c$

$T^*$ : effort de cisaillement repris par 1 section de boulon



condition de distances 131

$$\frac{0,8 T^*}{e_{min} \sigma_e(\text{profil})} = \frac{0,8 \times \frac{17588}{8}}{1,35 \times 2400} = 0,55 \text{ cm} = 5,5 \text{ mm} < 1,5 d$$

$$\Rightarrow 1,5d < \delta_e < 2,5d \text{ soit } 33 < \delta_e < 55 \rightarrow \delta_e = 40 \text{ mm}$$

$$1,5d < \delta_t < 2,5d \text{ soit } 33 < \delta_t < 55 \rightarrow \delta_t = 40 \text{ mm}$$

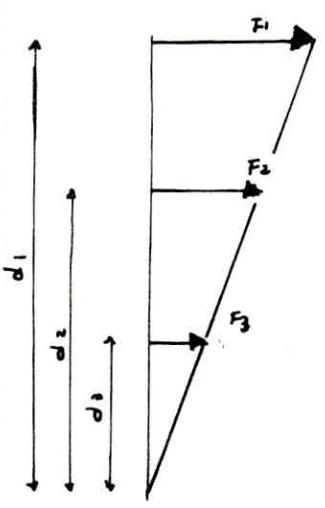
entre-axes de boulons :  $3d < \delta < 10d \Rightarrow 66 < \delta < 220 \rightarrow \delta = 140 \text{ mm}$

Condition d'épaisseur :  $e_{min} = 13,5 < 20 \text{ mm} \Rightarrow d \geq 13,5 + 2 = 15,5 \text{ mm}$ .  
 $d = 22 \text{ mm} > 15,5$ .

Pression diamétrale :  $\frac{T^*}{d \cdot e_{min}} = \frac{17588/8}{2,2 \times 1,35} = 747,5 \frac{\text{daN}}{\text{cm}^2} \ll 4 \sigma_e$

Etude de l'assemblage sous l'effet de M

le moment fléchissant engendre un effort de traction sur les boulons.



$$\frac{F_1}{d_1} = \frac{F_2}{d_2} = \frac{F_3}{d_3} \quad \text{et } M = F_1 d_1 + F_2 d_2 + F_3 d_3$$

$$\Rightarrow M = F_1 \frac{d_1^2}{d_1} + \left(\frac{d_2}{d_1} F_1\right) d_2 + \left(\frac{d_3}{d_1} F_1\right) d_3$$

$$\Rightarrow F_1 = \frac{M d_1}{d_1^2 + d_2^2 + d_3^2}$$

$\delta = 140 \text{ mm}$  ,  $l = 3\delta - hp = 60 \text{ mm}$

$d_3 = \delta - \frac{l}{2} = 140 - 30 = 110 \text{ mm}$

$d_2 = d_3 + \delta = 110 + 140 = 250 \text{ mm}$

$d_1 = d_2 + \delta = 250 + 140 = 390 \text{ mm}$

Soit  $F_1$  l'effort de traction exercé sur les boulons du niveau 1 :

$$F_1 = \frac{M d_1}{d_1^2 + d_2^2 + d_3^2} = \frac{17760 \times 390 \times 10^3}{39^2 + 25^2 + 11^2} = 30653 \text{ daN}$$

nous avons 2 boulons au niveau 1, donc l'effort de traction exercé sur chaque boulon est :

$$F_1^* = \frac{F_1}{2} = 15276,5 \text{ daN}$$

Sous l'effet N : Traction

chaque boulon reprend  $N^* = \frac{N}{8} = \frac{3000}{8} = 375 \text{ daN}$

Effort de traction total exercé sur un boulon :

$$N_{TOT}^* = N^* + F_1^* = 15651,5 \text{ daN}$$

Nous utilisons des boulons HR 10-9 de résistance nominale  $\sigma_b = 9800$

$\frac{\text{daN}}{\text{cm}^2}$

Effort total de traction exercée sur une section du boulon :

$$N_{TOT}^* = N^* + F_1^* = 375 + 15276,5 = \underline{\underline{15651,5 \text{ daN}}}$$

Ce qu'on doit vérifier  $\begin{cases} N_{TOT} \leq N_0 = 0,8 A_r \sigma_{cb} \\ T^* \leq 1,1 \varphi (N_0 - N^*) \end{cases}$

avec  $N_0$  : effort de précontrainte du boulon.

$\varphi$  : coef de frottement  $\varphi = 0,3$  simple brossage

$$N_0 = 0,8 \left( 0,8 \pi \frac{\phi^2}{4} \right) \times \sigma_{cb} = 0,64 \times \frac{\pi}{4} \times (2)^2 \times 8800 = 17693,4 \text{ daN}$$

Donc  $N_{TOT}^* < N_0$

$$T^* = \frac{T}{8} = \frac{17588,0}{8} = 2198,5 \text{ daN}$$

$$1,1 \varphi (N_0 - N^*) = 1,1 \times 0,3 (17693,4 - 375) = 5715,5 \text{ daN}$$

Donc  $T^* < 1,1 \varphi (N_0 - N^*)$  Pas de cisaillement de boulons.

Le moment peut changer de sens, c'est la raison pour laquelle notre assemblage est symétrique.

Assemblage frontal Poutre IPE300 - Poteau HEB 400

Il s'agit de la même disposition que l'assemblage précédent, seuls les efforts changent.

$$M = 9090 \text{ m} \cdot \text{daN}$$

$$T = 8930 \text{ daN}$$

$$N = -1070 \text{ daN} \quad \text{Traction.}$$

Nous prenons des boulons H-R de diamètre  $\phi = 16 \text{ mm} \Rightarrow d_{tr} = 18 \text{ mm}$

Conditions de distances :  $3d < s < 70d \Rightarrow 54 < s < 180$

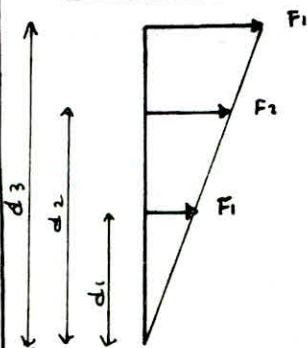
$$\frac{0,8T^*}{e_{min} \sigma_e} < 1,5d$$

$$1,5d < s_e < 2,5d \Rightarrow 27 < s_e = s_t < 45$$

$$1,5d < s_t < 2,5d$$

Soient :  $s = 120 \text{ mm}$  et  $s_e = s_t = 40 \text{ mm}$ .

Effort de traction engendré par M



$$d_3 = 120 - 30 = 90 \text{ mm}$$

$$d_2 = d_3 + s = 210 \text{ mm}$$

$$d_1 = d_2 + s = 330 \text{ mm}$$

Force de traction exercée sur les boulons de niveau 1

$$F_1 = \frac{M d_1}{d_1^2 + d_2^2 + d_3^2} = 18620 \text{ daN}$$

$$\text{Force de traction dans 1 boulon : } F_1^* = \frac{F_1}{2} = \frac{18620}{2} = 9310 \text{ daN}$$



Effort de traction exercé sur un boulon (engendré par N)

$$\frac{N}{8} = N^* = \frac{1070}{8} = 134 \text{ dan}$$

EFFORT total de traction sur un boulon du niveau 1

$$N_{\text{TOT}}^* = N^* + F_1^* = 134 + 9310 = 9444 \text{ dan}$$

$$N_0 = 0,8 A_r \sigma_{eb} = 0,8 \times 0,8 \times \pi \times \frac{1,6^2}{4} \times 8800 = 11323,8 \text{ dan}$$

$$N_{\text{TOT}}^* < N_0$$

Verification au cisaillement:  $T^* = \frac{T}{8} \leq 1,1 \varphi (N_0 - N^*)$

$$T^* = 1116 \text{ dan} < 1,1 \times 0,3 (11323,8 - 134) = 3692,6 \text{ dan} \quad \text{vérifié}$$

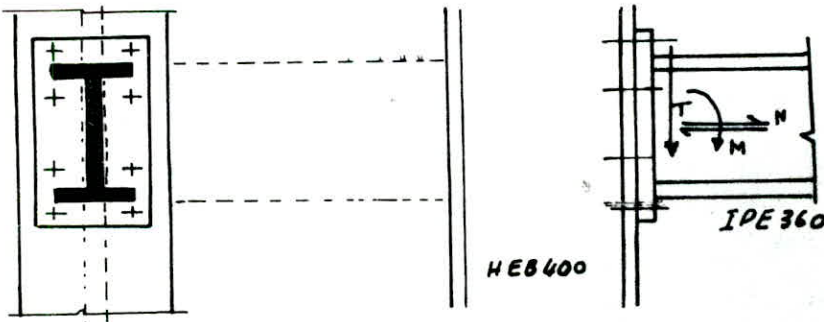
Condition de pression diamétrale:

$$\frac{T^*}{d \cdot e_{\min}} = \frac{1116}{1,8 \times 1,35} = 459,3 \ll 45e \quad \text{vérifiée}$$

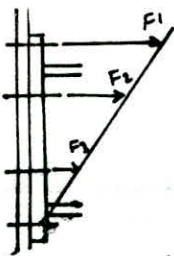
### Portique longitudinal 2

Assemblage poteau IPE360 - Poteau HEB400: Dans ce cas la platine d'extrémité est assemblée à la semelle

Les moments sont susceptibles de changer de sens. Nous prévoyons un assemblage symétrique.



EFFORTS:  $M^{\max} = 15,684 \text{ kdan}\cdot\text{m}$   
 $N^{\max} = -2,02 \text{ kdan}$  (Traction)  
 $T^{\max} = 14,442 \text{ kdan}$



Nous prenons des boulons H-R10.9 de diamètre  $\phi = 16 \text{ mm}$   
 $\Rightarrow d_{tr} = 18 \text{ mm}$

Nous prenons les mêmes dispositions des assemblages précédents

$$\delta = 140 \text{ mm}$$

$$\delta_p = \delta_t = 40 \text{ mm}$$

$$e_s = 24 \text{ mm}, e_{\text{platine}} = 20 \text{ mm} \Rightarrow e_{\min} = 20 \text{ mm}$$

$$\text{Pression diamétrale: } \frac{T^*}{d \cdot e_{\min}} = \frac{14442/8}{1,8 \times 2} \ll 45e$$

134

$$d_3 = 11 \text{ cm} \quad d_2 = 25 \text{ cm} \quad d_1 = 39 \text{ cm.}$$

Effort de traction exercé sur les boulons du niveau 1 :  $F_1 = \frac{M d_1}{\sum_{i=1}^3 d_i^2}$

$$F_1 = \frac{15684 \times 10^2 \times 39}{39^2 + 25^2 + 11^2} = 26981,7 \text{ daN}$$

Effort de traction exercé sur un boulon du niveau 1 :  $F_1^* = \frac{F_1}{2}$

$$F_1^* = 13490,9 \text{ daN} > N_0 = 0,8 \text{ Ar } \sigma_{eb}$$

On augmente le diamètre des boulons :  $\phi = 18 \text{ mm} \Rightarrow d_{tr} = 20 \text{ mm}$ .

$$\Rightarrow \begin{matrix} 60 < \delta < 200 & \text{vérifiées.} \\ 30 < \delta t = \delta l < 50 \end{matrix}$$

Effort de précontrainte dans le boulon :  $N_0 = 0,8 \text{ Ar } \sigma_{eb}$

$$N_0 = 0,8 \left( 0,8 \pi \frac{\phi^2}{4} \right) 8800 = 14331,6 \text{ daN}$$

Effet de N : chaque boulon reprend  $\frac{N}{8} = N^* = \frac{2020}{8} = 252,5 \text{ daN}$

effort total de traction exercé sur un boulon :

$$N_{TOT}^* = N^* + F_1^* = 13743,4 \text{ daN} < N_0 = 14331,6 \text{ daN}$$

Vérification du cisaillement de boulons.

$$T^* = \frac{T}{8} = \frac{14442}{8} = 1805 \text{ daN} < 1,1 \times 0,3 (N_0 - N^*) = 4646 \text{ daN}$$

Véifié

Dimensions de la platine :

$$\text{largeur } b = \delta + 2\delta t = 140 + 80 = 220 \text{ mm}$$

$$\text{hauteur } h = 3\delta + 2\delta l = 420 + 80 = 500 \text{ mm.}$$

$$\text{épaisseur } e_p = 20 \text{ mm}$$

Vérifications des cordons de soudures (poutre-platine)

Assemblage IPE360 - Platine.

Les cordons de semelles reprennent  $N$  et  $M$

et les cordons d'âme reprennent  $T$  et  $N$

efforts :  $M = 17,960 \text{ kdaN.m.}$

$$N = 3 \text{ kdaN}$$

$$T = -17,588 \text{ kdaN}$$

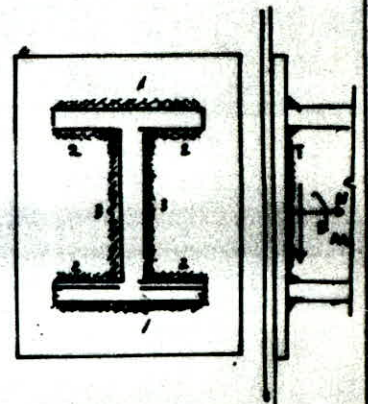
épaisseur de la platine  $e_p = 20 \text{ mm}$ .

cordons de soudures épaisseur  $a = 14 \text{ mm} \rightarrow a\alpha = 12 \text{ mm}$

Longueurs utiles :

$$l_1 = 170 - 2 \times 14 = 142 \text{ mm} \quad \text{pour les cordons (1)}$$

$$l_2 = \frac{170-8}{2} - 2 \times 14 = 53 \text{ mm} \quad \text{pour les cordons (2)}$$





$$l_3 = 360 - 2 \times 12,7 - 28 = 306,6 \text{ mm} \quad a_1, d_1 = a_2, d_2 = a_3, d_3 = 12 \text{ mm.}$$

$$\sum l_i a_i \alpha_i = a \sum l_i = 1,2 (2 \times 14,2 + 4 \times 5,3 + 2 \times 30,66) = 133,104 \text{ cm}^2$$

inertie totale des cordons  $f_x - x$  :

$$h^2 l_1 a_1 \alpha_1 + 2 (h - 2e_s)^2 l_2 a_2 \alpha_2 = 1,2 [36^2 \times 14,2 + 2 \times 33,46^2 \times 5,3] = 36325 \text{ cm}^4$$

CM. 66. Art 4-312, 62 (commentaires)

Dans le cas où les attaches sont symétriques / l'axe du couple M  
les vérifications à faire sont :

- Pour les cordons assemblant semelles au poteau (1 et 2) :

$$1,183 \left[ \frac{N}{\sum l_i a_i} + \frac{M h}{h^2 l_1 a_1 \alpha_1 + 2 (h - 2e_s)^2 l_2 a_2 \alpha_2} \right] \leq \sigma_e \quad (I)$$

- Pour les cordons assemblant âme au poteau (3) :

$$\sqrt{1,4 \left( \frac{N}{\sum l_i a_i d_i} \right)^2 + 1,8 \left( \frac{T}{2 l_3 a_3 \alpha_3} \right)^2} \leq \sigma_e \quad (II)$$

Application numérique

$$(I) : 1,183 \left[ \frac{3000}{133,104} + \frac{36 \times 17760 \times 10^2}{36325} \right] = 2108,9 \text{ daN/cm}^2 < \sigma_e = 2400$$

$$(II) : \sqrt{1,4 \left( \frac{3000}{133,104} \right)^2 + 1,8 \left( \frac{17588}{2 \times 1,2 \times 30,66} \right)^2} = 322 \text{ daN/cm}^2 < \sigma_e = 2400$$

Assemblage poutre IPE 300 - Platine : cordons de soudures : épaisseur  
 $a = 10 \text{ mm} \Rightarrow a \alpha = 8,8 \text{ mm}$

Efforts :

$$\begin{aligned} M &= 9090 \text{ mdaN} \\ T &= 8930 \text{ daN} \\ N &= 1070 \text{ daN} \end{aligned}$$

Dimensions de la platine

$$\begin{aligned} b &= 5 + 25l = 120 + 80 = 200 \text{ mm} \\ h &= 35 + 25l = 360 + 80 = 440 \text{ mm} \\ e_p &= 20 \text{ mm.} \end{aligned}$$

IPE 300

$$\begin{aligned} b &= 30 \text{ cm} & e_s &= 1,07 \text{ cm} \\ b &= 18 \text{ cm} & e_a &= 0,91 \text{ cm.} \end{aligned}$$

Longueurs utiles des cordons :

$$\left. \begin{aligned} l_1 &= 150 - 2 \times 10 = 130 \text{ mm} \\ l_2 &= \frac{150 - 9,1}{2} - 20 = 51,45 \text{ mm} \\ l_3 &= 300 - 2 \times 1,07 - 20 = 297,86 \text{ mm.} \end{aligned} \right\} \Rightarrow \sum l_i a_i \alpha_i = 98,44 \text{ cm}^2$$

Vérifications

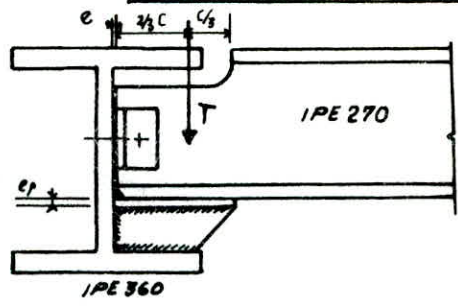
$$(I) : 1,183 \left[ \frac{1070}{98,44} + \frac{9090 \times 30 \times 10^2}{0,88 (13 \times 33^2 + 2 \times 51,45 (30 - 2 \times 1,07)^2)} \right] = 1385 < 2400 \frac{\text{daN}}{\text{cm}^2}$$

$$(II) : \sqrt{1,4 \left( \frac{1070}{98,44} \right)^2 + 1,8 \left( \frac{8930}{2 \times 25,93 \times 900} \right)^2} = 262,85 \frac{\text{daN}}{\text{cm}^2} < 2400$$

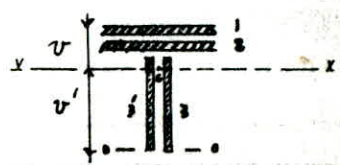
136  
ASSEMBLAGE POUTRE - SOLIVE

$e = 0,4 \text{ cm}$

$e_p = 20 \text{ mm}$



soudures de la chaise  
(plaqué d'appui + raidisseur)



- Les solives sont articulées aux poutres.
- La liaison entre la semelle inférieure de la poutre portée (solive) à l'éclisse de la chaise est réalisée par des soudures
- Les cordons 1, 2, 3 reprennent le moment dû à l'excentricité de T
- Les cordons 3, 3' reprennent l'effort tranchant T qui est la réaction d'appui de la solive.

la largeur de la plaque d'appui :  $c > \frac{b}{2}$  avec  $b$  : largeur de la poutre portée  
nous prenons  $c = 9 \text{ cm} > 7,5 \text{ cm}$

ce type d'assemblage est réalisée aux planchers courants et terrasse du bloc C.

Plancher courant :  $G = 477 \text{ daN/cm}^2$   $P = 250 \text{ daN/cm}^2$   
 $l'$  (écartement entre 2 solives) = 1,5 m

la solive est soumise à une charge uniformément répartie  $q$   
 $q = (\frac{4}{3}G + \frac{3}{2}P) l' = 1516,5 \text{ daN/ml}$ .

L'effort tranchant maximal engendré par  $q$  est :  $T_{max} = \frac{ql}{2} = \frac{1516,5 \times 6}{2} = 4550,5 \text{ daN}$

Moment dû à l'excentricité de T :  $M = T(\frac{2}{3}c + e) = 4550 \times 0,064 = 291,2 \text{ mdaN}$

$$\sigma_{II} = \frac{T}{2l_3 a_3 \alpha_3}$$

soit  $a = 6 \text{ mm} \rightarrow a\alpha = 5,6 \text{ mm}$

$$l_3 = 360 - 290 - 1,27 - 20 = 59,3 \text{ mm}$$

longueur utile  $l_3 = 59,3 - 2 \times 6 = 45,3 \text{ mm}$ .

$$\sigma_{II} = \frac{4550}{2 \times 4,53 \times 0,56} = 896,8 \text{ daN/cm}^2$$

longueurs des cordons 1, 2 :  $l_1 = l_2 = 135 - 12 = 123 \text{ mm}$   
 $a\alpha = 5,6 \text{ mm}$

Position du centre de gravité :  $G / 0-0$

$$y_G = \frac{2l_3 a_3 \alpha_3 \times \frac{l_3}{3} + (l_2 a_2 \alpha_2 (l_3 + \frac{a\alpha}{2}) + l_1 a_1 \alpha_1 (l_3 + a\alpha + \frac{a\alpha}{2} + e_p))}{\sum_{i=1}^3 l_i a_i \alpha_i} = 5,06 \text{ cm}$$

$\rightarrow y = 2,810 \text{ cm}$   
 $y' = 2,795$

$$I_x = 2(l_3 a_3 \alpha_3 \times \frac{2 \times 790^2}{3}) + (l_2 a_2 \alpha_2 \times \frac{2 \times 25^2}{3}) + (l_1 a_1 \alpha_1) 2,81^2 = 94454 \text{ cm}^2$$

$$G = \frac{M U}{I_x} = \frac{291,2 \times 2,81 \times 10^2}{94454} = 866,32 \text{ daN/cm}^2$$



contrainte finale  $C = \sqrt{\sigma_{11}^2 + \sigma^2} = \sqrt{866,3^2 + 896,8^2} = 1246,9 \text{ daN/cm}^2$

Avérifier  $\frac{C_{finale}}{0,75} \leq \sigma_e$  soit  $\frac{1512,8}{0,75} = 1662,5 \text{ daN/cm}^2 < 2400$

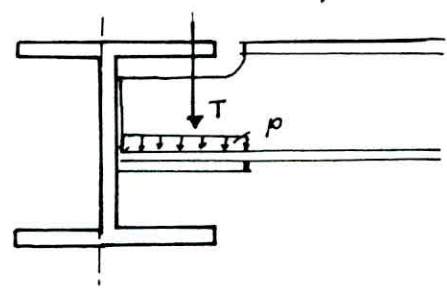
Les soudures assemblant la chaise à la poutre porteuses sont ainsi vérifiées.

On fixe une cornière de part et d'autre de l'âme de la solive par un boulon ordinaire  $\phi 12$ . Ces 2 cornière sont assemblés à l'âme de la poutre porteuse par 2 boulons ordinaires  $\phi 12$ . Ces boulons ne reprennent aucun effort, or la chaise (plaque d'assise + raidisseur) est conçue, à reprendre tous efforts (T & M).  
cornières :  $40 \times 40 \times 4$ .

Vérification de l'âme de solive à la pression localisée :  $p = \frac{T}{e_a \cdot c} \leq \sigma_e$

$e_a$  : épaisseur de l'âme de solive     $c$  : largeur de la plaque d'assise  
T : effort tranchant max. transmis par la solive à la chaise.  
p : pression localisée

$p = \frac{4550}{0,66 \times 12} \approx 575 \text{ daN/cm}^2 < \sigma_e$  vérifié.



couvre-joints de poteaux **BLOC C**

La longueur limitée des profilés métalliques commercialisés étant limitée à 12m et la hauteur de notre bâtiment =  $13^{\text{m}} 30$ , il est donc nécessaire de réaliser un couvre joints de poteaux à  $\frac{h_i}{4}$  au dessus du 3<sup>e</sup> étage.

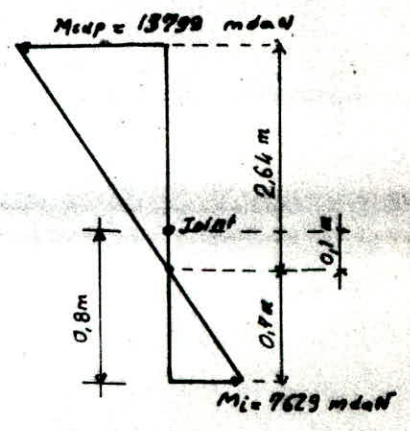
$\frac{h_i}{4} = \frac{334}{4} = 83,5 \text{ cm}$ , on prends 80cm.

Efforts maximums :  $N = 21710 \text{ daN}$  ;  $T = 4937 \text{ daN}$  ,  $M_s = 15799 \text{ mdaN}$   
 $M_i = 7629 \text{ mdaN}$

Moment au niveau du joint :  
 $M = \frac{15799 \times 0,1}{2,4} \approx 600 \text{ mdaN}$

caractéristiques géométriques du poteau :

- HEB400**  
 $h = 400 \text{ mm}$      $I_x = 57680 \text{ cm}^4$   
 $b = 300 \text{ mm}$      $W_x = 2880 \text{ cm}^3$   
 $e_a = 13,5 \text{ mm}$      $i_x = 17,1 \text{ cm}$   
 $e_s = 24 \text{ mm}$      $I_y = 10820 \text{ cm}^4$   
 $h_i = 298 \text{ mm}$      $W_y = 721 \text{ cm}^3$   
 $S^x = 1620 \text{ cm}^3$      $i_y = 7,40 \text{ cm}$   
 $A = 197,8 \text{ cm}^2$   
 $J = 382 \text{ cm}^4$



Couvre → joints de semelles : ils sont sollicités par l'effort normal et le moment

Effort total  $N_{TOT} = N_1^m$  (dû à M) +  $N_s$  (dû à N).

où  $N_1^m$  est la part de l'effort normal reprise par les semelles.

cet effort de traction est proportionnel à la section  $A_s$  :  $N_s = \frac{N \cdot A_s}{A}$

$A_s = (b \times e) \times 2 = (30 \times 2,4) \times 2 = 144 \text{ cm}^2 \Rightarrow N_s = 21710 \times \frac{144}{197,8} = 15805 \text{ daN}$

$N_1^m = \frac{M}{h} = \frac{600 \times 10^2}{40} = 1500 \text{ daN}$  h : hauteur d'un HE8400

$N_{TOT} = \frac{N_1^m + N_s}{\pi} = 1500 + 15805 = 17305 \text{ daN}$

l'épaisseur du couvrejoint doit être au moins égale à  $e_{semelle} = 24 \text{ mm}$ .

soit  $e_{cj} = 28 \text{ mm}$   $b_{cj} = 280 \text{ mm}$   $\Phi_{boulon} : 22 \text{ mm} \rightarrow d_{tr} = 24 \text{ mm}$

le nombre de boulons doit vérifier  $1,54 \times \frac{N^*}{A_r} \leq \sigma_e \Rightarrow n \geq 1,54 \frac{N_{TOT}}{A_r \sigma_e}$  ;  $N^* = \frac{N_{TOT}}{\pi}$

$n = 1,54 \times \frac{17305}{0,8 \frac{(\pi \times 2,2^2)}{4} \times 2400} = 3,63$  on prend 4 boulons par demi-éclisse

$\frac{d}{e_{min}} = \frac{24}{24} = 1 < 6$  la vérification à la pression diamétrale est inutile.

Conditions de distances :

(i) entaxe de boulons :  $\delta$   $3d < \delta < 10d \Rightarrow 72 < \delta < 240$   
soit  $\delta = 120 \text{ mm}$

(ii) pince longitudinale et transversale  
 $\frac{0,8 T^*}{e_{min} \sigma_e} = 6 \text{ mm} < 1,5 d$   
 $1,5d < \delta_l < 2,5d$   
 $1,5d < \delta_t < 2,5d \Rightarrow 36 < \delta_l, \delta_t < 60$   
 $\delta_l = \delta_t = 50 \text{ mm}$

Soufre joint d'âme : ils sont sollicités par  $N_a$  et T.

$T = 4937 \text{ daN}$

et  $N_a$  : part de l'effort normal reprise par l'âme :  $N_a = N - N_s$   
 $N_a = 21710 - 15805 = 5905 \text{ daN}$

nous prenons l'épaisseur de l'éclisse d'âme  $e_{ca} = 20 \text{ mm}$ .  
et  $h_{ca} < h_1$  nous prenons  $h_{ca} = 280 \text{ mm}$

$e_{min} = e_a = 13,5 \text{ mm} < 20 \text{ mm} \Rightarrow d_{tr} \geq e_{min} + 2 \text{ mm} = 15,5 \text{ mm}$   
soit  $d_{tr} = 24 \text{ mm}$  d'où  $\Phi_{boulon} = 22 \text{ mm}$ .

$\frac{d}{e_{min}} = \frac{24}{13,5} = 1,8 < 3$  (Double section cisailée)  
la vérification à la pression diamétrale est inutile.

on prévoit 4 boulons ordinaires  $\Phi_{22}$  par demi-éclisse d'âme

conditions de distances :  $3d < \delta < 10d \Rightarrow 72 < \delta < 240$

$1,5d < \delta_l < 2,5d \Rightarrow 36 < \delta_l, \delta_t < 60$   
 $\delta_l = \delta_t = 50 \text{ mm}$

A prendre  $\delta = 120 \text{ mm}$   
 $\delta_l = \delta_t = 50 \text{ mm}$



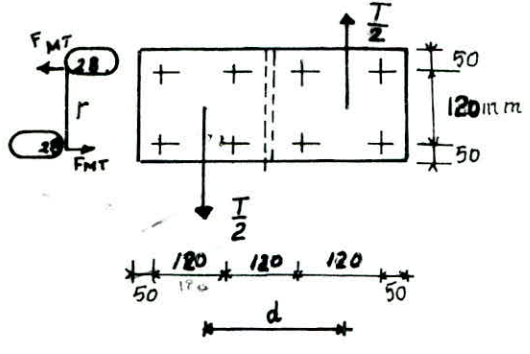
### Vérifications des éclisses

1. Eclisse de semelles : l'éclisse de semelle est sollicitée par un effort de traction  $N_{TOT} = 17305 \text{ daN}$

soit  $A_{ne}$  : la section nette de l'éclisse  $A_{ne} = e_{cj} (b_{cj} - 2d_{tr})$

$$\sigma = \frac{N_{TOT}}{A_{ne}} = \frac{M_{OT}}{e_{cj} (b_{cj} - 2d_{tr})} = \frac{17305}{2,6(22 - 2 \times 2,4)} = 387,4 \text{ daN/cm}^2 < \sigma_e$$

2. Couvre-joints d'âme :



$$d = 180 \text{ mm} + 60 \text{ mm} + 60 \text{ mm} = 240 \text{ mm}$$
$$d = 2r$$

$$M_T = \frac{T}{2} \cdot d = T \cdot r = 4937 \times 1,2 = 9874 \text{ mdaN}$$

$$F_{MT} = \frac{M_T}{r}$$

effort repris par chaque boulon :

$$F_{MT}^* = \frac{F_{MT}}{2} = \frac{M_T}{2r} = \frac{T \cdot r}{2r} = \frac{T}{2}$$

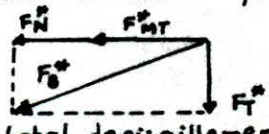
Effort de cisaillement dû à T, repris par un boulon :

$$F_T^* = \frac{T/2}{4} = \frac{T}{8}$$

L'effort normal crée un effort de cisaillement, soit pour un boulon :  
ici il s'agit double section cisailée, car on a 3 pièces assemblées  
(2 éclisses d'âme et l'âme)

N va se répartir en : 16 (sections cisailées d'âme) + 8 (sem. sup) + 8 (sem. inf)  
soit 32 sections cisailées. Soit 16 sections par demi-assemblage

$$F_N^* = \frac{N}{16}$$



soit chaque boulon est soumis à un effort total de cisaillement :  $F_B^*$

$$F_B^* = \sqrt{(F_N^* + F_{MT}^*)^2 + (F_T^*)^2} = \sqrt{\left(\frac{N}{16} + \frac{T}{2}\right)^2 + \left(\frac{T}{8}\right)^2}$$

$$F_B^* = \sqrt{\left(\frac{21710}{16} + \frac{4937}{2}\right)^2 + \left(\frac{4937}{8}\right)^2} = 3874,8 \text{ daN}$$

verification du cisaillement de boulon :

$$1,54 \frac{F_B^*}{A_r} \leq \sigma_e \Rightarrow A_r \geq \frac{1,54 F_B^*}{2400} = 2,49 \text{ cm}^2$$

$$\text{Soit } \frac{\pi \phi^2}{4} = \frac{2,49}{0,8} = 3,10 \text{ cm}^2 \Rightarrow \phi \geq 19,8 \text{ mm}$$

$$\text{soit des } \phi 22 \Rightarrow A_r = 0,8 \times \frac{\pi}{4} \times (2,2)^2 = 3,04 \text{ cm}^2$$

$$1,54 \times \frac{3874,8}{3,04} = 1962,2 < \sigma_e = 2400 \text{ daN/cm}^2$$

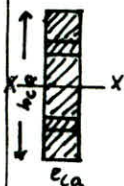
La résistance au cisaillement est assurée.

Vérification de l'éclisse de l'âme :  $h_{ca} = 220 \text{ mm}$ .

$$L_{ca} = 3 \times 120 + 50 + 50 = 460 \text{ mm}$$

$$e_{ca} = 20 \text{ mm}$$

1. Vérification au cisaillement :  $\tau = \frac{T/2 \cdot S^*}{Q_a I} \leq \frac{\sigma_e}{1,54}$



$S^*$  : moment statique de l'éclisse :  $S^* = \frac{e_{ca} \cdot h_{ca}^2}{8} = \frac{2 \times (22)^2}{8} = 121 \text{ cm}^3$

$I$  : moment d'inertie de l'éclisse :  $I = \frac{e_{ca} \times h_{ca}^3}{12} = \frac{2 \times (22)^3}{12} = 1774,7 \text{ cm}^4$

$$\tau = \frac{4937/2 \times 121}{2 \times 1774,7} = 84,2 \text{ daN/cm}^2 < \frac{\sigma_e}{1,54} = 155,8 \frac{\text{daN}}{\text{cm}^2}$$

2. Vérification à la flexion :  $\sigma_N + \sigma_{MT} \leq \sigma_e$

Soit  $v = h_{ca}/2$

$$\sigma_{MT} = \frac{M_T v}{I} = \frac{(9874 \times 10^2) \times 1,1}{1774,7} = 612 \text{ daN/cm}^2$$

$$\sigma_N = \frac{F_N A}{e_{ca} h_{ca}} = \frac{F_N^* \times 2 \times 4}{e_{ca} h_{ca}} = \frac{N}{16} \times 8 = \frac{N}{2} = \frac{N}{e_{ca} \cdot h_{ca}} \quad (1)$$

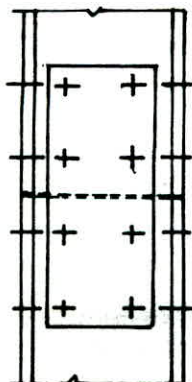
Mais dans le calcul de l'éclisse de semelle, nous avons supposé que la part revenant à l'âme ou à la semelle est proportionnelle à leur sections respectives.

$$\text{Soit } \sigma_N = \frac{F_N A}{e_{ca} \cdot h_{ca}} = \frac{5905}{e_{ca} h_{ca}} = \frac{5905}{2 \times 22} = 134,2 \text{ daN/cm}^2$$

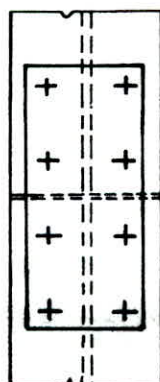
$$\sigma_N + \sigma_M = 746,2 \text{ daN/cm}^2 < \sigma_e = 2400$$

en réalité on doit vérifier avec la relation<sup>(1)</sup> ci-dessus :  $\sigma_N = \frac{N/2}{e_{ca} h_{ca}} = 266,7$

d'où  $\sigma_N + \sigma_M = 858,7 < \sigma_e$  donc la résistance à la flexion est vérifiée.



eclisse de l'âme



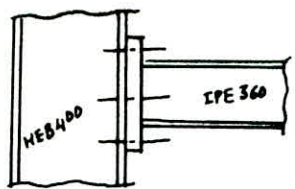
eclisse de semelle



### Assemblages : BLOCA

sens transversal: -

assemblage Poutre IPE360 et poteau HEB400.  
il s'agit d'un encastrement : donc on le realise avec des boulons HR pour eviter le jeu.  
Cet assemblage sera realise en soudant la poutre a une platine, cette derniere sera boulonné sur le poteau.



Cet assemblage est soumis a :-  
 $M_{max} = 12,19 \text{ kdaN.m}$   
 $N_{max} = 1,83 \text{ kdaN}$   
 $T_{max} = 7,01 \text{ kdaN}$

on prévoit des assemblages symétriques ; en cas d'inversion de sens  
l'épaisseur de la platine :  $e_p = 10 \text{ mm}$   
donc  $e_{min} = e_p = 10 \text{ mm} \rightarrow \phi = 22 \quad d = \phi + 2 = 24 \text{ mm}$

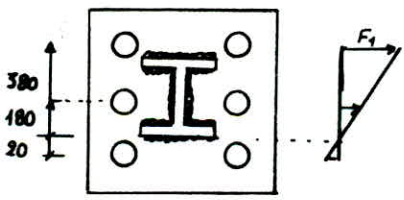
Conditions de distances: -

$$1,5d = 36 \text{ mm} < \delta_b < 2,5d = 60 \text{ mm}$$
$$3d = 72 \text{ mm} < \delta < 10d = 240 \text{ mm} \quad (\text{pas risque d'oxydation})$$

$$\sup \begin{cases} 1,5d = 36 \\ 0,8T^* \\ e_{min} \end{cases} < \delta_l < 2,5d = 60 \text{ mm}$$

Pression diamétrale:  $\frac{T^*}{d \cdot e_{min}} = \frac{1168,33}{24 \cdot 1} = 486,81 < 4 \cdot 2400 \text{ daN/cm}^2$  (Boulons H-R)

on prend:  $\delta_l = \delta_b = 40 \text{ mm} \quad , \quad \delta = 200 \text{ mm}$



effet du moment :-  
on prend en consideration que les boulons qui travaillent a l'arrachement.

$$F_1 = \frac{M \cdot d_1}{\sum d_i^2} = \frac{12,19 \cdot 10^3 \cdot 38}{(38^2 + 18^2)} = 26200,23 \text{ daN}$$

Pour un boulon:  $F^* = \frac{F_1}{2} = 13100,11 \text{ daN}$

Effet de  $N$  et  $T$  :-

$$T^* = \frac{T}{6} = 1168,33 \text{ daN}$$
$$N^* = \frac{N}{6} = 305 \text{ daN}$$
$$\begin{cases} T^* \leq 1,19 (A_r \cdot 0,8 \cdot \sigma_{ts} - N^*) \\ \text{et} \\ N_r^* \leq N_r \end{cases}$$

Precontrainte ;  $N_r = 0,8 A_r \sigma_{ts}$   
les boulons : HR 10.9 =  $\sigma_{ts} = 9000 \text{ daN/cm}^2$  }  $N_r = 0,8 \cdot 303 \cdot 9000 = 21816 \text{ daN}$   
 $\psi = 0,3$  (brossage)

$T^* = 1168,33 \text{ daN} \leq 1,19 (N_r - N^*) = 1,19 (21816 - 305) = 7098,63 \text{ daN}$  vérifié.

Effet de  $M$  et  $N$  :-

$N^* + F^* \leq N_r$   $13100,11 + 305 = 13405,11 < N_r = 21816 \text{ daN}$  vérifié.

Verifications des soudures :-

on prend :  $\alpha = 8 \text{ mm} \rightarrow \alpha \alpha = 0,72 \text{ cm}$

$$l_1 = b - 2\alpha = 17 - 2 \cdot 0,8 = 15,4 \text{ cm}$$

$$l_2 = \frac{b - e_0}{2} - 2\alpha = \frac{17 - 0,8}{2} - 1,6 = 6,5 \text{ cm}$$

$$l_3 = h - 2e_0 - 2\alpha = 36 - 2 \cdot 1,27 - 1,6 = 31,86 \text{ cm}$$

$$\alpha d \sum l_i = 0,72 (2l_1 + 4l_2 + 2l_3) = 86,774 \text{ cm}$$

$$\alpha d \cdot 2l_3 = 0,72 \cdot 2 \cdot 31,86 = 45,878 \text{ cm}$$

$$M = 12,19 \text{ kdaN.m} \quad , \quad N = 1,83 \text{ kdaN} \quad , \quad T = 7,01 \text{ kdaN}$$

Cordons de semelles : (art. 4.312.62)

Effet de N, M :-

$$-\sigma_c \leq 1,18 \left[ \frac{N}{\sum l \alpha} + \frac{Mh}{h^2 l \alpha + 2(h-2e)^2 l_2 \alpha} \right] \leq \sigma_c$$

$$1,18 \left[ \frac{1,83 \cdot 10^3}{86,774} + \frac{12,19 \cdot 10^5 \cdot 36}{0,72 [15,4 \cdot 36^2 + 2 \cdot (36 - 2 \cdot 1,27)^2 \cdot 6,5]} \right] = \begin{cases} 2108,78 < \sigma_c = 2400 \text{ daN/cm}^2 \\ -1744,92 > -\sigma_c = -2400 \text{ daN/cm}^2 \end{cases}$$

verifié

Cordons de l'âme

Effet N, T ;  $\sqrt{1,4 \left( \frac{N}{\sum l \alpha} \right)^2 + 1,8 \left( \frac{T}{2l_3 \alpha} \right)^2} \leq \sigma_c$

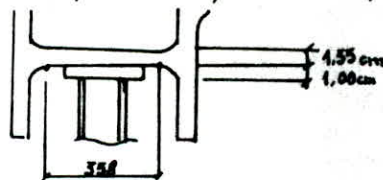
$$\sqrt{1,4 \left( \frac{1,83 \cdot 10^3}{86,774} \right)^2 + 1,8 \left( \frac{7,01 \cdot 10^3}{45,878} \right)^2} = 206,51 < \sigma_c = 2400 \text{ daN/cm}^2$$

- On prévoit la même disposition pour les 2 poutres transversales.

- sens longitudinal :-

Assemblage poutre + poteau : on prend la poutre la plus sollicitée :

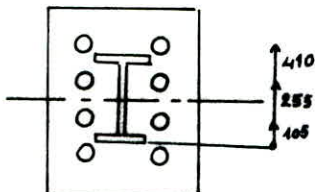
$$\begin{cases} M = 20 \text{ kdaN.m} \\ T = 17,30 \text{ kdaN} \\ N = 4,64 \text{ kdaN} \end{cases}$$



$$e_{min} = 1 \text{ cm} \rightarrow \phi 22 \rightarrow d = 24 \text{ mm}$$

Pression diamétrale :  $\frac{d_{tr}}{e_{min}} = \frac{24}{10} = 2,4 < 6$  vérifié.

conditions de distances :-  $36 < \delta_l, \delta_t < 60 \text{ mm}$  ,  $72 \text{ mm} < \delta < 240 \text{ mm}$   
on prend ;  $\delta = 150 \text{ mm}$  ,  $\delta_l = \delta_t = 40 \text{ mm}$ .



effort due au Moment :  $F_1 = \frac{M d_1}{\sum d_i^3} = \frac{20 \cdot 10^5 \cdot 41}{(41^3 + 25,5^3 + 10,3^3)} = 55585,91 \text{ daN}$

effort due a 1 boulon :  $F_1^* = \frac{F_1}{2} = 16792,96 \text{ daN}$

Effet de N et T :-  $T^* = \frac{17,30 \cdot 10^3}{8} = 2162,5 \text{ daN}$  ,  $N^* = \frac{4,64 \cdot 10^3}{8} = 580 \text{ daN}$ .

$T^* = 2162,5 \leq 1,14 (N_0 - N^*) = 1,14 \cdot 0,3 (21816 - 580) = 7007,88 \text{ daN}$  ,  $N^* < N_0$  vérifié

Effet de M et N :-

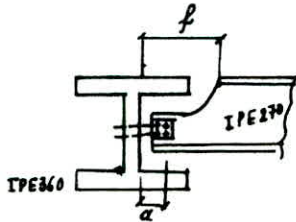
$N^* + F^* = 580 + 16792,96 = 17372,96 \text{ daN} < N_0 = 21816 \text{ daN}$  vérifié



Assemblage Solive (IPE 270) et Poutre (IPE 360)

l'articulation sera réalisé par des Boulons ordinaires.

P. courant :  $G = 477 \text{ daN/cm}^2$   
 $P = 250 \text{ daN/cm}^2$  }  $q = (4/3 G + 3/2 P) l' = 1561,5 \text{ daN/ml}$   $l' = 1,5 \text{ m}$   
 $T = \frac{q l}{2} = \frac{1561,5 \times 6}{2} = 4549,5 \text{ daN.}$



- Cisaillement :-

Poutre portée : (T, M)  $n = 2$  en double cisaillement

On prend une corniere a ailes egales : 750x50x5

pour les boulons on prend  $\phi 14 \rightarrow d = 16 \text{ mm} > e_{min} + 2$ .  $A_r = 1,15 \text{ cm}^2$

Conditions de distances :-

$48 < \delta < 160 \text{ mm}$

$24 < \delta_t, \delta_e < 40 \text{ mm}$

on prend :  $\delta = 100 \text{ mm}$ ,  $\delta_t = \delta_e = 25 \text{ mm}$

• Pour la poutre portée (IPE 270), il existe un moment due à l'excentricité (a) d'où on essaie de diminuer cette excentricité pour avoir le plus faible moment.

$T^* = \sqrt{T_{(T)}^{*2} + F_{(M)}^{*2}}$   $T_T^* = \frac{T}{4} = 1137,375 \text{ daN.}$

$F_M^* = \frac{M d}{2 \sum d_i^2} = T \cdot \alpha \cdot \frac{d}{2 d^2} = \frac{4549,5 \cdot 0,025}{2 \cdot 0,1} = 568,688 \text{ daN.} = \frac{T_T^*}{2}$

2 boulons cisailés.  $T^* = 1271,62 \text{ daN.}$

$T^* = T_{(T)}^* \sqrt{1 + \frac{1}{4}} = 1,12 T_{(T)}^*$



12% c'est considerable.

$1,54 \cdot \frac{T^*}{A_r} = 1702,87 \text{ daN/cm}^2 < \sigma_c = 2400 \text{ daN/cm}^2$  verifie.

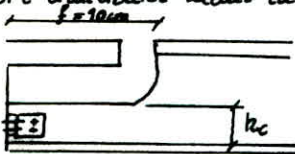
Poutre porteuse : (T)

$1,54 \cdot \frac{T^*}{A_r} = 1,54 \cdot \frac{1137,375}{1,15} = 1523,09 < \sigma_c = 2400 \text{ daN/cm}^2$  verifie.

- Pression diametrale :-

$e_{min} = 5 \text{ mm}$ ,  $\frac{d}{e_{min}} = \frac{1,6}{0,5} = 3,2 < 6$  pas la peine de verifier la pression diametrale

- Effort tranchant dans la poutre portée :



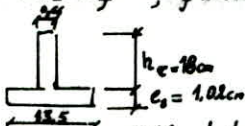
il ne faut pas oublier le grugeage.

$\tau = \frac{T}{(h_c - 2 d_{br}) e_a} \leq \frac{\sigma_c}{1,54}$   $h_c = 18 \text{ cm}$

$\tau = 465,76 < \frac{\sigma_c}{1,54} = 1558,44 \text{ daN/cm}^2$  verifie.

- Moment flechissant dans la poutre :-

$M = T \cdot f$ ,  $f = 10 \text{ cm}$ ,  $\sigma = \frac{M}{I}$

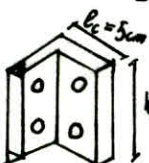


Position de l'A.N. :  $y = \frac{13,5 \cdot 1,02 \cdot 0,51 + 0,66 \cdot 18 \cdot (9 + 1,02)}{(13,5 \cdot 1,02) \cdot 0,51 + 0,66 \cdot 18} = 4,915 \text{ cm}$ ,  $v = h - y = 14,085 \text{ cm}$

$I_x = 898,758 \text{ cm}^4$ ,  $I_y = 63,72 \text{ cm}^4$ ,  $\sigma = \frac{4549,5 \cdot 10^8}{63,72} = 713,98 < \sigma_c = 2400 \text{ daN/cm}^2$  verifie.

- Effort tranchant dans les attaches :-

$\frac{T/2}{2 e_c (l_c - 2 \phi)} = \frac{4549,5/2}{2 \cdot 0,5 \cdot (5 - 3,2)} = 1263,75 < \sigma_c = 2400 \text{ daN/cm}^2$



Moment flechissant dans les attaches :-  $\sigma = \frac{T/2 \cdot a}{(I/A)_c} \leq \sigma_c$

Couvre joint d'âme ( $M_T, N, T$ )

$N_a = N - N_s = 27,74 - 20,195 = 7,545 \text{ kdaN}$

$T = 2,22 \text{ kdaN}$

on prend :  $\begin{cases} e_{ca} = 20 \text{ mm} \\ h_{ca} = 280 \text{ mm} \end{cases}$

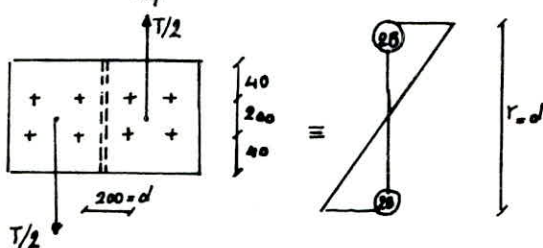
$\phi 16 \rightarrow d = 18 \text{ mm} > e_{min} + 2 = 13,5 + 2 = 15,5 \text{ mm}$

on prend 4 Boulons  $\phi 16$  (double cisaillement)

$F_N^* = \frac{7,545}{4 \cdot 2} = 943,125 \text{ daN}$

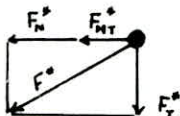
$F_T^* = \frac{T}{8} = \frac{2,22}{8} = 277,5 \text{ daN}$

calcul de  $F_{M_T}^*$



$F_{M_T}^* = \frac{F_{MT}}{2} = \frac{M_T}{2r} = \frac{T/2 \cdot d}{2r} = \frac{T}{4} = 555 \text{ daN}$

Le boulon est sollicité par :



$F^*(1 \text{ Boulon}) = \sqrt{(555 + 943,125)^2 + (277,5)^2}$

$= 1523,61 \text{ daN}$

Verification du boulon :

$1,54 \cdot \frac{F^*}{A_r} = 1,54 \cdot \frac{1523,61}{1,57} = 1494,50 < \sigma_c = 2400 \text{ daN/cm}^2$

Verification du C. joint d'âme : (Flexion - cisaillement)

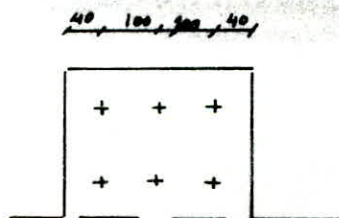
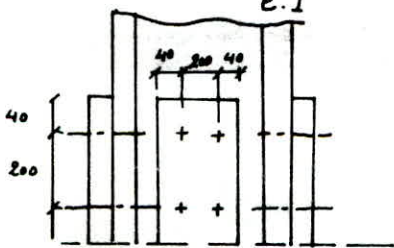
Flexion :  $M_T = \frac{T}{2} \cdot d = \frac{2,22}{2} \cdot 20 = 22200 \text{ daN.cm}$

$I = \frac{h_{ca}^3 \cdot e_{ca}}{12}$   
 $W = \frac{h_{ca}^2 \cdot e_{ca}}{6} \Rightarrow \sigma_{M_T} = \frac{M_T}{W} = \frac{22200}{(28)^2 \cdot 2} = 84,95 \text{ daN/cm}^2$

$\sigma_N = \frac{F_{Na}}{h_{ca} \cdot e_{ca}} = \frac{7,545 \cdot 10^3}{28 \cdot 2} = 134,73 \text{ daN/cm}^2$

$\sigma = \sigma_{M_T} + \sigma_N = 219,68 < \sigma_c = 2400 \text{ daN/cm}^2$

Cisaillement :  $\tau = \frac{T/2 \cdot S}{e \cdot I} = \frac{1,11 \cdot \left[ \frac{28}{2} \cdot 1 \cdot \frac{28}{4} \right]}{2 \cdot 3658,67} = 14,87 < \frac{\sigma_c}{1,54} = 1558,44 \text{ daN/cm}^2$





Verifications des soudures :-

$a = 14 \text{ mm} \rightarrow ad = 1,20 \text{ cm}$

$l_1 = 17 - 2,8 = 14,2 \text{ cm}$

$l_2 = 5,3 \text{ cm}$

$l_3 = 30,66 \text{ cm}$

$ad \sum l_i = 133,104 \text{ cm}$

$ad \cdot 2l_3 = 73,584 \text{ cm}$

Cordons de semelles :

$$1,18 \left[ \frac{4,64 \cdot 10^3}{133,104} \pm \frac{20 \cdot 10^5 \cdot 36}{1,2 [14,2 \cdot 36^2 + 2(36 - 2 \cdot 1,27)^2 \cdot 5,3]} \right] = \begin{cases} 2380,03 < \sigma_c = 2400 \text{ daN/cm}^2 \\ -2297,76 > -\sigma_c = -2400 \text{ daN/cm}^2 \end{cases}$$

Cordons d'âme

$$\sqrt{1,4 \left( \frac{4,64 \cdot 10^3}{133,104} \right)^2 + 1,8 \left( \frac{17,30 \cdot 10^3}{73,584} \right)^2} = 318,11 < \sigma_c = 2400 \text{ daN/cm}^2 \text{ verifié.}$$

Calcul du couvre joint :-

couvre joint se trouve à 0,8 m du Plancher de 3<sup>e</sup> étage. ( $< 1/4 h = 0,835 \text{ m}$ )

Le poteau qui comporte le couvre joint est sollicité par :-

$$\begin{cases} N_{\max} = 27,74 \text{ kdaN} \\ M_{\text{sup}} = -9,64 \text{ kdaN.m} \\ M_{\text{inf}} = -7,08 \text{ kdaN.m} \\ T_{\max} = 4,64 \text{ kdaN} \end{cases} \text{ pour le couvre-joint } \begin{cases} N = 27,74 \text{ kdaN} \\ T = 2,22 \text{ kdaN} \\ M = 2,63 \text{ kdaN.m} \end{cases}$$

a/ Couvre-joint de semelles : (N, M)

$N = N_1$  (due à M) +  $N_2$  (due à N), l'effort de traction est proportionnel à la section :  $N_2 = N \cdot \frac{A_s}{A}$

$A_s = 2 \cdot b \cdot e = 2 \cdot 30 \cdot 2,4 = 144 \text{ cm}^2$

$A = 197,8 \text{ cm}^2$

$N_2 = 27,74 \cdot \frac{144}{197,8} = 20,195 \text{ kdaN}$

$N_1 = \frac{M}{h} = \frac{2,63 \cdot 10^3}{40} = 6,575 \text{ kdaN}$

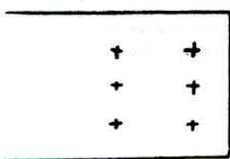
$N = N_1 + N_2 = 26,77 \text{ kdaN}$

On prend pour le c.joint semelle une section qui est proche de celle de la semelle :

$e_{c,j} = 2,6 \text{ mm}$ ,  $b_{c,j} = 280 \text{ mm}$ ,  $\phi 22 \rightarrow d = 24 \text{ mm}$

nombre de boulons:

$1,54 \cdot \frac{N}{A_r} \leq \sigma_c \Rightarrow n_b \gg 1,54 \cdot \frac{N}{A_r \sigma_c} = 1,54 \cdot \frac{26,77 \cdot 10^3}{3,03 \cdot 2400} = 5,669 \rightarrow n_b = 6$



Conditions de distances :-

$72 < S < 240 \text{ mm}$

$36 < \frac{S_t}{S_e} < 60 \text{ mm}$

on prend  $\begin{cases} S_e = S_2 = 40 \text{ mm} \\ S = 100 \text{ mm} \end{cases}$

Verification du couvre joint de semelle :

le c.joint est sollicité en traction :-

$\sigma = \frac{N}{e_{c,j} [b_{c,j} - 3d_{tr}]} = \frac{26,77 \cdot 10^3}{2,6 [28 - 3 \cdot 2,4]} = 495,01 < \sigma_c = 2400 \text{ daN/cm}^2$

BLOC B. Assemblages

1. Assemblage poutre poteau

poutre IPE 200  
Poteau HEA 200

i. verification des soudures

$a = 4 \text{ mm} \rightarrow a\alpha = 0,40 \text{ cm}$

longueurs utiles de cordons :

$l_1 = b - 2a = 10,2 \text{ cm.}$

$l_2 = \frac{b - e_a}{2} - 2a = 4,405 \text{ cm}$

$l_3 = h - 2e_s - 2a = 19,36 \text{ cm.}$

$a\alpha \sum l_i = 0,40 (2(10,2 + 19,36) + 4 \times 4,405) = 80,696 \text{ cm}^2$

$2 l_3 a\alpha = 15,408 \text{ cm}^2.$

$N = 9 \text{ daN}$

$T = 1215 \text{ daN}$

$M = 1286 \text{ kdaN.m.}$

Cordons d'âme :

$\sqrt{1,4 \left( \frac{N}{\sum l_i a_i \alpha_i} \right)^2 + 1,8 \left( \frac{T}{2 l_3 a_3} \right)^2} = 105,25 < 2400 \frac{\text{daN}}{\text{cm}^2}$

Cordons desemelles :  $1,183 \left[ \frac{N}{\sum l_i a_i \alpha_i} + \frac{M h}{k^2 l_1 a_1 \alpha_1 + 2(h - 2e_s) l_2 a_2 \alpha_2} \right] = 1203 < 2400$

assemblage platine-âme de poteau

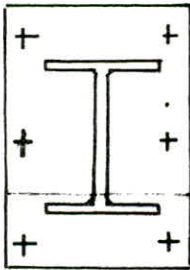
Boulons HR40-9 ( $\sigma_{eb} = 8800 \frac{\text{daN}}{\text{cm}^2}$ )

nombre de boulons HR : 6

$\phi = 12 \text{ mm} \rightarrow d = 14 \text{ mm.}$

$38 < \delta < 140 \text{ mm} \rightarrow \delta = 120 \text{ mm}$

$21 < \delta_l = \delta_t < 55 \text{ mm} \rightarrow \delta_l = \delta_t = 28 \text{ mm}$



Calcul de N dû à M :

$F_1 = \frac{M d_f}{\sum d_i^2} = \frac{1.286 \times 10^5 \times 23}{23^2 + 11^2} = 4550,46 \text{ daN}$

$F_1^* = \frac{F_1}{2} = 2275,23 \text{ daN}$

effet de Net T :  $T^* = \frac{T}{6} = \frac{1.215 \times 10^3}{6} = 202,5 \text{ daN}$

$N^* = 0,009 \times 10^3 = 1,5 \text{ daN}$

Ou verifie  $\left\{ \begin{array}{l} T^* \leq 1,1 \varphi (0,8 A_r \sigma_{eb} - N^*) \\ N_{TOT}^* \leq N_0 \end{array} \right.$

avec  $N_0 = (0,8 A_r \sigma_{eb}) = 0,8 \times 0,843 \times 8800 = 5934,72 \text{ daN}$

$T^* = 202,5 < 1,1 \times 0,3 (5934,72 - 1,5) = 1937,96 \text{ daN}$

$N_{TOT}^* < N_0. \quad N_{TOT}^* = N^* + F_1^* = 2276,73 \text{ daN}$

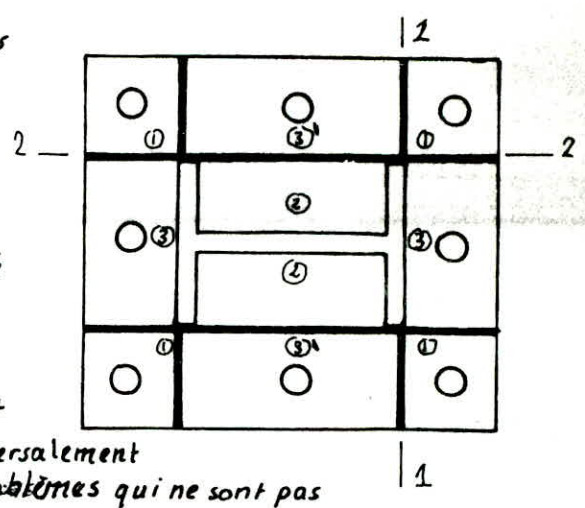


**BAIS'E DE P'OTELIX**

Platine et raidisseurs à la base des poteaux.

- Pour les pieds de poteaux soumis à des efforts très importants, il n'est pas toujours possible avec une tôle d'épaisseur suffisante on est alors conduit à placer des raidisseurs.

① Pour les lignes de pliage tangentes au contour du poteau telles que 1-1 et 2-2, il faut faire les vérifications que pour la platine simple (sans raidisseurs) mais en variant les calculs de résistance sur le module de résistance  $\frac{I}{V}$  de section composée de la tôle d'appui et raidisseurs.

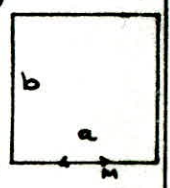


② il peut être nécessaire de vérifier la résistance de la tôle fonctionnant comme une plaque chargée transversalement entre les raidisseurs. Ceci pose des problèmes qui ne sont pas résolus dans des cas particuliers, le projecteur est alors conduit à faire des assimilations le plaçant en sécurité sans excès.

Plaque rectangulaire appuyée sur 3 côtés et ayant un bord libre ③  
 $M_{max}$  au milieu du bord libre (a) et dans sa direction.

$$M = \beta q a^2$$

b/a	0,5	2/3	1	1,5	2	3	$\infty$
$\beta$	0,060	0,083	0,112	0,128	0,132	0,133	0,133



Plaque rectangulaire encastree sur 4 côtés (b > a)

- Moment en milieu de plaque dans le sens de la plus petite portée  $M = \beta_1 q a^2$
- Moment d'encastrement au milieu de la + grande portée  $M = -\beta_3 q a^2$

b/a	1	1,1	1,2	1,3	1,4	1,5	1,6	1,7	1,8	1,9	2	$\infty$
$\beta_1$	0,023	0,028	0,031	0,033	0,035	0,037	0,039	0,039	0,040	0,041	0,042	0,042
$\beta_3$	0,0513	0,058	0,064	0,068	0,072	0,076	0,078	0,080	0,081	0,082	0,083	0,083

La plaque (1) est calculée comme une console.

Soient  $B_p$  et  $L_p$  respectivement la largeur et la longueur de la plaque d'appui (platine). on doit vérifier la contrainte dans le béton (sous SP4)

$$\sigma'_b = \frac{N}{B_p L_p} + \frac{M}{W_p} \leq \sigma'_m = 1,2 \times 67,5 = 81 \text{ daN/cm}^2, \text{ avec } W_p = \frac{B_p^2 L_p}{6}$$

$$\Rightarrow L_p^2 - \frac{6M}{B_p \sigma'_m} - \frac{N L_p}{B_p \sigma'_m} \geq 0, \text{ nous prenons une platine carrée } \Rightarrow B_p = L_p.$$



$$L_p^3 - \frac{6M}{\sigma'_m} - \frac{N L_p}{\sigma'_m} \geq 0$$

$$N_{TOT} = N + \frac{4}{3} p \cdot \text{propre du poteau}$$

sens transversal

le poteau le plus sollicité est soumis à  $N = 103,873 \text{ kdaN}$

$$M = 2,634 \text{ kdaN.m}$$

$$L_p^3 - 19511 - 1248,25 L_p \geq 0 \Rightarrow L_p \geq 42 \text{ cm} \quad \text{on prend } L_p = 60 \text{ cm}$$

$$\sigma'_{b \max} = \frac{N}{L_p^2} + \frac{6M}{L_p^3} = \frac{103873}{(60)^2} + \frac{6 \times 263400}{(60)^3} = 36,17 \text{ daN/cm}^2$$

$$\sigma'_{b \min} = \frac{N}{L_p^2} - \frac{6M}{L_p^3} = 21,54 \text{ daN/cm}^2$$

Plaque 1 (console) :  $q_m = \sigma_{\text{appl.}} \cdot 1 \text{ cm}$  (pour une bande de 1cm de largeur)

$$q_m = \sigma'_{b \max} \times 1 \text{ cm} = 36,17 \text{ daN/cm}$$

le moment d'encastrement est donné par  $M_1 = \frac{q_m C^2}{2}$   
où C est la longueur de la console.

$$M_1 = q_m \frac{C^2}{2} = 36,17 \times \frac{15^2}{2} = 4069,13 \text{ daN.cm}$$

plaque 2 ( $35,2 \times 29,33$ )  $\text{cm}^2$ . appuyé sur ses 4 côtés  
 $b > a$   $\sigma'_2 < \sigma'_{b \max}$ . mais on dimensionne la plaque avec  $\sigma'_{b \max}$   
vu la faible différence entre les 2 valeurs

$$q_m = 36,17 \text{ daN/cm}$$

$$M_2 = \alpha q_m a^2 \quad \alpha = f\left(\frac{b}{a}\right)$$

$$\frac{b}{a} = 1,2 \Rightarrow \alpha = 0,061$$

$$M_2 = 0,061 \times 36,17 \times 29,33^2 = 1904,25 \text{ daN.cm}$$

Plaque 3' ( $40 \times 15$ )  $\text{cm}^2$ , appuyée sur 3 côtés  $M_3 = \beta q_m a^2$

$$\frac{b}{a} = \frac{40}{15} = 2,67 \rightarrow \beta = 0,133$$

$$M_3 = 36,17 \times 0,133 \times 15^2 = 1082,4 \text{ daN.cm}$$

$$M = \max(M_1, M_2, M_3) = M_1 = 4069,13 \text{ daN.cm}$$

L'épaisseur de la platine est déterminé par :  $e \geq \sqrt{\frac{6 \times M}{1 \text{ cm} \times \sigma_e}} = 3,2 \text{ cm}$   
 $\sigma_e = 2400 \text{ daN/cm}^2$

$$\text{donc } e = 32 \text{ mm} > e_{\text{p min}} = 16 \text{ mm}$$

Plaque rectangulaire simplement appuyée sur ses 4 côtés  
 $b > a$ , moment au milieu de la plaque dans le sens de plus petite portée.

b/a	1	1,5	2	2,5	3	3,5	$\infty$
$\beta$	0,068	0,081	0,101	0,113	0,120	0,123	0,125

Raidisseurs de la base de poteaux 150

Les raidisseurs sont soudés au poteau

- Longueur du cordon de soudure : (8 cordons)

$\alpha = 0,56 \text{ cm}$

$$\alpha = \frac{N_1}{0,75 \times 8 \ell \sigma_e} \Rightarrow \ell = \frac{N_1}{0,75 (8 \alpha) \sigma_e}$$

on a 4 raidisseurs dans les sens transversal et 4 dans le sens longitudinal

donc  $N_1 = \frac{N}{4} = \frac{103873}{4}$

$\ell = \frac{103873}{4 \times 0,75 \times 8 \times 0,56 \times 2400} = 3,22 \text{ cm.}$  longueur utile

L : longueur réelle =  $\ell + 2\alpha = 3,22 + 2 \times 0,6 = 4,42 \text{ cm}$   
soit  $L = 4,5 \text{ cm.}$

la hauteur du raidisseur  $h_r \geq 4 \times L = 18 \text{ cm.}$

∅ d'autre part :

$$h_r \geq \begin{cases} h_{\text{poteau}} = 400 \text{ mm.} \\ 500 \text{ mm (pour assurer un bon encastrement).} \end{cases}$$

finalement  $h_r = 500 \text{ mm.}$

Le raidisseur est vérifié à la flexion simple :

(i)  $\sigma = \frac{M_{\max}}{W_r} = \frac{M_{\max} \times 6}{e_r \times h_r^2} \leq \sigma_e$  avec  $M_{\max} = q_M \frac{c^2}{2}$   
et  $c = 15 \text{ cm.}$

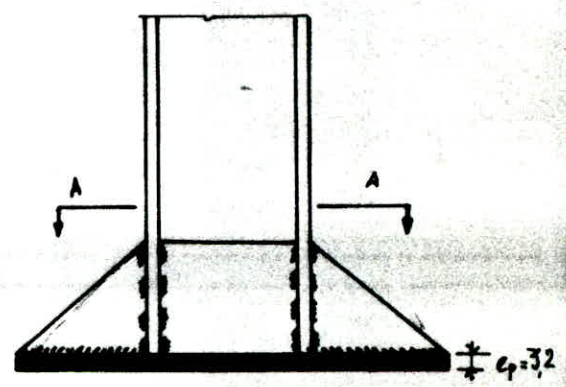
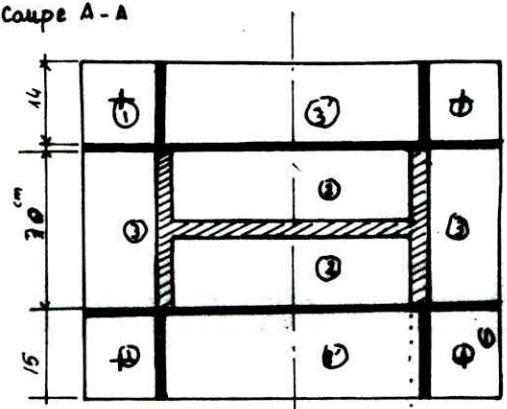
$q_M = \sigma'_{b_{\max}} \times 1 \text{ cm} = 36,17 \text{ daN/cm}$

$M_{\max} = 4069,13 \text{ daN.cm.}$

à partir de la relation (i) on détermine l'épaisseur du raidisseur :

$e_r \geq \frac{M_{\max} \times 6}{h_r^2 \times \sigma_e} = 0,05 \text{ mm}$  prendre  $e_r = 10 \text{ mm.}$

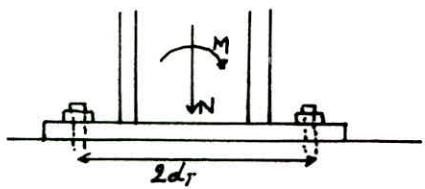
Coupe A-A





Bases de poteaux.

- effort de scellement au pied d'un poteau.

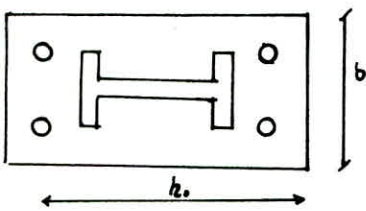


T: eff. tranchant dans les tiges.

$\Omega$  : section de l'ensemble des tiges d'ancrages sollicitées

$$d = d_T + \frac{M}{N}$$

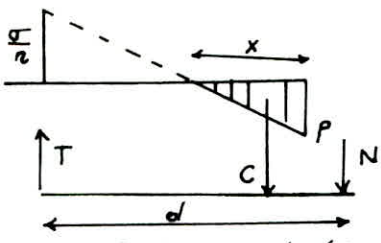
$$P_0 = \frac{2(M + N \cdot d_T)}{b h_0^2} \quad \text{Pression de comparaison auxiliaire de calcul}$$



- D'après l'hypothèse de Navier

$$\textcircled{1} \frac{\sigma}{n p} = \frac{h_0 - x}{x} \quad \textcircled{2} T = \Omega \sigma \quad p = \frac{2c}{bx}$$

$$\textcircled{1} \text{ et } \textcircled{2} \Rightarrow \frac{T}{C} = \frac{2n\Omega}{b} \left( \frac{h_0 - x}{x^2} \right) \quad \textcircled{3}$$



forces :  $N = C - T$   
 $M = \dots$  / au point d'application de la résultante N

$$T \cdot d = C (d - h_0 + x/3) \Rightarrow \frac{T}{C} = \frac{d - h_0 + x/3}{d} \quad \textcircled{4}$$

- Position de la fibre neutre :

$$\textcircled{3} \text{ et } \textcircled{4} \Rightarrow \frac{2n\Omega}{b} \left( \frac{h_0 - x}{x^2} \right) = \frac{d - h_0 + x/3}{d}$$

$$\Rightarrow \frac{2n\Omega}{b h_0} = \frac{(x/h_0)^2}{1 - x/h_0} \cdot \frac{(d/h_0) - 1 + (x/3h_0)}{d/h_0} \quad \text{(I)}$$

- Détermination des contraintes : -  $M + N d_T = C (h_0 - x/3) \Rightarrow C = \frac{M + N d_T}{(h_0 - x/3)}$

$$p = \frac{2c}{bx} = \frac{2(M + N \cdot d_T)}{b h_0^2} \cdot \frac{1}{x/h_0 (1 - x/3h_0)} = \frac{P_0}{(x/h_0) (1 - x/3h_0)} \Rightarrow \sigma = n p \frac{h_0 - x}{x} = \frac{n P_0 [1 - x/h_0]}{(x/h_0)^2 [1 - x/3h_0]} \cdot x$$

Verification : -

CM66  $\rightarrow$  4/5G + 3/2P . CCBA  $\rightarrow$  2 genres.

arrachement :  $1,25 \cdot \frac{A\sigma}{A_r} \leq \sigma_c$

- Si en plus on a un effort tranchant H ,  $C = \frac{Pbx}{2}$  si on a  $H \leq 0,4C$   
 La résistance peut être assurée par le frottement de la platine sur le béton sinon il faut prévoir un épaulement (art. 5,123.1 CM66)

- Verification CCBA :-

Pression sur le béton [Annexe 15,121, CM66] et  $\begin{cases} \sigma_m = 1,5 & \text{pour le 2}^\circ \text{genre} \\ \sigma_m & \text{pour le 1}^\circ \text{genre} \end{cases}$

A partir des tiges d'ancrage, on pondere les sollicitations M et N selon les règles CM66 pour pouvoir appliquer la verification :  $1,25 \cdot \frac{A\sigma}{A_r} \leq \sigma_c$ , il faut que  $\sigma$  dans le corps des tiges ne dépasse pas  $\frac{A_r \cdot \sigma_c}{A \cdot 1,25}$  pour les filetages normalisés de diamètre  $\phi \geq 20\text{mm}$

on a  $\frac{A}{A_r} \geq 0,78$  ce qui donne  $\sigma \leq 0,625\sigma_c$  pour le E24

$$\sigma < 15 \text{ daN/mm}^2$$

- On peut donc calculer une valeur ne pas dépasser pour  $\frac{\sigma}{n p}$  et à l'aide de la formule II en déduire une valeur minimum  $\frac{x}{h_0}$

la formule I donne en fct.  $\frac{x}{h_0}$  et  $\frac{d}{h_0}$  une valeur minimum de :  $\frac{2n\Omega}{b \cdot h_0}$

A partir de la pression sur le béton :

- on pondère les sollicitations  $M$  et  $N$  selon CCBA 68 et on calcule à nouveau  $P_0$  et  $d/h_0$ .
- pour pouvoir appliquer la vérification "pression sur le béton" on détermine en fonction de la qualité du béton et éventuellement du coefficient de majoration pour pressions localisées une valeur admissible de la pression  $p$  sur le béton valable pour les pondérations du 1<sup>er</sup> genre. Cette valeur est multipliée par 1,5 si la combinaison est du 2<sup>o</sup> genre.
- On peut alors calculer une valeur  $a$  ne pas dépasser de  $\frac{f_c}{p}$  et on déduit comme ci-avant à l'aide de la formule II<sup>o</sup>, puis I une valeur minimum  $\frac{2n\Omega}{bh_0}$ .

Poursuite du dimensionnement :

- de la plus grande des 2 valeurs de  $2n\Omega/bh_0$  ainsi trouvées on déduit un minimum de la section brute  $\Omega$  de l'ensemble des tiges qui seront tendues puis on choisit le nombre et le diamètre des tiges de façon à satisfaire à cette condition.

On vérifie alors si ces tiges peuvent être placées correctement sur le plan de la platine choisie ; compte tenu des conditions d'écartement nécessaires pour obtenir un serrage commode et de bonnes possibilités de scellement.

Si on est au large (et si c'est la condition de résistance des tiges d'ancrage qui est déterminante.)

il y a intérêt à réduire les dimensions de la platine.

Dans le cas contraire, il faut évidemment les augmenter.

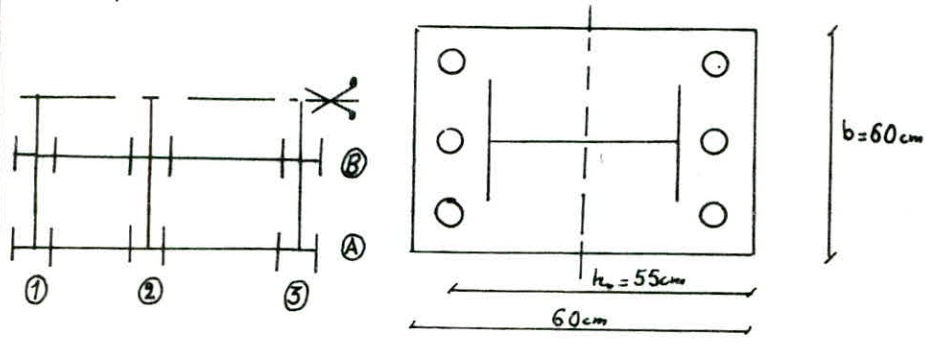
Dans les 2 cas il y a lieu de recommencer l'opération de détermination du minimum  $\Omega$  jusqu'à ce qu'on ait trouvé une disposition techniquement et économiquement satisfaisante puis procéder à une vérification de l'ensemble des dispositions adoptées.



### Calcul d'ancrage: BLOCA

on essaie de prendre le plus faible N correspondant au moment max.

on prévoit une platine 60x60 cm<sup>2</sup>



Deux transversal: c'est le sens le plus sollicité

on prend la semelle la plus sollicitée: semelle 1-B.

	M	N	$d = 0,25 \cdot \frac{M}{N}$	$M + 0,25N$	$P_0$	$\frac{\sigma}{n}$	$\frac{\sigma}{n P_0}$	$x/h_0$	$d/h_0$	$\frac{2n\Omega}{b h_0}$
$G+P \rightarrow 1,25$	21,87	-6,77	-2,98	20,18	22,24	100	4,50	0,39	-5,42	0,289
$0,86 \rightarrow SH$	18,33	-8,40	-1,93	16,23	17,88	100	5,59	0,36	-3,51	0,253

on a pris que ces 2 combinaisons car les autres ne necessitent pas d'ancrage.

pour  $F_c E 24 \quad \sigma < 1500 \text{ daN/cm}^2 \quad \frac{\sigma}{n} = 100 \quad n = 15$  : coefficient d'equivalence.

$\alpha = 1,2. \quad P_0 = 67,5 \cdot 1,2 = 81 \text{ daN/cm}^2$  pour 1<sup>o</sup> genre.  
 $P_0 = 67,5 \cdot 1,2 \cdot 1,5 = 121,5$  pour 2<sup>o</sup> genre.

donc:  $\frac{2n\Omega}{b h_0} = 0,289 \rightarrow \Omega = 31,79 \text{ cm}^2 \rightarrow 3\phi 40 = 37,70 \text{ cm}^2$

Deux longitudinal: - de la même façon que le sens transversal on trouve

$\frac{2n\Omega}{b h_0} = 0,053$ . mais on a  $2\phi 40 \Rightarrow \frac{2n\Omega}{b h_0} = 0,220$ .

Verification:

$\bar{\sigma} = 1500 \text{ daN/cm}^2$   
 $\bar{P} = 121,5 \text{ daN/cm}^2$  2<sup>o</sup> gen.  
 $\bar{P} = 81 \text{ daN/cm}^2$  1<sup>o</sup> genre.

	$G+P+1,25H$	$0,86-SH$	$G+1,2P$	$4/5E+3/5P$
M	10,59	8,27		0,24
N	33,64	16,19		98,54
$d/h_0 = [0,25 \cdot \frac{M}{N}] / 0,55$	1,03	1,38		
$P_0 = 2(M+0,25N) \cdot 10^3 / 6250$	20,94	13,58		
$x/h_0$	0,62	0,52		
$\sigma/n P_0$	1,246	2,147		
$P/P_0$	2,033	2,326		
$\sigma$	391,31	437,22		
$P$	42,56	31,58		
$T = \Omega \sigma = 25,13 \cdot 10^3 \sigma$	9,83	10,99		
$C = \frac{P_0 x}{2} = \frac{h_0 b}{2} P_0 (x/h_0)$	43,54	27,10		
$C - T =$	33,71	16,11		
$0,4C$	17,42	10,80		
eff. horiz. = H	2,21	2,35		

Complètement comprimé

Complètement comprimé

On voit bien que  $\sigma$  et  $P$  sont admissibles.

Verification sens transversal : -  $\frac{2n\Omega}{bh_0} = 0,343$  ,  $\Omega = 37,70 \text{ cm}^2$

	CM66	CCBA 2 <sup>e</sup> genre		CCBA 1 <sup>er</sup> genre
	$4/3G + 3/2P$	$G + P + 1,25H$	$0,8G - 5H$	$G + 1,2P$
$M$ [kdaN.m]		21,87	18,33	
$N$ (kdaN)		-6,77	-8,40	
$d/h_0 = (0,25 \cdot M/N) / 0,55$		-5,42	-3,51	
$P_0 = \frac{2(M + 0,25N)}{60 \cdot 55^2} \cdot 10^8 \left[ \frac{\text{daN}}{\text{cm}^2} \right]$		22,24	17,88	
$x/h_0 =$	Pas besoin d'ancrer	0,415	0,410	Pas besoin d'ancrer
$\sigma / \alpha P_0 =$		3,942	4,065	
$P / P_0 =$		2,796	2,825	
$\sigma$ [daN/cm <sup>2</sup> ]		1315,05	1090,23	
$P$ [daN/cm <sup>2</sup> ]		62,18	50,51	
$T = 37,70 \cdot 10^{-3} \sigma$ [kdaN]		49,58	41,10	
$C = \frac{h \cdot b}{2} \cdot P (x/h_0)$ [kdaN]		42,58	33,85	
$C - T \approx N$		-7,00	-7,25	
0,4C		17,032	13,54	
Eff. horiz. H		6,66	5,66	

Ces contraintes sont bien vérifiées.



BASES DE Poteaux : BLOC C'

Recapitulation des efforts à la base des poteaux du R.d.C  
Portique transversal : D  
Poteau le plus sollicité :-

	$4/3G+3/2P$	$G+P \pm 1,25I$	$0,8G \pm SI$	$G + 1,2P$
M	0	20,097	15,882	0
N <sup>c</sup>	72,93	62,12 43,52	37,95 21,45	55,86
T	0	6,01	9,90	0

Portique longitudinal : 2

	$4/3G+3/2P$	$G+P \pm 1,25I$	$0,8G \pm SI$	$G + 1,2P$
M	0,912	9,284	7,536	0,700
N <sup>c</sup>	97,449	81,197 56,723	48,483 33,107	74,674
T	2,033	6,169	4,931	1,540

Portique transversal : C

	$4/3G+3/2P$	$G+P \pm 1,25I$	$0,8G \pm SI$	$G + 1,2P$
M	2,634	16,598	13,272	2,022
N <sup>c</sup>	101,108	81,380 65,040	48,60 35,378	77,404
T	1,928	6,74	5,147	1,486

Portique longitudinal : 3

	$4/3G+3/2P$	$G+P \pm 1,25I$	$0,8G \pm SI$	$G + 1,2P$
M	1,129	9,027	7,094	0,871
N <sup>c</sup>	41,73	11,02 47,85	8,04 30,02	32,814
T	1,02	4,52	3,51	0,788

le beton est dosé à 350 kg/m<sup>3</sup> de ciment CPA 325, contrôle atténué

$\sigma'_m = \alpha \bar{\sigma}'_{b,c} = 1,2 \cdot 67,5 = 81 \text{ daN/cm}^2$ , où  $\alpha$  est le coefficient de pression localisée.

- On dimensionne la platine avec  $(N_x^{max}, M_x^{max})$  et on verifie dans l'autre sens avec  $(N_y^{max}, M_y^{max})$ .

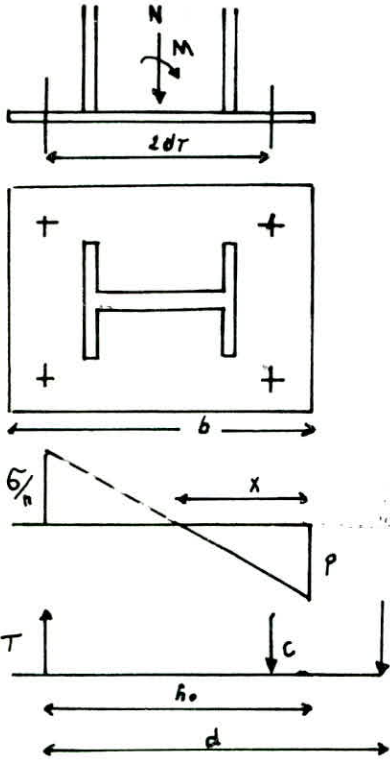
Calcul d'ancrage : Bloc C.

Les tiges d'ancrage doivent résister à la traction, cela revient à rechercher la combinaison donnant l'effort de traction maximal, soit la combinaison : 0,86  $\bar{S}_i$ .

Les efforts sont :  $M = 15,882 \text{ kdaN.m}$   
 $N = 21,45 \text{ kdaN}$  } Sens transversal.

$S_{P_2} \rightarrow p = 1,2 \bar{\sigma}_{b_0} \times 1,5 = 121 \text{ daN/cm}^2$

ces efforts sont équivalents à  $N = 21,45$  excentré de  $\frac{M}{N} = 74 \text{ cm}$



$$2d_T = 60 - 2 \times 5 = 50 \text{ cm}$$

soit  $d_T = 25 \text{ cm}$ .

$$d = d_T + \frac{M}{N} = 25 + 74 = 99 \text{ cm}.$$

$p_0$ : pression de comparaison auxiliaire de calcul.

$$p_0 = \frac{2(M + Nd_T)}{bh_0^2} = \frac{2(15,882 + 0,25 \times 21,45)}{0,6 \times 0,55^2}$$

$$p_0 = 234 \text{ kdaN/m}^2 = 23,4 \text{ daN/cm}^2.$$

Vérification pour la traction :

$$1,25 \frac{A_s \bar{\sigma}}{A_r} < \bar{\sigma}_e, \frac{A_r}{A} \geq 0,78$$

Soit pour FeE24 :  $\bar{\sigma} = 1500 \text{ daN/cm}^2$

$n = 15$  coef. d'équivalence Acier-béton

$$\frac{\bar{\sigma}}{n} = \frac{1500}{15} = 100 \text{ daN/cm}^2.$$

$$\text{d'où } \frac{\bar{\sigma}}{np_0} = 4,27 \quad \text{et } \frac{\bar{\sigma}}{np} = \frac{100}{121,5} = 0,82$$

$$\Rightarrow \quad \text{d'où } \frac{x}{h_0} = 0,40 \quad \quad \frac{d}{h_0} = \frac{99}{55} = 1,80$$

$$\frac{2n\Omega}{bh_0} = \frac{(x/h_0)^2}{1 - (x/h_0)} \times \frac{(d/h_0) - 1 + \frac{1}{3}(\frac{x}{h_0})}{(d/h_0)}$$

$$= \frac{(0,40)^2}{1 - 0,40} \times \frac{1,80 - 1 + \frac{1}{3} \times 0,40}{1,80} = 0,138 \Rightarrow \Omega = 15,18 \text{ cm}^2$$

$$\text{d'où } T = \Omega \bar{\sigma} = 22770 \text{ daN}$$

$$\text{Effort tranchant} = 9900 \text{ daN} < 0,4C = (N+T)0,4 = 17688 \text{ daN}$$

$\rightarrow$  La résistance à l'effort tranchant est assurée par le frottement platine-béton  
 nous prenons 2 boulons  $\phi 40$  ordinaires  $\Rightarrow \Omega = 25,13 \text{ cm}^2$   
 dans chaque sens



il est nécessaire de prévoir dans la base du poteau des trous de diamètre = 80 mm pour le réglage de boulons.

calcul de l'effort de traction admissible pour scellements sollicités :  
C CM 66. Art 5.123).

$$\bar{N} = 0,1 \left(1 + \frac{7g_c}{1000}\right) \frac{\phi}{\left(1 + \frac{\phi}{d_i}\right)^2} (l_1 + 6,4r + 3,5l_2)$$

$g_c$  : dosage en ciment = 350 kg/m<sup>3</sup>

$$r = 3\phi = 120 \text{ mm}$$

$$l_1 = 2\phi = 80 \text{ mm}$$

$\phi$  : diamètre de la tige en mm

$l_1, r, l_2$  en mm.

$$l_1 \geq l_d = \frac{\phi \bar{\sigma}_a}{4 \bar{\sigma}_d} = 137 \text{ cm} \rightarrow l_1 = 140 \text{ cm}$$

$$\bar{N} = 0,1 \left(1 + \frac{7 \times 350}{1000}\right) * \frac{400}{\left(1 + \frac{40}{10}\right)^2} (1400 + 6,4 * 120 + 3,5 * 80) = 13513 \text{ daN}$$

les tiges tendues sont sollicitées par :  $T = C - N = \Omega \times \sigma = 15,18 \times 1500$   
 $= 22770 \text{ daN}$   
pour 4 tiges.

$\frac{T}{2} < \bar{N}$  ce type d'ancrage ne convient pas, car la longueur d'ancrage est grande > 1,5 m.

soit la tige droite de diamètre  $\phi$  et de longueur  $l$  terminée par une plaque circulaire de rayon  $r$ .

$$r = 8 \text{ cm} \quad \phi = 40 \text{ mm}$$

$$d_i = 10 \text{ cm}$$

$$l = 60 \text{ cm}$$

$$d_i < l \Rightarrow$$

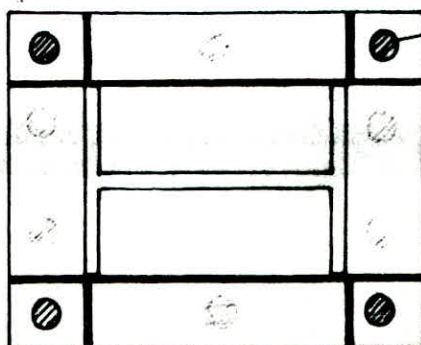
$$\bar{N} = 0,1 \left(1 + \frac{7g_c}{1000}\right) \frac{\phi l}{\left(1 + \frac{\phi}{d_i}\right)^2} + \frac{2g_c r^2}{100} \left(1 - \frac{r}{d_i}\right)$$

$$= 19593 \text{ daN} > \frac{T}{2} = 11385 \text{ daN}$$

avec  $T$  : effort de traction dans les 2 tiges sollicités.

Bases de poteaux

2, B et 2C



boulon Ø 40

**FONDATIONS'**



## FONDACTIONS

Introduction A - on dispose de semelles isolées sous poteaux pour l'ensemble du bâtiment, la portance du sol est assez bonne  $\bar{\sigma}_s = 2$  bars à un ancrage  $D = 1,5$  m. Ces semelles sont assez espacées, d'où facilités de coffrage. Les semelles excentrées sont redressées par des poutres rigides en les reliant à des semelles avoisinantes centrées. L'excentricité est causée en premier lieu par les joints de rupture qui séparent les blocs A & C du Bloc B.

B - Ces semelles sont posées sur un béton de propreté de faible dosage en ciment ( $150 \text{ kg/m}^3$ ). L'épaisseur de cette couche de béton est 10 cm.

C - On prévoit des longrines entre les semelles dans les 2 sens du bâtiment.

D - On calcule les semelles avec la sollicitation du 1<sup>er</sup> genre :  $G + 1,2P$  et on vérifie avec les sollicitations du second genre. Cette vérification devient inutile si les efforts sous  $SP_2 < 1,5$  fois les efforts sous  $SP_1$ , or la contrainte du sol est amplifiée par 1,5 pour les sollicitations pondérées du second genre (RPA81).

E - La méthode des bielles est la base de nos calculs de ferrailage.

F - Pour un sol cohérent le fait d'admettre que la réaction apportée par le sol est uniforme revient à supposer que la semelle est assez rigide pour imposer cette condition au terrain, ceci s'explique par la restriction:

$$h = h_t - d \gg \frac{A-a}{4} \quad \text{pour une semelle carrée}$$

Des essais effectués ont montré que pour autant que cette règle est satisfaite, on peut se dispenser des vérifications de poinçonnement, de compression maximale du béton, ou de cisaillement maximal du béton.

G - On tiendra compte des poids des terres au-dessus de la semelle ainsi que le poids propre du massif de béton de la semelle pour avoir des résultats + rigoureux.

H - On vérifiera les tassements sous chaque semelle, on considérera un tassement admissible de 3 cm.

I Caractéristiques du sol:  
(Argile sableuse)

$R_p$ : résistance de pointe  $R_p = 60$  bars à un ancrage  $D = 1,5$  m.  $\rightarrow \bar{\sigma}_s = \frac{R_p}{30} = 2$  bars

$\varphi$ : (Angle de frottement interne) =

Densité humide :  $\delta_h =$

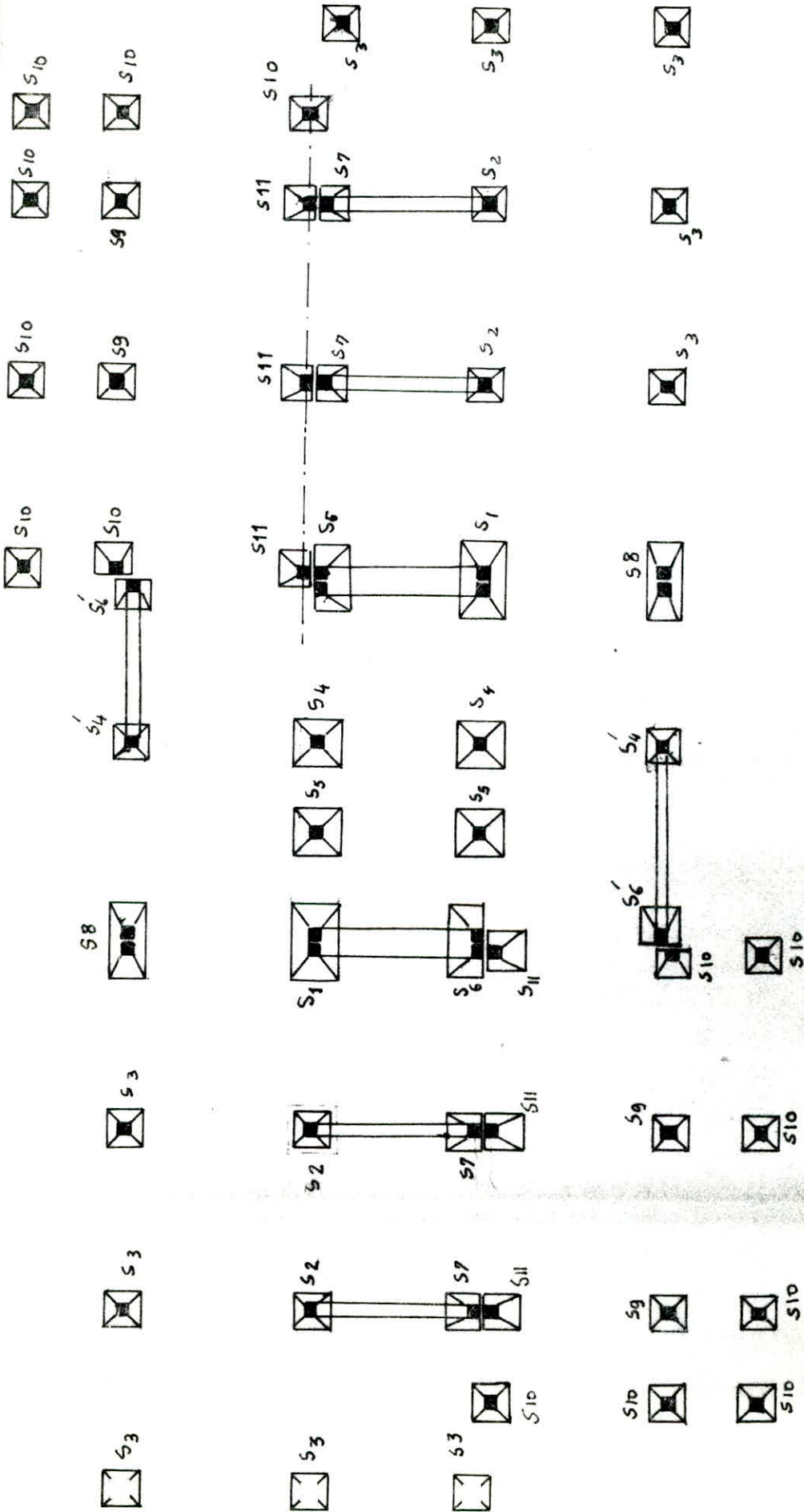
cohésion  $C =$

$\sigma_r =$

teneur en eau  $w =$

indice du vide initial  $e_0 =$

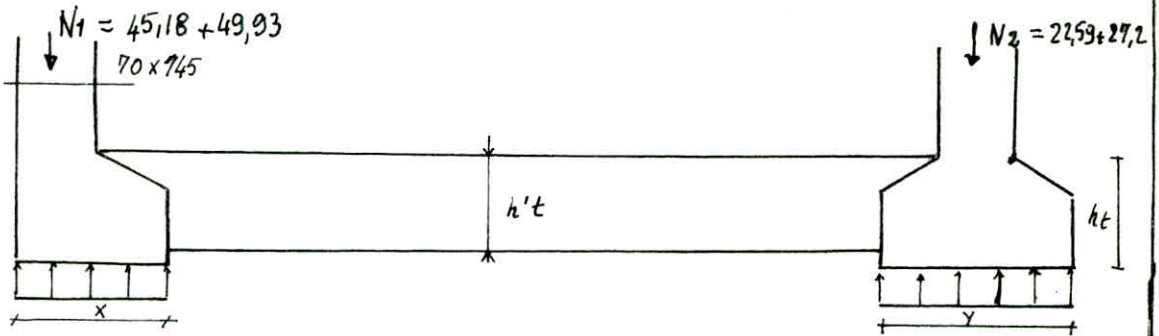
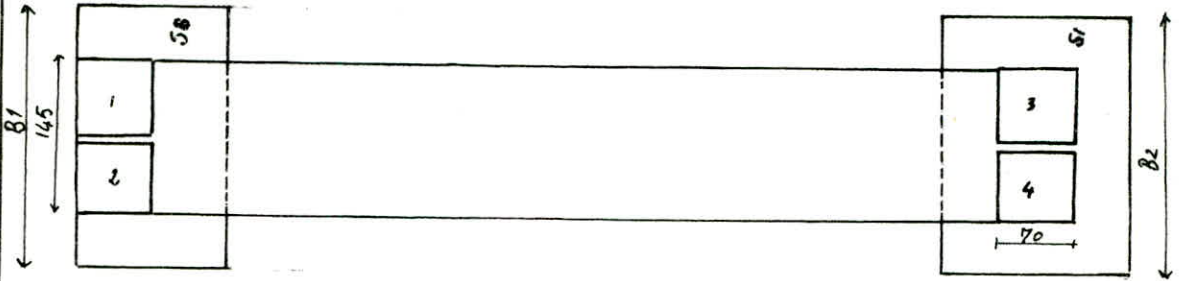
Plan des Fondations





Semelles  $S_1 - S_6$ 

Chaque semelle supporte 2 poteaux dont les charges sont sensiblement égales et sont séparés par un joint de dilatation de 5 cm. La semelle  $S_6$  étant excentrée, elle doit être reliée à la semelle centrée  $S_1$  par une poutre rigide dite poutre de redressement.



Efforts sous  $SP_1$  : (6+1,29)

Effort \ pot	1	2	3	4
M kdaN.m	-1,94	-2,467	0,97	0,838
N kdaN	45,18	49,93	22,59	27,2
T kdaN	1,76	-2,302	0,88	0,928

Les moments sont négligés vu leur faible valeur. Tandis que l'effort tranchant est équilibré par le frottement entre la platine et le béton.

$$\text{Contraintes : } \sigma'_{28} = 270 \text{ daN/cm}^2$$

$$\sigma_{28} = 27 \text{ daN/cm}^2$$

$$\bar{\sigma}'_b = 135 \text{ daN/cm}^2$$

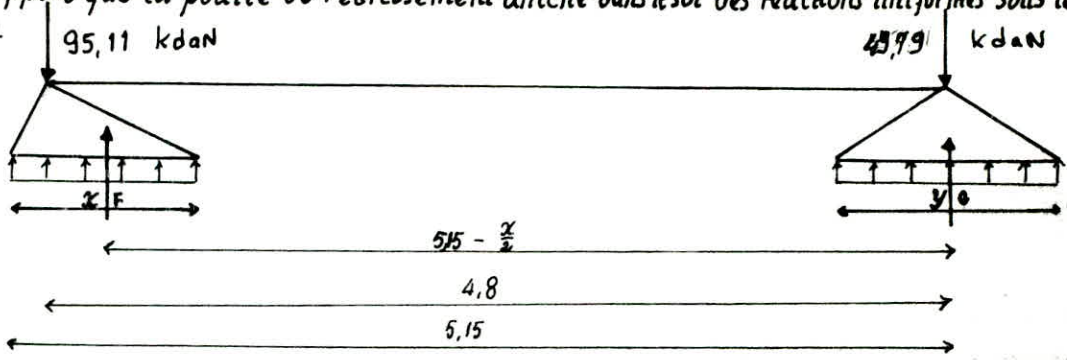
$$\bar{\sigma}'_{b0} = 67,5 \text{ daN/cm}^2$$

$$\bar{\sigma}_b = 5,9 \text{ daN/cm}^2$$

$$\bar{\sigma}_s = 2 \text{ daN/cm}^2.$$

Pour la vérification en  $SP_2$  : on peut ne pas la faire dans le cas où les efforts donnés par  $SP_2$  sont inférieures à 1,5 fois donnés par  $SP_1$ .

On suppose que la poutre de redressement amène dans le sol des réactions uniformes sous les semelles.



$\Sigma M_{l/6} = 0 \Rightarrow$

Les semelles sont telle  $B = 2A = 2x$ . d'autre part  $F = 2 \times B \times x$  (daN)  
 Bet x en cm  
 $= 20 \times B \times x$  (kdaN)  
 Bet x en m

$\Sigma M_{l/6} = 0 \Rightarrow 95,11 \times 4,8 = F \left( 5,15 - \frac{x}{2} \right)$

$= 20Bx \left( 5,15 - \frac{x}{2} \right) = 40x^2 \left( 5,15 - \frac{x}{2} \right)$

soit  $20x^3 - 206x^2 + 456,5 = 0 \rightarrow x = 1,62$  m nous prenons  $x = 1,60$   
 $B = 3,20$

Diagramme des moments

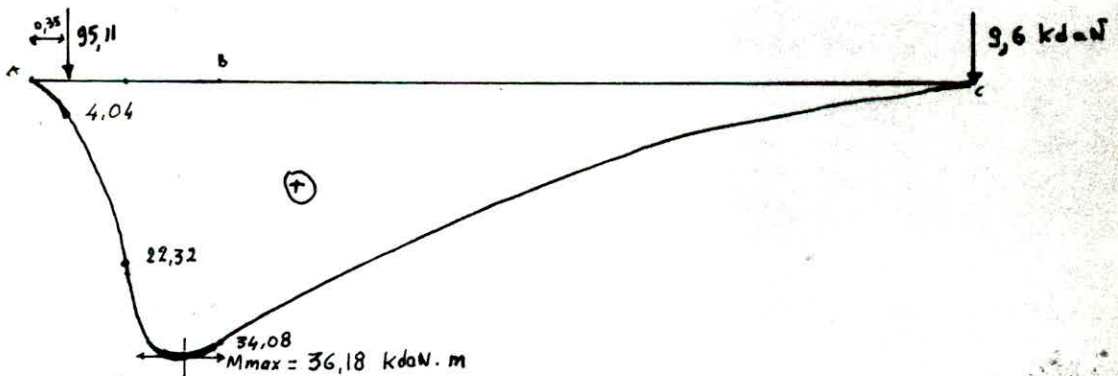
$F = 20Bx = 102,4$  kdaN

$\Sigma M_{l/F} = 0 \Rightarrow 49,79 \times 4,8 - 102,4 \times 0,45 = G \times 4,8 \Rightarrow$

$G = 40,19$  kdaN  $= 20(2y)(y) \Rightarrow y = 1$  m

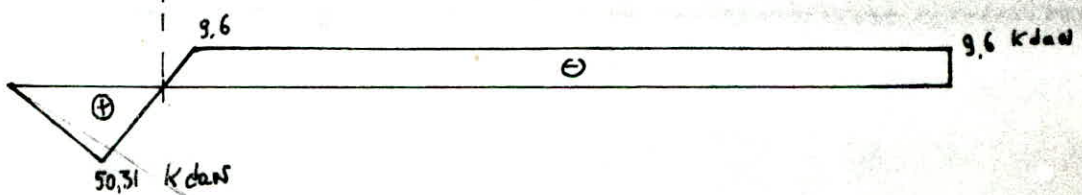
Dimension  $S_1$  :  $y = 1$  m  
 $B' = 2$  m.

(M)



Effort tranchant

(T)



$M_{max} = 36,18$  kdaN.m

$T_{max} = 50,31$  kdaN

Moment résistant du béton :  $M_{rb} = k b a h^2$

avec  $k = \frac{\sigma'_c \alpha (1 - \frac{x}{3})}{2}$



$b_0$ : largeur de la poutre = 1,4 m.  $\alpha = \frac{n \bar{\sigma}'_c}{n \bar{\sigma}'_c + \bar{\sigma}_a} = 0,42$ ,  $\bar{\sigma}'_c = 135 \text{ daN/cm}^2 \Rightarrow K = 24,381 \frac{\text{daN}}{\text{cm}^2}$

d'où  $M_{rb} = 24,381 \times 1,4 h^2 \gg M_{ext} = 36,18 \text{ kdaN}\cdot\text{m} \Rightarrow h \gg 32,6 \text{ cm}$

donc  $\begin{cases} h_{\text{poutre}} = 35 \text{ cm} \\ h_t = 40 \text{ cm} \end{cases}$

Pour faciliter la mise en place du ferraillage on prendra pour la semelle:  $\begin{cases} h = 40 \text{ cm} \\ h_t = 45 \text{ cm} \end{cases}$

Pour pouvoir supposer les réactions du sol uniformes sous les semelles; c'est à dire que les semelles sont rigides il faut que  $h \gg \begin{cases} \frac{320-140}{4} = 45 \text{ cm} \\ \frac{160-70}{4} = 22,5 \text{ cm} \end{cases}$

finalement on prend :

pour la semelle  
 $h = 45 \text{ cm}$   
 $h_t = 50 \text{ cm}$

pour la poutre  
 $h = 40 \text{ cm}$   
 $h_t = 45 \text{ cm}$

Ferraillage :

Semelle excentrée (S) (2x B) :  $A'_B = \frac{102400 (160 - 70)}{8 \times 45 \times 2800} = 9,14 \text{ cm}^2$

dans lesens // x  $A'_x = \frac{102400 (320 - 140)}{8 \times 45 \times 2800} = 18,29 \text{ cm}^2$

Semelle centrée (S<sub>1</sub>)

$A'_{B'} = \frac{40190 (100 - 70)}{8 \times 45 \times 2800} = 1,20 \text{ cm}^2$

$A'_y = \frac{40190 (700 - 140)}{8 \times 45 \times 2800} = 2,39 \text{ cm}^2$

Ferraillage adopté

Semelle S<sub>0</sub>  
 $A'_B$ : 6 T14  
 $A'_x$ : 12 T14

Semelle S<sub>1</sub>  
 $A'_{B'}$ : 3 T8  
 $A_y$ : 6 T8

Poutre

$M_{max} = 36,18 \text{ kdaN}\cdot\text{m}$   
 $T_{max} = 50,31 \text{ kdaN}$

$A = \frac{M}{\bar{\sigma}_a}$

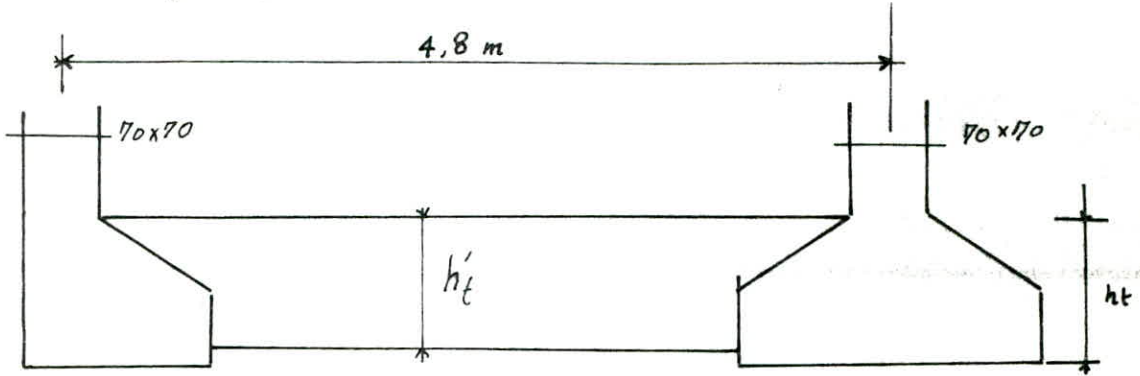
$A_i = \frac{36,18 \times 10^5}{\frac{7}{8} \times 40 \times 2800} = 36,92 \text{ cm}^2 \rightarrow 11 \text{ T20}$   
( $A = 37,63 \text{ cm}^2$ )

$A_s$  : on prend 11 T10 pour le montage.

Armatures transversales : 1 cadre T8 + 9 crochets T8

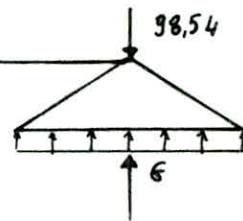
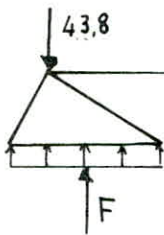
Semelle S<sub>2</sub>-S<sub>7</sub>

La semelle excentrée S<sub>7</sub> est reliée à la semelle centrée S<sub>1</sub> par l'intermédiaire d'une poutre de redressement.



$x \times B_1$   
 $B_1 = x$

$y \times B_2$   
 $B_2 = y$



$\sum M_t / G = 0 \quad 43,8 \times 4,8 = F (5,15 - \frac{x}{2})$

$F = 20 \times B_1 \text{ kdaN}$   
 $G = 20 \times B_2 \text{ kdaN}$

$43,8 \times 4,8 = 20 x^2 (5,15 - \frac{x}{2})$

$\Rightarrow x^3 - 10x^2 + 21,024 = 0 \Rightarrow x = 1,58 \text{ m}$

soit  $x = B_1 = 1,6 \text{ m}$

$F = 20 (1,6)^2 = 51,2 \text{ kdaN}$

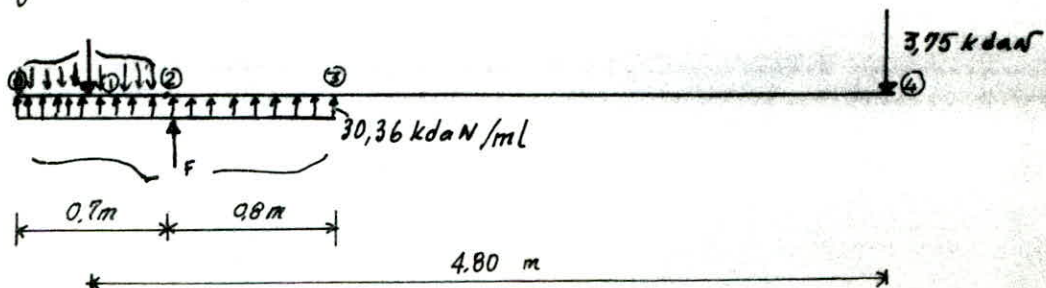
$G = 43,8 + 98,54 - 51,2 = 91,14 \text{ kdaN} = 20 y^2 \Rightarrow y = B_2 = 2,13 \text{ m}$   
prend  $y = 2,2 \text{ m}$

soit  $G = 20 (2,2)^2 = 96,8 \text{ kdaN} \Rightarrow F = 45,54 \text{ kdaN} = 20 x^2$   
 $\Rightarrow x = 1,5 \text{ m}$

$h \geq \begin{cases} \frac{220 - 70}{4} = 37,5 \text{ cm} \\ \frac{150 - 70}{4} = 20 \text{ cm} \end{cases}$

soit  $h = 40 \text{ cm} \quad h' = 35 \text{ cm}$   
 $ht = 45 \text{ cm} \quad ht = 40 \text{ cm}$

Diagrammes des moments et d'efforts tranchants:



①  $T_1 = - \frac{43,8}{0,7} \times 0,35 + 30,36 \times 0,35 = -11,4 \text{ kdaN}$

$T_2 = - \frac{43,8}{0,7} \times 0,7 + 30,36 \times 0,7 = -22,8 \text{ kdaN}$



$$T_3 = -\frac{43,8}{0,7} \times 0,7 + 30,36 \times 1,5 = 3,75 \text{ kdaN} \quad 164$$

$$M_1 = -\frac{43,8}{0,7} \times \frac{0,35^2}{2} + 30,36 \times \frac{(0,35)^2}{2} = -1,995 \text{ kdaN.m.}$$

$$M_2 = -\frac{43,8}{0,7} \times \frac{(0,7)^2}{2} + 30,36 \times \frac{(0,7)^2}{2} = -7,892 \text{ kdaN.m.}$$

$$M_3 = -43,8 \times 1,15 + 30,26 \times \frac{(1,5)^2}{2} = -16,265 \text{ kdaN.m.} \quad M_4 = 0$$

$$M_{\max} = 16,564 \text{ kdaN.m.} \quad T_{\max} = -22,8 \text{ kdaN}$$

Ferraillage 1. Semelles (S2)  $A_x = A_B = \frac{F_y (150 - 70)}{8 h \bar{\sigma}_a} = \frac{4550 \times 10^3 (80)}{8 \times 2800 \times 40} =$

$$A_x = 4,067 \text{ cm}^2 \quad 6T10 (A = 4,71 \text{ cm}^2)$$

2. Semelle: (S7)  $A_y = A_{B2} = \frac{G (220 - 70)}{8 h \bar{\sigma}_a} = \frac{96,80 \times 10^3 \times 150}{8 \times 40 \times 2800}$

$$A_y = 16,21 \text{ cm}^2 \quad 11T14 (A = 16,93 \text{ cm}^2)$$

3. Poutre :

$$b_0 = 70 \text{ cm}$$

$$M_{rb} = k_b b_0^2 = 24,381 \times 0,7^2 \geq M_{\max} = 16,564 \text{ kdaN.m.} \Rightarrow h \geq 31,15 \text{ cm}$$

$$A_s = \frac{16,564 \times 10^5}{\frac{7}{8} \times 35 \times 2800} = 19,32 \text{ cm}^2 \quad \rightarrow 7T20 (A = 21,99 \text{ cm}^2)$$

$$A_i \Rightarrow \text{prendre } 7T10 \text{ pour le montage} \quad A = 5,49 \text{ cm}^2$$

Effort tranchant :  $T_{\max} = -22,8 \text{ kdaN} \Rightarrow \bar{\tau}_b = \frac{T_{\max}}{b_0} = \frac{22800}{70 \times \frac{7}{8} \times 35} = 16,656 \frac{\text{daN}}{\text{cm}^2}$

$$M_{rb} = 20907 \text{ mdaN} > M \Rightarrow \sigma'_b \geq \bar{\sigma}'_b \Rightarrow \bar{\tau}_b = (4,5 - \frac{\sigma'_b}{\bar{\sigma}'_b}) \bar{\sigma}'_b = 20,16$$

$$\mu = \frac{15 M_2}{\bar{\sigma}_a b_0 h^2} = 0,050 \Rightarrow K = 38,3 \quad E = 0,9062 \Rightarrow \sigma'_b = \frac{\bar{\sigma}_a}{K} = 73,11 > \bar{\sigma}'_b$$

$$\bar{\tau}_b < \bar{\tau}_b = 20,16 \text{ daN/cm}^2$$

Aciers transversaux  $\bar{\sigma}_{at} = \rho_{at} \bar{\sigma}_{en}$  avec  $\rho_{at} = \max\left(1 - \frac{\bar{\tau}_b}{9 \bar{\sigma}'_b}, \frac{2}{3}\right) = 0,800$

Cadre  $\rightarrow$  Perchet 78

$$A_t = 7T8 \rightarrow 3,51 \text{ cm}^2 \quad \text{et } \bar{\sigma}_{at} = 0,8 \bar{\sigma}_{en} = 0,8 \times 4200 = 3360 \frac{\text{daN}}{\text{cm}^2}$$

espacement :  $t \leq \frac{3 \cdot \bar{\sigma}_{at}}{T} \cdot A_t = \frac{7/8 \times 35 \times 3360 \times 3,51}{22,8 \times 10^3} = 15,84 \text{ cm} > \bar{t} = 0,2h = 7 \text{ cm}$

nous prenons donc l'espacement admissible  $t = \bar{t} = 7 \text{ cm}$  constant le long de la poutre

## semelle isolée S3

$$\bar{\sigma}_a = 2860 \frac{\text{daN}}{\text{cm}^2}$$

$$\bar{\sigma}_s = 2 \text{ daN/cm}^2$$

$$D = 1,5 \text{ m. (Auvage)}$$

Efforts transmis à la semelle :

$$N_c = 45,18 \text{ kdaN}$$

$$M = 1,94 \text{ kdaN}\cdot\text{m}$$

} avec  $6+1,2P$ 

On ne tiendra pas compte du moment dans le calcul de cette semelle or il engendre une contrainte très faible. De ce fait on aura à calculer : une semelle centrée, qui doit être vérifiée avec les efforts de SP2.

les semelles sont rigides, les réactions du sol sont uniformes.

pour une semelle rigide  $h \geq \frac{A-a}{4}$

On procède à la vérification de poinçonnement donnée par la relation empirique de Caquot.

$$h_t - d \geq 1,44 \sqrt{\frac{N}{\sigma_{b_0}}}$$

\* prédimensionnement :

$$\bar{\sigma}_s = \frac{N_c}{A^2} \leq \bar{\sigma}_s \Rightarrow A \geq \sqrt{\frac{N_c}{\bar{\sigma}_s}} = 150,3 \text{ cm}$$

$$\Rightarrow \text{On prend } A = 160 \text{ cm.} \quad \Rightarrow h \geq \frac{160 - 70}{4} = 22,5$$

d'autre part :

$$h = h_t - d \geq 1,44 \sqrt{\frac{45180}{67,5}} = 37,25 \text{ cm.}$$

$$\text{soit } h = 40 \text{ cm} \quad \text{et } h_t = 45 \text{ cm.}$$

poids des terres au dessus de la semelle :

$$N_t = \left[ (A^2 - a^2)(D - h_t) + (A^2 - a^2) \frac{(h_t - h_1)}{2} \right] \times 1,6$$

$$h_1 \geq 6\phi + 6 \quad \text{nous prenons } h_1 = 25 \text{ cm.}$$

$$\Rightarrow N_t = 3,81 \text{ kdaN}$$

$$\text{poids du massif de semelle : } N_s = \left[ A^2 \times h + \frac{(A^2 + a^2)}{2} \times (h_t - h_1) \right] \times 2,5 =$$

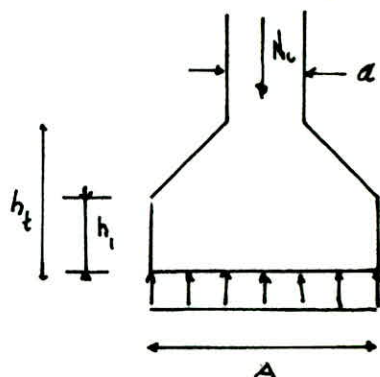
$$N_s = 2,26 \text{ kdaN.}$$

$$N_{\text{TOTAL}} = N_c + N_t + N_s = 51,25 \text{ kdaN} \quad \rightarrow A = \sqrt{\frac{51250}{2}} = 160,01$$

$$\text{finalement : } A = 160 \text{ cm.} \quad h_1 = 25 \text{ cm.} \quad h = 40 \text{ cm} \quad h_t = 45 \text{ cm.}$$

$$\text{ferraillage : Méthode des briques : } A_x = A_y = \frac{N_{\text{TOT}}(A-a)}{8 h \bar{\sigma}_a} = 5,15 \text{ cm}^2$$

$$\text{soit } 5 \text{ T12 } (A = 5,65 \text{ cm}^2) \text{ dans chaque sens.}$$





sem. isolée S4:  $M = 5,523 \text{ kdaN.m.}$   
 $N_c = 77,404 \text{ kdaN}$

$$A^2 \gg \frac{N_c}{\bar{\sigma}_s} \Rightarrow A = 196,7 \text{ cm} \quad \text{prendre } A = 210 \text{ cm.}$$

$$h \geq \frac{210 - 70}{4} = 32,5 \text{ cm} \quad \text{et } h_t - d \geq 1,44 \sqrt{\frac{77,404}{67,5}} = 48,76$$

$$\rightarrow h = 50 \text{ cm} \quad \text{et } h_t = 55 \text{ cm.} \quad \text{et } h_1 = 30 \text{ cm}$$

pois des terres :  $N_t = 6,74 \text{ kdaN}$   
 pois du massif :  $N_s = 7,29 \text{ kdaN}$

$$N_{\text{TOTAL}} = N_c + N_s + N_t = 91,43 \text{ kdaN} \Rightarrow A \geq \sqrt{\frac{91430}{(2,00)}} = 213,81 \text{ cm}$$

$$\text{ou prends } A = 220 \text{ cm} \quad \text{et } h = 55 \text{ cm.} \quad h_t = 60 \text{ cm} \quad h_1 = 30 \text{ cm.}$$

$$\text{Ferraillage } A_x = A_y = \frac{N_{\text{TOT}} (A - a)}{8 h \bar{\sigma}_a} = 11,13 \text{ cm}^2 \rightarrow 10 \text{ T12 } (A = 11,37 \text{ cm}^2)$$

verification sous SP2

$$\text{avec } G + P + 1,2 \overset{\leftarrow}{S_i} : \quad M = 16,598 \text{ kdaN.m.}$$

$$N_c = 81380 \text{ daN}$$

$$T = 6,74 \text{ kdaN.}$$

$$N_{\text{TOT}} = N_c + N_t + N_s = 95410 \text{ daN}$$

$$\sigma_{1,2} = \frac{N_c}{S} \mp \frac{M \cdot V}{I} \quad \text{avec } V = \frac{A}{4}$$

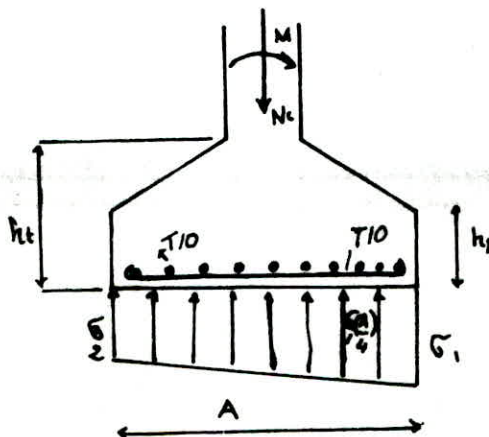
$$I = \frac{A^4}{12}$$

$$\Rightarrow \sigma_{1,2} = \frac{N_c}{A^2} \mp \frac{3M}{A^3} = \frac{95410}{(220)^2} \mp \frac{3 \times 1659800}{(220)^3} \rightarrow \sigma_1 = 2,44 \text{ daN/cm}^2$$

$$\rightarrow \sigma_2 = 1,50 \text{ daN/cm}^2$$

$$\text{ou verifie } \sigma(A/4) \leq \bar{\sigma}_s \quad \text{avec } \bar{\sigma}_s = 1,5 \times 2 = 3 \text{ daN/cm}^2 \text{ pour SP2}$$

$$\sigma(A/4) = \frac{3\sigma_1 + \sigma_2}{4} = 2,21 < 3 \text{ daN/cm}^2.$$



Semelle isolée S5

$$N_c = 51894 \text{ daN}$$

$$M = -0,031 \text{ kdaN.m (négligeable)}$$

$$\frac{N_c}{A^2} \leq \bar{\sigma}_s \Rightarrow A^2 \geq \frac{51894}{2} \Rightarrow A = 161 \text{ cm.}$$

On prends  $A = 180 \text{ cm}$

hypothèse de semelle rigide :  $h \geq \frac{A-a}{4} = \frac{180-70}{4} = 27,5 \text{ cm.}$

Condition de non poinçonnement :  $h_t - d \geq 1,44 \sqrt{\frac{N}{\bar{\sigma}_{bo}}} = 39,9 \text{ cm}$

$$\Rightarrow \begin{cases} h = 40 \text{ cm} \\ h_t = 45 \text{ cm} \\ h_f = 25 \text{ cm} \end{cases}$$

pois des terres au dessus de la semelle :  $N_t = 5,06 \text{ kdaN}$

pois du massif de semelle :  $N_s = 4,43 \text{ kdaN}$

Effort normal total  $N_{\text{total}} = 61,384 \text{ kdaN}$

$$\bar{\sigma}_s = \frac{N}{A^2} = \frac{61384}{(180)^2} = 1,89 \frac{\text{daN}}{\text{cm}^2} < \bar{\sigma}_s = 2 \frac{\text{daN}}{\text{cm}^2}$$

Ferraillage :  $A_x = A_y = \frac{61384 \times (180-70)}{8 \times 40 \times 2800} = 7,54 \text{ cm}^2$

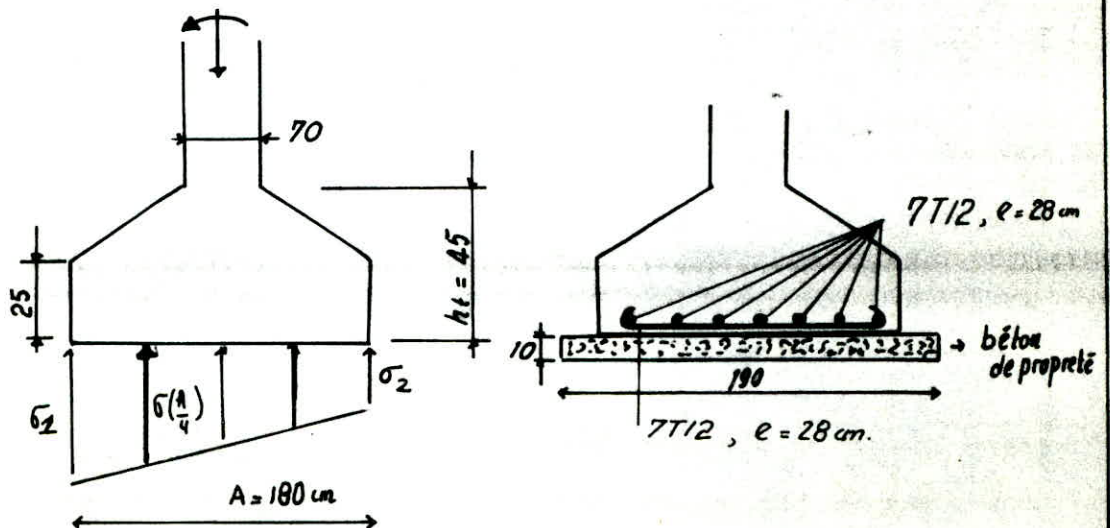
soit 7 T12 ( $A = 7,91 \text{ cm}^2$ )

Vérifications avec les efforts de SP2 :  $N_c = 49728 \text{ daN}$   
 $M = -14682 \text{ daN.m}$

$$N_{\text{TOTAL}} = 59218 \text{ daN}$$

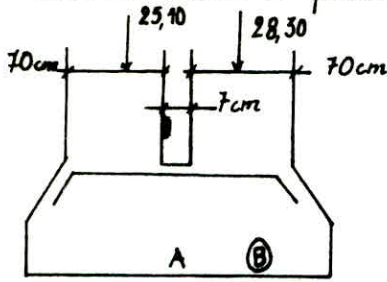
$$\bar{\sigma}_s = 1,5 \times 2 = 3 \text{ daN/cm}^2$$

$$\sigma_{1,2} = \frac{N_c}{A^2} \pm \frac{3M}{A^3} \Rightarrow \left. \begin{array}{l} \sigma_1 = 2,58 \text{ daN/cm}^2 \\ \sigma_2 = 1,07 \text{ daN/cm}^2 \end{array} \right\} \Rightarrow \bar{\sigma} \left( \frac{A}{4} \right) = \frac{\sigma_1 + \sigma_2}{4} = 2,20 < 3 \frac{\text{daN}}{\text{cm}^2}$$





Semelle sous 2 poteaux séparés par un joint de dilatation : SB



il s'agit d'une semelle sous 2 poteaux vue que l'espacement est très petit et la semelle rigide : on admet une répartition rectangulaire.

Pour raison de simplification, le calcul se

fait comme une fondation sous 1 poteau

de largeur :  $2 \cdot 0,70 + 0,07 = 1,47 \text{ m}$  ;  $0,70 \text{ m}$

$$\frac{A}{B} = \frac{1,47}{0,70} = 2,10 \quad , \quad N_0 = 53,4 \text{ kdaN} \quad , \quad \sigma_{\text{sol}} = 2 \text{ daN/cm}^2$$

$$\sigma = \frac{N_0}{A \cdot B} \leq \sigma_s \Rightarrow A \geq \sqrt{\frac{N_0}{\sigma_s} \cdot 2,10} = 2,37 \text{ m} \rightarrow \text{on prend } A = 2,60 \text{ m} \Rightarrow B = 1,25 \text{ m}$$

$$h \geq \frac{A-a}{4} = \frac{2,60-1,47}{4} = 28,75 \text{ cm}$$

$$h = 45 \text{ cm} \quad , \quad h_t = 50 \text{ cm} \quad e \geq 6\phi + 6 \quad e = 15 \text{ cm}$$

Calcul de l'effort normal total :-

Poids des terres :-

$$N_t = \left[ (2,60 \cdot 1,25 - 1,47 \cdot 0,70) \left( 100 + \frac{35}{2} \right) + 7 \cdot 100 \cdot 0,70 \right] \cdot 1,6 \cdot 10^{-6} = 4,25 \text{ kdaN}$$

Poids de la semelle :-

$$N_s = (2,60 \cdot 1,25 \cdot (15 + \frac{35}{2}) + 2 \cdot 100 \cdot 0,70 \cdot 0,70) \cdot 2,5 \cdot 10^{-6} = 5,09 \text{ kdaN}$$

$$N_T = N_0 + N_t + N_s = 62,74 \text{ kdaN} \quad , \quad \frac{N_{TOT}}{A \cdot B} = 1,93 \text{ daN/cm}^2 < \sigma_s = 2 \text{ daN/cm}^2$$

Calcul des armatures :

il s'agit d'une semelle rigide, on utilise la méthode des bielles :-

$$A_y = \frac{N(A-a)}{8h\sigma_s} = 7,16 \text{ cm}^2 \quad (7T12 = 7,91 \text{ cm}^2) \quad , \quad A_x = \frac{N(B-b)}{8h\sigma_s} = 3,42 \text{ cm}^2 \quad (4T12 = 4,52 \text{ cm}^2)$$

- Les armatures inférieures de la semelle doivent être munies de crochets capables d'équilibrer l'effort provenant des bielles. Ces crochets présentent un rayon de courbure suffisant pour satisfaire à la condition de non-écrasement du béton. ces crochets se feront avec un angle de  $120^\circ$  au minimum.

- au niveau du joint, on prendra la précaution de couder la partie supérieure pour éviter la fissuration.

$$\text{Vérification sous SP2 : } N = 32,58 + 36,05 + 4,25 + 5,09 = 77,97 \text{ kdaN}$$

$$M_p = -9,78 + 19,505 = 9,725 \text{ kdaN.m}$$

$$\sigma(A/4) = \frac{N}{A \cdot B} + \frac{3M}{8A^2} = 2,75 \text{ daN/cm}^2 < \sigma_s \cdot 1,5 = 3 \text{ daN/cm}^2$$

Calcul de la semelle isolée : -  $S'_2$

$N_0 = 54,74 \text{ kdaN}$ . le calcul se fera par la méthode des bielles

semelle carrée :  $A \gg \sqrt{\frac{N_0}{\sigma_s}} = 165,44 \text{ cm} \rightarrow A = 1,80 \text{ m}$ .

$h \gg \frac{A-a}{4} = 27,5 \text{ cm}$   $h = 45 \text{ cm}$ ,  $h_t = 50 \text{ cm}$   $e = 15 \text{ cm} \gg 6\phi + 6$  ( $\phi = 1,2 \text{ cm}$ )

Poids des terres :-

$$N_t = \left[ (180^2 - 70^2) 100 + (180^2 - 70^2) \frac{35}{2} \right] \cdot 1,6 \cdot 10^{-6} = 5,17 \text{ kdaN}$$

Poids de la semelle :

$$N_s = \left[ 180^2 \left( 15 + \frac{35}{2} \right) + 100 \cdot 70 \cdot 70 \right] \cdot 2,5 \cdot 10^{-6} = 3,86 \text{ kdaN}$$

$$N_{TOT} = 63,77 \text{ kdaN} \quad \sigma = \frac{N_T}{A^2} = 1,968 \text{ daN/cm}^2 < \bar{\sigma}_s = 2 \text{ daN/cm}^2$$

$$A_x = A_y = \frac{N \cdot (A-a)}{8h \cdot \bar{\sigma}_a} = \frac{63,77 \cdot 10^3 \cdot (180-70)}{8 \cdot 45 \cdot 2800} = 6,96 \text{ cm}^2 \rightarrow 7T12 = 7,91 \text{ cm}^2 \text{ dans chaque sens.}$$

verification sous sp2 :-

$$\left\{ \begin{array}{l} N_t = 52,72 \text{ kdaN} + 5,17 + 3,86 = 61,75 \text{ daN} \\ M_t = 11,34 \text{ m.kdaN} \end{array} \right. \quad \sigma(A/4) = \frac{N}{S} + \frac{M}{I} \cdot \frac{A}{4} = \frac{N}{A^2} + \frac{M}{A^4} \cdot 12 \cdot \frac{A}{4} = \frac{N}{A^2} + \frac{3M}{A^3}$$

$$\sigma(A/4) = 2,29 \text{ daN/cm}^2 < 1,5 \cdot 2 = 3 \text{ daN/cm}^2$$

Calcul de la semelle isolée :  $S'_3$

$N_0 = 25,10 \text{ kdaN}$ .  $A \gg \sqrt{\frac{N_0}{\sigma_s}} = 112,03 \text{ cm}$   $A = 1,50 \text{ m}$

$h \gg \frac{A-a}{4} = 20 \text{ cm} \rightarrow h = 35 \text{ cm}$  et  $h_t = 40 \text{ cm}$   $e = 15 \text{ cm}$

Poids des terres :  $N_t = \left[ (150^2 - 70^2) (110 + \frac{25}{2}) \right] \cdot 1,6 \cdot 10^{-6} = 3,65 \text{ kdaN}$

Poids de la semelle :  $N_s = \left[ 150^2 \cdot \left( 15 + \frac{25}{2} \right) + 100 \cdot 70 \cdot 70 \right] \cdot 2,5 \cdot 10^{-6} = 2,77 \text{ kdaN}$

$$N_T = 31,32 \text{ kdaN} \quad \frac{N_T}{A^2} = 1,392 < \bar{\sigma}_s = 2 \text{ daN/cm}^2$$

verification sous sp2.

$$\left\{ \begin{array}{l} N_t = 32,58 + 3,45 + 2,77 = 38,8 \\ M_t = 9,78 \text{ kdaN.m} \end{array} \right. \quad \sigma(A/4) = \frac{N}{A^2} + \frac{3M}{A^3} = 2,594 \text{ daN/cm}^2 < 1,5 \bar{\sigma}_s = 3 \text{ daN/cm}^2$$

$$A_x = A_y = \frac{N_T (A-a)}{8h \cdot \bar{\sigma}_a} = 3,196 \text{ cm}^2 \rightarrow 5T10 = 3,93 \text{ cm}^2 \text{ dans chaque sens.}$$

Verific. au poinçon.

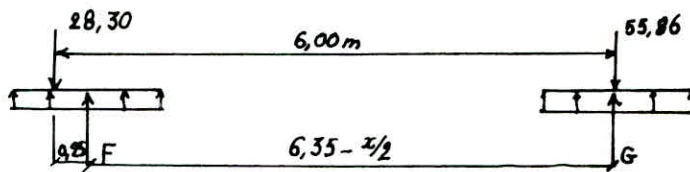
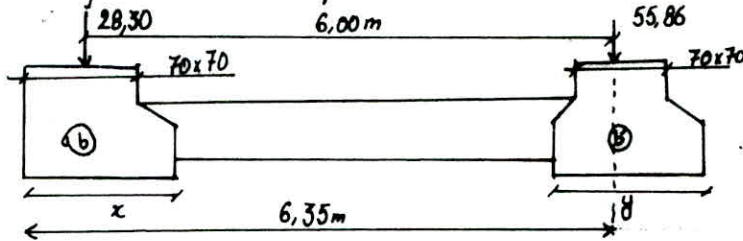
$$h \gg 1,44 \sqrt{\frac{N_T}{\bar{\sigma}_b}} = 31,02 \text{ cm} \quad \text{verifié.}$$



Calcul de la semelle excentrée :  $S_4 - S_6$

Cette semelle excentrée sera liée à une semelle centrée par une poutre de redressement (poutre rigide)

Vue l'importance des efforts sous  $sp_2$  le calcul se fera avec  $sp_2$  et une vérification sous  $sp_1$ .

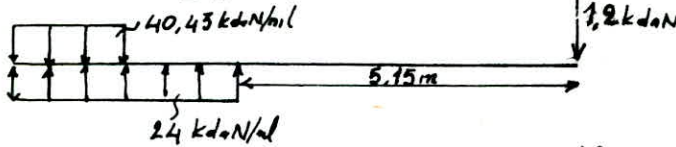


$$\sum M_G = 0 ; 28,30 \cdot 6,00 = 20 \cdot b \cdot x \left(6,35 - \frac{x}{2}\right) \Rightarrow 10bx^2 - 127bx + 1698 = 0$$

on prend  $b = x$  on trouve :  $b = x = 1,20 \text{ m}$

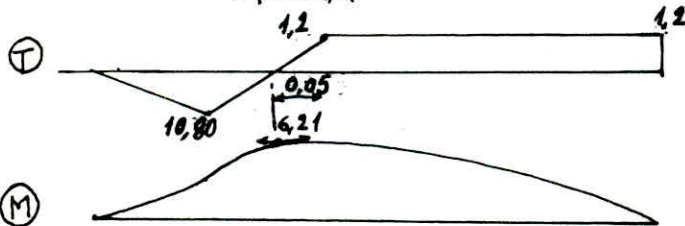
$$F = 20 \cdot 1,20^2 = 28,8 \text{ kdaN} ; F + G = 28,30 + 55,86 = 84,16 \text{ kdaN}$$

$$\sum M_F = 0 \Rightarrow G = 54,86 \text{ kdaN} \quad (y \times b' = 1,70 \times 1,70)$$



$$T_{\max} = 10,80 \text{ kdaN}$$

$$M_{\max} = 6,21 \text{ kdaN}\cdot\text{m}$$



- Coffrage de la poutre :  $M_{\max} = 6,21 \text{ kdaN}\cdot\text{m}$   $M_{rb} = k \cdot b \cdot h^2$ ,  $k = \frac{\sigma_b' \cdot \alpha (1 - \alpha/3)}{2}$

$$\alpha = \frac{n \cdot \sigma_b'}{2 \sigma_b' + \sigma_s} = 0,465 ; k = 31,8 \quad \text{Si on prend } b : \text{ larg. de la poutre} = 20 \text{ cm}$$

$$h_{\min} \geq \sqrt{\frac{M_{\max}}{k \cdot b}} = 31,27 \text{ cm} \quad \text{on prend } h = 40 \text{ cm} \quad h_f = 45 \text{ cm}$$

- Semelles

pour faciliter la mise en place :  $h = 45 \text{ cm} \rightarrow h_f = 50 \text{ cm}$  semelle très rigide

- Les armatures :

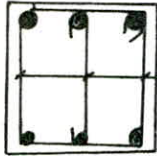
$$\text{Semelle : } x \times b ; A' = \frac{28,8 \cdot 10^3 (120 - 70)}{8 \cdot 45 \cdot 2800} = 1,43 \text{ cm}^2 \rightarrow 3T10 \text{ dans chaque sens}$$

$$\text{semelle : } y \times b' : A' = \frac{54,86 \cdot 10^3 (170 - 70)}{8 \cdot 45 \cdot 2800} = 5,42 \text{ cm}^2 \rightarrow 7T10 = 5,45 \text{ cm}^2 \text{ chaque sens.}$$

Poutre :

$$\text{Armatures sup.} : A_s = \frac{6,21 \cdot 10^5}{0,85 \cdot 40 \cdot 2800} = 6,52 \text{ cm}^2 \rightarrow 3T20 = 9,42 \text{ cm}^2$$

Armatures inf. : montage : 3T10



$$A_t = 3\phi 6 = 2,54 \text{ cm}^2$$

pour  $T = 10,8 \text{ kdaN}$

$$t = \frac{A_t \cdot \bar{\sigma}_{ad}}{T} = \frac{2,54 \cdot \frac{7}{8} \cdot 40 \cdot 1600}{10,8 \cdot 10^3} = 13,17 \text{ cm } t = 20$$

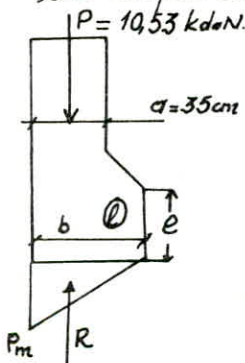
$$T = 1,2 \text{ kdaN} \quad t = 118,53 \text{ cm} \rightarrow \text{on prend } t = 25 \text{ cm}$$

Fondations du BLOC B R.d.c

Calcul de la semelle S11 : semelle excentré

- la repartition est fonction des déformabilités de la semelle et du terrain, mais s'il s'agit des semelles très rigides et sol cohérent on peut admettre une loi linéaire.

Vue la faible charge et que le sol est cohérent on prévoit la solution du triple consolé.



on prend  $b = 3/2 \alpha = 52,5 \text{ cm} \rightarrow b = 55 \text{ cm}$   
au delà de cette distance la semelle ne participe pas à la résistance.

$$R = \frac{b \cdot P_m}{2} \cdot l \geq P \Rightarrow l \geq \frac{P \cdot 2}{b \cdot P_m} = \frac{10,53 \cdot 10^3 \cdot 2}{52,5 \cdot 2} = 200,57 \text{ cm}$$

$$s. \text{ rigide: } \quad l = 220 \text{ cm}$$

$$h \geq \frac{l - \alpha}{4} = \frac{220 - 35}{4} = 46,25 \text{ cm} \quad h = 50 \text{ cm} \quad h_t = 55 \text{ cm}$$

$$e = 15 \text{ cm}$$

Poids des terres :-

$$N_t = \left[ \left( 95 + \frac{35}{2} \right) (220 \cdot 55 - 35 \cdot 35) \right] \cdot 1,6 \cdot 10^{-6} = 1,96 \text{ kdaN}$$

Poids de semelle :-

$$N_s = \left[ 135 \cdot 35 \cdot 35 + 15 \cdot 220 \cdot 55 \right] \cdot 2,5 \cdot 10^{-6} = 0,83 \text{ kdaN}$$

$$N_{TOT} = 13,2 \text{ kdaN} \quad P_m = \frac{4 N_{TOT}}{3 \cdot \alpha \cdot l} = 2,34 > \sigma_s = 2 \text{ daN/cm}^2$$

on fait une autre iteration :-

$$\text{on prend : } l = 270 \text{ cm} \quad h = 60 \text{ cm} \quad h_t = 65 \text{ cm}$$

$$N_t = \left[ \left( 85 + \frac{50}{2} \right) (270 \cdot 55 - 35 \cdot 35) \right] \cdot 1,6 \cdot 10^{-6} = 2,398 \text{ kdaN}$$

$$N_s = \left[ 135 \cdot 35 \cdot 35 + 15 \cdot 270 \cdot 55 \right] \cdot 2,5 \cdot 10^{-6} = 0,97 \text{ kdaN}$$

$$N_{TOT} = 13,90 \text{ kdaN} \quad P_m = \frac{4 N_T}{3 \cdot \alpha \cdot l} = 1,96 \text{ daN/cm}^2 < \sigma_s = 2 \text{ daN/cm}^2$$

il s'agit d'une semelle rigide on utilise la méthode des bielles :

$$\text{aciers longitudinaux} : A' = \frac{13,9 \cdot 10^3 \cdot (270 - 35)}{8 \cdot 50 \cdot 2800} = 2,92 \text{ cm}^2 \rightarrow 4T10 = 3,14 \text{ cm}^2$$

$$\text{aciers transversaux} : A' = \frac{13,9 \cdot 10^3 \cdot (55 - 35)}{8 \cdot 50 \cdot 2800} = 0,25 \text{ cm}^2 \rightarrow 3T10$$



Calcul de la semelle isolée S9 :-

$$N_0 = 21,56 \text{ kdaN} \quad A \gg \sqrt{\frac{N_0}{\sigma_s}} = 120 \text{ cm} \quad h \gg \frac{A-a}{4} = 21,25 \text{ cm} \quad h = 30 \text{ cm}, \quad h_f = 35 \text{ cm}$$

Poids des terres:  $N_t = \left[ (120^2 - 35^2) \left( \frac{20}{2} + 115 \right) \right] \cdot 1,6 \cdot 10^{-6} = 2,64 \text{ kdaN}$

Poids de la semelle:  $N_s = \left[ 120^2 \left( 20 + \frac{15}{2} \right) + 115 \cdot 35 \cdot 35 \right] \cdot 2,5 \cdot 10^{-6} = 1,34 \text{ kdaN}$

$$N_{TOT} = 25,54 \text{ kdaN} \quad \frac{N_{TOT}}{A^2} = 1,77 \text{ daN/cm}^2 < \sigma_c = 2 \text{ daN/cm}^2$$

$$A_x = A_y = \frac{25,54 \cdot 10^3 (120 - 35)}{8 \cdot 30 \cdot 2800} = 3,23 \text{ cm}^2 \rightarrow 4T12 = 4,52 \text{ cm}^2 \text{ dans chaque sens}$$

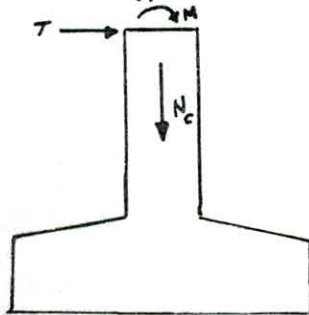
Semelle isolée S10:

$$N_0 = 3,31 \text{ kdaN} \quad N_t + N_s = 4 \text{ kdaN} \quad A \gg \sqrt{\frac{N_{TOT}}{\sigma_c}} = 60,46 \text{ cm} \quad A = 70 \text{ cm}$$

$$h = 20 \text{ cm}, \quad h_f = 25 \text{ cm}, \quad e = 15 \text{ cm}$$

$$A_x = A_y = \frac{7,31 \cdot 10^3 (70 - 35)}{8 \cdot 20 \cdot 2800} = 0,57 \text{ cm}^2 \rightarrow 3T10 \text{ dans chaque sens}$$

CALCUL DU FÛT : Les fondations doivent être ancrées à 1,5 m  
 Les semelles ont pour hauteur totale maximale  
 $h_t = 50 \text{ cm}$ . L'assemblage de platine au massif doit être au dessus  
 du sol ; on prévoit un poteau en B.A de dimensions  $70 \times 40 \text{ cm}^2$   
 ce poteau est soumis à un effort normal  $N$  et un moment  $M$   
 et l'effort tranchant  $T$ , et a une hauteur égale à  $(1,5 - h_t) \text{ [m]}$   
 Soit : 1 m.



Pot 2-C

$$\left. \begin{aligned} M &= 16,598 \text{ kdaN.m} \\ N_c &= 81,38 \text{ kdaN} \\ T &= 6,74 \text{ kdaN} \end{aligned} \right\} \text{ avec } G + P + 1,25i$$

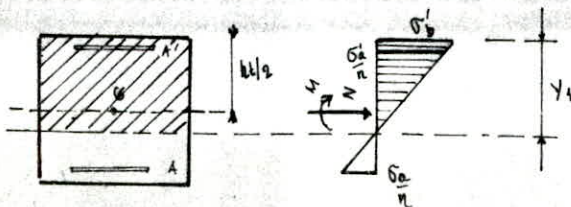
$$M_{TOTAL} = M + T h_f = 16,598 + 6,74 \times 1 = 23,338 \text{ kdaN.m}$$

CALCUL en Flexion Composée :  $e_0 = \frac{M}{N} = 28,7 \text{ cm}$

on prend  $d = d' = 3 \text{ cm}$ .

$$e_a = \frac{h_t}{6} = \frac{70}{6} = 11,7 \text{ cm}$$

$e_0 > \frac{h_t}{6}$  : Section partiellement comprimée :



Calcul du moment fictif :  $M = N f$  avec  $f = e_0 + \frac{h_t}{2} - d = 60,7 \text{ cm}$

$$M = 81,38 \times 0,607 = 49,400 \text{ kdaN}\cdot\text{m}$$

Moment / au c.d.g des armatures tendues

en F. simple sous l'effet de  $M$  :  $\mu = \frac{15M}{\bar{\sigma}_a b h^2} = \frac{15 \times 49,4 \times 10^5}{2800 \times 90 \times 67^2} = 0,0842$

$$\mu = 0,0842 \rightarrow K = 27,65$$

$$E = 0,8828$$

$$\sigma'_b = \frac{\bar{\sigma}_a}{K} = \frac{2800}{27,65} = 101,3 < 135 \text{ daN/cm}^2$$

Les aciers comprimés ne sont pas nécessaires, mais comme le moment peut changer de sens, nous adoptons un ferrillage symétrique.  $A = A'$

soit  $A_1$ : la section d'armatures tendues trouvées par le calcul de flexion simple.

et  $A$ : sect. d'armatures dans la section soumise à  $N$  et  $M$

$$A = A_1 - \frac{N}{\bar{\sigma}_a}$$

$$A_1 = \frac{49,4 \times 10^5}{2800 \times 0,8828 \times 67} = 29,83 \text{ cm}^2$$

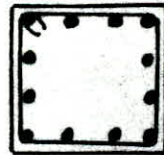
$$\frac{N}{\bar{\sigma}_a} = \frac{81,38 \times 10^3}{2800} = 29,06$$

$$\Rightarrow A = 29,83 - 29,06 = 0,77 \text{ cm}^2$$

$$\tilde{\omega}_{\min} = 0,25 \% \Rightarrow A_{\min} = \frac{\tilde{\omega} b h t}{100} = 11,73 \text{ cm}^2$$

on prend  $A > A_{\min}$  soit 4T20  $A = 12,56 \text{ cm}^2$

4T20 sur chaque côté et pour chaque sens





**LONGRINES**

Les longrines sont indispensables au droit de chaque file de poteaux dans le cas où la distance verticale entre le dessus des fondations et la sous face du plancher de référence est  $\geq 1$  m.

Les longrines auront comme dimensions minimales  $25 \times 30$  pour les sols de consistance moyenne. Ils doivent équilibrer une force axiale de compression ou de traction égale à 10% de la plus grande charge verticale; il faut ajouter les effets des charges et moments appliqués directement aux longrines. Le ferraillage minimum doit être  $4 \Phi_{14}$  ou  $4 T12$  avec un espacement  $\leq 20$  cm. Notre construction est à ossature légère, les efforts ne sont importants, nous prenons donc des longrines de  $25 \times 30$  cm avec un ferraillage de  $4 T12$ .

**DALLAGE**: On réalise habituellement sous forme de dallage les surfaces utilisables des immeubles. Un dallage est constitué par une dalle pleine en béton armé pour notre cas l'épaisseur de la dalle est 10 cm, elle est séparée du terrain sous-jacent par un lissage en pierres servant de répartition aux charges localisées. L'interposition est complétée par un écran pare-vapeur s'opposant au remontées capillaires.

**CALCUL DU VOILE PERIPHERIQUE**

sous le R.D.C. on dispose des murs périphériques en B.A de hauteur 1 m qui ceinturent tout le bâtiment et relient les fondations dans les 2 sens.

l'épaisseur est limitée par le RPA 81 (Art 3.3.8.5):

$$e \geq \max\left(\frac{h}{10}, 0,15\right) \text{ avec } h: \text{ hauteur du voile} = 1 \text{ m}$$

$$\text{soit } e \geq \max(0,1, 0,15) = 15 \text{ cm. Nous prenons } e = 20 \text{ cm}$$

**Ferraillage**: Armatures longitudinales filantes supérieures et inférieures:

$$A \geq 0,20\% h \cdot e = 0,20\% \times 100 \times 20 = 4 \text{ cm}^2 \rightarrow 2 T16 \quad (A = 4,02 \text{ cm}^2)$$

Armatures longitudinales de peau:  $A_p \geq 2 \text{ cm}^2$  Soit  $4 T10$  / ml espacés de 25 cm

CALCUL DE JOINTS  
(dilatation et rupture)

Joint de dilatation entre BLOC A et BLOC C :-

On a étudié chaque bloc séparément, donc le joint entre les 2 blocs doit permettre le libre déplacement à chaque bloc. Le remplissage doit être réalisé avec un matériau cassant comme par exemple le liège afin d'empêcher la transmission des efforts entre les 2 blocs

Le libre déplacement conduit à prendre une épaisseur  $e$  du joint

$$e \gg \delta_{i \text{ transv}}^A + \delta_{i \text{ longit.}}^C = 2,57 + 3,81 = 6,38 \text{ cm}$$

$\delta_i$  : déplacement du niveau terrasse

Largeur du joint d'après le R.P.A :  $e \gg \frac{H_1}{300} = \frac{1398}{300} = 4,66 \text{ cm}$

$H_1$  : hauteur du bloc le moins bas.

Conclusion : on prend une épaisseur :  $e = 6,5 \text{ cm}$

Joint de rupture entre BLOC B et les 2 blocs A et C :-

de la même manière que précédemment le libre déplacement conduit à :-

sens transversal :  $e \gg \delta_{i \text{ transv}}^A + \delta_{i \text{ transv}}^B = 0,40 + 0,59 = 0,99 \text{ cm}$

sens longitudinal :  $e \gg \delta_{i \text{ transv}}^C + \delta_{i \text{ longit.}}^B = 0,32 + 1,18 = 1,50 \text{ cm}$

$\delta_i^A$  : déplacement du niveau I.

et d'après le R.P.A :  $e \gg \frac{H_1}{300} = \frac{404}{300} = 1,35 \text{ cm}$

Conclusion : on prend une épaisseur  $e = 5 \text{ cm}$



### CALCUL DE TASSEMENT

nous nous limitons au calcul de tassements sous 2 semelles uniquement, Ceci nous permet de calculer le tassement différentiel.

on devra vérifier  $\delta = \frac{\Delta S}{l} < \frac{1}{250}$  avec  $\Delta S$  tassement différentiel.  
 $l$ : l'entre axes des 2 semelles.  
 $\delta$ : distorsion.

La courbe oedométrique donne le rapport de l'étude du sol indique:

$\sigma_c$ : pression de consolidation = 2,480 bars

$C_c$ : coef de consolidation = 0,113

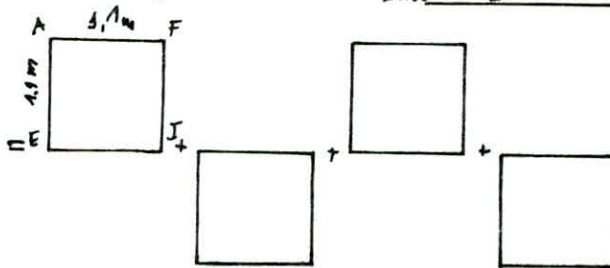
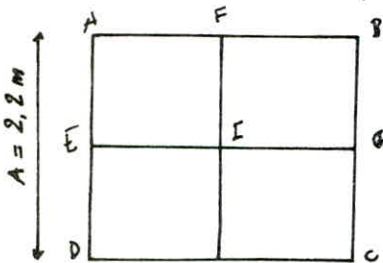
$C_e$ : = 0,029

$$\sigma_0 = \gamma_1 D + \gamma_2 Z = 1,6 \times 1,5 + 1,8 \times 5 = 11,4 \text{ t/m}^2 \approx 1,14 \text{ daN/cm}^2$$

Semelle S4.

$$\Delta \sigma = k_0 \cdot q = 4 k_0 q$$

$$a = \frac{A}{2} = 1,1 \text{ m}$$



$$k_0 = f\left(\frac{a}{z}, \frac{a}{z}\right) = f\left(\frac{1,1}{5}, \frac{1,1}{5}\right) = f(0,22; 0,22) \quad \text{abaque (theorie de Boussinesq)}$$

donne  $k_0 = 0,02$

$$\Delta \sigma = 4 \times 0,02 \times \left(\frac{N \cdot t}{A^2}\right) = 0,152 \text{ daN/cm}^2$$

$$\sigma_0 + \Delta \sigma = 1,292 < \sigma_c$$

$$\text{donc } e = e_0 - C_e \log \frac{\sigma_0 + \Delta \sigma}{\sigma_0} = 0,558 \Rightarrow \Delta e = 1,576 \times 10^{-3}$$

$$\frac{\Delta e}{1+e_0} = \frac{1,576 \times 10^{-3}}{1+0,56} = \frac{\Delta H}{H_0} \Rightarrow \underline{\underline{\Delta H = 1,01 \text{ cm}}}$$

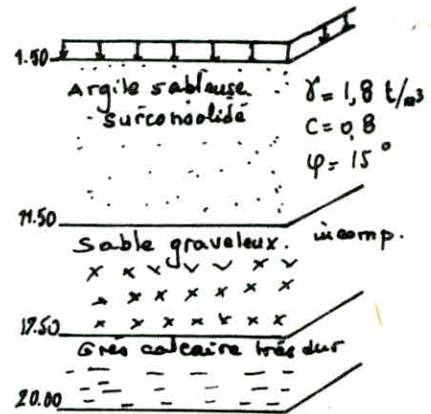
On remarque que le tassement est faible, cela est due à la surconsolidation de l'argile.

Semelle S5  $q = \frac{N_{tot}}{S} = 1,81 \text{ daN/cm}^2$  et  $k_0 = f(0,18; 0,18) \approx 0,009$

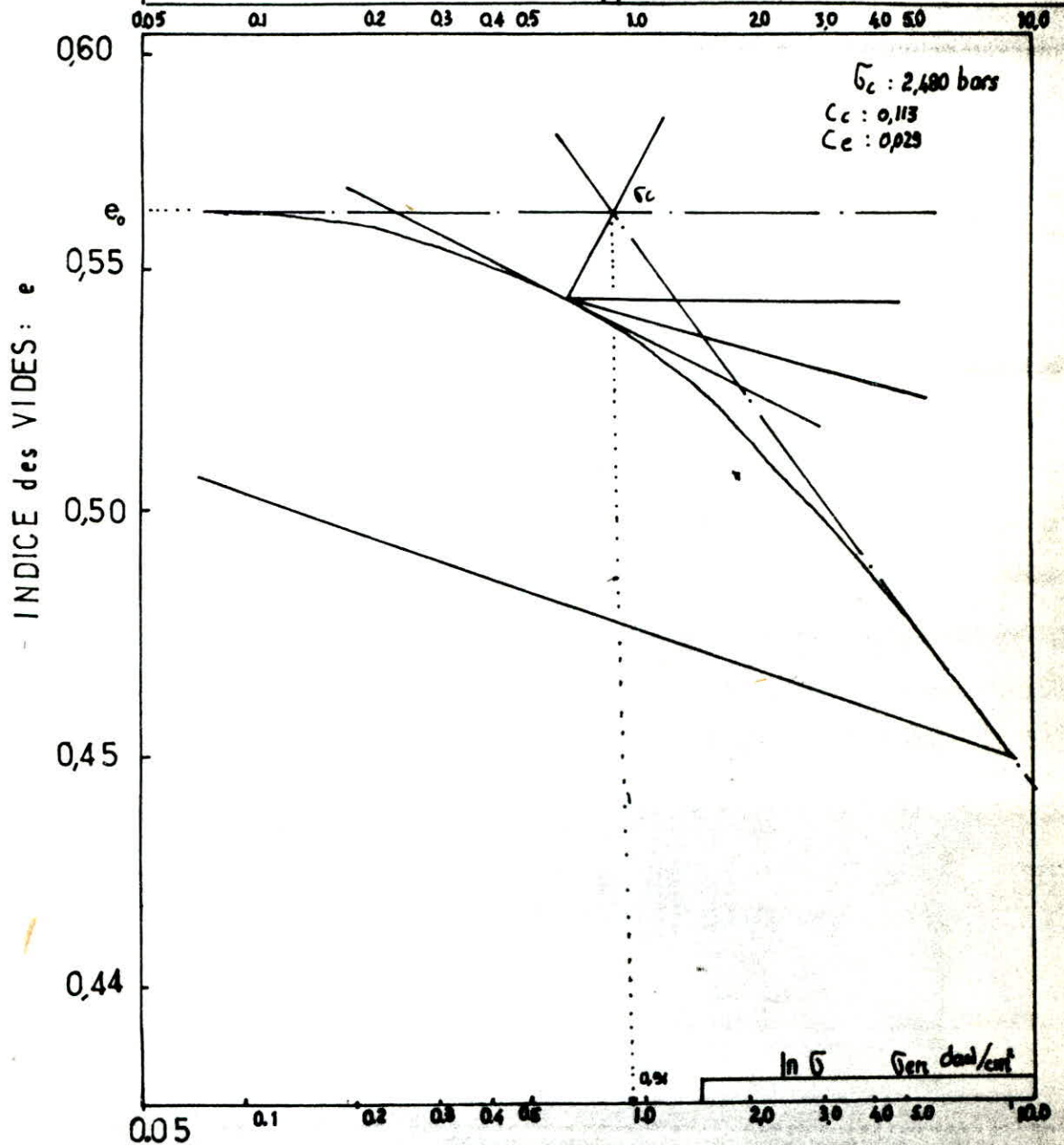
$$\Delta \sigma = 4 k_0 q = 0,065 \rightarrow \Delta e = 6,984 \times 10^{-4} \rightarrow \Delta H = 0,45 \text{ cm}$$

tassement différentiel =  $1,01 - 0,45 = 0,56 \text{ cm}$ .

$$\delta = \frac{0,56}{300} = 1,86 \times 10^{-3} < \bar{\delta} = \frac{1}{250} = 4 \times 10^{-3} \quad \text{le tassement différentiel est donc admissible.}$$



LNTPI3 dossier n°: 01-1118	sondage: 4
ESSAI DE COMPRESSIBILITE	echantillon: IV
PERMEABILITE	profondeur: 4,50 - 11,50





## BIBLIOGRAPHIE

1. Règles de calcul des constructions en acier - CM 66
2. Cours CM1 et CM2
3. Cours de M<sup>c</sup> Chorian Tiberu (Polycopie ENPA)
4. Cours de M<sup>r</sup> Youri Martinov (ENPA - 1975)
5. Aide-Mémoires (BA & RDM)
6. Méthode de Cross - Pierre Charon
7. RPA 81
8. Bulletin n° 5 du CTC (Méthode Muto)
9. Cours Béton Armé (M<sup>c</sup> Bellazougui)
10. CONST. métalliques - KIENERT
11. Guide pratique de C.M. DAUSSY
12. Constructions Métalliques - Ernest Gustin
13. Ossatures de Batiment - André Coin
14. Revues CTICM.
15. NV 1965
16. Traité B.A Tome III, IV = Fondations  
Ossatures d'immeubles
17. CALCUL DE FONDATIONS et MURS  
de soutènements TENG
18. Costet & Sanglerat MDS T1 et 2

